

**А.М. Голиков**

**МОДЕЛИРОВАНИЕ В РАДИОЭЛЕКТРОННЫХ  
СИСТЕМАХ ПЕРЕДАЧИ ИНФОРМАЦИИ**

Сборник компьютерных лабораторных работ и  
практических занятий

**Томск 2018**

Министерство науки и высшего образования Российской Федерации  
Федеральное государственное бюджетное образовательное  
учреждение высшего образования  
**Томский государственный университет систем управления и  
радиоэлектроники**

**А.М. ГОЛИКОВ**

**МОДЕЛИРОВАНИЕ В РАДИОЭЛЕКТРОННЫХ СИСТЕМАХ  
ПЕРЕДАЧИ ИНФОРМАЦИИ**

Сборник компьютерных лабораторных работ и практических занятий

**Томск 2018**

**Голиков, А. М. Моделирование в радиоэлектронных системах передачи информации: Сборник компьютерных лабораторных работ и практических занятий [Электронный ресурс] / А. М. Голиков. — Томск: ТУСУР, 2018. — 218 с. — Режим доступа: <https://edu.tusur.ru/publications/8769>**

Сборник компьютерных лабораторных работ, практических занятий и заданий на самостоятельную работу предназначен для направления подготовки магистров 11.04.02 "Инфокоммуникационные технологии и системы связи" по магистерским программам подготовки: "Радиоэлектронные системы передачи информации", "Оптические системы связи и обработки информации", "Инфокоммуникационные системы беспроводного широкополосного доступа", "Защищенные системы связи", для направления подготовки магистров 11.04.01 "Радиотехника" по магистерской программе подготовки: "Радиотехнические системы и комплексы", "Радиоэлектронные устройства передачи информации", "Системы и устройства передачи, приема и обработки сигналов", "Видеоинформационные технологии и цифровое телевидение" и специалитета 11.05.01 "Радиоэлектронные системы и комплексы" специализации "Радиолокационные системы и комплексы", "Радиоэлектронные системы передачи информации", "Радиоэлектронные системы космических комплексов", а также бакалавриата направления 11.03.01 "Радиотехника" (Радиотехнические средства передачи, приема и обработки сигналов), бакалавриата 11.03.02 Инфокоммуникационные технологии и системы связи (Системы мобильной связи, Защищенные системы и сети связи, Системы радиосвязи и радиодоступа, Оптические системы и сети связи) и может быть полезна аспирантам. Представлены описания программных комплексов и методики выполнения лабораторных и практических работ. Программные комплексы разработаны на базе ПО MATLAB, LabVIEW, SystemView". Всем заинтересованным лицам или организациям будут предоставлены рабочие программы на CD или DVD.

## СОДЕРЖАНИЕ

1. Имитационное моделирование системы мобильной связи стандарта GSM на базе MATLAB	5
2. Имитационное моделирование системы мобильной связи стандарта CDMA на базе MATLAB	23
3. Имитационное моделирование системы мобильной связи стандарта IEEE 802.11 (WiFi) на базе MATLAB	49
4. Имитационное моделирование системы мобильной связи стандарта IEEE 802.15.4 ZigBee на базе MATLAB	74
5. Имитационное моделирование системы мобильной связи стандарта IEEE 802.15.1 (Bluetooth) на базе MATLAB	87
6. Имитационное моделирование системы мобильной связи стандарта IEEE 802.16 (WiMAX) на базе MATLAB	101
8. Имитационное моделирование системы мобильной связи стандарта IEEE 802. 20 LTE на базе MATLAB	142
9. Имитационное моделирование системы цифрового наземного телевизионного вещания DVB-T на базе MATLAB	173
10. Имитационное моделирование системы цифрового спутникового телевизионного вещания DVB-S и истемы высокоскоростного цифрового спутникового ТВ-вещания DVB-S2	184
11. Имитационное моделирование системы цифрового кабельного телевизионного вещания DVB-C	191
12. Имитационное моделирование системы цифрового мобильного телевизионного вещания DVB-H	199
ЗАКЛЮЧЕНИЕ	217
ЛИТЕРАТУРА	218

## **1. Имитационное моделирование системы мобильной связи стандарта GSM на базе MATLAB.**

GSM относится к сетям второго поколения (2 Generation) (1G — аналоговая сотовая связь, 2G — цифровая сотовая связь, 3G — широкополосная цифровая сотовая связь, коммутируемая многоцелевыми компьютерными сетями, в том числе Интернет).

Мобильные телефоны выпускаются с поддержкой 4 частот: 850 МГц, 900 МГц, 1800 МГц, 1900 МГц.

В зависимости от количества диапазонов, телефоны подразделяются на классы и вариацию частот в зависимости от региона использования.

- Однодиапазонные — телефон может работать в одной полосе частот. В настоящее время не выпускаются, но существует возможность ручного выбора определённого диапазона частот в некоторых моделях телефонов, например Motorola C115, или с помощью инженерного меню телефона.

- Двухдиапазонные (Dual Band) — для Европы, Азии, Африки, Австралии 900/1800 и 850/1900 для Америки и Канады.

- Трёхдиапазонные (Tri Band) — для Европы, Азии, Африки, Австралии 900/1800/1900 и 850/1800/1900 для Америки и Канады.

- Четырёхдиапазонные (Quad Band) — поддерживают все диапазоны 850/900/1800/1900.

В стандарте GSM применяется GMSK-модуляция с величиной нормированной полосы BT — 0,3, где B — ширина полосы фильтра по уровню минус 3 дБ, T — длительность одного бита цифрового сообщения.

GSM на сегодняшний день является наиболее распространённым стандартом связи. По данным ассоциации GSM (GSMA) на данный стандарт приходится 82 % мирового рынка мобильной связи, 29 % населения земного шара использует глобальные технологии GSM. В GSMA в настоящее время входят операторы более чем 210 стран и территорий.

### **История развития.**

GSM сначала означало *Groupe Spécial Mobile*, по названию группы анализа, которая создавала стандарт. Теперь он известен как *Global System for Mobile Communications* (Глобальная Система для Мобильной Связи), хотя слово «Связь» не включается в сокращение. Разработка GSM началась в 1982 году группой из 26 Европейских национальных телефонных компаний. *Европейская конференция почтовых и телекоммуникационных администраций* (CEPT), стремилась построить единую для всех европейских стран сотовую систему диапазона 900 МГц. Достижения GSM стали «одними из

наиболее убедительных демонстраций какое сотрудничество в Европейской промышленности может быть достигнуто на глобальном рынке».

В 1989 году *Европейский Телекоммуникационный Институт Стандартов* (ETSI) взял ответственность за дальнейшее развитие GSM. В 1990 году были опубликованы первые рекомендации. Спецификация была опубликована в 1991 году.

Коммерческие сети GSM начали действовать в Европейских странах в середине 1991 г. GSM разработан позже, чем аналоговая сотовая связь и во многих отношениях была лучше спроектирована. Северо-Американский аналог — PCS, вырос из своих корней стандарты включая цифровые технологии TDMA и CDMA, но для CDMA потенциальное улучшение качества обслуживания так и не было никогда подтверждено.

### **GSM Phase 1.**

1982 (Groupe Spécial Mobile) — 1990 г. Global System for Mobile Communications. Первая коммерческая сеть в январе 1992 г. Цифровой стандарт, поддерживает скорость передачи данных до 9,6 кбит/с. Полностью устарел, производство оборудования под него прекращено.

В 1991 году были введены услуги стандарта GSM «ФАЗА 1».

В них входят:

- Переадресация вызова (Call forwarding). Возможность перевода входящих звонков на другой телефонный номер в тех случаях, когда номер занят или абонент не отвечает; когда телефон выключен или находится вне зоны действия сети и т. п. Кроме того, возможна переадресация факсов и данных.
- Запрет вызова (Call barring). Запрет на все входящие/исходящие звонки; запрет на исходящие международные звонки; запрет на входящие звонки, за исключением внутрисетевых.
- Ожидание вызова (Call waiting). Эта услуга позволяет принять входящий вызов во время уже продолжающегося разговора. При этом первый абонент или по-прежнему будет находиться на связи, или разговор с ним может быть завершён.
- Удержание вызова (Call Holding). Эта услуга позволяет, не разрывая связь с одним абонентом, позвонить (или ответить на входящий звонок) другому абоненту.
- Глобальный роуминг (Global roaming). При посещении любой из стран, с которой ваш оператор подписал соответствующее соглашение, вы можете пользоваться своим сотовым телефоном GSM без изменения номера.

## **GSM Phase 2.**

Стандарт GSM Phase 2 принят в 1993 г.<sup>[3]</sup> Цифровой стандарт, поддерживает скорость передачи данных до 9,6 кбит/с. С 1995 г. включает диапазон 1900 МГц. Вторым этапом развития GSM — GSM «Фаза 2», который завершился в 1997 г., предусматривает такие услуги:

- Определение номера вызывающей линии (Calling Line Identification Presentation). При входящем звонке на экране высвечивается номер вызывающего абонента.
- Антиопределитель номера (Calling Line Identification Restriction). С помощью этой услуги можно запретить определение собственного номера при соединении с другим абонентом.
- Групповой вызов (Multi party). Режим телеконференции или конференц-связи позволяет объединить до пяти абонентов в группу и вести переговоры между всеми членами группы одновременно.
- Создание закрытой группы до десяти абонентов (Closed User Group). Позволяет создавать группу пользователей, члены которой могут связываться только между собой. Чаще всего к этой услуге прибегают компании, предоставляющие терминалы своим служащим для работы.
- Информация о стоимости разговора. Сюда входят таймер, который считает время на линии, и счётчик звонков. Также благодаря этой услуге можно проверять оставшийся на счёте кредит. Возможна и другая услуга: «Совет по оплате» (Advice of Charge). По требованию пользователя происходит проверка стоимости и длительности разговора в то время, когда аппарат находится на связи.
- Обслуживание дополнительной линии (Alternative Line Service). Пользователь может приобрести два номера, которые будут приписаны к одному модулю SIM. В этом случае связь выполняется по двум линиям, с предоставлением двух счетов, двух голосовых ящиков и т. п.
- Короткие текстовые сообщения (Short Message Service). Возможность приёма и передачи коротких текстовых сообщений (до 160 знаков).
- Система голосовых сообщений (Voice Mail). Услуга позволяет автоматически переводить входящие звонки на персональный автоответчик (голосовая почта). Пользоваться этим можно только в том случае, если у абонента активизирована услуга «переадресация вызовов».

Стандарт GSM Phase 2 считается устаревшим; но так как стандарт GSM подразумевает обратную совместимость, то старое оборудование базовых станций и телефоны могут работать (и работают) в современных сетях.

### **GSM Phase 2+.**

Следующий этап развития сетей стандарта GSM «ФАЗА 2+» не связан с конкретным годом внедрения. Новые услуги и функции стандартизируются и внедряются после подготовки и утверждения их технических описаний. Все работы по этапу «Фаза 2+» проводились *Европейским институтом стандартизации электросвязи (ETSI)*. Количество уже внедрённых и находящихся в стадии утверждения услуг превышает 50. Среди них можно выделить следующие:

- улучшенное программное обеспечение SIM-карты;
- улучшенное полноскоростное кодирование речи EFR (Enhanced Full Rate);
- возможность взаимодействия между системами GSM и DECT;
- повышение скорости передачи данных благодаря пакетной передаче данных GPRS (General Packet RadioService) или за счёт системы передачи данных по коммутируемым каналам HSCSD (High Speed Circuit Switched Data).

### **Стандарты и радиointерфейс.**

Стандарты GSM создаются и публикуются Европейским институтом телекоммуникационных стандартов. Документы обозначаются GSM nn.nn, например широко известен стандарт на GSM SIM-карточки GSM 11.11.

На сегодняшний день разработано множество различных стандартов сотовой связи. Существенная часть из них уже и морально, и физически устарела, часть не нашла распространения, а другие, напротив, распространились по всему миру и нашли сотни миллионов пользователей. Вот список самых распространенных стандартов:

- \* AMPS
- \* DAMPS
- \* NMT-450
- \* GSM 900,1800,1900
- \* CDMA
- \*DECT

Наибольшее распространение, благодаря отличным функциональным возможностям (передача SMS, MMS, EMS, факсов, возможность доступа в интернет по GPRS, система GPS и т.д.), нашли полностью цифровые стандарты GSM и CDMA.

### **GSM-900.**

Цифровой стандарт мобильной связи в диапазоне частот от 890 до 915 МГц (от телефона к базовой станции) и от 935 до 960 МГц (от базовой станции к телефону). Количество *реальных* каналов связи гораздо больше чем написано выше в таблице, т.к

присутствует еще и временное разделение каналов TDMA, т.е на одной и той же частоте могут работать несколько абонентов с разделением во времени.

В некоторых странах диапазон частот GSM-900 был расширен до 880—915 МГц (MS > BTS) и 925—960 МГц (MS < BTS), благодаря чему максимальное количество каналов связи увеличилось на 50. Такая модификация была названа **E-GSM** (extended GSM).

### **GSM-1800.**

Модификация стандарта GSM-900, цифровой стандарт мобильной связи в диапазоне частот от 1710 до 1880 МГц.

Особенности:

- Максимальная излучаемая мощность мобильных телефонов стандарта GSM-1800 — 1 Вт, для сравнения у GSM-900 — 2 Вт. Больше время непрерывной работы без подзарядки аккумулятора и снижение уровня радиоизлучения.

- Высокая ёмкость сети, что важно для крупных городов.

- Возможность использования телефонных аппаратов, работающих в стандартах GSM-900 и GSM-1800, одновременно. Такой аппарат функционирует в сети GSM-900, но, попадая в зону GSM-1800, переключается — вручную или автоматически. Это позволяет оператору рациональнее использовать частотный ресурс, а клиентам — экономить деньги за счёт низких тарифов. В обеих сетях абонент пользуется одним номером. Но использование аппарата в двух сетях возможно только в тех случаях, когда эти сети принадлежат одной компании, или между компаниями, работающими в разных диапазонах, заключено соглашение о роуминге.

Сеть GSM 900-1800 — это единая сеть, с общей структурой, логикой и мониторингом в которой телефон никуда не переключается. Вручную можно только запретить использовать один из диапазонов в тестовых или очень старых аппаратах.

Проблема состоит в том, что зона охвата для каждой базовой станции значительно меньше, чем в стандартах GSM-900, AMPS/DAMPS-800, NMT-450. Необходимо большее число базовых станций. Чем выше частота излучения, тем хуже проникающая способность радиоволн в городской застройке.

Дальность связи в GSM лимитирована задержкой сигнала Timing advance и составляет до 35 км. При использовании режима extended cell возрастает до 75 км. Практически достижимо только в море, пустыне и горах.

### **CDMA.**

Тип стандарта: цифровой

Полоса частот: 1,23 МГц

Статус: Активно эксплуатируется

Краткое описание: Технология CDMA (система множественного доступа с кодовым разделением) изначально разработана для военных целей США, но, благодаря отличным показателям, нашла после модернизации широкое применение и в гражданской связи.

Особенности:

- \* Сигнал каждого абонента модулируется псевдослучайным, уникальным кодом (шумоподобным сигналом, отправляемым клиенту в начале разговора). Несущая частота сигнала меняется, согласно этому случайному правилу, в результате чего узкополосный информационный сигнал каждого пользователя расширяется во всю ширину частотного спектра (1,23 МГц в случае CDMA). В приемнике сигнал демодулируется с помощью идентичного кода, в результате чего восстанавливается изначальный сигнал. Но в то же время сигналы остальных пользователей для данного приемника продолжают оставаться расширенными и воспринимаются им лишь как шум, незначительно мешающий нормальной работе приемника.

- \* Отличные показатели шумоустойчивости, как следствие - снижение стоимости развертывания CDMA-сетей.

- \* Высокое качество передачи речи при низких показателях излучаемой мощности.

- \* Большая, по сравнению с GSM, емкость сети.

- \* Высокое качество связи в зданиях.

#### **NMT-450.**

Тип стандарта: аналоговый

Частотный диапазон: 453-468 МГц

Статус: устарел и морально, и физически

Краткое описание: NMT-450 (Nordic Mobile Telephone) разработан скандинавскими учеными. Первые сотовые сети в России строились именно на базе этого стандарта - федеральная сеть "СОТЕЛ" работала именно на NMT.

Особенности:

- \* Большая площадь покрытия одним ретранслятором, а значит, меньшие затраты на организацию сети.

- \* Малое затухание сигнала на открытом пространстве, что для России с ее плотностью заселения - огромный плюс.

- \* Сигнал ретранслятора может добивать на 100 километров!

- \* Благодаря тому, что стандарт - аналоговый, обеспечивается более высокое качество передачи речи - отсутствует грубая дискретизация голосовых отсчетов.

- \* Плохая помехоустойчивость из-за используемых частот. Уровень промышленных помех в этом диапазоне значительно выше, чем, скажем, на 800, 900 и 1800 МГц.

- \* Отсутствие секретности разговоров - их можно слушать УКВ-приемником.

- \* Низкая емкость сетей, что не позволяет массово использовать стандарт в крупных городах.

- \* Список дополнительных услуг издевательски пуст.

- \* NMT-трубки весят в несколько раз больше своих цифровых собратьев и крайне расточительны в плане электроэнергии и здоровья владельца.

### **AMPS.**

Тип стандарта: аналоговый

Частотный диапазон: 825-890 МГц

Статус: устарел и морально, и физически

Краткое описание: В конце восьмидесятых американские специалисты разработали специально для своей страны стандарт AMPS (Advanced Mobile Phone Service - усовершенствованная мобильная телефонная система). Завоевав популярность в других странах, в 1993 стандарт пришел в Россию. Такие сети по сей день эксплуатируются в 55 регионах, часть из них работает в аналоговом стандарте AMPS, часть - в усовершенствованном цифровом D-AMPS.

Особенности:

- \* Более высокая, чем у NMT-450, емкость сетей.

- \* Низкий уровень промышленных и атмосферных помех благодаря используемому частотному диапазону.

- \* Более надежная, чем у NMT-450, связь в помещениях.

- \* Меньшая зона устойчивой связи для одной базовой станции, что вынуждает операторов ставить их ближе друг к другу - большие затраты.

- \* Почти не распространен в Европе и Азии.

AMPS уже давным-давно морально устарел, и в 1990 г. в США был разработан D-AMPS.

### **D-AMPS.**

Тип стандарта: цифровой

Частотный диапазон: 825-890 МГц

Статус: устарел морально

Краткое описание: Когда AMPS морально устарел - а это произошло довольно быстро, в 1990 году - в Штатах был разработан D-AMPS.

Особенности:

- \* Емкость сетей на несколько порядков выше, чем у NMT-450 и AMPS.

- \* Возможность эксплуатации мобильных аппаратов как в цифровом, так и в аналоговом режимах.

- \* Расширенный спектр дополнительных услуг.

- \* Емкость DAMPS-сетей ниже, чем в полностью цифровых системах, но выше, чем в аналоговых.

### **GPRS.**

Главным недостатком стандарта GSM на сегодня является низкая скорость передачи данных - максимум 9,6 Кбит/с, да и сам процесс реализован довольно убого - под данные выделяется один голосовой канал; оплата услуги, соответственно, осуществляется исходя из времени соединения, причем по тарифам, весьма схожим с речевыми. Для решения этой проблемы и был разработан стандарт передачи данных GPRS (General Packet Radio Service - услуга пакетной передачи данных по радиоканалу).

Новая система предложила пользователям мобильной связи уже совсем другие условия - максимальная скорость соединения составляет 171,2 Кбит/с, а оплата осуществляется исходя из количества реально переданной информации, трафика.

В GSM-сетях, оборудованных GPRS-модулями, более рационально распределяется радиочастотный ресурс. Не вдаваясь в сложные технические детали, можно сказать, что выигрыш в скорости достигается за счет одновременного использования для передачи данных нескольких свободных в настоящий момент каналов. Тут следует отметить, что скорость передачи информации определяется не столько теоретическими возможностями сетевого и абонентского оборудования, сколько загрузкой сети - так, из собственного опыта могу сказать, что скорость соединения в России в ближайшие несколько лет у тебя не превысит 5-6 Кбит/с.

Благодаря тому, что пакеты данных имеют значительно меньший приоритет, по сравнению с голосовой информацией, внедрение систем GPRS не приводит к ухудшению качества услуг передачи речи.

Система GPRS состоит из двух основных модулей: SGSN (Serving GPRS Support Node - узел поддержки GPRS) и GGSN (Gateway GPRS Support Node - шлюзовой узел GPRS). В некотором смысле SGSN можно назвать аналогом коммутатора сети GSM. SGSN обеспечивает доставку пакетов информации пользователям, взаимодействует с реестром абонентов, проверяет, разрешены ли запрашиваемые услуги, ведет мониторинг пользователей, организует регистрацию вновь прибывших абонентов и т.п.

Назначение GGSN легко понять из расшифровки названия - это шлюз между сотовой сетью (вернее, SGSN) и внешними информационными сетями (интернетом, провайдерскими Intranet-сетями и т.д.).

Основной задачей GGSN, таким образом, является маршрутизация (обычно совмещенная с NAT'ом) пакетов, генерируемых абонентом через SGSN. Вторичными функциями GGSN являются: динамическая выдача IP-адресов (а-ля DHCP-сервер :)), отслеживание информации о внешних сетях, подсчет трафика, тарификация и т.д.

Благодаря хорошей масштабируемости системы GPRS, оператор может увеличивать число SGSN и GGSN по мере роста числа пользователей и их суммарного трафика.

Как известно, для работы с GPRS необходимо иметь специальный телефон, поддерживающий эту технологию.

Основная характеристика такого телефона - так называемый класс GPRS. Это максимальное количество каналов, которое может задействовать аппарат для передачи данных - напомним, что один канал обеспечивает передачу данных со скоростью до 13,4 Кбит/с.

Самым первым производителем телефонов с GPRS стала французская фирма Sagem - на проходящей в Женеве выставке Telecom'99 она представила телефон Sagem MC-850, имеющий 3 канала на прием и 1 на передачу данных.

Современные телефоны способны использовать десять и более каналов для передачи данных, что, теоретически, обеспечивает отличную скорость соединения - до 20 килобайт в секунду.

В стандарте GSM определены 4 диапазона работы (ещё есть пятый):

900/1800 МГц (используется в Европе, Азии) <b>Характеристики</b>	<b>GSM-900</b>	<b>GSM-1800</b>
Частоты передачи MS и приёма BTS (uplink), МГц	890 — 915	1710 — 1785
Частоты приёма MS и передачи BTS (downlink), МГц	935 — 960	1805 — 1880
Дуплексный разнос частот приёма и передачи, МГц	45	95
Количество <b>частотных</b> каналов связи с шириной 1 канала связи в 200 кГц	124	374
Ширина полосы канала связи, кГц	200	200

**850/1900 МГц (используется в США, Канаде, отдельных странах Латинской Америки и Африки)**

Характеристики	GSM-850	GSM-1900
Частоты передачи MS и приёма BTS, МГц	824 — 849	1850 — 1910
Частоты приёма MS и передачи BTS, МГц	869 — 894	1930 — 1990
Дуплексный разнос частот приёма и передачи, МГц	45	80

**Структура GSM.**

Система GSM состоит из трёх основных подсистем:

- подсистема базовых станций (BSS — Base Station Subsystem),
- подсистема коммутации (NSS — Network Switching Subsystem),
- центр технического обслуживания (OMC — Operation and Maintenance Centre).

В отдельный класс оборудования GSM выделены терминальные устройства — подвижные станции (MS — Mobile Station), также известные как мобильные (сотовые) телефоны.

**Подсистема базовых станций**



Рис.1. Антенны трех базовых станций на мачте

BSS состоит из собственно базовых станций (BTS — Base Transceiver Station) и контроллеров базовых станций (BSC — Base Station Controller). Область, накрываемая сетью GSM, разбита на условные шестиугольники, называемые *сотами* или *ячейками*. Диаметр каждой шестиугольной ячейки может быть разным — от 400 м до 50 км. Максимальный теоретический радиус ячейки составляет 120 км, что обусловлено ограниченной

возможностью системы синхронизации к компенсации времени задержки сигнала. Каждая ячейка покрывается находящейся в её центре одной базовой станцией, при этом ячейки частично перекрывают друг друга, тем самым сохраняется возможность передачи обслуживания без разрыва соединения при перемещении абонента из одной соты в другую. Естественно, что на самом деле сигнал от каждой станции распространяется, покрывая площадь в виде круга, а не шестиугольника, последний же является лишь упрощением представления зоны покрытия. Каждая базовая станция имеет шесть соседних в связи с тем, что в задачи планирования размещения станций входила минимизация стоимости системы. Меньшее количество соседних базовых станций приводило бы к большему перехлёсту зон покрытия с целью избегания "мёртвых зон", что в свою очередь потребовало бы более плотного расположения базовых станций. Большее количество соседних базовых станций приводило бы к излишним расходам на дополнительные станции, в то время как выигрыш от уменьшения зон перехлёста был бы уже весьма незначительным.

Базовая станция (BTS) обеспечивает приём/передачу сигнала между MS и контроллером базовых станций. BTS является автономной и строится по модульному принципу. Направленные антенны базовых станций могут располагаться на вышках, крышах зданий и т. д.

Контроллер базовых станций (BSC) контролирует соединения между BTS и подсистемой коммутации. В его полномочия также входит управление очередностью соединений, скоростью передачи данных, распределение радиоканалов, сбор статистики, контроль различных радиоизмерений, назначение и управление процедурой Handover.

#### **Подсистема коммутации.**

NSS состоит из нижеследующих компонентов.

Центр коммутации (MSC — Mobile Switching Center)

MSC контролирует определённую географическую зону с расположенными на ней BTS и BSC. Осуществляет установку соединения к абоненту и от него внутри сети GSM, обеспечивает интерфейс между GSM и ТФОП, другими сетями радиосвязи, сетями передачи данных. Также выполняет функции маршрутизации вызовов, управление вызовами, эстафетной передачи обслуживания при перемещении MS из одной ячейки в другую. После завершения вызова MSC обрабатывает данные по нему и передаёт их в центр расчётов для формирования счета за предоставленные услуги, собирает статистические данные. MSC также постоянно следит за положением MS, используя данные из HLR и VLR, что необходимо для быстрого нахождения и установления соединения с MS в случае её вызова.

Домашний регистр местоположения (HLR — Home Location Registry).

Содержит базу данных абонентов, приписанных к нему. Здесь содержится информация о предоставляемых данному абоненту услугах, информация о состоянии каждого абонента, необходимая в случае его вызова, а также Международный Идентификатор Мобильного Абонента (IMSI — International Mobile Subscriber Identity), который используется для аутентификации абонента (при помощи AUC). Каждый абонент приписан к одному HLR. К данным HLR имеют доступ все MSC и VLR в данной GSM-сети, а в случае межсетевого роуминга — и MSC других сетей.

Гостевой регистр местоположения (VLR — Visitor Location Registry).

VLR обеспечивает мониторинг передвижения MS из одной зоны в другую и содержит базу данных о перемещающихся абонентах, находящихся в данный момент в этой зоне, в том числе абонентах других систем GSM — так называемых роумерах. Данные об абоненте удаляются из VLR в том случае, если абонент переместился в другую зону. Такая схема позволяет сократить количество запросов на HLR данного абонента и, следовательно, время обслуживания вызова.

Регистр идентификации оборудования (EIR — Equipment Identification Registry).

Содержит базу данных, необходимую для установления подлинности MS по IMEI (International Mobile Equipment Identity). Формирует три списка: белый (допущен к использованию), серый (некоторые проблемы с идентификацией MS) и чёрный (MS, запрещённые к применению). У российских операторов (и большей части операторов стран СНГ) используются только белые списки, что не позволяет раз и навсегда решить проблему кражи мобильных телефонов.

Центр аутентификации (AUC — Authentication Center).

Здесь производится аутентификация абонента, а точнее — SIM (Subscriber Identity Module). Доступ к сети разрешается только после прохождения SIM процедуры проверки подлинности, в процессе которой с AUC на MS приходит случайное число RAND, после чего на AUC и MS параллельно происходит шифрование числа RAND ключом Ki для данной SIM при помощи специального алгоритма. Затем с MS и AUC на MSC возвращаются «подписанные отклики» — SRES (Signed Response), являющиеся результатом данного шифрования. На MSC отклики сравниваются, и в случае их совпадения аутентификация считается успешной.

**Подсистема OMC (Operations and Maintenance Center).**

Соединена с остальными компонентами сети и обеспечивает контроль качества работы и управление всей сетью. Обрабатывает аварийные сигналы, при которых требуется вмешательство персонала. Обеспечивает проверку состояния сети, возможность

прохождения вызова. Производит обновление программного обеспечения на всех элементах сети и ряд других функций.

### **Преимущества и недостатки.**

#### **Преимущества стандарта GSM.**

- Меньшие по сравнению с аналоговыми стандартами (NMT-450, AMPS-800) размеры и вес телефонных аппаратов при большем времени работы без подзарядки аккумулятора. Это достигается в основном за счёт аппаратуры базовой станции, которая постоянно анализирует уровень сигнала, принимаемого от аппарата абонента. В тех случаях, когда он выше требуемого, на сотовый телефон автоматически подаётся команда снизить излучаемую мощность.

- Хорошее качество связи при достаточной плотности размещения базовых станций.

- Большая ёмкость сети, возможность большого числа одновременных соединений.

- Низкий уровень промышленных помех в данных частотных диапазонах.

- Улучшенная (по сравнению с аналоговыми системами) защита от подслушивания и нелегального использования, что достигается путём применения алгоритмов шифрования с разделяемым ключом.

- Эффективное кодирование (сжатие) речи. EFR-технология была разработана фирмой Nokia и впоследствии стала промышленным стандартом кодирования/декодирования для технологии GSM (см. GSM-FR, GSM-HR и GSM-EFR)

- Широкое распространение, особенно в Европе, большой выбор оборудования.

- Возможность роуминга. Это означает, что абонент одной из сетей GSM может пользоваться сотовым телефонным номером не только у себя «дома», но и перемещаться по всему миру переходя из одной сети в другую не расставаясь со своим абонентским номером. Процесс перехода из сети в сеть происходит автоматически, и пользователю телефона GSM нет необходимости заранее уведомлять оператора (в сетях некоторых операторов, могут действовать ограничения на предоставление роуминга своим абонентам, более детальную информацию можно получить обратившись непосредственно к своему GSM оператору)

#### **Недостатки стандарта GSM.**

- Искажение речи при цифровой обработке и передаче.

- Связь возможна на расстоянии не более 120 км от ближайшей базовой станции даже при использовании усилителей и направленных антенн. Поэтому для покрытия определённой площади необходимо большее количество передатчиков, чем в NMT-450 и AMPS.

## Моделирование канала стандарта GSM в MATLAB Simulink

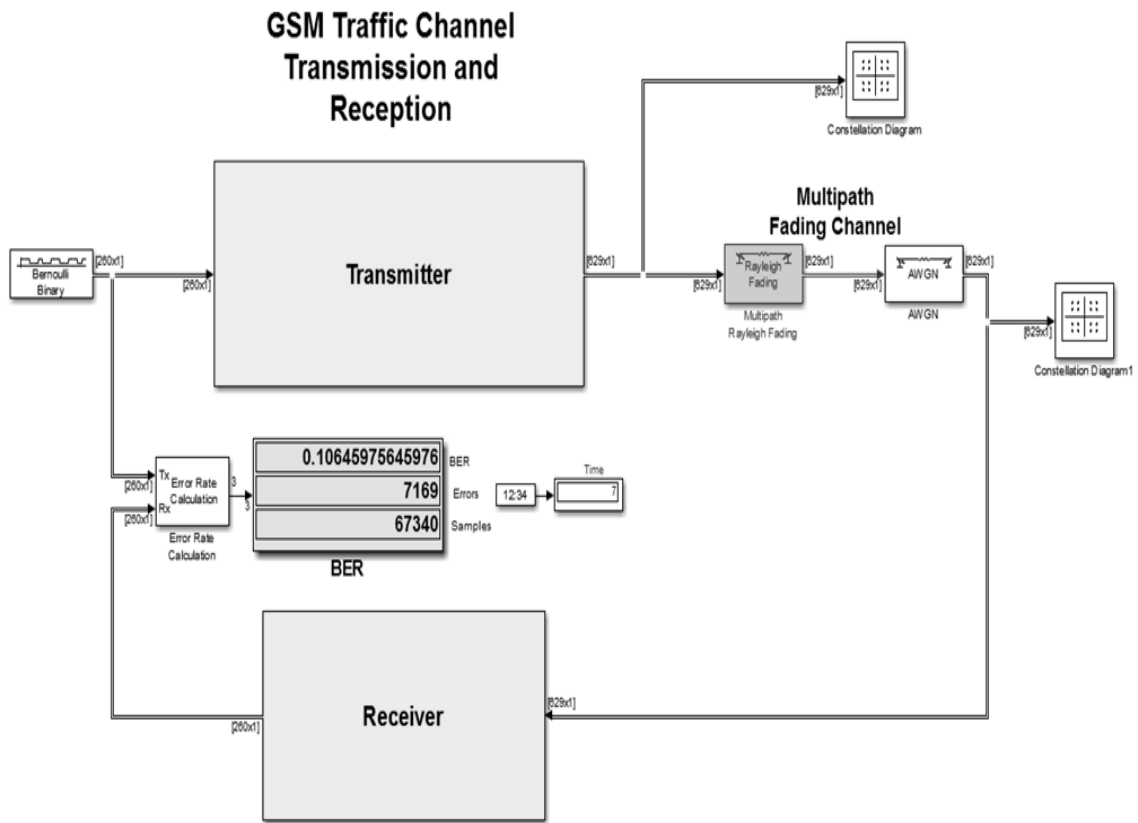


Рис. 2. Модель GSM в Simulink MATLAB

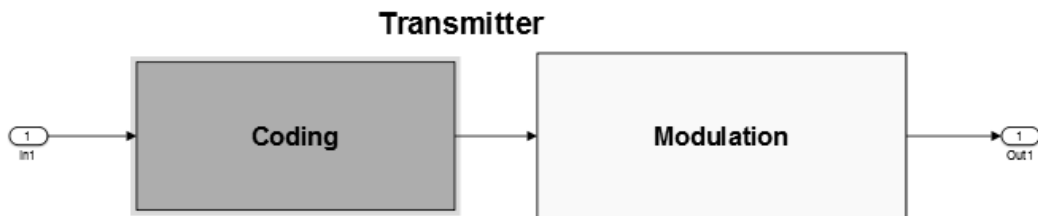


Рис. 3. Схема передатчика

## Coding

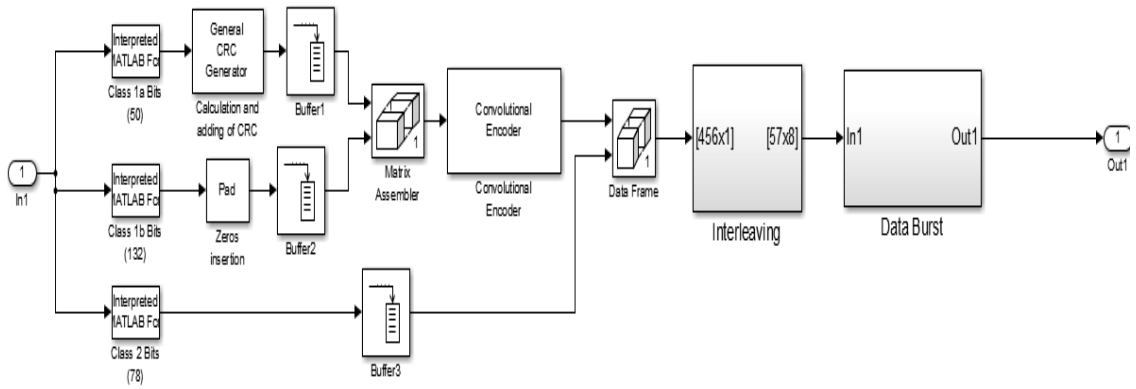


Рис. 4. Схема кодера

## Modulation

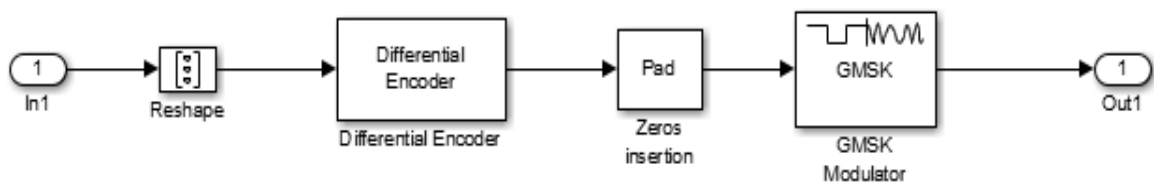


Рис. 5. Схема модулятора

## Receiver

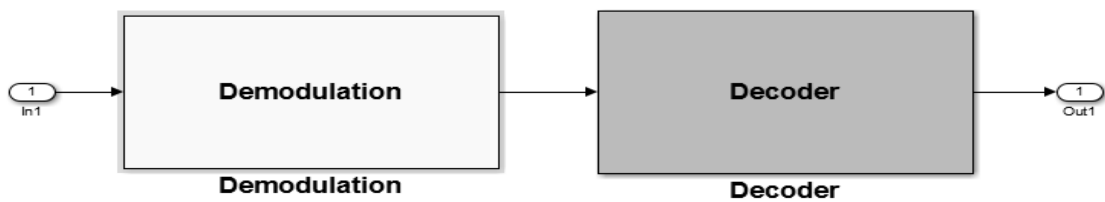


Рис. 6. Схема приемника

## Demodulation

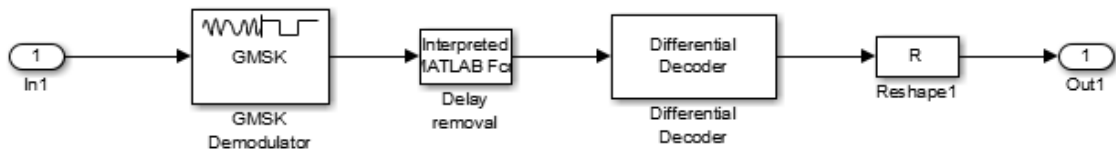


Рис. 7. Схема демодулятора

## Decoding

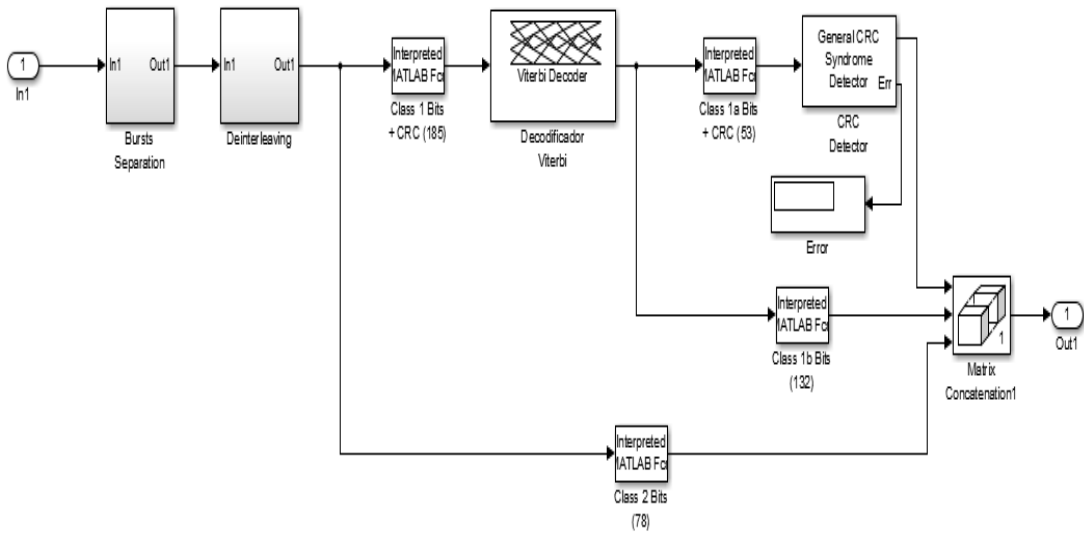


Рис. 8. Схема декодера

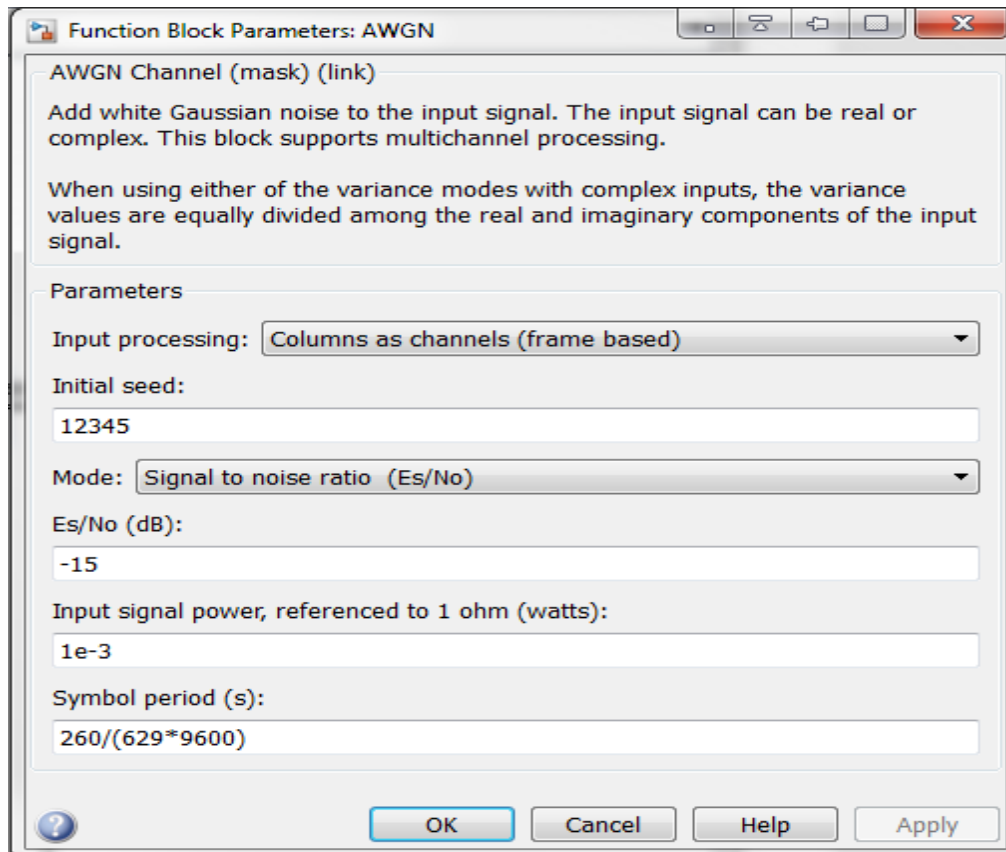


Рис. 9. Изменение отношения сигнал/шум.

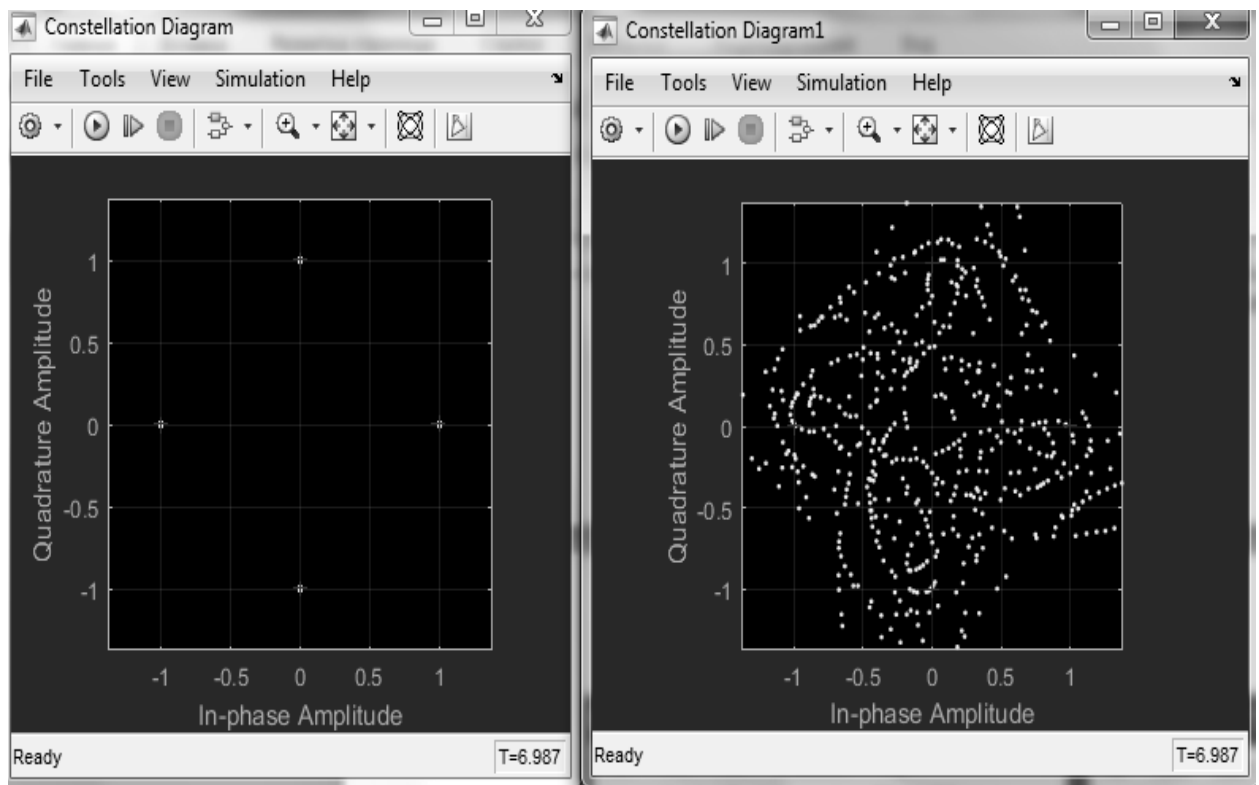


Рис. 10. Сравнение передаваемого созвездия и принятого, при отношении С/Ш – 20 Дб

## BER

0.0016780516780517	BER
113	Errors
67340	Samples

**BER**

Рис. 11. BER при отношении С/Ш 15 Дб.

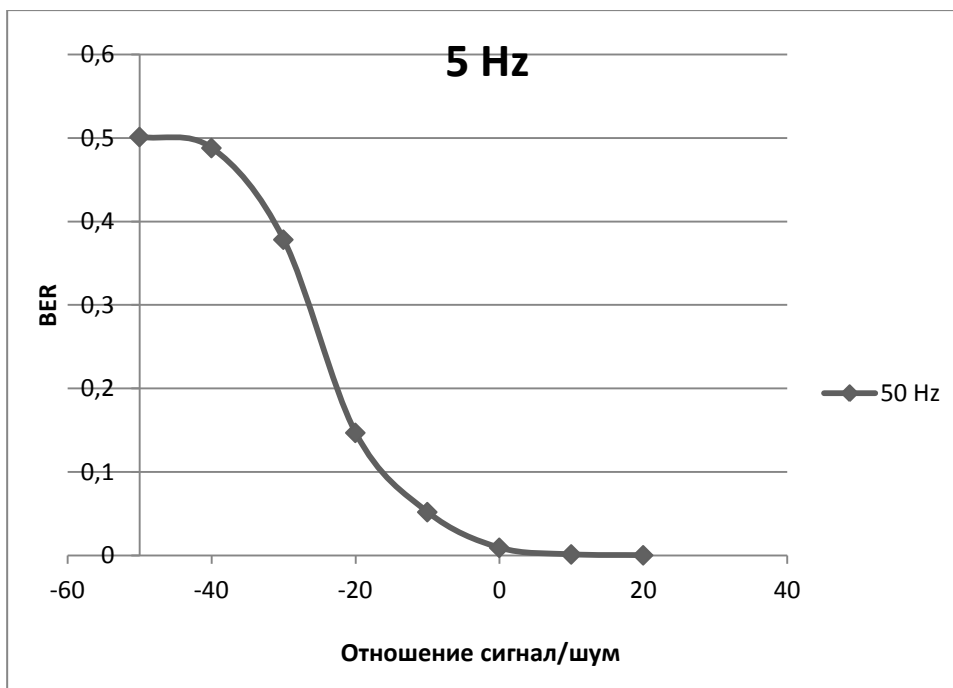


Рис. 12. Зависимость BER от отношения сигнал/шум при доплеровском сдвиге 5 Гц

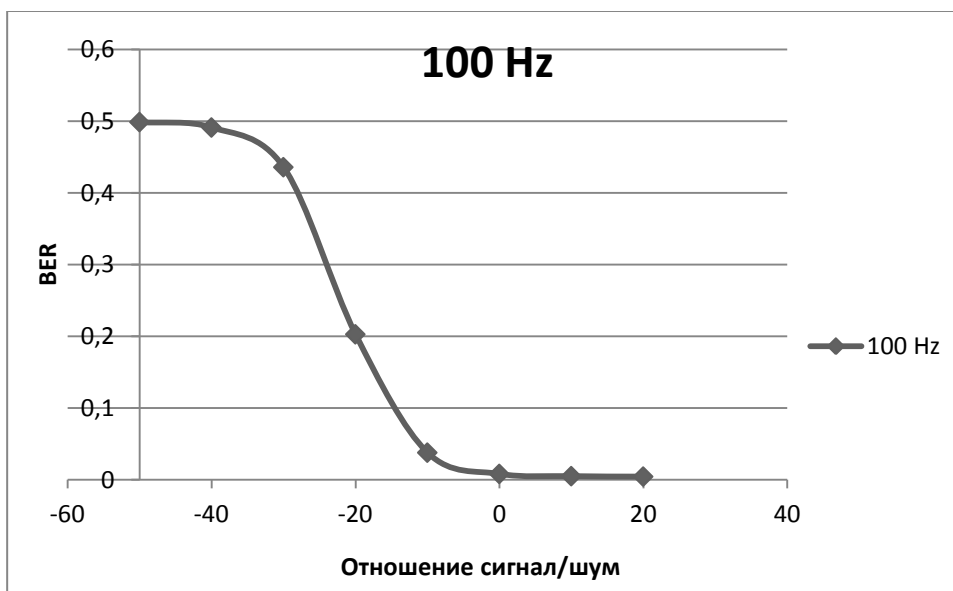


Рис. 13. Зависимость BER от отношения сигнал/шум при доплеровском сдвиге 100 Гц

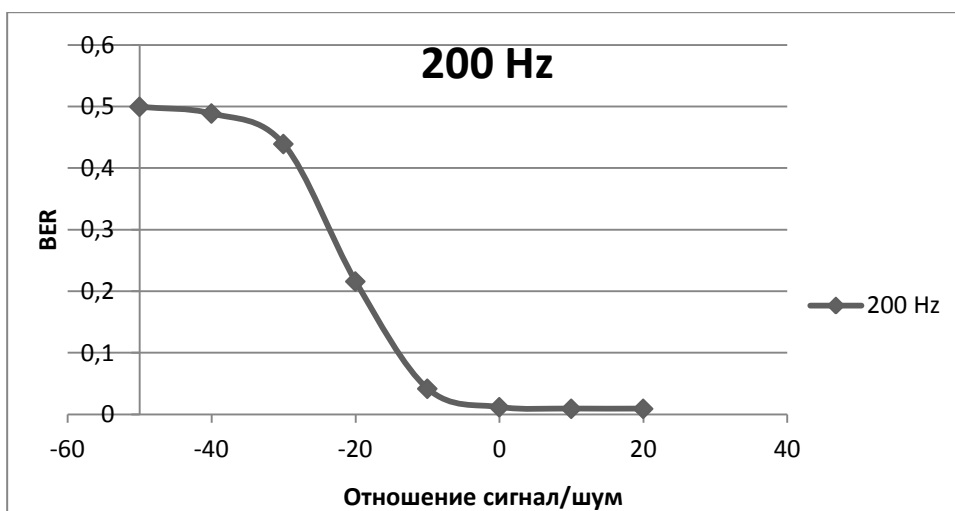


Рис. 14. Зависимость BER от отношения сигнал/шум при доплеровском сдвиге 200 Гц

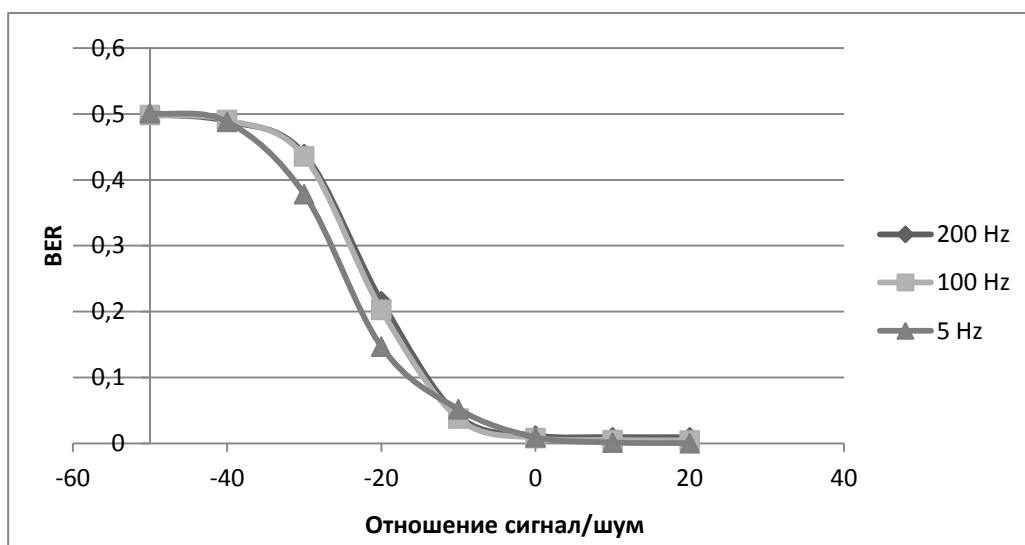


Рис. 15. Зависимость BER от отношения сигнал/шум при доплеровском сдвиге 5, 100, 200 Гц

В ходе данной работы был исследован стандарт GSM. Он позволяет производить эффективную передачу сигнала при довольно малом соотношении Сигнал/Шум. Сигнал GSM зависит от Доплеровского эффекта, но учитывая, что скорость электромагнитных волн крайне большая, по сравнению со скоростью объектов связи, то этот эффект нормализуется.

## 2. Имитационное моделирование системы мобильной связи стандарта CDMA на базе MATLAB

В настоящее время развиваются системы мобильной связи, так как каждый год осуществляется рост числа абонентов, что приводит к загруженности сети, необходимости улучшения качества связи, улучшения емкости базовых станций, а также увеличения зоны покрытия сот. Но необходимо улучшать и безопасность мобильной связи, так как злоумышленники могут осуществить перехват информационного сигнала.

Новые поколения сотовой связи появляются достаточно быстро, но их внедрение требует значительных временных ресурсов, поэтому до сих пор основополагающими считаются технологии CDMA и GSM, но технология CDMA работает не только как отдельный стандарт, эта технология используется, например, в LTE.

CDMA - система множественного доступа с кодовым разделением - стала, возможно, самой многообещающей системой, появившейся на мировом рынке. Десятилетия назад эта технология использовалась в военной связи (США), а сегодня известна всем как глобальный цифровой стандарт для коммерческих систем коммуникаций. Технология использования CDMA была протестирована, стандартизирована, лицензирована и запущена в производство большинством поставщиков беспроводного оборудования и применяется во всем мире. В отличие от других методов доступа абонентов к сети, где энергия сигнала концентрируется на выбранных частотах или временных интервалах, сигналы CDMA распределены в непрерывном частотно-временном пространстве. Фактически метод манипулирует и частотой, и временем, и энергией.

CDMA применяется в 32 странах Азии и Океании, 2 странах Северной Америки, 14 странах Европы и 45 странах Африки.

История технологии CDMA берёт своё начало в 30-е годы прошлого (XX) столетия. В 1935 году в СССР академик Агеев Дмитрий Васильевич издал небольшим тиражом брошюру под странным названием "Кодовое разделение каналов". В ней были определены основы ортогонального разделения сигналов, разделения сигналов по форме. В то время реально существовал только один способ разделения каналов связи – частотный. И относилось это, в основном, к каналам радиосвязи. При таком методе каждый канал занимает некоторую свою полосу в общем спектре частот. Эти полосы относительно узки и разделены между собой защитными интервалами. Частотный диапазон ещё не был так перегружен как сегодня, поэтому использование такого способа разделения каналов связи считалось достаточно простым и логичным, поскольку осуществлялась манипуляция только одним параметром сигнала – частотой. Однако учёные, работавшие в области разработок новейших систем связи, в общем, и радиосвязи, в частности, понимали, что такая идиллия не будет долгой. Кроме того, узкополосные радиосигналы очень чувствительны к селективным замираниям. Требовалось разработать методику, минимизирующую потери полезного сигнала за счёт селективных замираний и позволяющую бережнее относиться к используемому диапазону частот.

Несколько позже, примерно в одно и то же время, появляются работы «Математическая теория связи» Клода Шеннона (США) и «Теория потенциальной помехоустойчивости» Владимира Александровича Котельникова (СССР).

Впервые радиооборудование, использующее кодовое разделение каналов, появилось в США где-то в конце 50-х годов. Технология CDMA нашла применение в военных системах, где успешно отработала более двух десятков лет. Во второй половине 80-х годов военное ведомство США рассекретило данную технологию и разрешило ее использование в гражданских средствах радиосвязи (диапазон 800 МГц).

В сентябре 1995 года в Гонконге фирма HUTCHISON начала развертывание первой в мире коммерческой сети CDMA, используя базовое оборудование Motorola (базовые станции SC 9600 и коммутирующее оборудование EMX 2500) и мобильные телефоны Qualcomm. На конец 1996 года эта сеть насчитывала 113 сот, работала на одном частотном канале с полосой 1,25 МГц и обслуживала более 40.000 абонентов. Правда, соты CDMA были наложены на существующую сеть AMPS и мобильные терминалы работали в дуалмодовом режиме, т.е. при сбое в CDMA-сети абонентский терминал автоматически переключался в сеть AMPS (FDMA). В Корее в январе 1996 года фирма KMT, используя оборудование Gold Star, начала коммерческую эксплуатацию CDMA-сети. А в апреле Shinsengi Telecom начала создавать новую сеть на базе оборудования Samsung, Sony, Qualcomm. На конец 1996 года эти сети обслуживали более 200.000 клиентов. Корея приняла IS-95 в качестве национального стандарта сотовой связи. В США развертыванием CDMA-сетей занимаются такие фирмы, как Air Touch (Сан-Диего, Лос-Анджелес), BANM (Трентон, Нью-Джерси), 360-Communications (Лас-Вегас, Невада). Они используют базовое оборудование Qualcomm, Lucent Technologies, Motorola, а также абонентские терминалы фирм Qualcomm, Sony, Nortel. В Австралии, в канун Олимпийских игр, были построены сети сотовой мобильной радиотелефонной связи в Сиднее и Мельбурне на базе оборудования CDMA-one (IS-95) производства фирмы Samsung.

Кроме вышеназванного стандарта (IS-95) в 1999 году был разработан и широкополосный вариант - W-CDMA (Ericsson, Швеция), функционирующий в диапазоне 1800 МГц. Он предназначался для использования в районах с высокой плотностью населения, так как обладал ещё большей пропускной способностью

### **Стандарты CDMA.**

В CDMA системах каждый голосовой поток отмечен своим уникальным кодом и передается на одном канале одновременно со многими другими кодированными голосовыми потоками. Принимающая сторона использует тот же код для выделения сигнала из шума. Единственное отличие между множественными голосовыми потоками это уникальный код. Канал, как правило, очень широк и каждый голосовой поток занимает целиком всю ширину диапазона. Эта система использует наборы каналов шириной 1.23МГц. Голос кодируется на скорости 8.55кбит/с, но определение голосовой активности и различные скорости

кодирования могут урезать поток данных до 1200бит/с. В системах CDMA могут устанавливаться очень прочные и защищенные соединения, несмотря на экстремально низкую величину мощности сигнала, теоретически - сигнал может быть слабее, чем уровень шума.

### **Стандарт CDMAOne.**

Стандарт cdmaOne, существует в вариациях IS-95a, IS-95b (cellular по американской терминологии, 800 МГц) и J-STD-008 (PCS, диапазон 1900). Аббревиатура IS (interim standard - временной стандарт) используется для учета в Ассоциации телекоммуникационной промышленности TIA (Telecommunications Industry Association). Как правило, в сетях cdmaOne используется IS-95a, он обеспечивают передачу сигнала со скоростью 9,6 кбит/с (с кодированием) и 14,4 кбит/с (без кодирования). Версия IS-95b основана на объединении нескольких каналов CDMA, организуемых в прямом направлении (от базовой станции к мобильной). Скорость может увеличиваться до 28,8 кбит/с (при объединении двух каналов по 14,4 кбит/с) или до 115,2 кбит/с (8 каналов по 14,4 кбит/с). Собственно, кроме IS-95 сети cdmaOne используют еще целый набор протоколов и стандартов, их список можно найти в любой достаточно глубокой статье по этой теме. Прямой и обратный каналы располагаются соответственно в диапазонах 869,040-893,970 и 824,040-848,860 МГц. Используются 64 кода Уолша и несущие в 1.25 МГц.

### **Стандарт WCDMA.**

WCDMA (Wideband Code Division Multiple Access - широкополосный CDMA) - технология радиointерфейса избранная большинством операторов сотовой связи Японии и (в январе 1988 года) институтом ETSI (European Telecommunications Standards Institute) для обеспечения широкополосного радиодоступа с целью поддержки услуг третьего поколения.

Технология оптимизирована для предоставления высокоскоростных мультимедийных услуг типа видео, доступа в Интернет и видеоконференций; обеспечивает скорости доступа вплоть до 2 Мбит/с на коротких расстояниях и 384 Кбит/с на больших с полной мобильностью. Такие величины скорости передачи данных требуют широкую полосу частот, поэтому ширина полосы WCDMA составляет 5 МГц. Технология может быть добавлена к существующим сетям GSM и PDC, что делает стандарт WCDMA наиболее перспективным с точки зрения использования сетевых ресурсов и глобальной совместимости.

WCDMA (широкополосный множественный доступ с кодовым разделением каналов) представляет собой технологию, использующую расширенную полосу пропускания и разновидность принципа DMA. Это технология мобильной радиосвязи третьего поколения, обеспечивающая значительно более высокие скорости передачи данных, чем стандарт GSM. WCDMA поддерживает передачу голоса, изображений, данных и видео в сетях мобильной

связи на скорости до 2 Мбит/с (локальный доступ) или 384 кбит/с (глобальный доступ). WCDMA используется в основном в Европе при переходе от стандарта GSM к стандарту UMTS.

### **Стандарт CDMA2000.**

Стандарт cdma2000 является дальнейшим развитием стандарта 2 поколения cdmaOne. Дальнейшим развитием cdmaOne должен был стать IS-95c, и именно это обозначение очень часто используется производителями. Официальным обновлением стандарта, разработанным компанией Qualcomm и утвержденным ITU (Международный союз электросвязи, International Telecommunication Union), является cdma2000. В документах Lucent Technologies встречается обозначение IS-2000. Наконец, международный союз электросвязи (МСЭ) отобрал из десяти предложенных проектов пять радиointерфейсов третьего поколения IMT-2000 (International Mobile Telecommunications System - 2000 - Международная система мобильной связи - 2000), в их числе - IMT-MC (Multi Carrier), который представляет собой модификацию многочастотной системы cdma2000, в которой обеспечивается обратная совместимость с оборудованием стандарта cdmaOne (IS-95).

Еще один из пяти стандартов IMT-2000 - IMT-DS (Direct Spread) - построен на базе проектов W-CDMA и взят за основу европейской системы UMTS.

На начало 2003г. из 127 миллионов пользователей CDMA почти 15 миллионов использовали технологию cdma2000. В течение первых семи месяцев 2002 года, в Азии и Америке было запущено 11 сетей CDMA2000 и общее количество этих сетей составляло 18. Это - 99% рынка 3G, на IMT-MC приходилось 14.8 миллионов абонентов, на UMTS - 0.13 миллиона. Однако, стоит отметить, что реализованная фаза cdma2000 1X все же не является полноценным 3G, ибо не дотягивает до обязательных двух мегабит. Поэтому ее чаще называют 2.5G.

Изначально cdma2000 (IMT-MC) разделили на две фазы - 1X и 3X. Именно к первой фазе применяется название IS-95C. А вторую позже назвали 1X-EV (evolution), разделив ее на две фазы - cdma2000 1X EV-DO (data only) и cdma2000 1X EV-DV (data & voice).

И именно стандарт cdma2000 1X EV-DO подразумевается под 3G IMT-MC. Стандарт 1x-EV-DO был принят TTA в октябре 2000 года и предусматривает следующую схему функционирования: аппарат одновременно производит поиск сети 1x и 1xEV, передачу данных осуществляет с помощью 1xEV, голоса - с помощью 1x. Стандарт 1xEV-DV полностью соответствует всем требованиям 3G.

Следует отметить, что стандарты семейства cdma2000 не требуют организации отдельной полосы частот и в ходе их эволюционного развития от cdmaOne могут быть

реализованы во всех частотных диапазонах, используемых системами сотовой подвижной связи (450, 700, 800, 900, 1700, 1800, 1900, 2100 МГц).

### Структура и формирование сигналов.

#### Схема кодирования в прямом канале (от базовой станции к абоненту).

Базовая скорость передачи данных в канале составляет 9,6 кбит/с, что достигается добавлением дополнительных корректирующих двоичных символов к цифровому потоку вокодера 8,55 кбит/с.

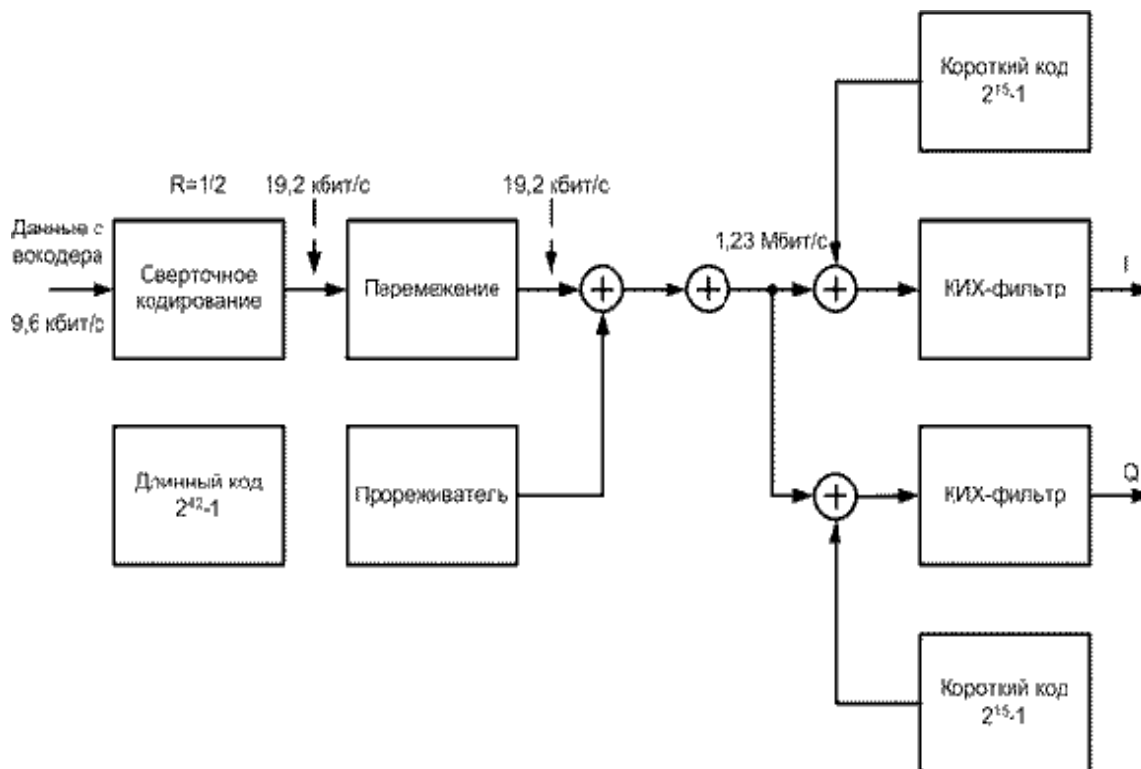


Рис. 16. Схема кодирования в прямом канале

Для реализации на приемной стороне прямой коррекции ошибок (без повторной передачи сообщения) в канале используется избыточное кодирование. Для этого базовый цифровой поток разбивается на пакеты длительностью по 20 мс и подается на сверточный кодер с половинной скоростью. На его выходе число битов удваивается. Затем данные перемежаются, т. е. перемешиваются во временном интервале 20 мс. Это делается для того, чтобы равномерно распределить в потоке данных (после обратного перемежения) потерянные во время передачи биты. Известно, что ошибочно принятые символы обычно формируют группы. В то же время, схема прямой коррекции ошибок работает наилучшим образом, когда ошибки распределены равномерно во времени. Это происходит после осуществления на приемной стороне процедуры, обратной перемежению при передаче. После перемежения цифровой поток преобразуется с помощью длинного кода и логической операции "исключающее ИЛИ" (сложение по модулю два). По определению, длинными

кодами (кодами максимальной длины - M-последовательностями) являются коды, которые могут быть получены с помощью регистра сдвига или элемента задержки заданной длины.

Максимальная длина двоичной последовательности, которая может быть получена с помощью генератора, построенного на основе регистра сдвига, равна  $2^n - 1$  двоичных символов, где  $n$  - число разрядов регистра сдвига. В аппаратуре стандарта CDMA длинный код формируется в результате нескольких последовательных логических операций с псевдослучайной двоичной последовательностью, генерируемой в 42-разрядном регистре сдвига, и двоичной 32-битовой маской, которая определяется индивидуально для каждого абонента. Такой регистр сдвига применяется во всех базовых станциях этого стандарта для обеспечения режима синхронизации всей сети. Длина M-последовательности при этом составляет 4 398 046 511 103 бит и если ее элементы формируются с тактовой частотой, например, 450 МГц, то период повторения будет составлять 9773,44 с = 2 ч 43 мин. Это значит, что если даже удастся засинхронизировать приемник в случае несанкционированного перехвата, то чтобы определить структуру сигнала-носителя необходимо вести наблюдение в течение почти 3-х часов, а с применением индивидуальной 32-битовой маски "подслушивание" практически исключено. Так как информационный поток имеет скорость 19,2 Кбит/с, то в прямом канале используется только каждый 64-й символ длинного кода. Следующий этап преобразования сообщения - кодирование с помощью кодов Уолша. Любая строка матрицы Уолша ортогональна другой строке. Матрица Уолша размером 2 имеет вид:

$$W_2 = \begin{pmatrix} 1 & 1 \\ 1 & -1 \end{pmatrix}$$

Матрицы больших размеров образуются следующим образом:

$$W_{2N} = \begin{pmatrix} W_N & W_N \\ W_N & -W_N \end{pmatrix}$$

т.е., например,

$$W_8 = \begin{pmatrix} 1 & 1 & 1 & 1 & 1 & 1 & 1 & 1 \\ 1 & -1 & 1 & -1 & 1 & -1 & 1 & -1 \\ 1 & 1 & -1 & -1 & 1 & 1 & -1 & -1 \\ 1 & -1 & -1 & 1 & 1 & -1 & -1 & 1 \\ 1 & 1 & 1 & 1 & -1 & -1 & -1 & -1 \\ 1 & -1 & 1 & -1 & -1 & 1 & -1 & 1 \\ 1 & 1 & -1 & -1 & -1 & -1 & 1 & 1 \\ 1 & -1 & -1 & 1 & -1 & 1 & 1 & -1 \end{pmatrix}$$

Можно показать, что строки матрицы Уолша ортогональны. Ортогональность строк  $x$  и  $y$  длиной  $N$  определяется следующим условием:

$$\sum_{i=1}^N x_i y_i = 0$$

По сути в этом случае вычисляется значение двух различных строк при временном сдвиге равно нулю.

Один ряд матрицы Уолша ставится в соответствие каналу связи между абонентом и базовой станцией. Если на входе кодера "0", то посылается соответствующий ряд матрицы (код Уолша), если "1" - посылается последовательность, сформированная путем логического отрицания соответствующего ряда матрицы (кода Уолша). При точном совпадении начала пришедшей последовательности и имеющейся (строка матрицы  $W_{64}$ ) наблюдаются пики корреляционной функции положительной и отрицательной полярностей - в зависимости от передаваемого бита. В случае обработки "чужого" сигнала на выходе в момент окончания сигнала не будет ничего, т.е. происходит разделение каналов при приеме абонентской станцией. Кодирование по Уолшу повышает скорость информационного потока с 19,2 Кбит/с до 1,2288 Мбит/с. Соответственно расширяется и спектр сигнала. На заключительном этапе двоичный поток разделяется между синфазным и квадратурным каналами (I- и Q-каналами) для последующей передачи с использованием квадратурной фазовой манипуляции (QPSK). До подачи на смесители цифровой поток в каждом из каналов преобразуется с помощью короткого кода и операции сложения по модулю два.

Короткий код представляет собой псевдослучайную двоичную последовательность длиной 32768 двоичных символов, генерируемую со скоростью 1,3288 Мбит/с. Эта последовательность является общей для всех базовых и подвижных станций в сети.

Короткий код формируется в 15-разрядном регистре сдвига с линейной обратной связью. Результирующий двоичный поток в каждом канале проходит через цифровой фильтр с конечной импульсной характеристикой (КИХ-фильтр), что позволяет ограничить полосу излучаемого сигнала. Частота среза фильтра составляет около 615 кГц. Полученные аналоговые сигналы поступают на соответствующие входы I/Q-модулятора. Ряд информационных сигналов образуется путем слияния I- и Q-каналов.

Поскольку все пользователи получают объединенный сигнал, то для выделения информации необходимо передавать опорный сигнал по каналу, получившему название пилотного. В пилотном канале передается нулевой информационный сигнал, код Уолша для этого канала формируется из нулевого ряда матрицы Уолша (все единицы). Другими словами, в пилотном канале передается только короткий код. Обычно на нем излучается около 20% общей мощности. Опорный сигнал необходим для последующей фазовой демодуляции. Короткий код позволяет многократно использовать в каждой ячейке один и тот же набор кодов Уолша. Каждая базовая станция имеет свой временной сдвиг при формировании кода и поэтому может быть однозначно определена в сети. Основано это на уже описанном свойстве псевдослучайных двоичных последовательностей: значение АКФ близко к нулю для всех временных смещений более одной длины бита.

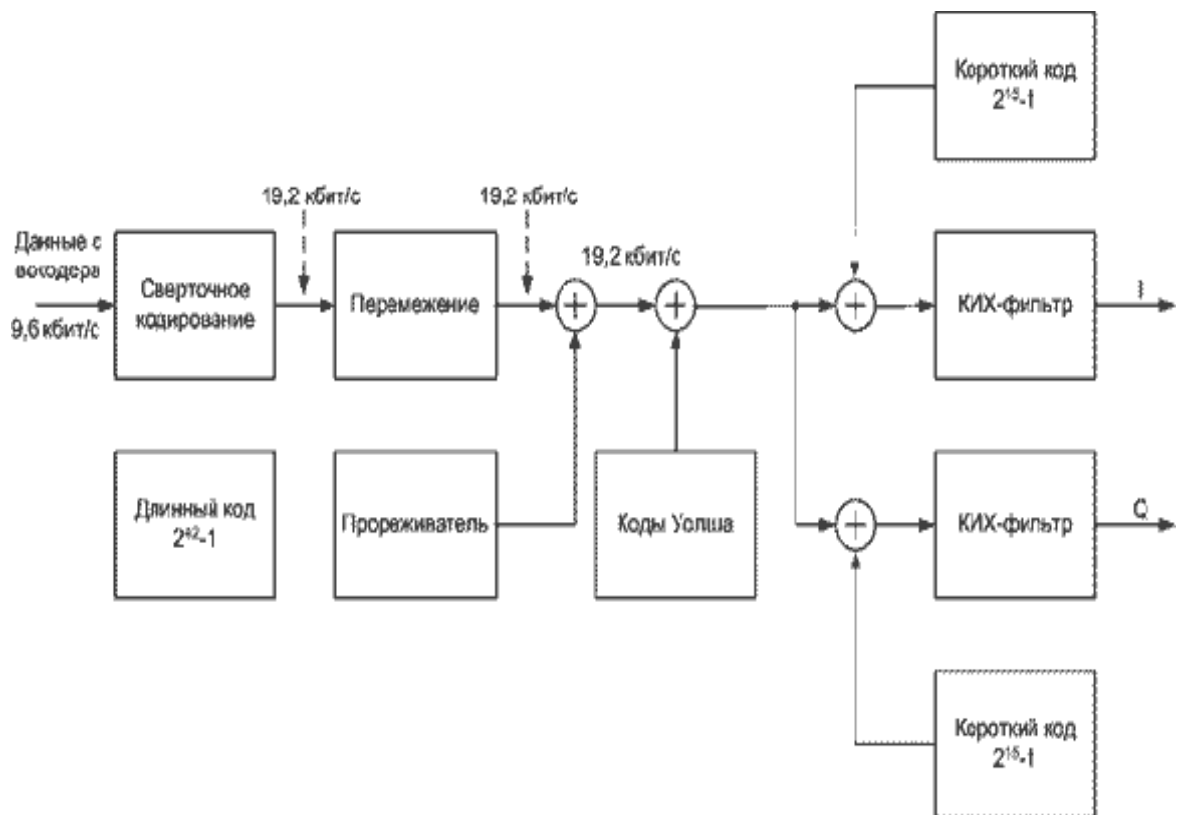


Рис. 17. Схема кодирования в обратном канале

В обратном канале (от абонента к базовой станции) применяется другая схема кодирования. Подвижная станция не может использовать преимуществ трансляции опорного

сигнала. В этом случае необходимо было бы передавать два сигнала, что значительно усложнило бы демодуляцию в приемнике базовой станции. В обратном канале применяется такой же, как и в прямом, вокодер и сверточное кодирование со скоростью  $1/3$ , что повышает скорость передачи данных с базовой 9,6 до 28,8 кбит/с, и перемежение в пакете длительностью 20 мс. После перемежения выходной поток разбивается на слова по шесть битов в каждом. Шестибитовому слову можно поставить в соответствие один из 64 кодов Уолша. Таким образом, каждый абонентский терминал использует весь их набор. После этой операции скорость потока данных повышается до 307,2 Кбит/с. Далее поток преобразуется с помощью длинного кода, аналогичного используемому базовой станцией. На этом этапе происходит разделение пользователей. Абонентская емкость системы определяется обратным каналом. Для ее увеличения применяется регулирование мощности в обратном канале, методы пространственного разнесения приема на базовой станции и др. Окончательное формирование потоков данных происходит таким же образом, как и в базовой станции, за исключением дополнительного элемента задержки на  $1/2$  длительности символа в Q-канале для реализации, смещенной QPSK.

В системе CDMA применяются квадратурная фазовая манипуляция (QPSK) в базовой и смещенная QPSK в подвижных станциях. При этом информация извлекается путем анализа изменения фазы сигнала, поэтому фазовая стабильность системы - критичный фактор при обеспечении минимальной вероятности появления ошибки в сообщениях. Применение смещенной QPSK позволяет снизить требования к линейности усилителя мощности подвижной станции, так как амплитуда выходного сигнала при этом виде модуляции изменяется значительно меньше. До того, как интерференционные помехи будут подавлены методами цифровой обработки сигналов, они должны пройти через высокочастотный тракт приемника и не вызвать насыщения маломощного широкополосного усилителя (МШУ) и смесителя. Это заставляет разработчиков системы искать баланс между динамическими и шумовыми характеристиками приемника.



Рис. 18. Структурная схема CDMA

### Моделирование CDMA2000 1xRTT

Модель состоит из трех основных блоков:

1. Базовая станция (передатчик);
2. Канал;
3. Мобильная станция (приемник).

Канал имеет три режима работы:

1. Нет канала;
2. Канал с шумами;

#### Канал с многолучевым распространением.

Мобильный приемник состоит из декодера и приемника, которые выполняют все операции необходимые декодирования сигнала.

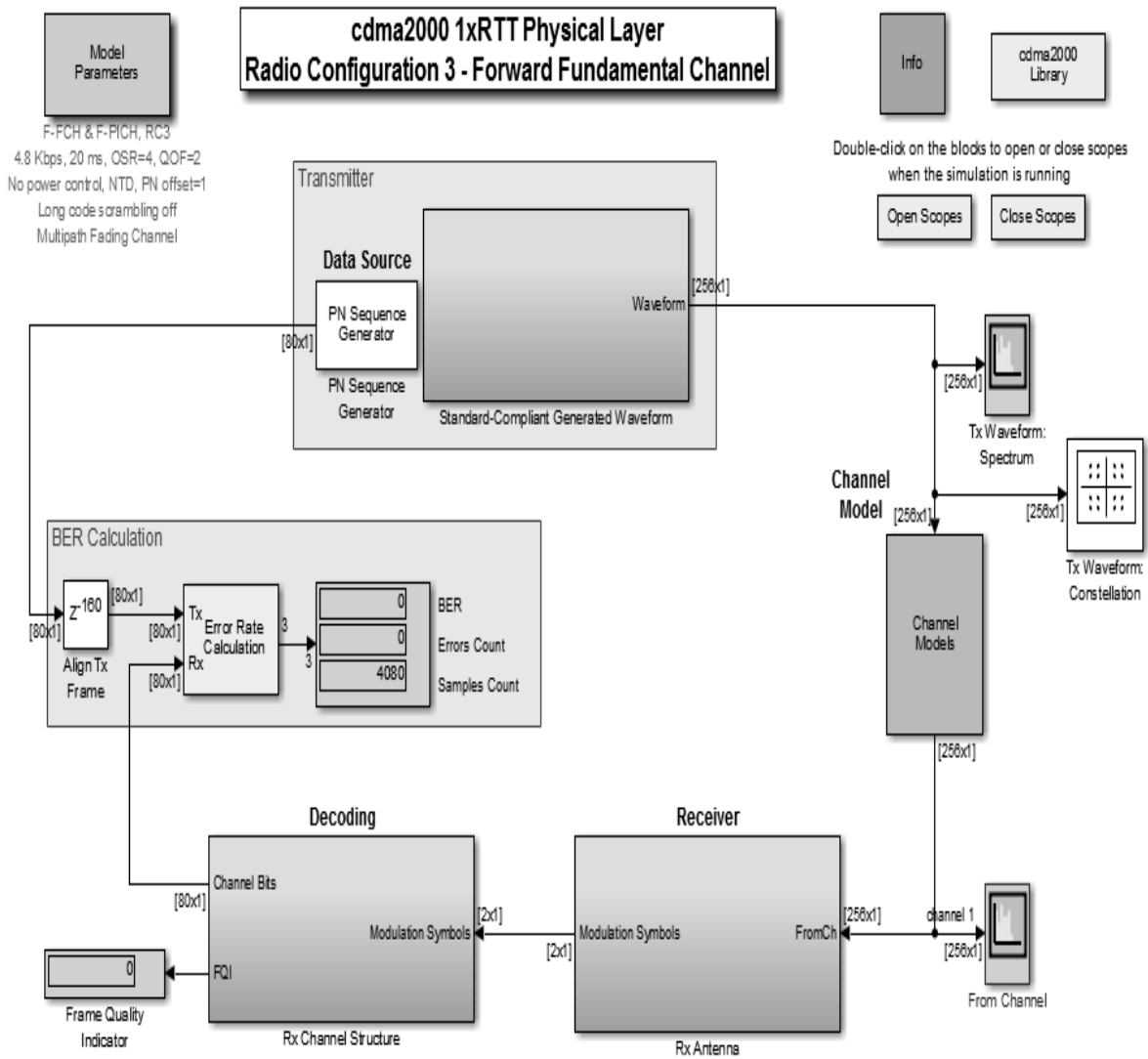


Рис 19. Модель CDMA2000 1xRTT в MATLAB

Развернутая модель передатчика представлена на рисунке 5.20.

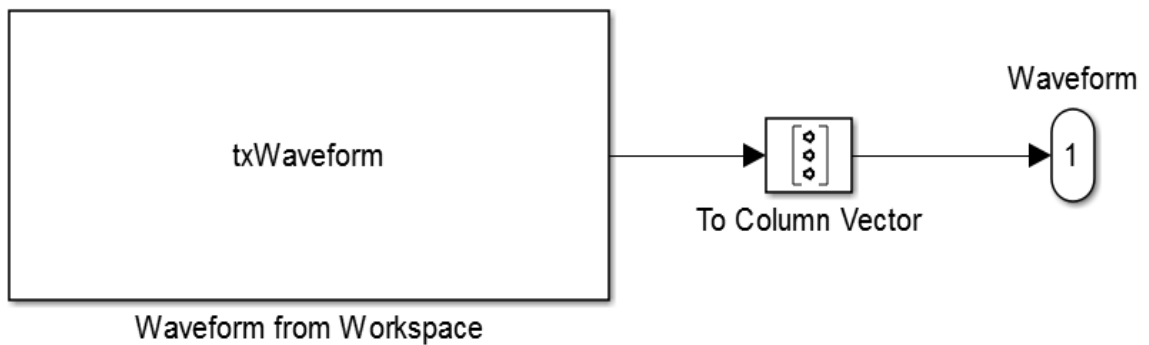


Рис. 20. Модель передатчика

Блок txWaveform содержит в себе длинный программный код посредством которого и генерируется сигнал, далее этот сигнал формируется в вектор с помощью блока To Column Vector. Этот вектор передается по каналу и затем поступает в приемник. Развернутая модель приемника представлена на рисунке 5.21.

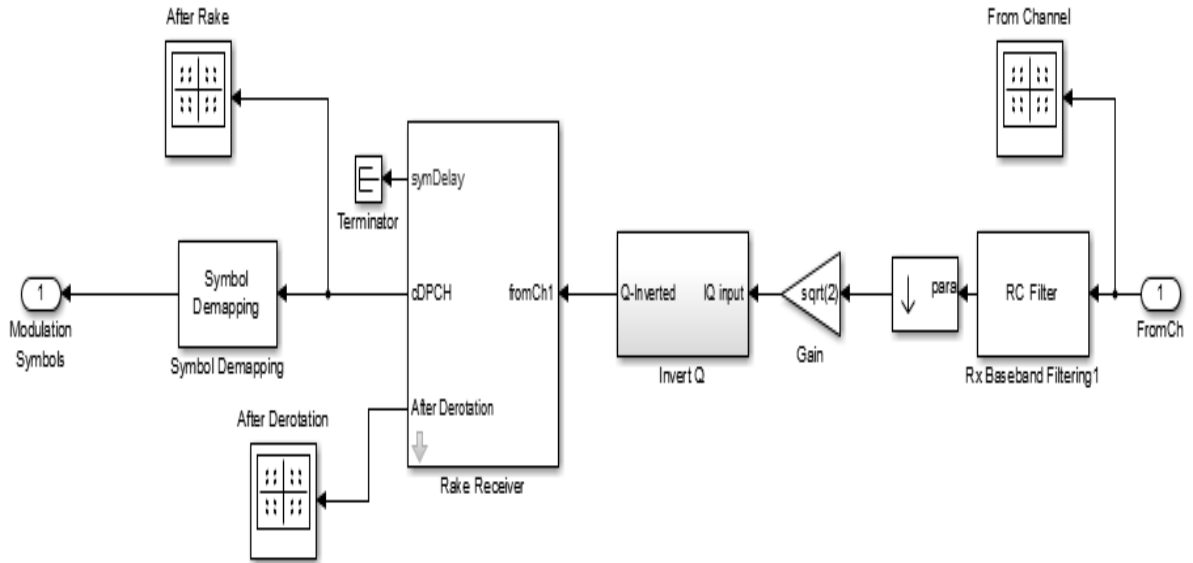


Рис. 21. Модель приемника.

Принятый сигнал поступает на фильтр RC Filter, АЧХ которого представлена на рисунке 6, и затем усиливается с помощью блока Gain в корень из двух раз, после чего сигнал поступает в блок Invert Q, который разделяет его на реальную и мнимую части, умножает мнимую часть на -1 и затем объединяет реальную и мнимую части обратно. Далее восстанавливается созвездие с помощью блока Rake Receiver, после чего сигнал поступает в блок Symbol Demapping для демодуляции. Полученные символы модуляции поступают на декодер, развернутая модель которого представлена на рисунке 5.22.

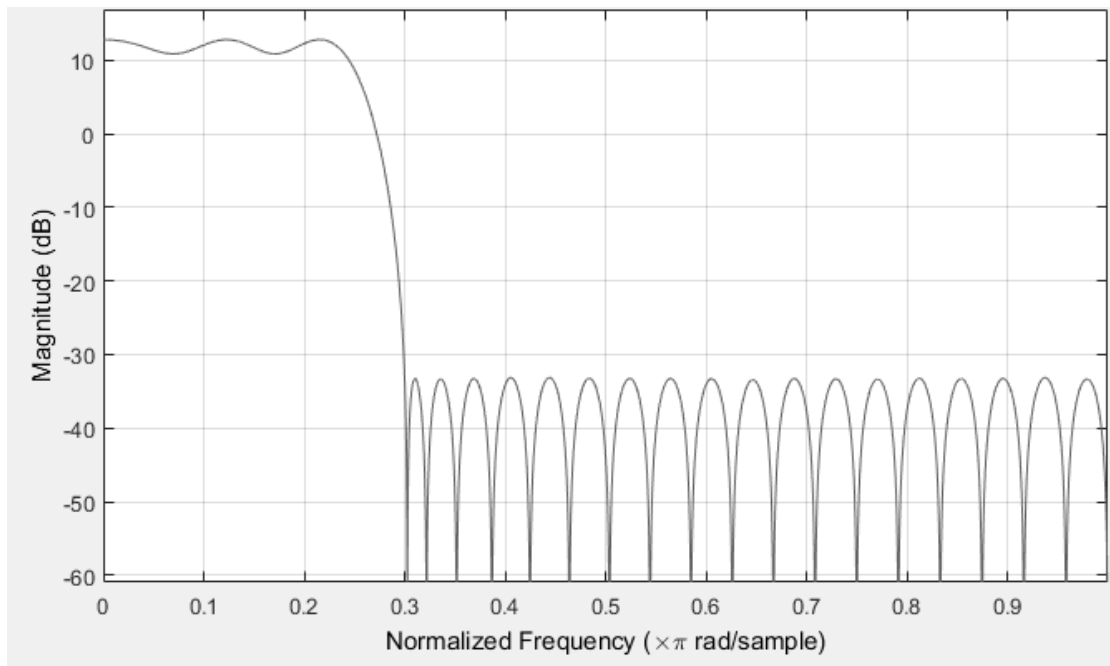


Рис. 22. АЧХ фильтра приемника

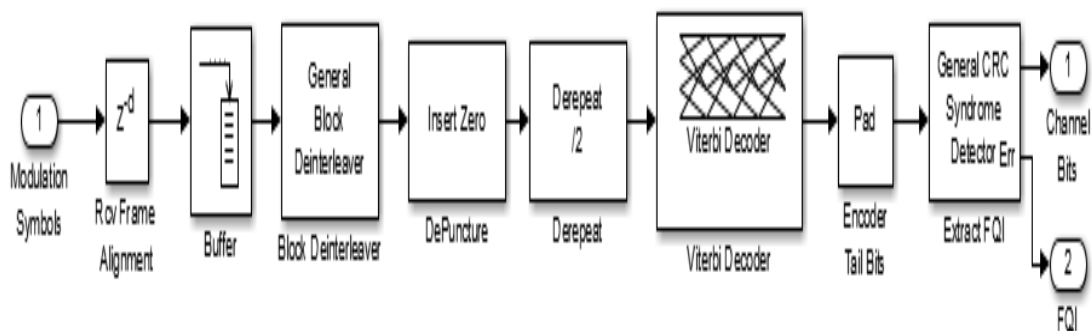


Рис. 23. Модель декодера.

Полученные символы модуляции поступают в блок Rcv Frame Alignment, который представляет собой задержку на 768 тактов, далее символы поступают в блок Buffer для накопления 768 символов. Накопленные символы поступают в блок Block Deinterleaver для обратного перемежения, далее данные поступают в блок Insert Zero, который возвращает последовательности нулей, замененных на специальные символы, далее данные поступают в блок Derepeat, обратное преобразование кодов с повторением с коэффициентом повторения 2, далее данные поступают на декодер Витерби и наконец в блок Encoder Tail Bits, который добавляет нули или урезает число бит если оно не равно 80.

#### Параметры модели.

Модель позволяет изменять такие настройки как скорость потока и вид канала. В зависимости от вида канала можно задавать значение отношения сигнал/шум, а также параметры многолучевого распространения сигнала: максимальное Доплеровское отклонение частоты, вектор задержки и вектор ослабления/усиления. Длины векторов определяют количество лучей в канале.

#### Результаты моделирования.

Компонент расчета BER сравнивает декодированный сигнал и сигнал, сгенерированный базовой станцией. Если BER равен нулю, то сигнал не подвергся каким-либо изменениям либо ошибки удалось исправить. Сигнал с базовой станции перед попаданием в блок расчета BER проходит через задержку для того что бы выровнять фреймы.

Для того что бы отобразить все возможные графики необходимо два раза кликнуть по кнопке Open Scores в правом верхнем углу. В результате чего отобразятся следующие графики:

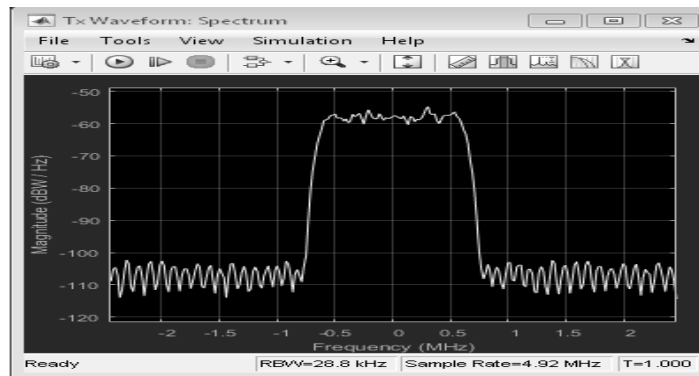


Рис. 24. Спектр сигнала сгенерированного базовой станцией.

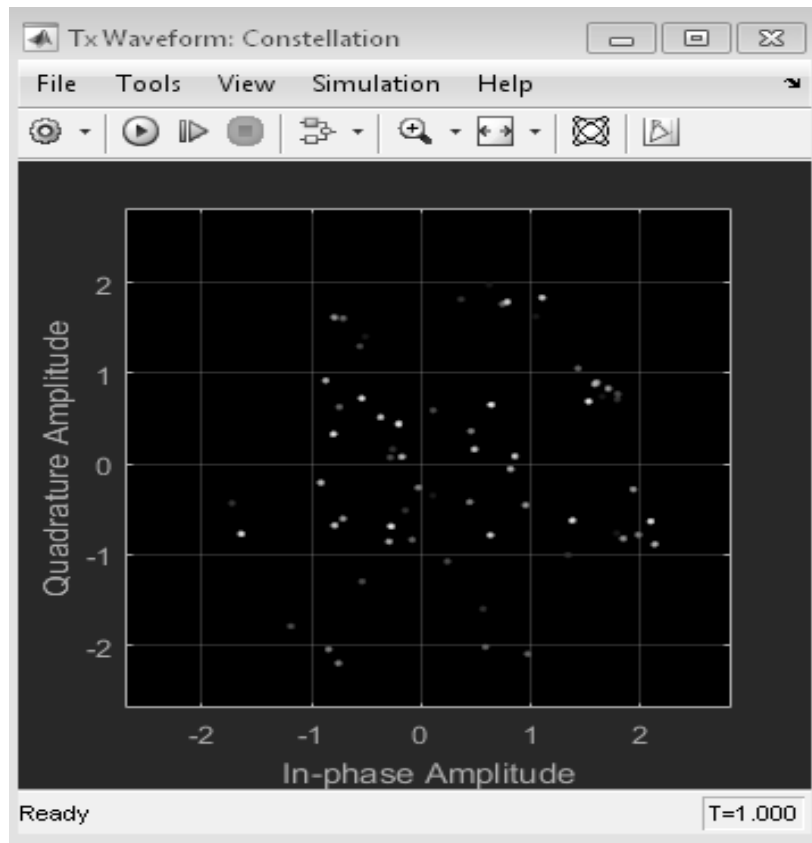


Рис. 25. Сгенерированный базовой станцией сигнал на I-Q диаграмме

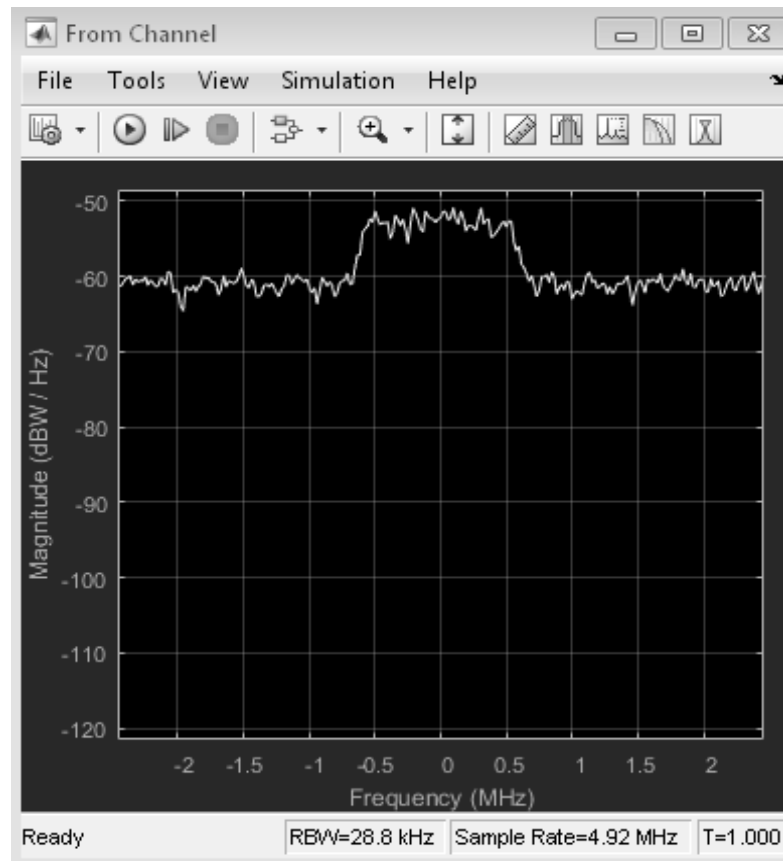


Рис. 26. Спектр принимаемого мобильной станцией сигнала после прохождения через канал.

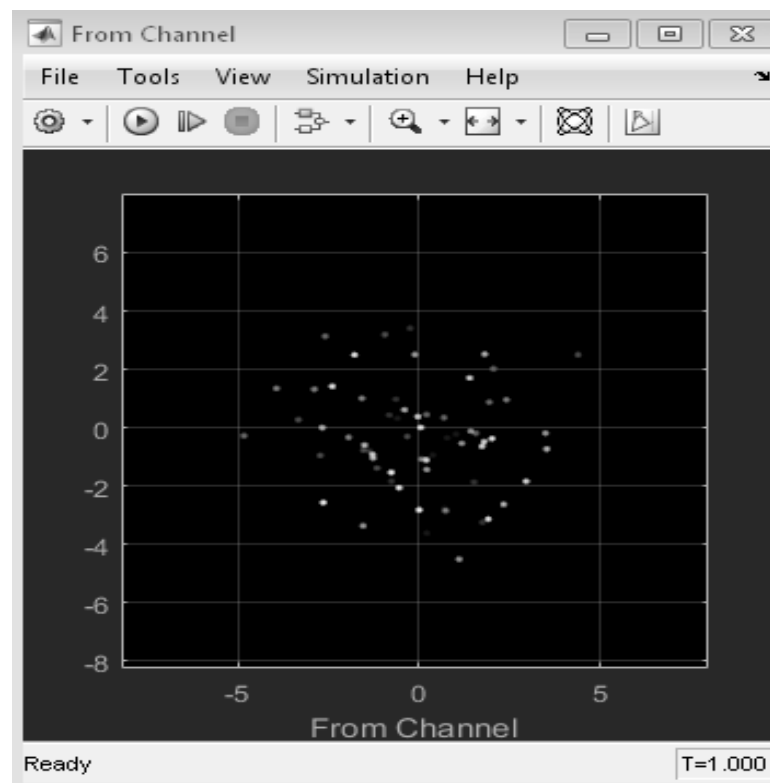


Рис. 27. Сигнал принимаемый мобильной станцией после прохождения через канал на I-Q диаграмме

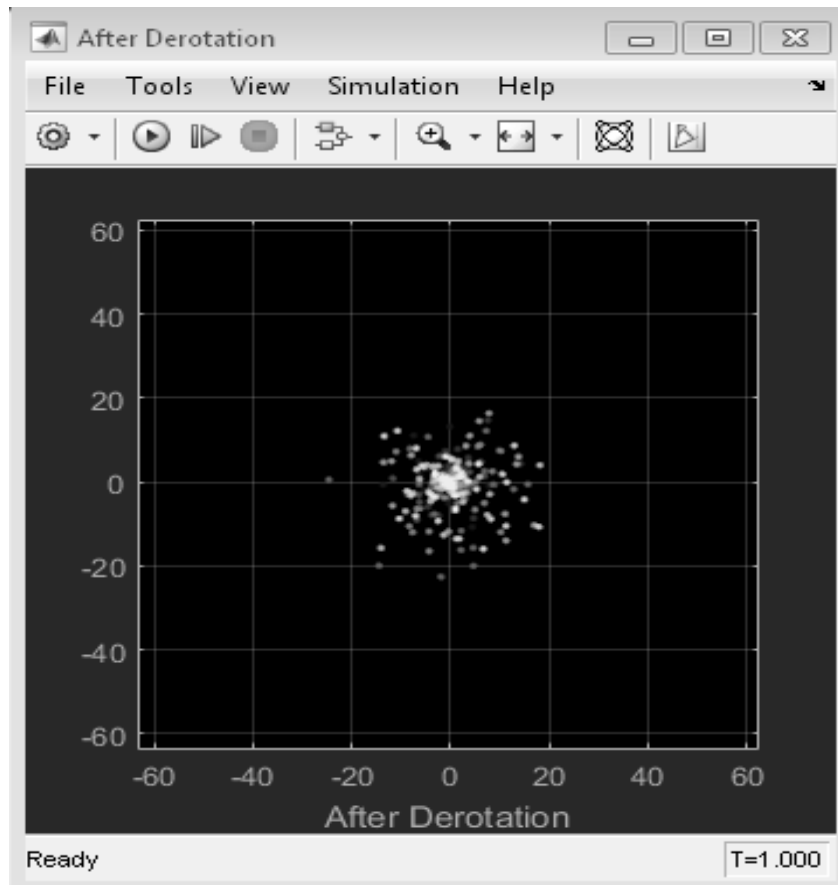


Рис. 28. Сигнал, принятый мобильной станцией

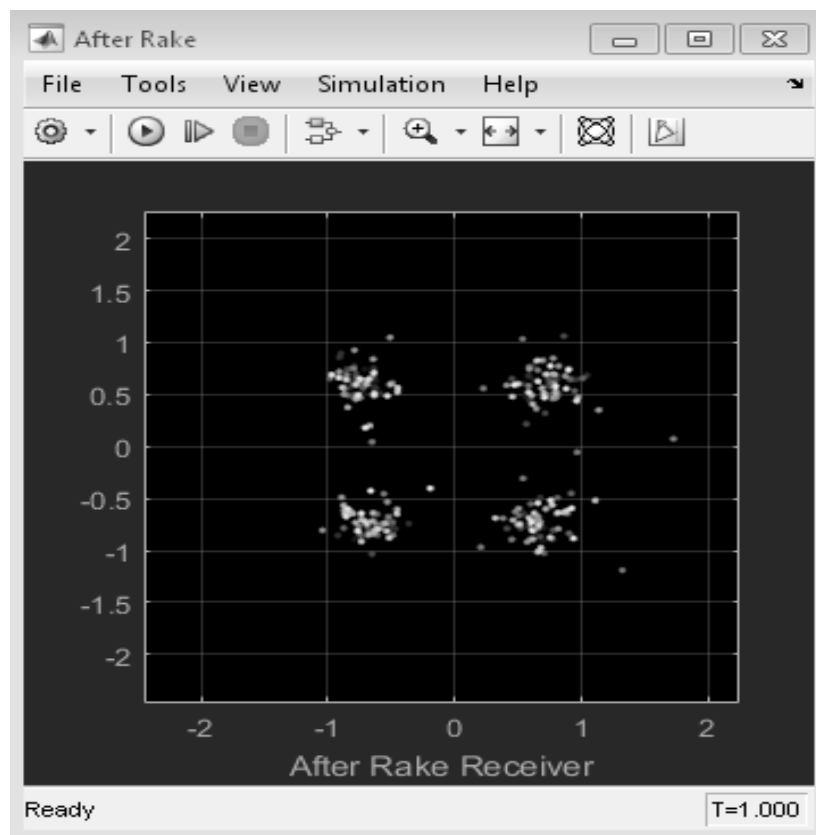


Рис. 29. Сигнал, декодированный мобильной станцией, на I-Q диаграмме.

**Исследование модели.**

В блоке Model Parameters во вкладке Channel Settings выберем Channel Model: No Channel.

Результат моделирования:

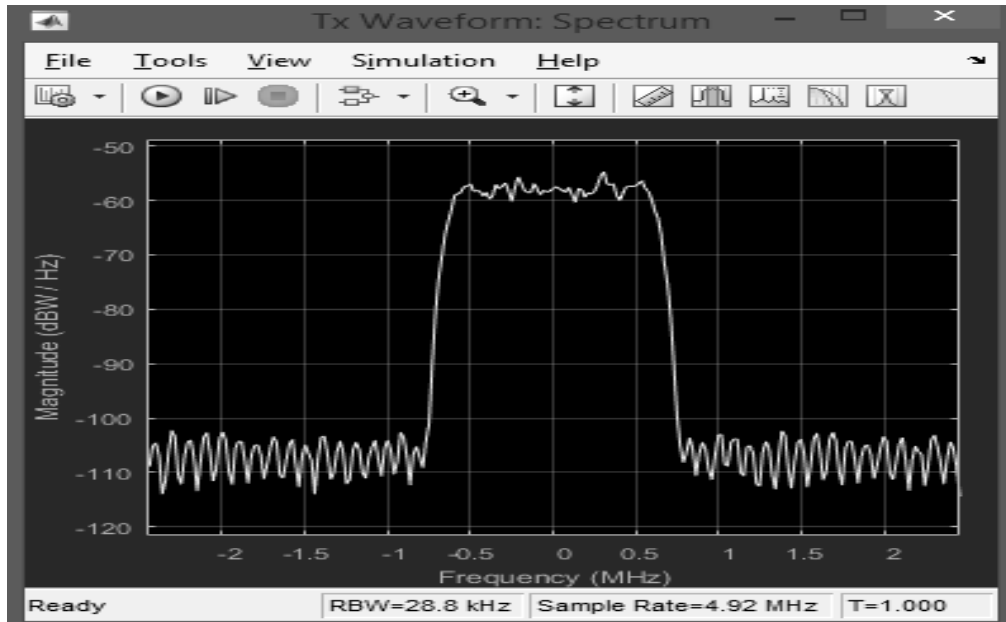


Рис. 30. Спектр сигнала сгенерированного базовой станцией

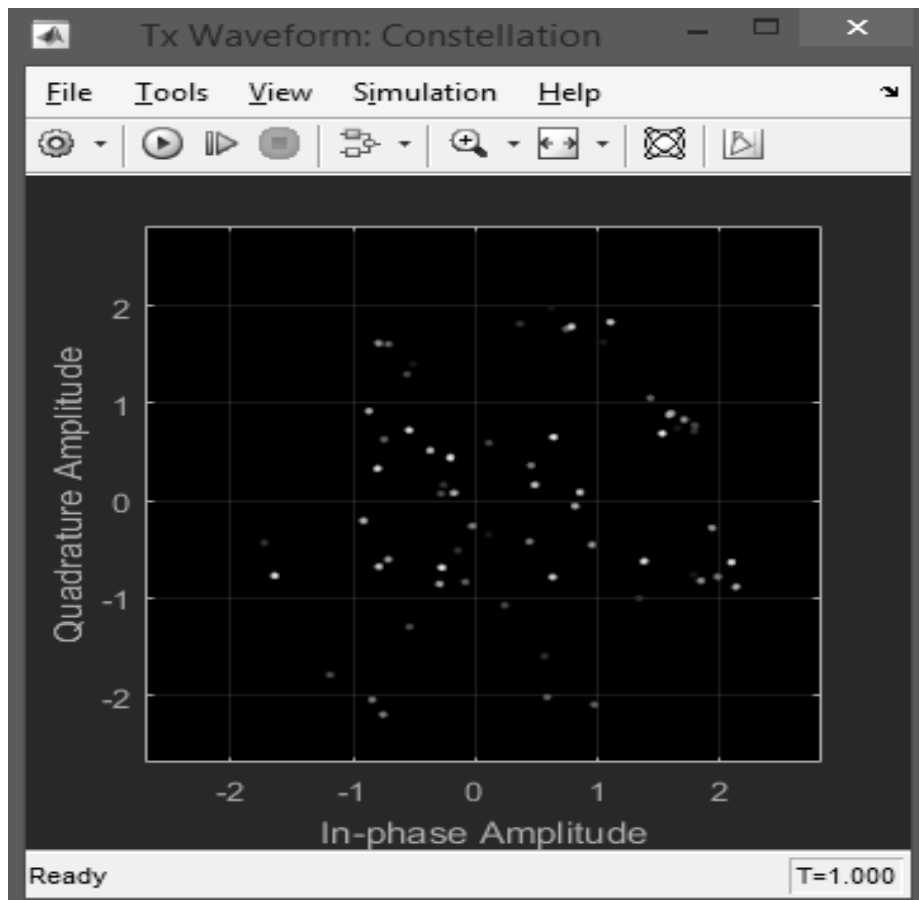


Рис. 31. Сгенерированный базовой станцией сигнал на I-Q диаграмме.

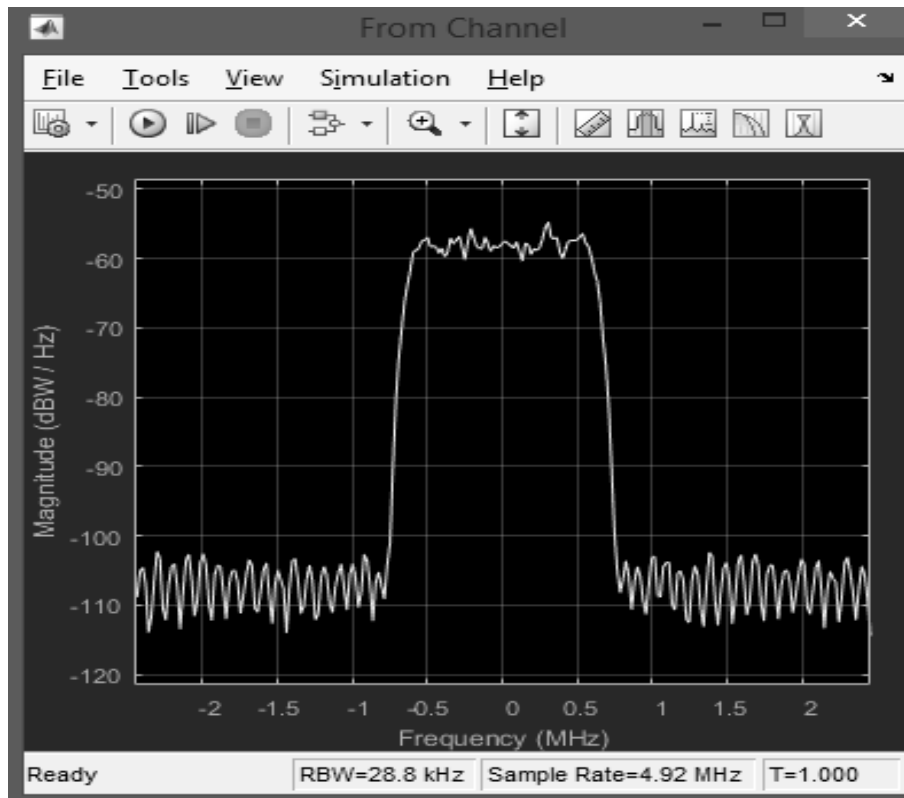


Рис. 32. Спектр сигнала после канала

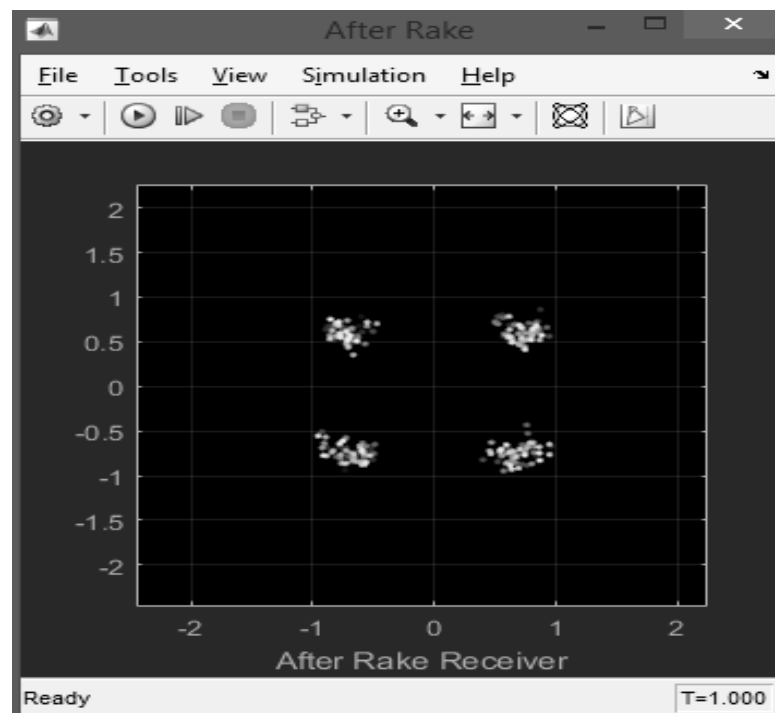


Рис. 33. Сигнал, декодированный мобильной станцией, на I-Q диаграмме

Видно, что спектр сигнала не изменился, так как в канале не было потерь. По результатам моделирования BER равен нулю.

В блоке Model Parameters во вкладке Channel Settings выберем Channel Model: AWGN Channel.

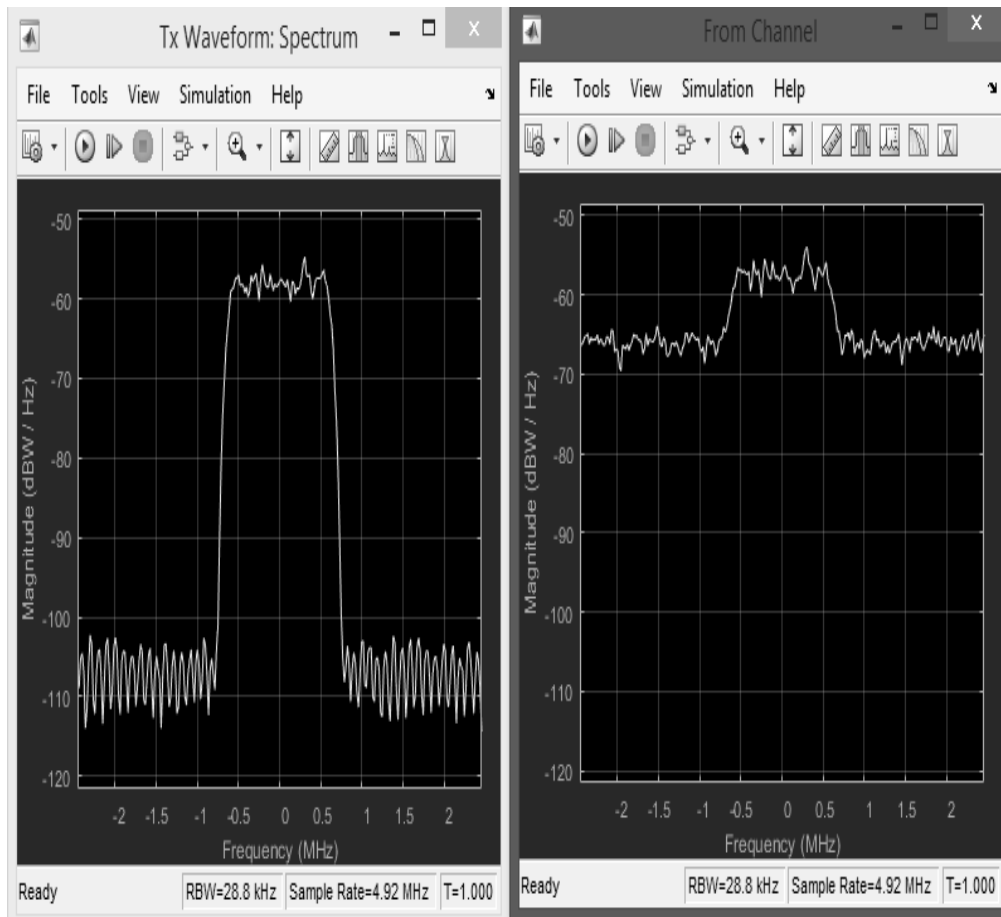


Рис. 34. Спектр сигнала до и после канала при отношении сигнал/шум 5 дБ

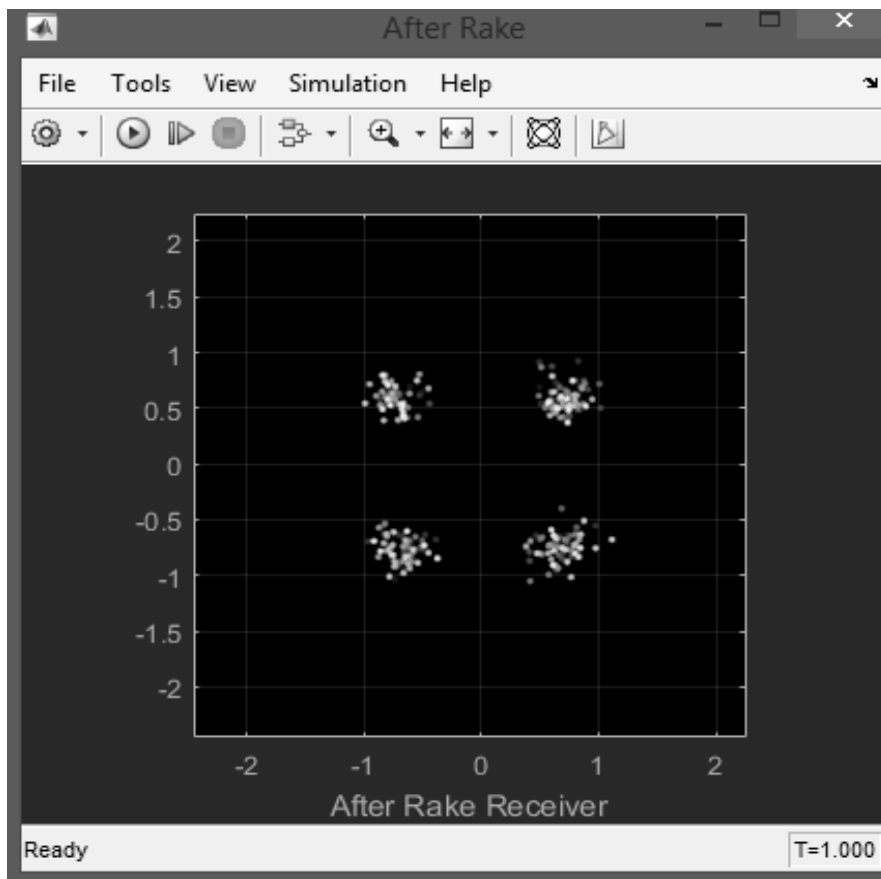


Рис. 35. Сигнал, декодированный мобильной станцией, на I-Q диаграмме.

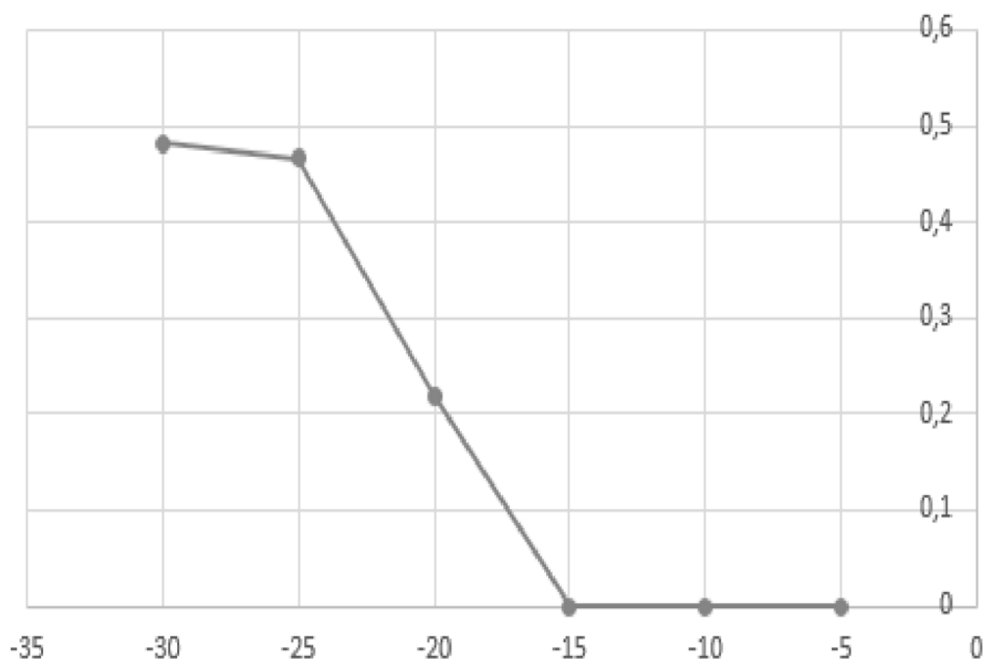


Рис. 36. Зависимость BER от SNR в канале с шумами.

Таблица 5.1. Зависимость BER от SNR в канале с шумами.

SN	-30	-25	-20	-15	-10	-5
R						
BE	0,48	0,46	0,21	0	0	0
R	14	62	86			

В блоке Model Parameters во вкладке Channel Settings выберем Channel Model: Multipath Fading Channel.

И установим следующие параметры

Maximum Doppler Frequency shift (in Hz):

450

Multipath Profile - Delay Vector (s):

[0 260e-9 521e-9 781e-9]

Multipath Profile - Gain Vector (dB):

[0 -3 -6 -9]

Рис. 37. Заданные параметры канала с многолучевым распространением.

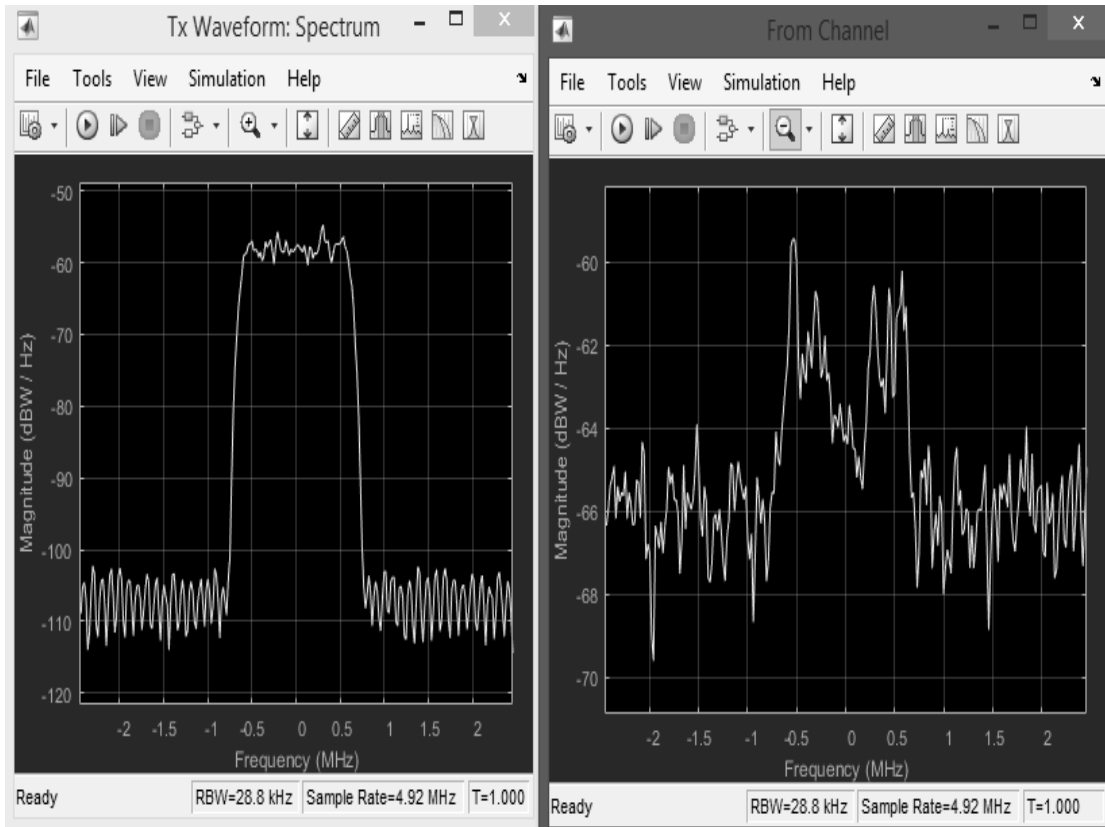


Рис. 38. Спектры сигнала до и после канала при отношении сигнал/шум 5 дБ.

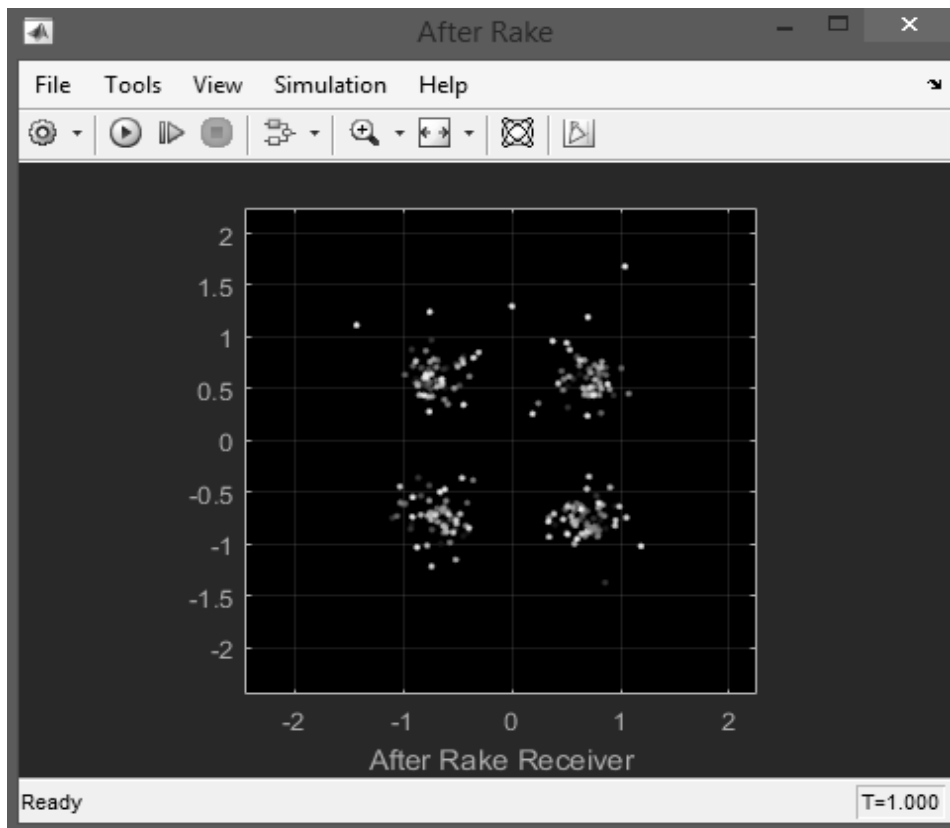


Рис. 39. Сигнал, декодированный мобильной станцией, на I-Q диаграмме.

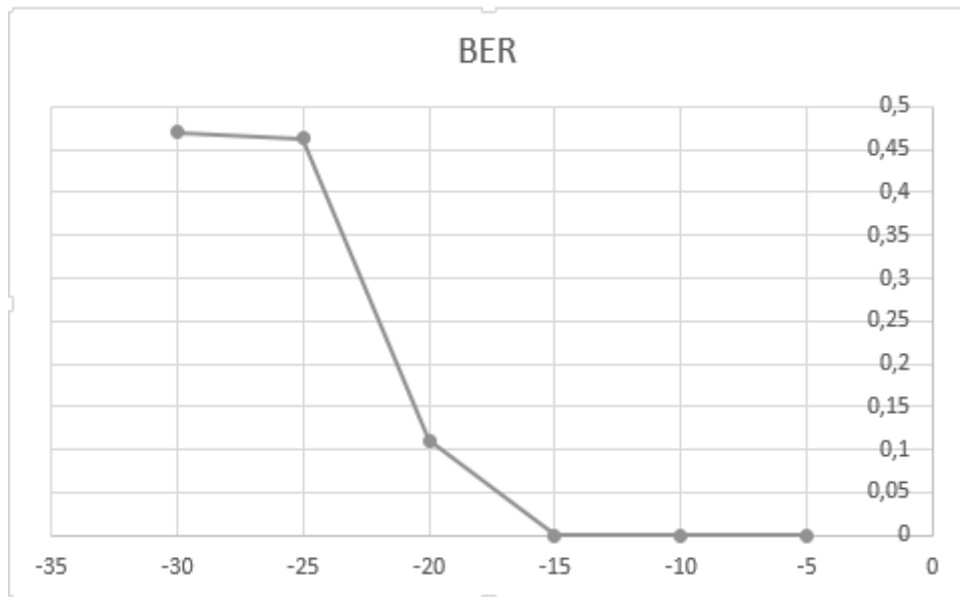


Рис. 40. Зависимость BER от SNR в канале с многолучевым распространением.

Таблица 2. Зависимость BER от SNR в канале с многолучевым распространением

SN	-30	-25	-20	-15	-10	-5
R						
BE	0,47	0,46	0,11	0	0	0
R	08	37	05			

В блоке Model Parameters во вкладк\*е Channel Settings выберем Channel Model: Multipath Fading Channel.

И установим следующие параметры

Maximum Doppler Frequency shift (in Hz):

600

Multipath Profile - Delay Vector (s):

[0 280e-9 541e-9 801e-9]

Multipath Profile - Gain Vector (dB):

[0 -4 -7 -10]

Рис. 41. Заданные параметры канала с многолучевым распространением

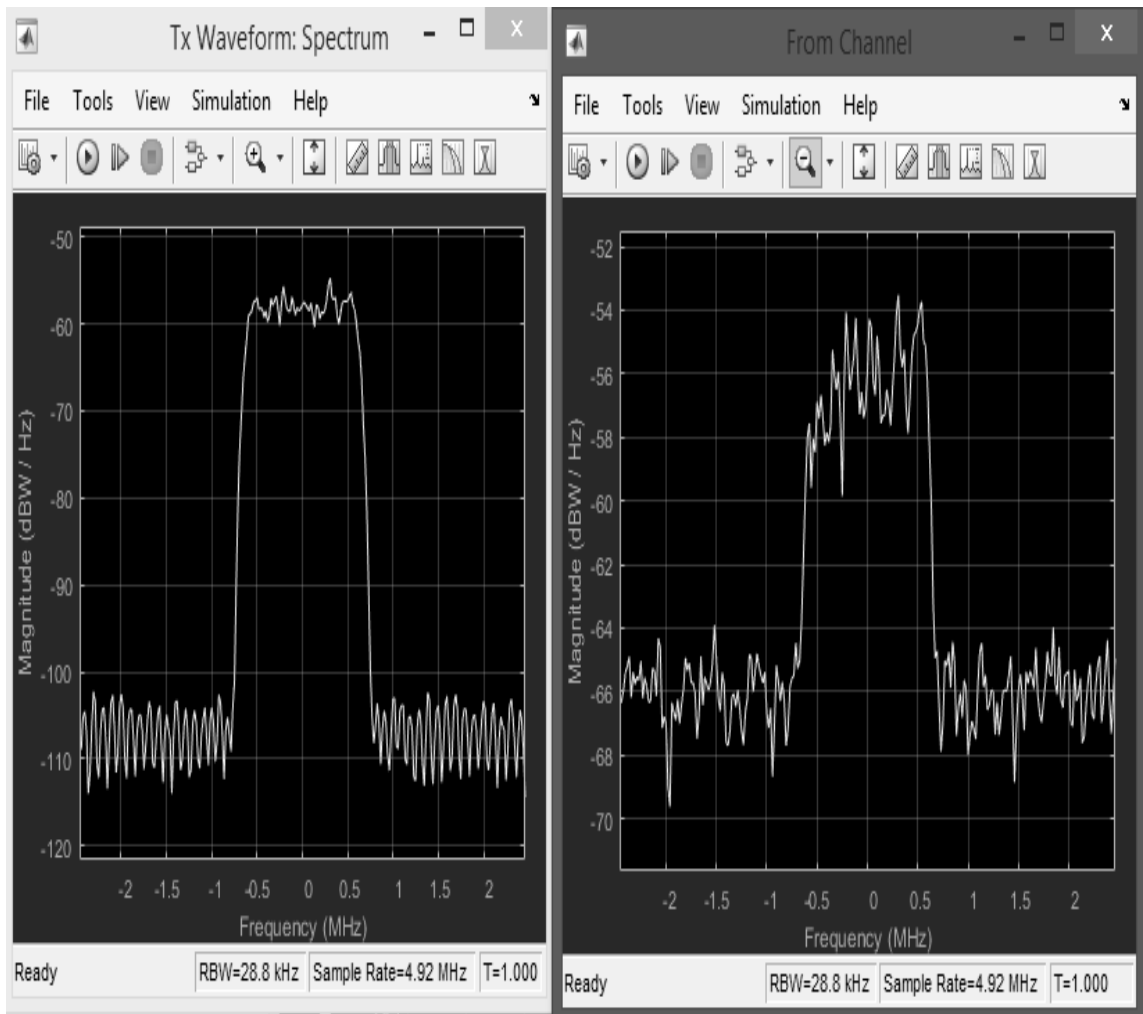


Рис. 42. Спектры сигнала до и после канала при отношении сигнал/шум 5

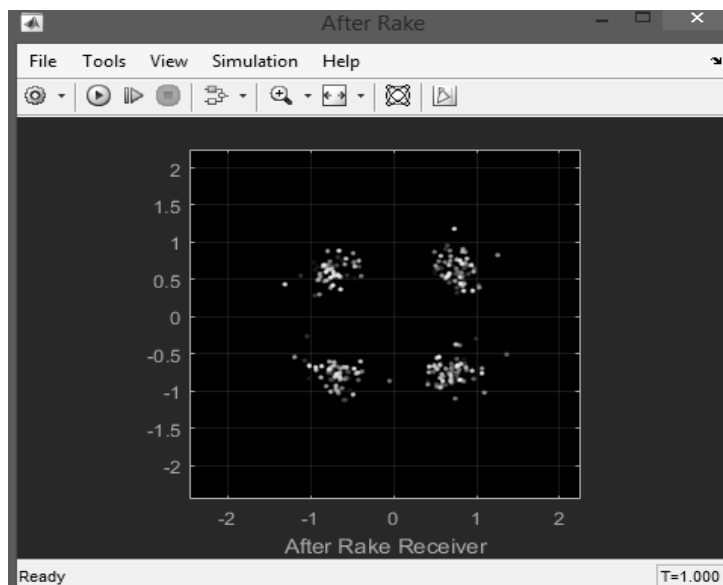


Рис. 43. Сигнал, декодированный мобильной станцией, на I-Q диаграмме

Таблица 3. Зависимость BER от SNR в канале с многолучевым распространением

R	SN	-30	-25	-20	-15	-10	-5
---	----	-----	-----	-----	-----	-----	----

	BE	0,50	0,46	0,15	0	0	0
R	07	57	32				

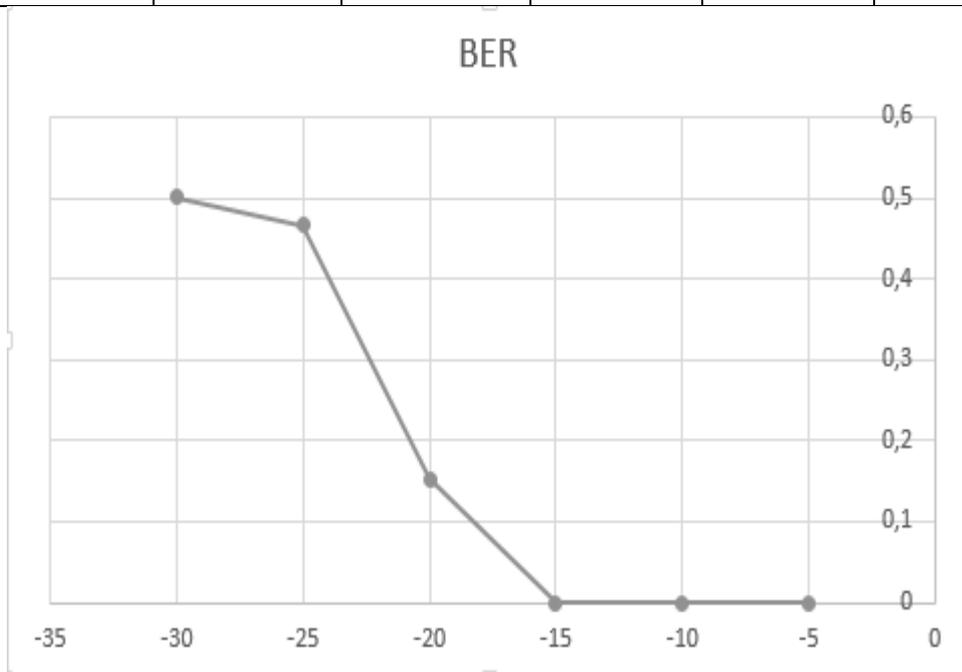


Рис. 44. Зависимость BER от SNR в канале с многолучевым распространением

Таким образом, в разделе было сделано:

1. Проведен аналитический обзор существующих методов и средств систем мобильной связи с кодовым разделением канала CDMA;
2. Разработана структурная схема DownLink канала CDMA2000 и приведена в приложении Б;
3. Приведена модель DownLink канала CDMA2000 реализованная в MATLAB R2015b;
4. Приведено исследование данной модели, а также методика проведения исследования, представленная в приложении А. Данную методику можно использовать для проведения учебных лабораторных работ.

На основе проведенного исследования можно сделать следующие выводы:

1. Система мобильной связи CDMA2000 обладает рядом преимуществ: возможность декодировать сигналы при отношении сигнал/шум меньше единицы, т.е. уровень передаваемого сигнала ниже уровня шума, что делает сигнал скрытым, а значит более защищенным.
2. Формируемый сигнал возможно принять и декодировать без ошибок даже при наличии многолучевости, однако при большом Доплеровском отклонении частоты и

больших задержках, например, 1 МГц и 1 мкс ошибки будут даже при высоком отношении сигнал/шум, например, 40 дБ. Но такие плохие характеристики канала довольно редки.

3. Для большей защищенности в аппаратуре стандарта CDMA длинный код формируется в результате нескольких последовательных логических операций с псевдослучайной двоичной последовательностью, генерируемой в 42-разрядном регистре сдвига, и двоичной 32-битовой маской, которая определяется индивидуально для каждого абонента. Такой регистр сдвига применяется во всех базовых станциях этого стандарта для обеспечения режима синхронизации всей сети. Длина M-последовательности при этом составляет 4 398 046 511 103 бит и если ее элементы формируются с тактовой частотой, например, 450 МГц, то период повторения будет составлять 9773,44 с = 2 ч 43 мин. Это значит, что если даже удастся засинхронизировать приемник в случае несанкционированного перехвата, то чтобы определить структуру сигнала-носителя необходимо вести наблюдение в течение почти 3-х часов, а с применением индивидуальной 32-битовой маски "подслушивание" практически исключено.

Таблица 4. Характеристики CDMA2000

Характеристика	Значение
Базовая скорость передачи данных в канале	9.6 кбит/с
Длительность пакетов, на которые разбивается базовый поток	20 мс
Цифровая модуляция DownLink	QPSK
Цифровая модуляция UpLink	OQPSK
Размер матрицы Адамара	64x64
Разрядность регистра сдвига для формирования длинного кода	42
Длина M-последовательности длинного кода	4 398 046 511 103
Количество бит в индивидуальной маске пользователя	32
Разрядность регистра сдвига для формирования короткого кода	15
Длина M-последовательности короткого кода	32768
Частота среза КИХ-фильтра	615 кГц

Методика проведения измерений работы:

1. Запустить MATLAB R2015b от имени администратора;
2. В командной строке ввести команду «cdma2000SimulinkExample»;
3. Два раза кликнуть левой кнопкой мыши по блоку Model Parameters;
4. Во вкладке Channel Settings выбрать Channel Model: No Channel;
5. Два раза кликнуть левой кнопкой мыши по блоку Open Scopes;
6. Запустить моделирование;
7. После отображения всех графиков сохранить полученные данные и убедиться, что спектр сигнала, до и после канала, не изменился;
8. Не закрывая окна с графиками два раза кликнуть левой кнопкой мыши по блоку Model Parameters;
9. Во вкладке Channel Settings выбрать Channel Model: AWGN Channel и изменяя значение отношения сигнал/шум построить зависимость BER от SNR, и сохранить полученные диаграммы хотя бы для одного измерения;
10. Не закрывая окна с графиками два раза кликнуть левой кнопкой мыши по блоку Model Parameters;
11. Во вкладке Channel Settings выбрать Channel Model: Multipath Fading Channel и изменяя значение отношения сигнал/шум построить зависимость BER от SNR, и сохранить полученные диаграммы хотя бы для одного измерения;
12. Не закрывая окна с графиками два раза кликнуть левой кнопкой мыши по блоку Model Parameters;
13. Во вкладке Channel Settings изменить параметры доплеровского отклонения частоты (Maximum Doppler Frequency shift), вектора задержки (Multipath Profile – Delay Vector), вектора усиления (Multipath Profile – Gain Vector) и повторить пункт 11. Длины векторов задержки и усиления должны совпадать.

### **3. Имитационное моделирование системы мобильной связи стандарта IEEE 802.11 (WiFi) на базе MATLAB**

На современном этапе развития сетевых технологий, технология беспроводных сетей Wi-Fi является наиболее удобной в условиях, требующих мобильность, простоту установки и использования. Как правило, технология Wi-Fi используется для организации беспроводных локальных компьютерных сетей, а также создания так называемых горячих точек высокоскоростного доступа в Интернет.

Беспроводные сети обладают, по сравнению с традиционными проводными сетями, немалыми преимуществами, главным из которых, конечно же, является:

- Простота развёртывания;
- Гибкость архитектуры сети, когда обеспечивается возможность динамического изменения топологии сети при подключении, передвижении и отключении мобильных пользователей без значительных потерь времени;
- Быстрота проектирования и реализации, что критично при жестких требованиях к времени построения сети;

В то же время беспроводные сети на современном этапе их развития не лишены серьёзных недостатков. Прежде всего, это зависимость скорости соединения и радиуса действия от наличия преград и от расстояния между приёмником и передатчиком. Один из способов увеличения радиуса действия беспроводной сети заключается в создании распределённой сети на основе нескольких точек беспроводного доступа. При создании таких сетей появляется возможность превратить здание в единую беспроводную зону и увеличить скорость соединения вне зависимости от количества стен (преград). Аналогично решается и проблема масштабируемости сети, а использование внешних направленных антенн позволяет эффективно решать проблему препятствий, ограничивающих сигнал.

**В соответствии с техническим заданием основными задачами данной работы являлись:**

1. Аналитический обзор существующих методов и средств;
2. Разработка структурной схемы программного комплекса;
3. Разработка алгоритма программы;
4. Разработка программного интерфейса для исследования характеристик и визуализации основных преобразований;
5. Разработка методики и проведение исследования основных технических характеристик, анализ результатов исследования.

Полученная в результате разработка позволяет исследовать беспроводные сети на базе стандарта 802.11b.

#### **История развития.**

В 1990 г. Комитет по стандартам IEEE 802 (Institute of Electrical and Electronic Engineers) сформировал рабочую группу по стандартам для беспроводных локальных сетей 802.11. Это группа занялась разработкой всеобщего стандарта для радиооборудования и сетей, работающих на частоте 2.4 ГГц со скоростями 1 и 2 Мбит/с. Работа по созданию стандарта были завершены через семь лет, и в июне 1997 г. была ратифицирована первая спецификация 802.11 [1].

Стандарт IEEE 802.11 стал первым стандартом для продуктов WLAN от независимой международной организации. Однако к моменту выхода стандарта в свет первоначально

заложенная в нем скорость передачи данных оказалась недостаточной. Это послужило причиной последующих доработок, поэтому сегодня можно говорить о группе стандартов.

### **Методы построения радиосигнала в WiFi-сетях.**

В настоящее время при разработке аппаратуры для беспроводных сетей используются два метода построения сигнала:

1. С непосредственной модуляцией несущей частоты (Direct-Sequence Spread Spectrum – DSSS).

Информационный сигнал домножается на псевдослучайный код (Pncode – Pseudo Random Noise Code). Полученный результат используют для модуляции несущей. В приемнике полученный сигнал умножают на тот же код и выделяют полезный сигнал.

Основной проблемой, возникающей при использовании метода прямой последовательности, является эффект близко расположенного передатчика, т.е. уровень сигнала мешающего передатчика гораздо выше уровня нужного передатчика, что может привести к потере связи.

2. Со скачкообразной перестройкой частоты (Frequency-Hopping Spread Spectrum – FHSS).

Частота несущей изменяется согласно уникальной последовательности. Для реализации этого метода необходим скоростной синтезатор частот.

Недостаток: сложность получения высокого значения базы сигнала, что необходимо для увеличения числа пользователей, помехоустойчивости, повышения конфиденциальности.

Достоинство: меньшая подверженность эффекту близкого передатчика.

Оба метода основаны на принципе приема-передачи с «расширенным спектром», который обеспечивает защиту от помех и конфиденциальность передаваемой информации. Обычно при выборе сетевого продукта учитывают следующие факторы: скорость передачи данных, дальность устойчивой связи, соответствие стандартам, эксплуатационные характеристики и стоимость. Выбор типа аппаратуры для беспроводной сети определяется как условиями эксплуатации, так и стоимостью изделия. Следует отметить, что устройства, работающие по методу FHSS, можно получить миниатюрный и недорогой адаптер для портативного ПК.

### **Описание стандарта.**

Из всех существующих стандартов беспроводной передачи данных IEEE 802.11 на практике чаще всего используются всего три стандарта, определенные Инженерным институтом электротехники и радиоэлектроники (IEEE): 802.11b, 802.11a и 802.11g.

В стандарте IEEE 802.11b благодаря высокой скорости передачи данных (до 11 Мбит/с), практически эквивалентной пропускной способности обычных проводных локальных сетей Ethernet, а также ориентации на диапазон 2,4 ГГц, этот стандарт завоевал наибольшую популярность у производителей оборудования для беспроводных сетей.

Поскольку оборудование, работающее на максимальной скорости 11 Мбит/с, имеет меньший радиус действия, чем на более низких скоростях, стандартом 802.11b предусмотрено автоматическое снижение скорости при ухудшении качества сигнала.

Стандарт IEEE 802.11a имеет большую ширину полосы из семейства стандартов 802.11 при скорости передачи данных до 54 Мбит/с.

В отличие от базового стандарта, ориентированного на область частот 2,4 ГГц, спецификациями 802.11a предусмотрена работа в диапазоне 5 ГГц. В качестве метода модуляции сигнала выбрано ортогональное частотное мультиплексирование (OFDM).

К недостаткам 802.11a относятся более высокая потребляемая мощность радиопередатчиков для частот 5 ГГц, а также меньший радиус действия.

Стандарт IEEE 802.11g является логическим развитием 802.11b и предполагает передачу данных в том же частотном диапазоне. Кроме того, стандарт 802.11g полностью совместим с 802.11b, то есть любое устройство 802.11g должно поддерживать работу с устройствами 802.11b. Максимальная скорость передачи в стандарте 802.11g составляет 54 Мбит/с, поэтому на сегодня это наиболее перспективный стандарт беспроводной связи.

При разработке стандарта 802.11g рассматривались две отчасти конкурирующие технологии: метод ортогонального частотного разделения OFDM и метод двоичного пакетного сверточного кодирования PBCC, опционально реализованный в стандарте 802.11b. В результате стандарт 802.11g содержит компромиссное решение: в качестве базовых применяются технологии OFDM и ССК, а опционально предусмотрено использование технологии PBCC.

#### **Физические уровни стандарта.**

Основное назначение физических уровней стандарта 802.11 - обеспечить механизмы беспроводной передачи для подуровня MAC, а также поддерживать выполнение вторичных функций, таких как оценка состояния беспроводной среды и сообщение о нем подуровню MAC. Уровни MAC и PHY разрабатывались так, чтобы они были независимыми. Именно независимость между MAC и подуровнем PHY и позволила использовать дополнительные высокоскоростные физические уровни, описанные в стандартах 802.11b, 802.11a и 802.11g.

Каждый из физических уровней стандарта 802.11 имеет два подуровня:

- Physical Layer Convergence Procedure (PLCP). Процедура определения состояния физического уровня.
- Physical Medium Dependent (PMD). Подуровень физического уровня, зависящий от среды передачи.

На рис.1 показано, как эти подуровни соотносятся между собой и с вышестоящими уровнями в модели взаимодействия открытых систем (Open System Interconnection - OSI).

Подуровень PLCP по существу является уровнем обеспечения взаимодействия, на котором осуществляется перемещение элементов данных протокола MAC (MAC Protocol Data Units - MPDU) между MAC-станциями с использованием подуровня PMD, на котором реализуется тот или иной метод передачи и приема данных через беспроводную среду. Подуровни PLCP и PMD отличаются для разных вариантов стандарта 802.11.

Перед тем как приступить к изучению физических уровней, рассмотрим одну из составляющих физического уровня, до сих пор не упомянутую, а именно - скремблирование.

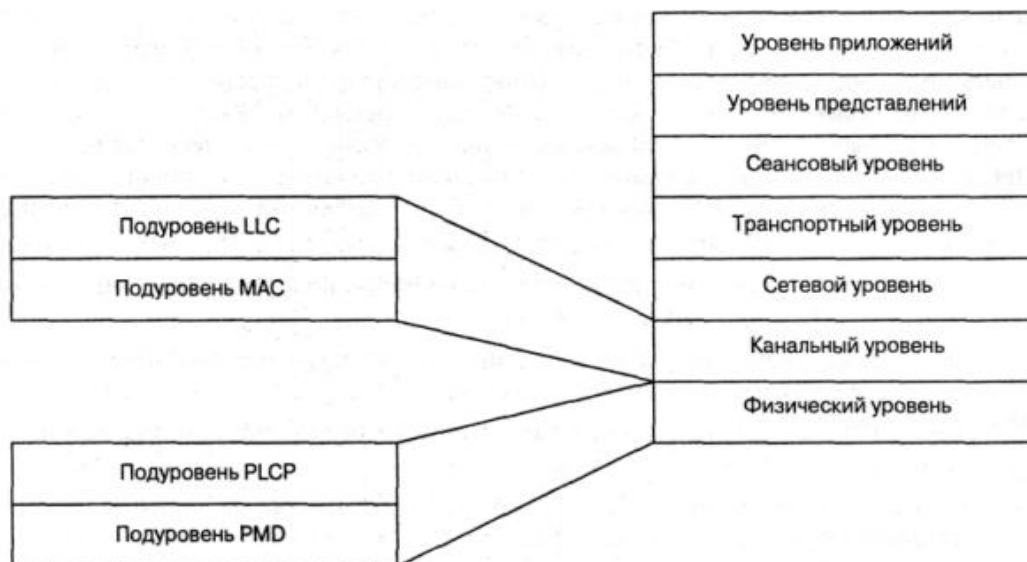


Рис. 45. Подуровни уровня РНУ

Одна из особенностей, лежащих в основе современных передатчиков, благодаря которой данные можно передавать с высокой скоростью, - это предположение о том, что данные, которые предлагаются для передачи, поступают, с точки зрения передатчика, случайным образом. Без этого предположения многие преимущества, получаемые за счет применения остальных составляющих физического уровня, остались бы нереализованными.

Однако бывает, что принимаемые данные не вполне случайны и на самом деле могут содержать повторяющиеся наборы и длинные последовательности нулей и единиц.

Скремблирование (перестановка элементов) - это метод, посредством которого принимаемые данные делаются более похожими на случайные; достигается это путем

перестановки битов последовательности таким образом, чтобы превратить ее из структурированной в похожую на случайную. Эту процедуру иногда называют "отбеливанием потока данных". Дескремблер приемника затем выполняет обратное преобразование этой случайной последовательности с целью получения исходной структурированной последовательности. Большинство способов скремблирования относится к числу самосинхронизирующихся; это означает, что дескремблер способен самостоятельно синхронизироваться со скремблером.

### **IEEE 802.11.**

Исходный стандарт 802.11 определяет три метода передачи на физическом уровне:

- Передача в диапазоне инфракрасных волн.
- Технология расширения спектра путем скачкообразной перестройки частоты (FHSS) в диапазоне 2,4 ГГц.
- Технология широкополосной модуляции с расширением спектра методом прямой последовательности (DSSS) в диапазоне 2,4 ГГц.

#### **Передача в диапазоне инфракрасных волн.**

Средой передачи являются инфракрасные волны диапазона 850 нм, которые генерируются либо полупроводниковым лазерным диодом, либо светодиодом (LED). Так как инфракрасные волны не проникают через стены, область покрытия LAN ограничивается зоной прямой видимости. Стандарт предусматривает три варианта распространения излучения: ненаправленную антенну, отражение от потолка и фокусное направленное излучение. В первом случае узкий луч рассеивается с помощью системы линз. Фокусное направленное излучение предназначено для организации двухточечной связи, например между двумя зданиями.

#### **Беспроводные локальные сети со скачкообразной перестройкой частоты (FHSS).**

Беспроводные локальные сети FHSS поддерживают скорости передачи 1 и 2 Мбит/с. Устройства FHSS делят предназначенную для их работы полосу частот от 2,402 до 2,480 ГГц на 79 неперекрывающихся каналов (это справедливо для Северной Америки и большей части Европы). Ширина каждого из 79 каналов составляет 1 МГц, поэтому беспроводные локальные сети FHSS используют относительно высокую скорость передачи символов - 1 МГц - и намного меньшую скорость перестройки с канала на канал.

Последовательность перестройки частоты должна иметь следующие параметры: частота перескоков не менее 2,5 раз в секунду как минимум между шестью (6 МГц) каналами. Чтобы минимизировать число коллизий между перекрывающимися зонами покрытия, возможные последовательности перескоков должны быть разбиты на три набора последовательностей, длина которых для Северной Америки и большей части Европы

составляет 26. В таблице 1 представлены схемы скачкообразной перестройки частоты, обеспечивающие минимальное перекрытие.

По сути, схема скачкообразной перестройки частоты обеспечивает неторопливый переход с одного возможного канала на другой таким образом, что после каждого скачка покрывается полоса частот, равная как минимум 6 МГц, благодаря чему в многосотовых сетях минимизируется возможность возникновения коллизий.

Таблица 5 - Схема FHSS для Северной Америки и Европы	
Н абор	Схема скачкообразной перестройки частоты
1	{0,3,6,9,12,15,18,21,24,27,30,33,36,39,42,45,48,51,54,57,60,63,66,69,72,75}
2	{1,4,7,10,13,16,19,22,25,28,31,34,37,40,43,46,49,52,55,58,61,64,67,70,73,76}
3	{2,5,8,11,14,17,20,23,26,29,32,35,38,41,44,47,50,53,56,59,62,65,68,71,74,77}

После того как уровень MAC пропускает MAC-фрейм, который в локальных беспроводных сетях FHSS называется также служебным элементом данных PLCP, или PSDU (PLCP Service Data Unit), подуровень PLCP добавляет два поля в начало фрейма, чтобы сформировать таким образом фрейм PPDU (PPDU - элемент данных протокола PLCP). На рис.5.46 представлен формат фрейма FHSS подуровня PLCP.

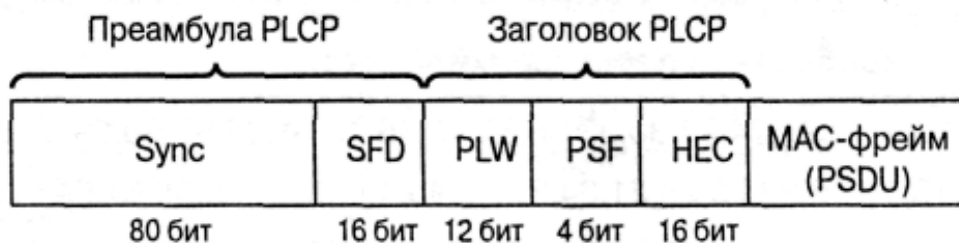


Рис. 46. Формат фрейма FHSS подуровня PLCP

Преамбула PLCP состоит из двух подполей:

- Подполе Sync размером 80 бит. Строка, состоящая из чередующихся 0 и 1, начинается с 0. Приемная станция использует это поле, чтобы принять решение о выборе антенны при наличии такой возможности, откорректировать уход частоты (frequency offset) и синхронизировать распределение пакетов (packet timing).
- Подполе флага начала фрейма (Start of Frame Delimiter, SFD) размером 16 бит. Состоит из специфической строки (0000 1100 1011 1101, крайний слева бит первый) в обеспечение синхронизации фреймов (frame timing) для приемной станции.

Заголовок фрейма PLCP состоит из трех подполей:

- Слово длины служебного элемента данных PLCP (PSDU), PSDU Length Word (PLW) размером 12 бит. Указывает размер фрейма MAC (PSDU) в октетах.

- Сигнальное поле PLCP (Signaling Field PLCP - PSF) размером 4 бит. Указывает скорость передачи данных конкретного фрейма.

- HEC (Header Error Check). Контрольная сумма фрейма.

Служебный элемент данных PLCP (PSDU) проходит через операцию скремблирования с целью отбеливания (рандомизации) последовательности входных битов. Получившийся в результате PSDU представлен на рис.5.47. Заполняющие символы вставляются между всеми 32-символьными блоками. Эти заполняющие символы устраняют любые систематические отклонения в данных, например, когда единиц больше, чем нулей, или наоборот, которые могли бы привести к нежелательным эффектам при дальнейшей обработке.

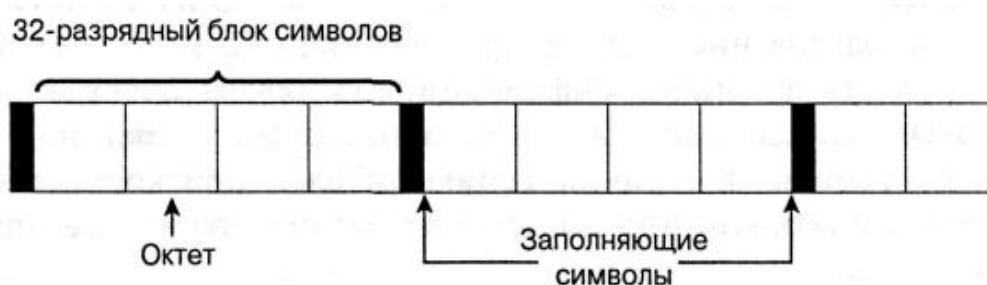


Рис. 47. Скремблированный PSDU в технологии FHSS

Подуровень PLCP преобразует фрейм в поток битов и передает его на подуровень PMD. Подуровень PMD технологии FHSS модулирует поток данных с использованием модуляции, основанной на гауссовой частотной модуляции (Gaussian Frequency Shift Keying - GFSK).

### **Беспроводные локальные сети, использующие широкополосную модуляцию DSSS с расширением спектра методом прямой последовательности.**

В спецификации стандарта 802.11 оговорено использование и другого физического уровня - на основе технологии широкополосной модуляции с расширением спектра методом прямой последовательности (DSSS). Как было указано в стандарте 802.11 разработки 1997 года, технология DSSS поддерживает скорости передачи 1 и 2 Мбит/с.

Аналогично подуровню PLCP, используемому в технологии FHSS, подуровень PLCP технологии DSSS стандарта 802.11 добавляет два поля во фрейм MAC, чтобы сформировать PDU: преамбулу PLCP и заголовок PLCP. Формат фрейма представлен на рис.5.48.

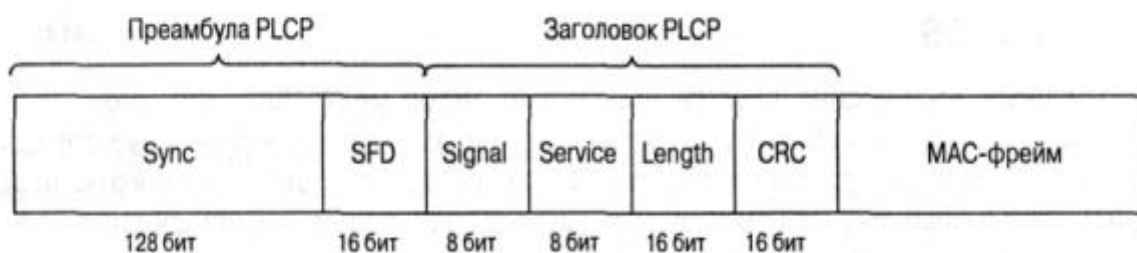


Рис. 48. Формат фрейма DSSS подуровня PLCP

Преамбула PLCP состоит из двух подполей:

- Подполе Sync шириной 128 бит, представляющее собой строку, состоящую из единиц. Задача этого подполя - обеспечить синхронизацию для приемной станции.
- Подполе SFD шириной 16 бит ; в нем содержится специфичная строка 0xF3A0; его задача - обеспечить тайминг (timing) для приемной станции.

Заголовок PLCP состоит из четырех подполей:

- Подполе Signal шириной 8 бит, указывающее тип модуляции и скорость передачи для данного фрейма.
- Подполе Service шириной 8 бит зарезервировано. Это означает, что во время разработки спецификации стандарта оно осталось неопределенным; предполагается, что оно пригодится в будущих модификациях стандарта.
- Подполе Length шириной 16 бит, указывающее количество микросекунд (из диапазона 16-216), необходимое для передачи части MAC-фрейма.
- Подполе CRC. 16-битная контрольная сумма.

Подуровень PLCP преобразует фрейм в поток битов и передает данные на подуровень PMD. Весь PPDU проходит через процесс скремблирования с целью рандомизации данных.

Скремблированная преамбула PLCP всегда передается со скоростью 1 Мбит/с, в то время как скремблированный фрейм MPDU передается со скоростью, указанной в подполе Signal. Подуровень PMD модулирует отбеленный поток битов, используя следующие методы модуляции:

- Двоичная относительная фазовая модуляция (Differential Binary Phase Shift Keying - DBPSK) для скорости передачи 1 Мбит/с.
- Квадратурная относительная фазовая модуляция (Differential Quadrature Phase Shift Key - DQPSK) для скорости передачи 2 Мбит/с.

#### **IEEE 802.11b.**

На физическом уровне к MAC-кадрам (MPDU) добавляется заголовок физического уровня, состоящий из преамбулы и собственно PLCP-заголовка (Рис. 5.49).

Преамбула содержит стартовую синхропоследовательность (SYNC) для настройки приемника и 16-битный код начала кадра (SFD) - число F3A016. PLCP-заголовок включает поля SIGNAL (информация о скорости и типе модуляции), SERVICE (дополнительная информация, в том числе о применении высокоскоростных расширений и PBCC-модуляции) и LENGTH (время в микросекундах, необходимое для передачи следующей за заголовком части кадра). Все три поля заголовка защищены 16-битной контрольной суммой CRC.



Рис. 49. Структура кадров сети IEEE 802.11b физического уровня

В стандарте IEEE 802.11b предусмотрено два типа заголовков: длинный и короткий (51).

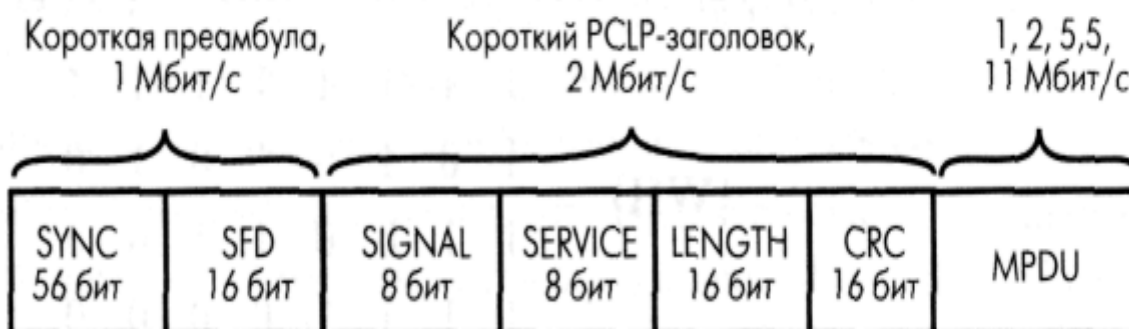


Рис. 50. Короткий заголовок кадров сети 802.11b

Они отличаются длиной синхропоследовательности (128 и 56 бит), способом ее генерации, а также тем, что символ начала кадра в коротком заголовке передается в обратном порядке. Кроме того, если все поля длинного заголовка передаются со скоростью 1 Мбит/с, то при коротком заголовке преамбула транслируется на скорости 1 Мбит/с, другие поля заголовка - со скоростью 2 Мбит/с. Остальную часть кадра можно передавать на любой из допустимых стандартом скоростей передачи, указанных в полях SIGNAL и SERVICE. Короткие заголовки физического уровня предусмотрены спецификацией IEEE 802.11b для увеличения пропускной способности сети.

Из описания процедур связи сети IEEE 802.11 видно, что "накладные расходы" в этом стандарте выше, чем в проводной сети Ethernet. Поэтому крайне важно обеспечить высокую скорость передачи данных в канале. Повысить пропускную способность канала с заданной

шириной полосы частот можно, разрабатывая и применяя новые методы модуляции. По этому пути пошла группа разработчиков IEEE 802.11b.

Напомним, что изначально стандарт IEEE 802.11 предусматривал работу в режиме DSSS с использованием так называемой Баркеровской последовательности (Barker) длиной 11 бит:  $B1 = (10110111000)$ . Каждый информационный бит замещается своим произведением по модулю 2 (операция "исключающее ИЛИ") с данной последовательностью, т. е. каждая информационная единица заменяется на B1, каждый ноль - на инверсию B1. В результате бит заменяется последовательностью 11 чипов. Далее сигнал кодируется посредством дифференциальной двух- или четырехпозиционной фазовой модуляции (DBPSK или DQPSK, один или два чипа на символ соответственно). При частоте модуляции несущей 11 МГц общая скорость составляет в зависимости от типа модуляции 1 и 2 Мбит/с.

Стандарт IEEE 802.11b дополнительно предусматривает скорости передачи 11 и 5,5 Мбит/с. Для этого используется так называемая ССК-модуляция (Complementary Code Keying - кодирование комплементарным кодом).

Хотя механизм расширения спектра, используемый для получения скоростей 5,5 и 11 Мбит/с с применением ССК, относится к методам, которые применяются для скоростей 1 и 2 Мбит/с, он по-своему уникален. В обоих случаях применяется метод расширения, но при использовании модуляции ССК расширяющий код представляет собой код из 8 комплексных чипов, в то время как при работе со скоростями 1 и 2 Мбит/с применяется 11-разрядный код. 8-чиповый код определяется или 4, или 8 битами - в зависимости от скорости передачи данных. Скорость передачи чипов составляет 11 Мчип/с, т.е. при 8 комплексных чипах на символ и 4 или 8 битов на символ можно добиться скорости передачи данных 5,5 и 11 Мбит/с.

Для того чтобы передавать данные со скоростью 5,5 Мбит/с, нужно сгруппировать скремблированный поток битов в символы по 4 бита ( $b_0, b_1, b_2$  и  $b_3$ ). Последние два бита ( $b_2$  и  $b_3$ ) используются для определения 8 последовательностей комплексных чипов, как показано в таблице 6, где  $\{c_1, c_2, c_3, c_4, c_5, c_6, c_7, c_8\}$  представляют чипы последовательности. В таблицн 6  $j$  представляет мнимое число, корень квадратный из -1, и откладывается по мнимой, или квадратурной, оси комплексной плоскости.

Теперь, имея последовательность чипов, определенную битами ( $b_2, b_3$ ), можно использовать первые два бита ( $b_0, b_1$ ) для определения поворота фазы, осуществляемого при модуляции по методу DQPSK, который будет применен к последовательности (таблица 3). Вы должны также пронумеровать каждый 4-битовый символ PSDU, начиная с 0, чтобы можно было определить, преобразуете вы четный либо нечетный символ в соответствии с

этой таблицей. Следует помнить, что речь идет об использовании DQPSK, а не QPSK, и поэтому представленные в таблице изменения фазы отсчитываются по отношению к предыдущему символу или, в случае первого символа PSDU, по отношению к последнему символу предыдущего DQPSK-символа, передаваемого со скоростью 2 Мбит/с.

Таблица 6. Поворот фазы при модуляции ССК		
$(b_0, b_1)$	Изменение фазы четных символов	Изменение фазы нечетных символов
0	0	$\pi$
1	$\pi/2$	$-\pi/2$
1	$\pi$	0
0	$-\pi/2$	$\pi/2$

Это вращение фазы применяется по отношению к 8 комплексным чипам символа, затем осуществляется модуляция на подходящей несущей частоте.

Чтобы передавать данные со скоростью 11 Мбит/с, скремблированная последовательность битов PSDU разбивается на группы по 8 символов. Последние 6 битов выбирают одну последовательность, состоящую из 8 комплексных чипов, из числа 64 возможных последовательностей, почти так же, как использовались биты  $(b_2, b_3)$  для выбора одной из четырех возможных последовательностей. Биты  $(b_0, b_1)$  используются таким же образом, как при модуляции ССК на скорости 5,5 Мбит/с для вращения фазы последовательности и дальнейшей модуляции на подходящей несущей частоте.

В чем достоинство ССК-модуляции? Дело в том, что чипы символа определяются на основе последовательностей Уолша-Адамара. Последовательности Уолша-Адамара хорошо изучены, обладают отличными автокорреляционными свойствами. Что немаловажно, каждая такая последовательность мало коррелирует сама с собой при фазовом сдвиге - очень полезное свойство при борьбе с переотраженными сигналами. Нетрудно заметить, что теоретическое операционное усиление ССК-модуляции - 3 дБ (в два раза), поскольку без кодирования QPSK-модулированный с частотой 11 Мбит/с сигнал может транслировать 22 Мбит/с. Как видно, ССК-модуляция представляет собой вид блочного кода, а потому

достаточно проста при аппаратной реализации. Совокупность этих свойств и обеспечила ССК место в стандарте IEEE 802.11b в качестве обязательного вида модуляции.

На практике важно не только операционное усиление. Существенную роль играет и равномерность распределения символов в фазовом пространстве - они должны как можно дальше отстоять друг от друга, чтобы минимизировать ошибки их детектирования. И с этой точки зрения ССК-модуляция не выглядит оптимальной, ее реальное операционное усиление не превышает 2 дБ. Поэтому изначально прорабатывался другой способ модуляции - пакетное бинарное сверточное кодирование PBCC (Packet Binary Convolutional Coding). Этот метод вошел в стандарт IEEE 802.11b как дополнительная (необязательная) опция. Механизм PBCC (5.51) позволяет добиваться в сетях IEEE 802.11b пропускной способности 5,5, 11 и 22 Мбит/с.

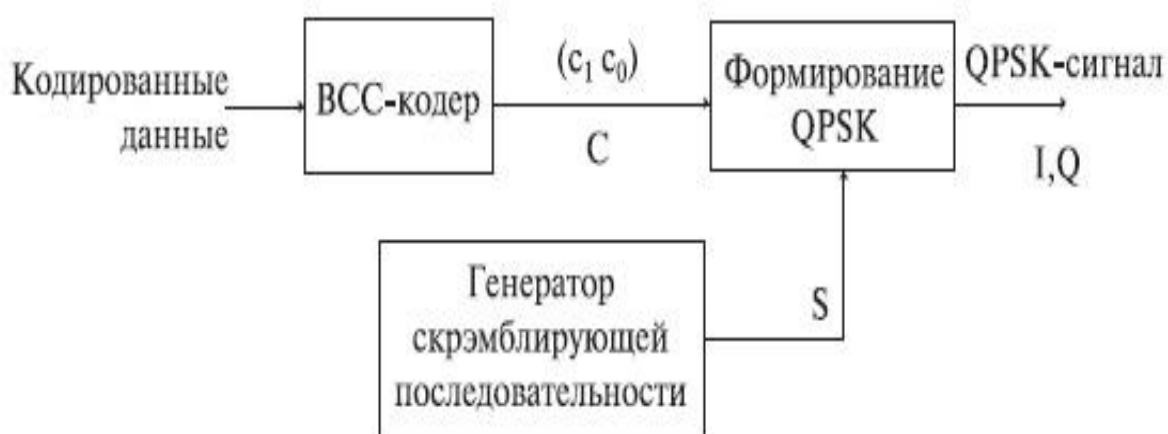


Рис. 51. Общая схема PBCC-модуляции

Как следует из названия, метод основан на сверточном кодировании. Для скоростей 5,5 и 11 Мбит/с поток информационных битов поступает в шестиразрядный сдвиговый регистр с сумматорами (5.52). В начальный момент времени все триггеры сдвигового регистра инициализируют нулем. В результате каждый исходный бит  $d$  заменяется двумя битами кодовой последовательности ( $c_0, c_1$ ). При скорости 11 Мбит/с  $c_0$  и  $c_1$  задают один символ четырехпозиционной QPSK-модуляции. Для скорости 5,5 Мбит/с используют двухпозиционную BPSK-модуляцию, последовательно передавая кодовые биты  $c_0$  и  $c_1$ . Если же нужна скорость 22 Мбит/с, схема кодирования усложняется: три кодовых бита ( $c_0$ - $c_2$ ) определяют один символ в 8-позиционной 8-PSK-модуляции.

После формирования PSK-символов происходит скрэмблирование. В зависимости от сигнала  $s$  (5.51) символ остается без изменений ( $s = 0$ ), либо его фаза увеличивается на  $\pi/2$  ( $s = 1$ ). Значение  $s$  определяет 256-битовая циклически повторяющаяся

последовательность  $S$ . Она формируется на основе начального вектора  $U = 338Vh$ , в котором равное число нулей и единиц.

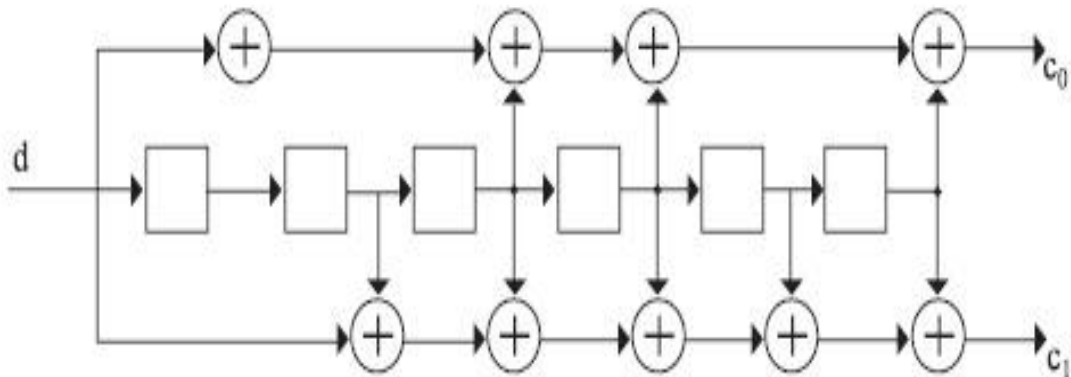


Рис. 52. Сверточное кодирование с двумя битами кодовой последовательности

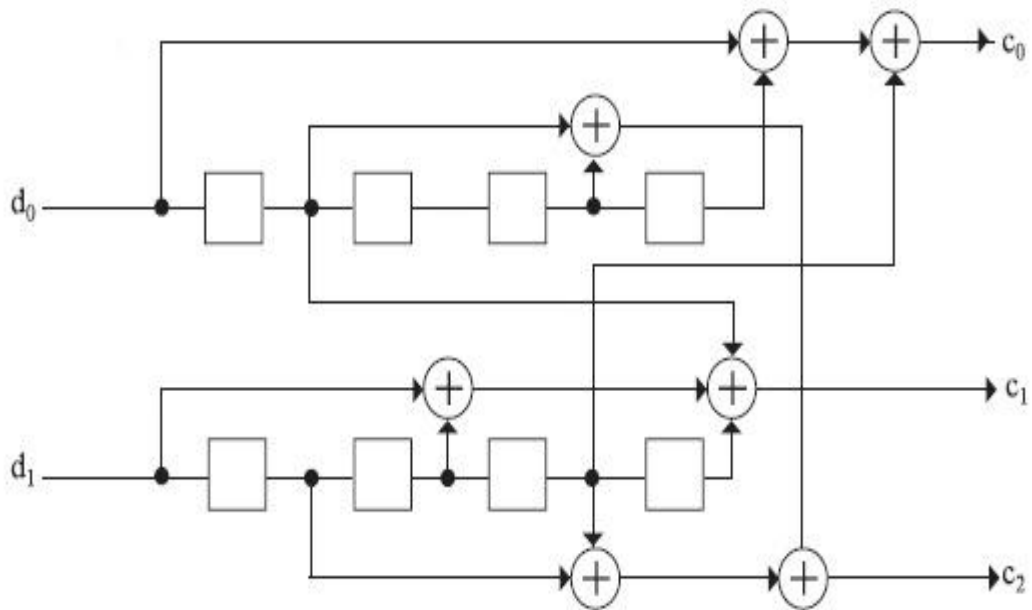


Рис. 53. Сверточное кодирование с тремя битами кодовой последовательности

У шестизрядного сдвигового регистра, применяемого в РВСС для скоростей 11 и 5,5 Мбит/с, 64 возможных выходных состояния. Так что при модуляции РВСС информационные биты в фазовом пространстве оказываются гораздо дальше друг от друга, чем при ССК-модуляции. Поэтому РВСС и позволяет при одном и том же соотношении "сигнал-шум" и уровне ошибок вести передачу с большей скоростью, чем в случае ССК. Однако плата за более эффективное кодирование - сложность аппаратной реализации данного алгоритма.

**IEEE 802.11a.**

Стандарт IEEE 802.11a появился практически одновременно с IEEE 802.11b, в сентябре 1999 года. Эта спецификация была ориентирована на работу в диапазоне 5 ГГц и основана на принципиально ином, чем описано выше, механизме кодирования данных - на частотном мультиплексировании посредством ортогональных несущих (OFDM).

Стандарт 802.11a определяет характеристики оборудования, применяемого в офисных или городских условиях, когда распространение сигнала происходит по многолучевым каналам из-за множества отражений.

В IEEE 802.11a каждый кадр передается посредством 52 ортогональных несущих, каждая с шириной полосы порядка 300 КГц (20 МГц/64). Ширина одного канала - 20 МГц. Несущие модулируются посредством BPSK, QPSK, а также 16- и 64-позиционной квадратурной амплитудной модуляции (QAM). В совокупности с различными скоростями кодирования (1/2 и 3/4, для 64-QAM - 2/3 и 3/4) образуется набор скоростей передачи 6, 9, 12, 18, 24, 36, 48 и 54 Мбит/с. В таблице 5.8 показано, как необходимая скорость передачи данных преобразуется в соответствующие параметры узлов передатчика OFDM.

Таблица 8. Параметры передатчика стандарта 802.11a

Скорость передачи данных (Мбит/с)	Модуляция	Скорость сверточного кодирования	Число канальных битов на поднесущую	Число канальных битов на символ	Число битов данных на символ OFDM
6	BPSK	1/2	1	48	24
9	BPSK	3/4	1	48	36
12	QPSK	1/2	2	96	48
18	QPSK	3/4	2	96	72
24	16-QAM	1/2	4	192	96
36	16-QAM	3/4	4	192	144
48	64-QAM	2/3	6	288	192
54	64-QAM	3/4	6	288	216

Структура заголовков физического уровня отличается от принятого в спецификации IEEE 802.11b, но незначительно (рис. 54).

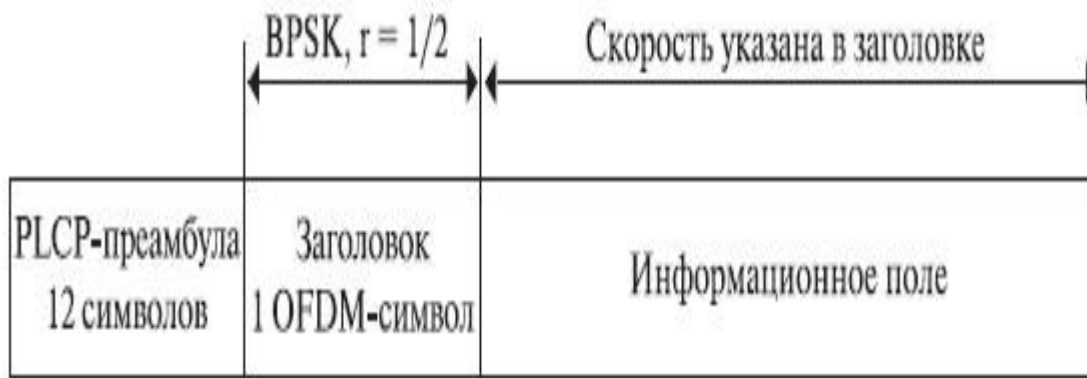


Рис. 54. Структура заголовка физического уровня стандарта IEEE 802.11a

Кадр включает преамбулу (12 символов синхропоследовательности), заголовок физического уровня (PLCP-заголовок) и собственно информационное поле, сформированное на MAC-уровне. В заголовке передается информация о скорости кодирования, типе модуляции и длине кадра. Преамбула и заголовок транслируются с минимально возможной скоростью (BPSK, скорость кодирования  $r = 1/2$ ), а информационное поле - с указанной в заголовке, как правило, максимальной, скоростью, в зависимости от условий обмена. OFDM-символы передаются через каждые 4 мкс, причем каждому символу длительностью 3,2 мкс предшествует защитный интервал 0,8 мкс (повторяющаяся часть символа). Последний необходим для борьбы с многолучевым распространением сигнала - отраженный и пришедший с задержкой символ попадет в защитный интервал и не повредит следующий символ.

Естественно, формирование/декодирование OFDM-символов происходит посредством быстрого преобразования Фурье (обратного/прямого, ОБПФ/БПФ). Функциональная схема трактов приема/передачи (рис. 5.54) достаточно стандартна для данного метода и включает сверточный кодер, механизм перемежения/перераспределения (защита от пакетных ошибок) и процессор ОБПФ. Фурье-процессор, собственно, и формирует суммарный сигнал, после чего к символу добавляется защитный интервал, окончательно формируется OFDM-символ и посредством квадратурного модулятора/конвертера переносится в заданную частотную область. При приеме все происходит в обратном порядке.

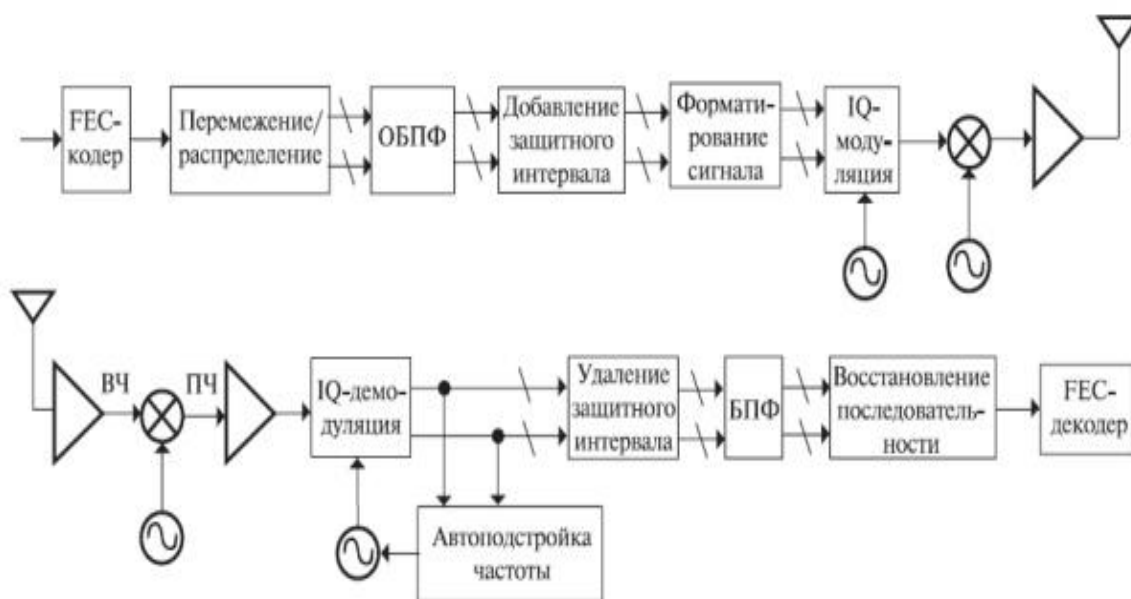


Рис. 55. Функциональная схема трактов приема/передачи стандарта IEEE 802.11a

### IEEE 802.11g.

Стандарт IEEE 802.11g по сути представляет собой перенесение схемы модуляции OFDM, прекрасно зарекомендовавшей себя в 802.11a, из диапазона 5 ГГц в область 2,4 ГГц при сохранении функциональности устройств стандарта 802.11b. Это возможно, поскольку в стандартах 802.11 ширина одного канала в диапазонах 2,4 и 5 ГГц схожа - 22 МГц.

Одним из основных требований к спецификации 802.11g была обратная совместимость с устройствами 802.11b. Действительно, в стандарте 802.11b в качестве основного способа модуляции принята схема ССК (Complementary Code Keying), а в качестве дополнительной возможности допускается модуляция РВСС (Pocket Binary Convolutional Coding).

Разработчики 802.11g предусмотрели ССК-модуляцию для скоростей до 11 Мбит/с и OFDM для более высоких скоростей. Но сети стандарта 802.11 при работе используют принцип CSMA/CA - множественный доступ к каналу связи с контролем несущей и предотвращением коллизий. Ни одно устройство 802.11 не должно начинать передачу, пока не убедится, что эфир в его диапазоне свободен от других устройств. Если в зоне слышимости окажутся устройства 802.11b и 802.11g, причем обмен будет происходить между устройствами 802.11g посредством OFDM, то оборудование 802.11b просто не поймет, что другие устройства сети ведут передачу, и попытается начать трансляцию. Последствия очевидны.

Чтобы не допустить подобной ситуации, предусмотрена возможность работы в смешанном режиме - ССК-OFDM. Информация в сетях 802.11 передается кадрами. Каждый информационный кадр включает два основных поля: преамбулу с заголовком и информационное поле (рис.56).

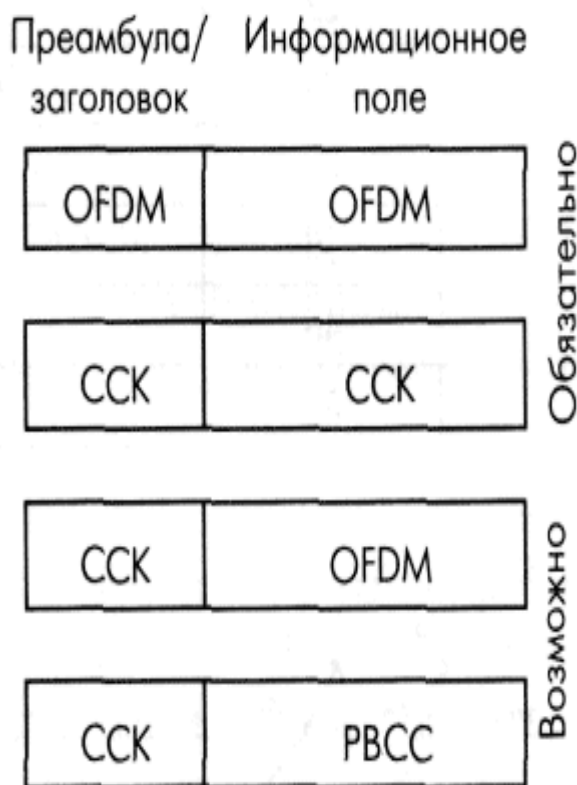


Рис. 56. Кадры IEEE 802.11g в различных режимах модуляции

Преамбула содержит синхропоследовательность и код начала кадра, заголовок - служебную информацию, в том числе о типе модуляции, скорости и продолжительности передачи кадра. В режиме ССК-OFDM преамбула и заголовок модулируются методом ССК (реально - путем прямого расширения спектра DSSS посредством последовательности Баркера, поэтому в стандарте 802.11g этот режим именуется DSSS-OFDM), а информационное поле - методом OFDM. Таким образом, все устройства 802.11b, постоянно "прослушивающие" эфир, принимают заголовки кадров и узнают, сколько времени будет транслироваться кадр 802.11g. В этот период они "молчат". Естественно, пропускная способность сети падает, поскольку скорость передачи преамбулы и заголовка - 1 Мбит/с.

Видимо, данный подход не устраивал лагерь сторонников технологии PBCC, и для достижения компромисса в стандарт 802.11g в качестве дополнительной возможности ввели, так же как и в 802.11b, необязательный режим - PBCC, в котором заголовок и преамбула передаются так же, как и при ССК, а информационное поле модулируется по схеме PBCC и передается на скорости 22 или 33 Мбит/с. В результате устройства

стандарта 802.11g должны оказаться совместимыми со всеми модификациями оборудования 802.11b и не создавать взаимных помех. Диапазон поддерживаемых им скоростей отражен в 8, зависимость скорости от типа модуляции - на рис.57.

Таблица 8. Возможные скорости и тип модуляции в спецификации IEEE 802.11g		
Скорость, Мбит/с	Тип модуляции	
	Обязательно	Допустимо
1	Последовательность Баркера	
2	Последовательность Баркера	
5,5	ССК	PBCC
6	OFDM	OFDM
9		OFDM, ССК-OFDM
11	ССК	PBCC
12	OFDM	ССК-OFDM
18		OFDM, ССК-OFDM
22		PBCC
24	OFDM	ССК-OFDM
33		PBCC
36		OFDM, ССК-OFDM
48		OFDM, ССК-OFDM
54		OFDM, ССК-OFDM

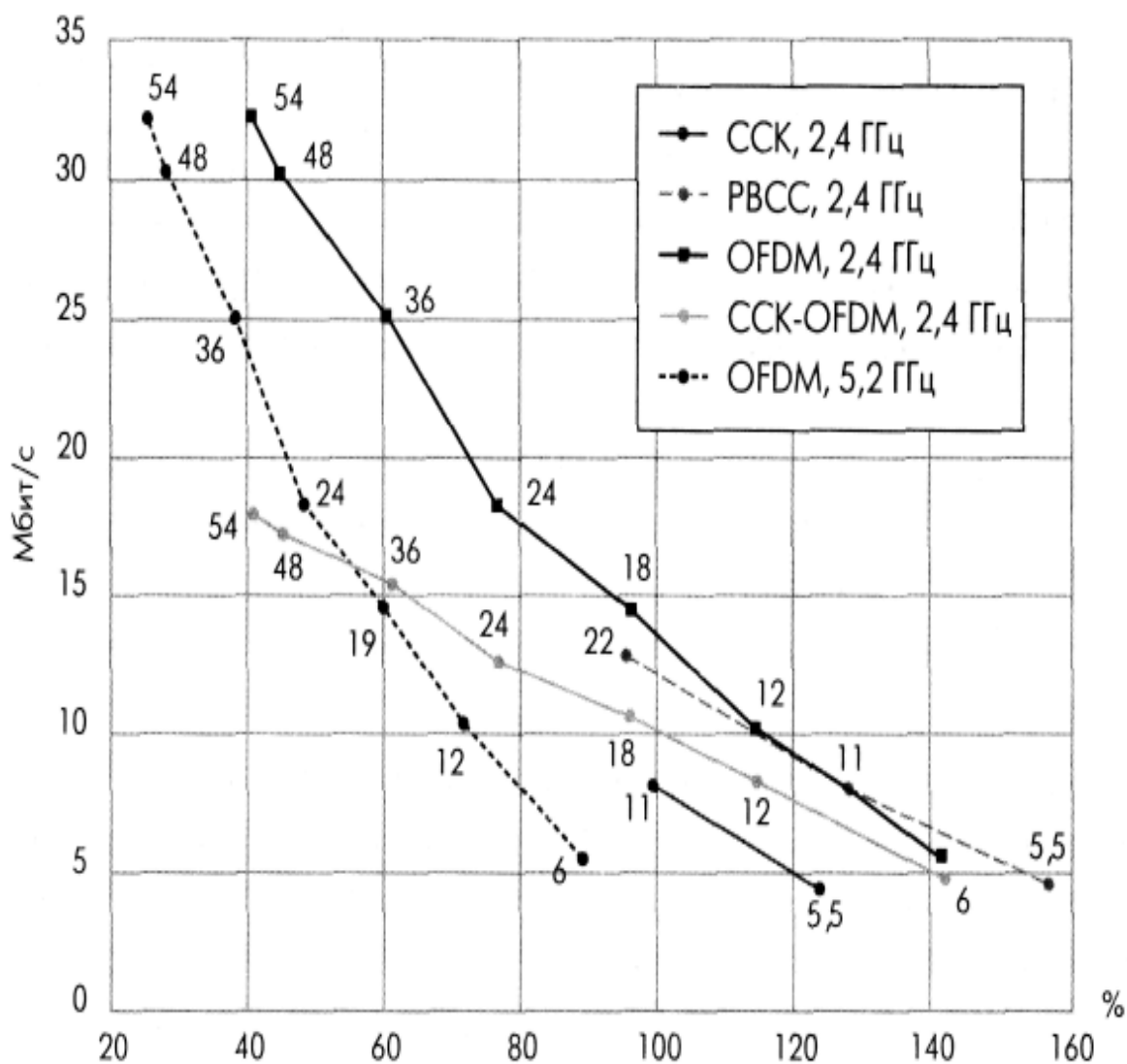


Рис. 57. Зависимость скорости передачи от расстояния для различных технологий передачи. Расстояние приведено в процентах, 100% - дальность передачи с модуляцией CCK на скорости 11 Мбит/с

Очевидно, что устройствам стандарта IEEE 802.11g достаточно долго придется работать в одних сетях с оборудованием 802.11b. Также очевидно, что производители в массе своей не будут поддерживать режимы CCK-OFDM и PBCC в силу их необязательности, ведь почти все решает цена устройства. Поэтому одна из основных проблем данного стандарта - как обеспечить бесконфликтную работу смешанных сетей 802.11b/g.

Основной принцип работы в сетях 802.11 - "слушать, прежде чем вещать". Но устройства 802.11b не способны услышать устройства 802.11g в OFDM-режиме. Ситуация аналогична проблеме скрытых станций: два устройства удалены настолько, что не слышат

друг друга и пытаются обратиться к третьему, которое находится в зоне слышимости обоих. Для предотвращения конфликтов в подобной ситуации в 802.11 введен защитный механизм, предусматривающий перед началом информационного обмена передачу короткого кадра "запрос на передачу" (RTS) и получение кадра подтверждения "можно передавать" (CTS). Механизм RTS/CTS применим и к смешанным сетям 802.11b/g. Естественно, эти кадры должны транслироваться в режиме ССК, который обязаны понимать все устройства. Однако защитный механизм существенно снижает пропускную способность сети.

Таблица 9. Стандарты физического уровня

Параметр	802.11 DS	802.11 FH	802.1	802.1	802.1
	SS	SS	1b	1a	1g
Частотный диапазон (ГГц)	2,4	2,4	2,4	5	2,4
Максимальная скорость передачи данных (Мбит/с)	2	2	11	54	54
Технология	DSSS	FHSS	ССК	OFDM	OFDM
Тип модуляции (для максимальной скорости передачи)	QPSK	GFSK	QPSK	64-QAM	64-QAM
Число неперекрывающихся каналов	3	3	3	15	3

## Создание модели радиointерфейса WiFi 802.11

### IEEE 802.11b.

Чтобы открыть модель необходимо в командном окне ввести (Command Window):  
commwlan80211b. Появится модель, изображенная на рис.5.58.

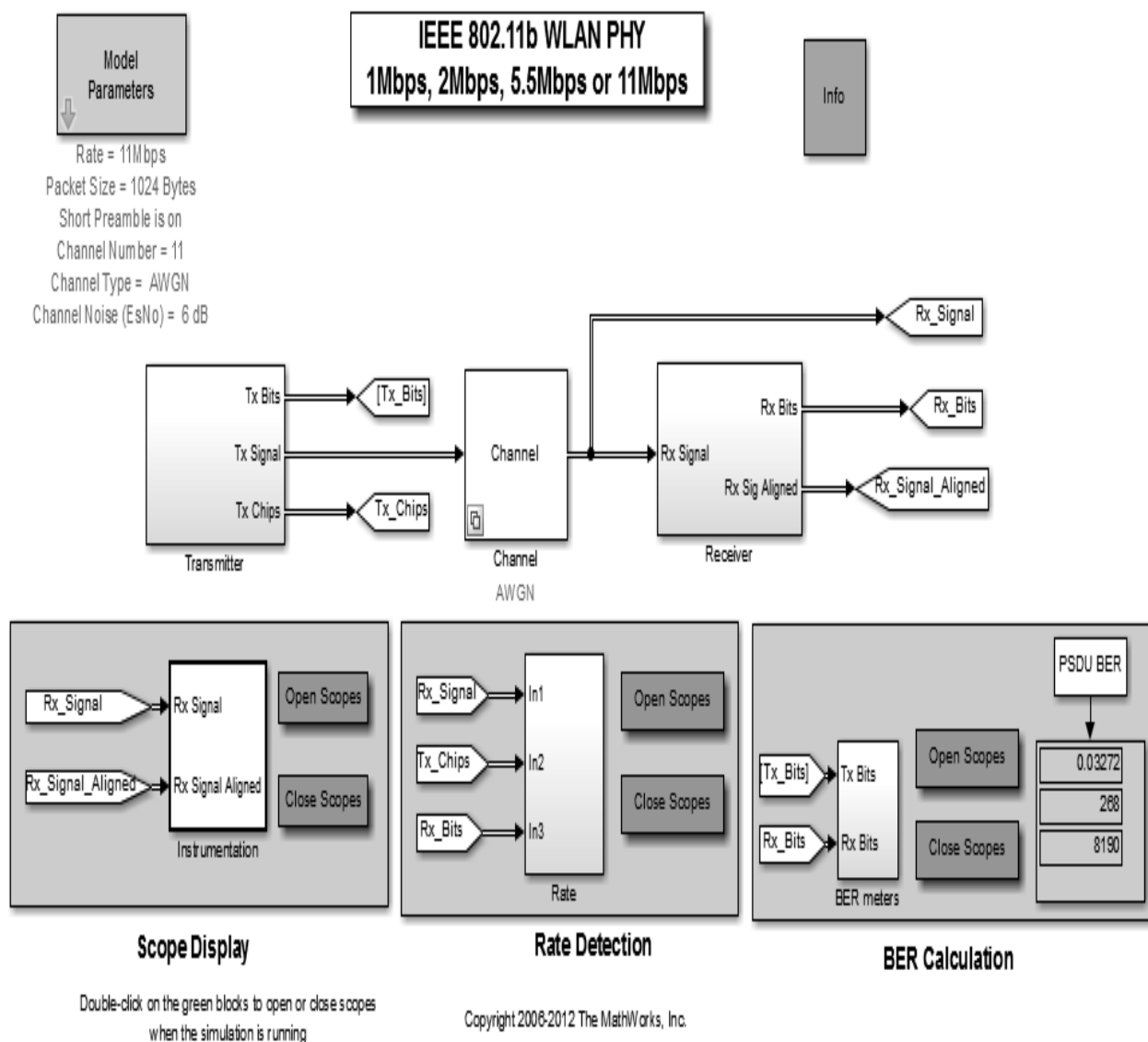


Рис. 58. Модель радиointерфейса 802.11b Simulink MATLAB 2015b

С помощью двойного щелчка на элемент Model Parameters можно устанавливать желаемые параметры моделируемой сети:

- скорость передачи данных (Rate),
- размер пакета (Packet Size),
- число каналов (Channel Number),
- тип канала (Channel Type),

- уровень шумов в канале (Channel EsNo).

Пример частотной характеристика представлен на рис.5.59, а диаграмма созвездий на рис.5.60.

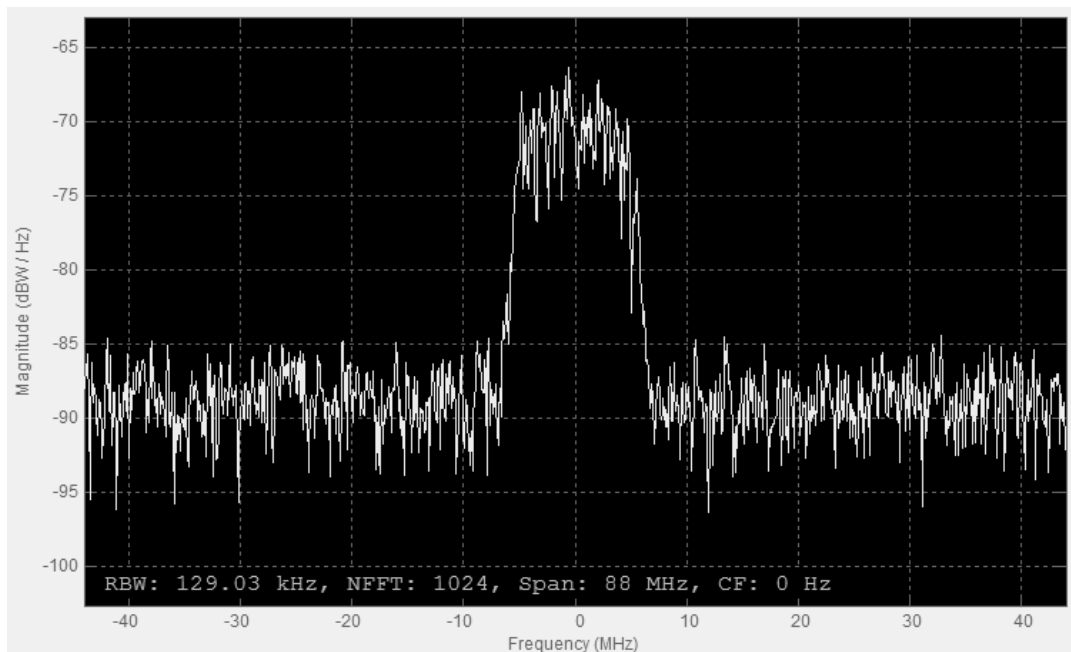


Рис. 59. Частотная характеристика для скорости передачи 11 Мбит/с

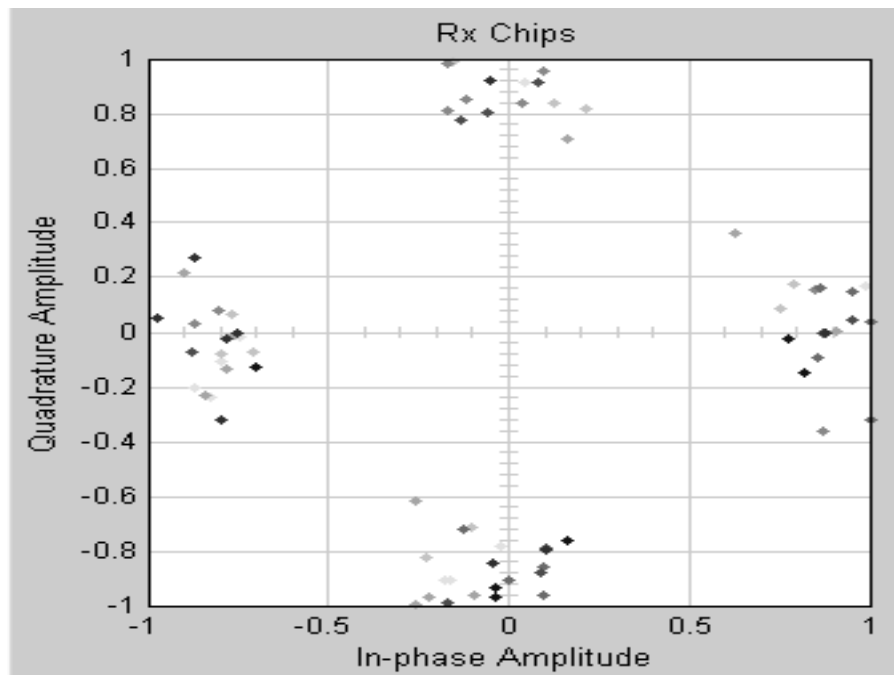


Рис. 60. Диаграмма созвездий для скорости передачи 11 Мбит/с

### Исследование влияния ошибок BER.

BitErrorRate (BER) - коэффициент ошибок, отношение числа неверно принятых битов (0 вместо 1 и наоборот) к полному числу переданных битов при передаче по каналу связи.

Чтобы получить зависимость BER от отношения сигнал/шум необходимо изменять уровень шумов в канале (0-14) и снимать показания в блоке BER Calculation в верхнем дисплее.

Протестировав систему таким образом, были получены зависимости, представленные на рис.61.

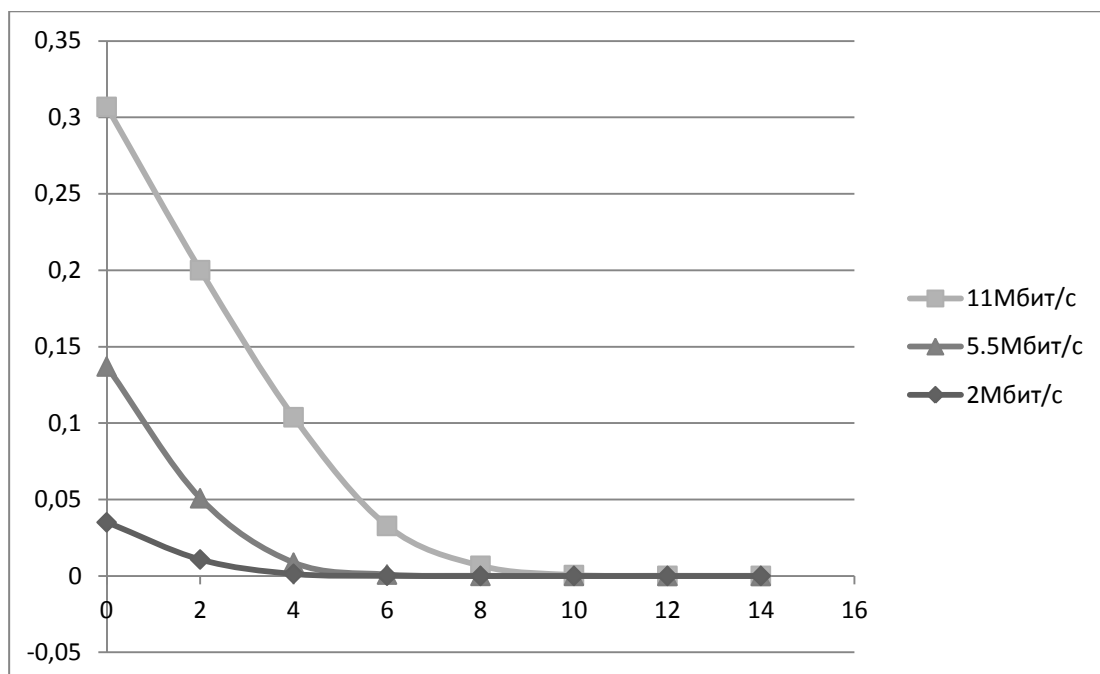


Рис. 61. Зависимость ошибки BER от отношения сигнал/шум для различных скоростей IEEE 802.11b

По полученным результатам можно сделать следующие выводы:

- 1) Большим скоростям соответствует большая вероятность появления ошибки
- 2) Для уменьшения ошибки необходимо увеличивать отношение сигнал/шум
- 3) Большим скоростям необходимо более высокое значение отношения сигнал шум для устранения возможных ошибок.

В результате работы изучены стандарты IEEE 802.11.

Рассмотрены и протестированы модели данных стандартов, реализованные в среде Simulink Matlab. Получены графики зависимостей вероятности ошибки (BER) от отношения сигнал/шум для разных скоростей.

## Методические указания к моделированию

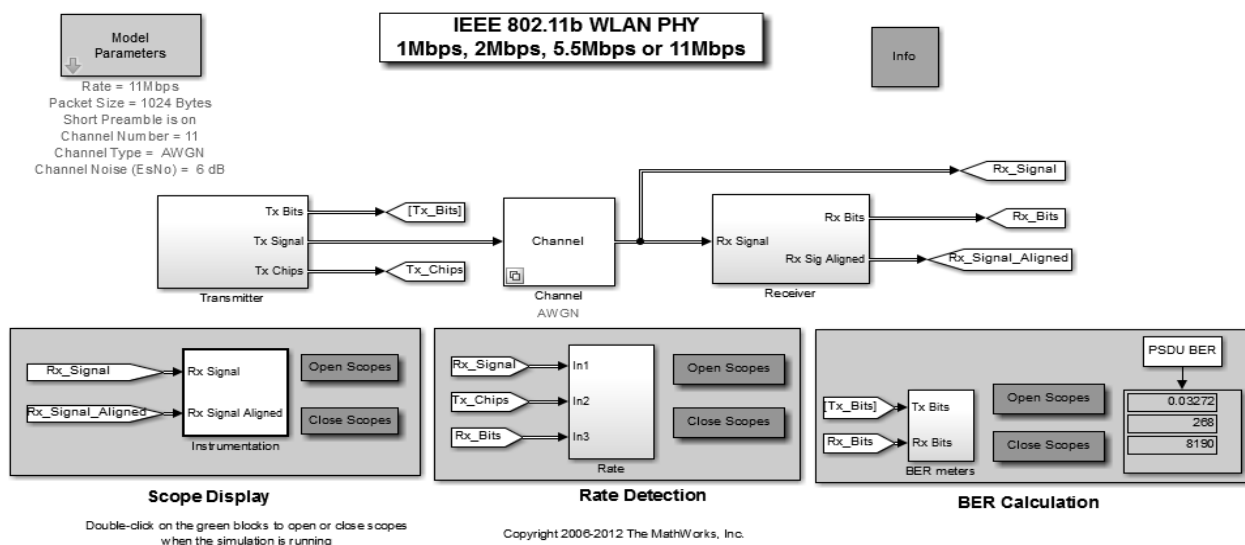


Рис. 62. Схем сети IEEE 802.11b MATLAB

1. Запустить модель командой `commwlan80211b` и изучить ее параметры. Сделать скриншоты полной схемы, а также передатчика, приёмника и канала.
2. Снять частотную характеристику, а также диаграмму созвездий для 4-х вариантов максимальной скорости передачи (1, 2, 5, 11 Мбит/с). Параметр «тип канала» (Channel Type) – none.
3. Для каждой скорости изменяя отношение сигнал/шум в канале от 0 до 14дБ снять зависимость BER от Channel EsNo. Параметр «тип канала» (Channel Type) – AWGN.
5. Сделать выводы по проделанной работе.

#### 4. Имитационное моделирование системы мобильной связи стандарта IEEE 802.15.4 ZigBee на базе MATLAB

Среди наиболее известных беспроводных технологий можно выделить: Wi-Fi, Wi-Max, Bluetooth, Wireless USB и относительно новую технологию — ZigBee, которая изначально разрабатывалась с ориентацией на промышленные применения.

Каждая из этих технологий имеет свои уникальные характеристики, которые определяют соответствующие области применения.

Анализ беспроводных технологий показывает, что высокоскоростные технологии Wi-Fi, Wi-Max, Bluetooth, Wireless USB предназначены в первую очередь для обслуживания компьютерной периферии и устройств мультимедиа. Они оптимизированы для передачи больших объемов информации на высоких скоростях, работают в основном по топологии «точка-точка» или «звезда» и малоприспособны для реализации сложных разветвленных

промышленных сетей с большим количеством узлов. Напротив, технология ZigBee имеет достаточно скромные показатели скорости передачи данных и расстояния между узлами, но обладает следующими важными, с точки зрения применения в промышленности, преимуществами:

- Она ориентирована на преимущественное использование в системах распределенного мульти-микропроцессорного управления со сбором информации с интеллектуальных датчиков, где вопросы минимизации энергопотребления и процессорных ресурсов являются определяющими.
- Предоставляет возможность организации самоконфигурируемых сетей со сложной топологией, в которых маршрут сообщения автоматически определяется не только числом исправных или включенных/выключенных на текущий момент устройств (узлов), но и качеством связи между ними, которое автоматически определяется на аппаратном уровне.
- Обеспечивает масштабируемость — автоматический ввод в работу узла или группы узлов сразу после подачи питания на узел.
- Гарантирует высокую надежность сети за счет выбора альтернативного маршрута передачи сообщений при отключениях/сбоях в отдельных узлах.
- Поддерживает встроенные аппаратные механизмы шифрации сообщений AES-128, исключая возможность несанкционированного доступа в сеть.

#### **Организация сети ZigBee.**

ZigBee — относительно новый стандарт беспроводной связи, который изначально разрабатывался как средство для передачи небольших объемов информации на малые расстояния с минимальным энергопотреблением. Фактически этот стандарт описывает правила работы программно-аппаратного комплекса, реализующего беспроводное взаимодействие устройств друг с другом.

Стек протоколов ZigBee представляет собой иерархическую модель, построенную по принципу семиуровневой модели протоколов передачи данных в открытых системах OSI (OpenSystemInterconnection). Стек включает в себя уровни стандарта IEEE 802.15.4, отвечающие за реализацию канала связи, и программные сетевые уровни и уровни поддержки приложений, определенные спецификацией ZigBee. Модель реализации стандарта связи ZigBee представлена на рисунке 69.

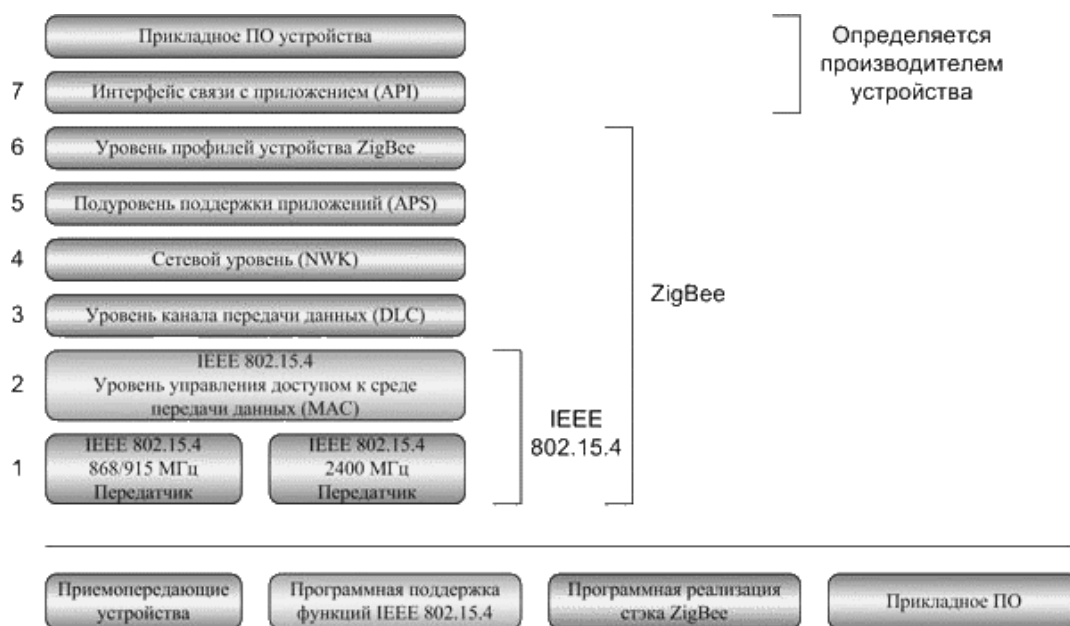


Рис. 63. Многоуровневая модель стандарта связи ZigBee

Стандарт IEEE 802.15.4 определяет два нижних уровня стека: уровень доступа к среде (MAC) и физический уровень передачи данных в среде распространения (PHY), то есть нижние уровни протокола беспроводной передачи данных. Альянс определяет программные уровни стека ZigBee от уровня канала передачи данных (DataLinkControl) до уровня профилей устройств (ZigBeeProfiles). Прием и передача данных по радиоканалу осуществляется на физическом уровне PHY, определяющем рабочий частотный диапазон, тип модуляции, максимальную скорость, число каналов. Уровень PHY осуществляет активацию-деактивацию приемопередатчика, детектирование энергии принимаемого сигнала на рабочем канале, выбор физического частотного канала, индикацию качества связи при получении пакета данных и оценку свободного канала. Важно понимать, что стандарт 802.15.4 — это физическое радио (микросхема радио-приемопередатчика), а ZigBee — это логическая сеть и программный стек, обеспечивающие функции безопасности и маршрутизации.

Далее в структуре стека ZigBee следует уровень контроля доступа к среде IEEE 802.15.4 MAC, осуществляющий вход и выход из сети устройств, организацию сети, формирование пакетов данных, реализацию различных режимов безопасности (включая 128-битное шифрование AES), 16- и 64-битную адресацию.

Уровень MAC обеспечивает различные механизмы доступа в сеть, поддержку сетевых топологий от «точка-точка» до «многочейковая сеть», гарантированный обмен данными (ACK, CRC), поддерживает потоковую и пакетную передачи данных.

Для предотвращения нежелательных взаимодействий возможно использование временного разделения на основе протокола CSMA-CA (протокол множественного доступа к среде с контролем несущей и предотвращением коллизий).

Временное разделение ZigBee базируется на использовании режима синхронизации, при котором подчиненные сетевые устройства, большую часть времени находящиеся в «спящем» состоянии, периодически «просыпаются» для приема сигнала синхронизации от сетевого координатора, что позволяет устройствам внутри локальной сетевой ячейки знать, в какой момент времени осуществлять передачу данных. Данный механизм, основанный на определении состояния канала связи перед началом передачи, позволяет существенно сократить (но не устранить) столкновения, вызванные передачей данных одновременно несколькими устройствами. Стандарт 802.15.4 основывается на полудуплексной передаче данных (устройство может либо передавать, либо принимать данные), что не позволяет использовать метод CSMA-CA для обнаружения коллизий — только для их предотвращения.

В спецификации стека предусмотрены три типа устройств: координатор, маршрутизатор и конечное устройство.

Координатор инициализирует сеть, управляет ее узлами, хранит информацию о настройках каждого узла, задает номер частотного канала и идентификатор сети PAN ID, а в процессе работы может являться источником, приемником и ретранслятором сообщений.

Маршрутизатор отвечает за выбор пути доставки сообщения, передаваемого по сети от одного узла к другому, и в процессе работы также может являться источником, приемником или ретранслятором сообщений. Если маршрутизаторы имеют соответствующие возможности, они могут определять оптимизированные маршруты к определенной точке и хранить их для последующего использования в таблицах маршрутизации.

Оконечное устройство не участвует в управлении сетью и ретрансляции сообщений, являясь только источником/приемником сообщений.

Среди свойств ZigBee следует особо выделить поддержку сложных топологий сетей. Именно за счет этого, при относительно малой максимальной дальности связи двух близлежащих устройств, возможно расширить зону покрытия сети в целом. Также этому способствует 16-битная адресация, позволяющая объединять в одну сеть более 65 тыс. устройств.

#### **Спецификация стандарта IEEE 802.15.4**

Спецификация ZigBee-стека определяет сетевой уровень, уровни безопасности и доступа к приложению и может использоваться совместно с решениями на базе стандарта 802.15.4 для обеспечения совместимости устройств.

Таблица 10. Спецификация стандарта IEEE 802.15.4

Стандарт	802.15.4 ZigBee™		
Частота	868 МГц	915 МГц	2,4 ГГц
Число каналов/шаг	1/–	10/2 МГц	16/5 МГц
География распространения	Европа	Америка	Весь мир
Макс. скорость, модуляция	20 кбит/с, BPSK	40 кбит/с, BPSK	250 кбит/с, O-QPSK
Выходная мощность, ном.	0 dBm (1 мВт)	0 dBm (1 мВт)	0 dBm (1 мВт)
Дальность	10–100м		
Чувствительность (спецификация)	–92dBm	–92dBm	–85dBm
Размер стека	4–32 кбайт		
Срок службы батареи	От 100 до 1000 и более дней		
Размер сети	65536 (16-битные адреса), $2^{64}$ (64-битные адреса)		

### Практическая часть.

Задание:

1. Собрать схему
2. Подготовить схемы для реализации Стандарта ZigBee 802.15.4 основываясь на примере, представленном в отчете.
3. Изменять SNR в пределах от 1 до 100 (не менее 4-х точек)
4. Построить графики зависимости SNR от BER
5. Все поэтапное исследование представить в отчете.

В рабочем поле необходимо собрать схему для работы стандарта ZigBee 802.15.4. Схема представлена на рисунке 64.

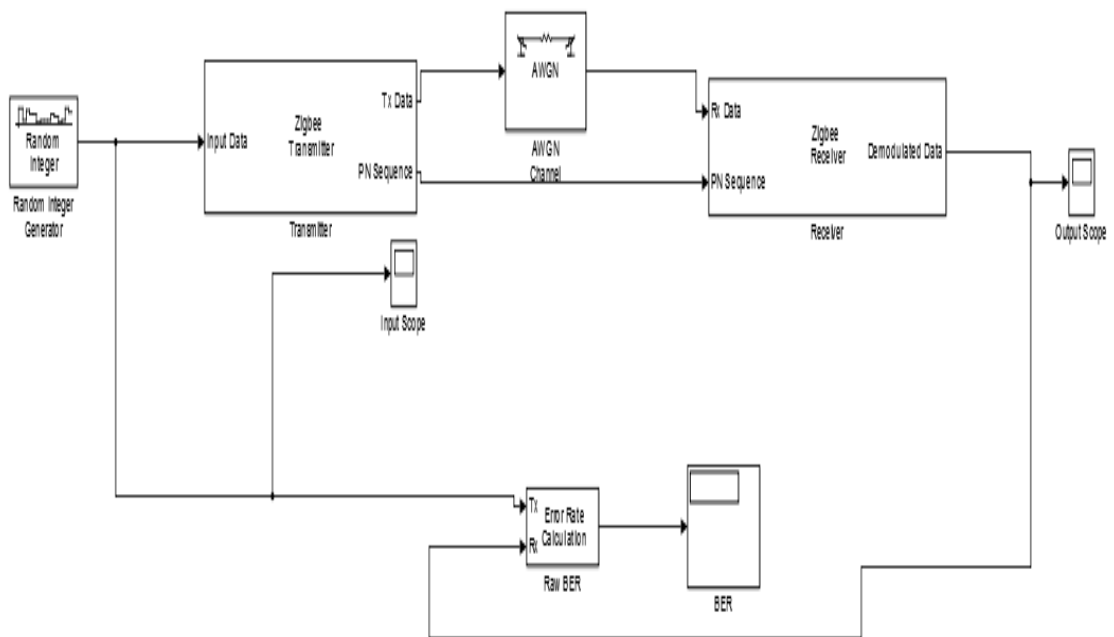


Рис. 64. Схема стандарта ZigBee 802.15.4 Simulink MATLAB 2015b

В состав схемы входят:

1. RandomIntegerGenerator
2. ZigBeeTransmitter
3. AWGN Channel (каналпередачи)
4. ZigBeeReciever
5. ErrorRateCalculation (анализаторошибок)
6. Display

Рассмотрим каждый блок отдельно. Все значения, заданные в блоках, помимо отношения Сигнал/шум в канале, остаются неизменными.

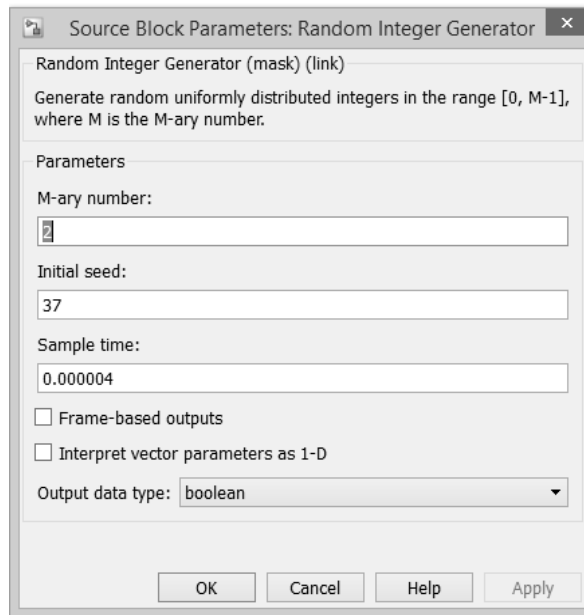


Рис. 65. Параметры блока Random Integer Generator

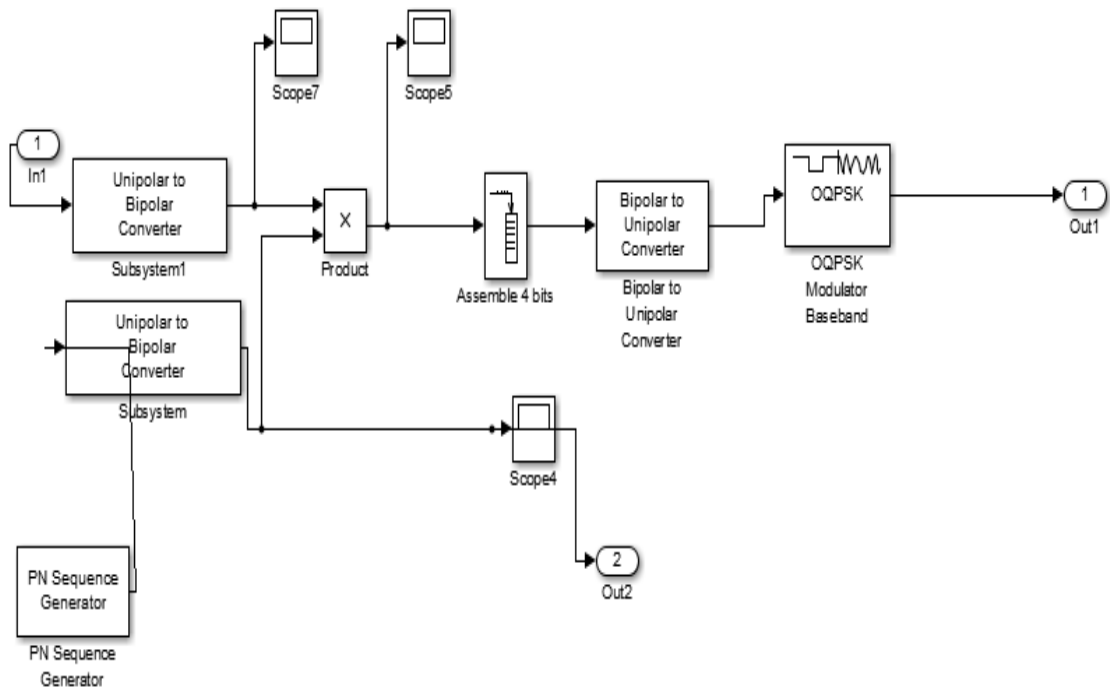


Рис. 66. Схема ZigBeeTransmitter



Рис. 67. Параметры блока PN sequence generator

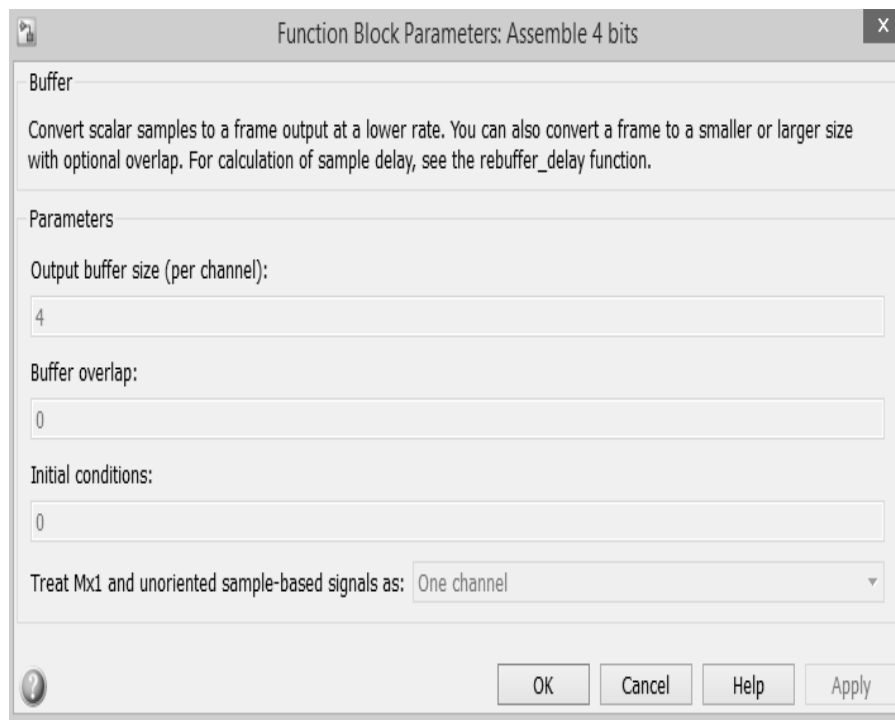


Рис. 68. Параметры блока Function block parameters: Assemble 4 bits

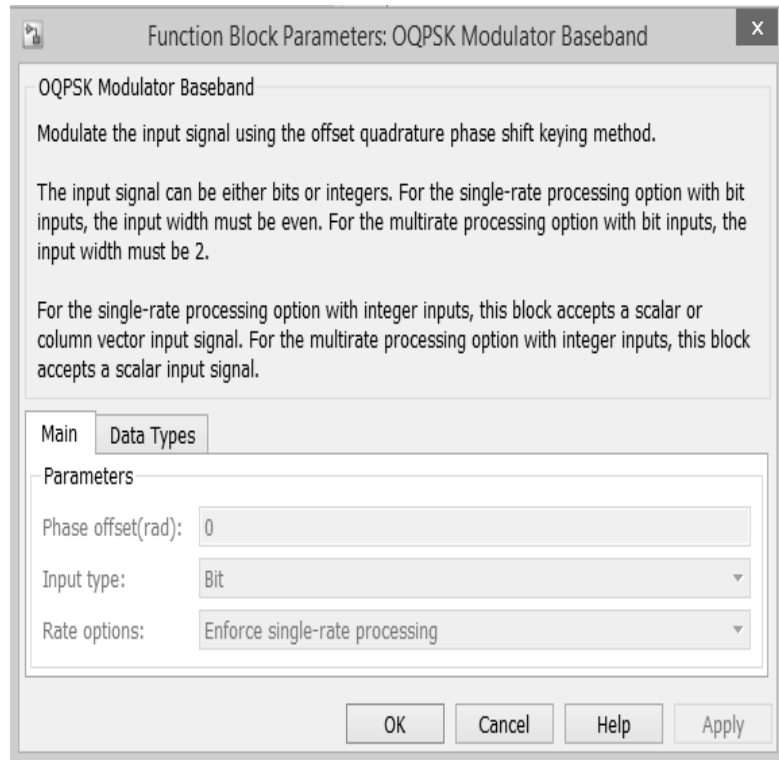


Рис. 69. Параметры блока OQPSK modulator baseband

OQPSK - четырехпозиционная фазовая модуляция со сдвигом квадратур (OQPSK), где битовые потоки, подаваемые на модуляторы квадратур I и Q, сдвинуты друг относительно друга на длительность одного бита (половина символьного интервала).

Рассмотрим блок канала с БГШ. В данном блоке необходимо изменять значения в строчке  $E_b/N_0$  от 1 до 100.

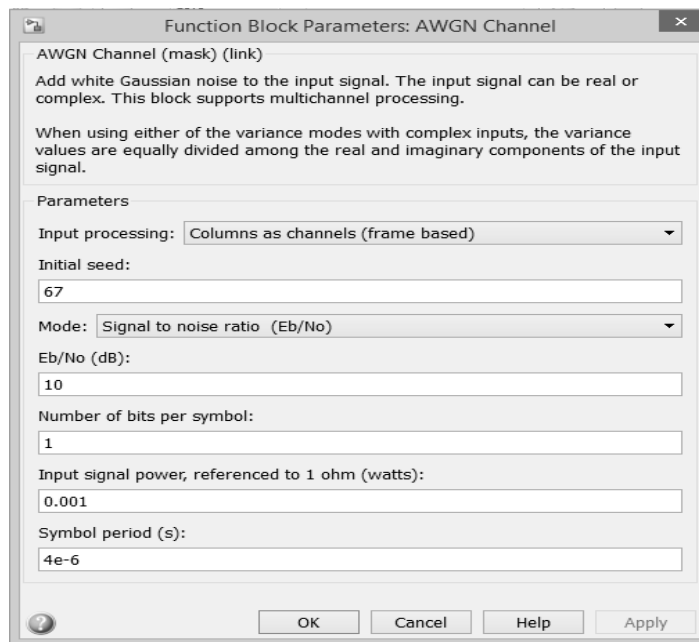


Рис. 70. Параметры блока AWGNchannel



Рис. 71. Вид сигнала на осциллографах 4, 5, 7

Рассмотрим подробнее блок ZigBee Receiver.

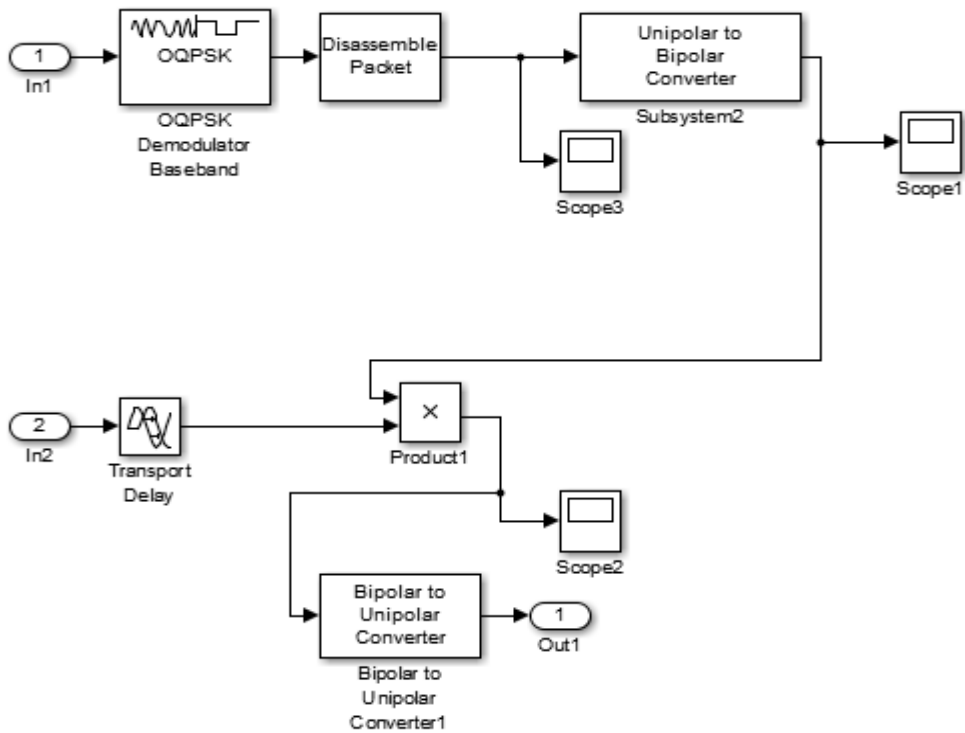


Рис. 72. Схема приемника стандарта ZigBee

Рассмотрим каждый блок отдельно. Единственным незнакомым элементом является блок TransportDelay.

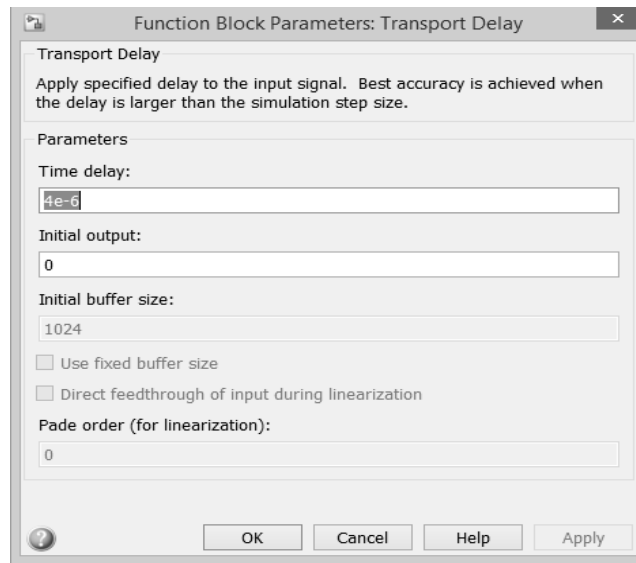


Рис. 73. Параметры блока TransportDelay

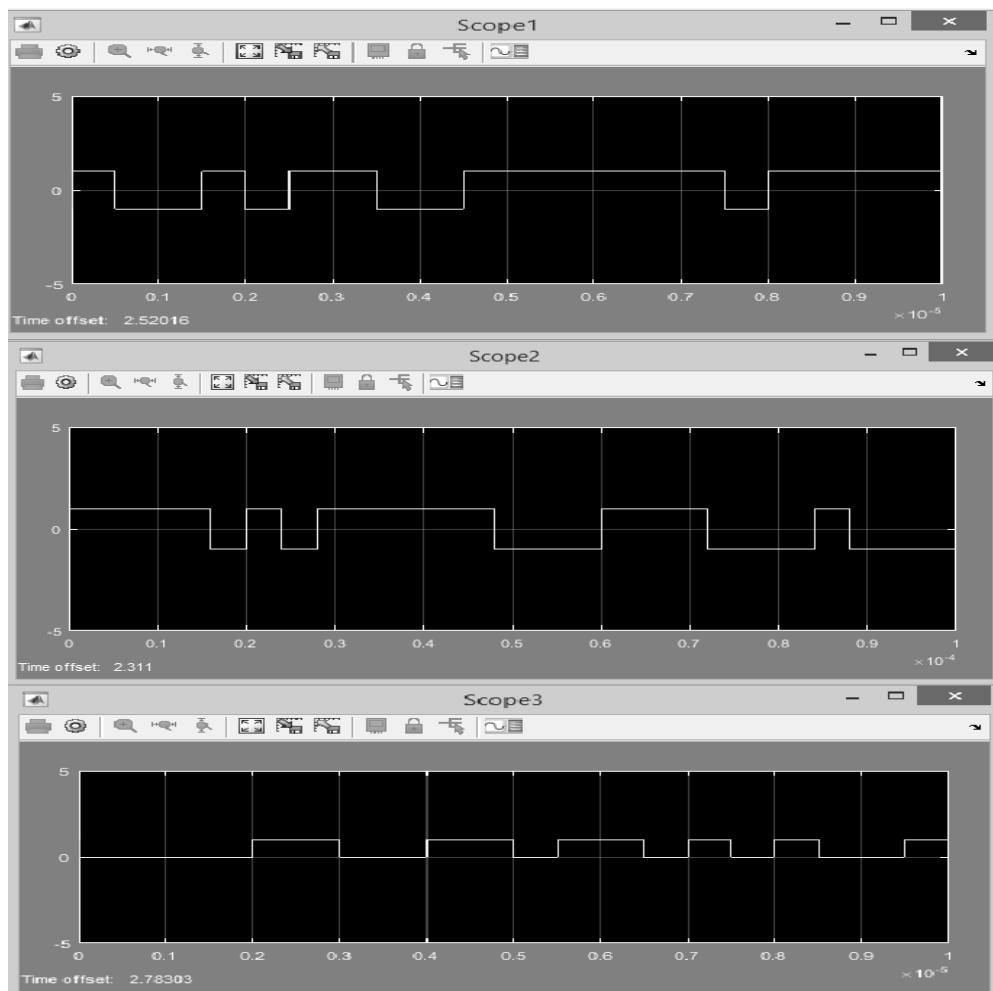


Рис. 74. Вид сигнала на осциллографах 1, 2, 3

Вернемся к общей схеме стандарта ZigBee.

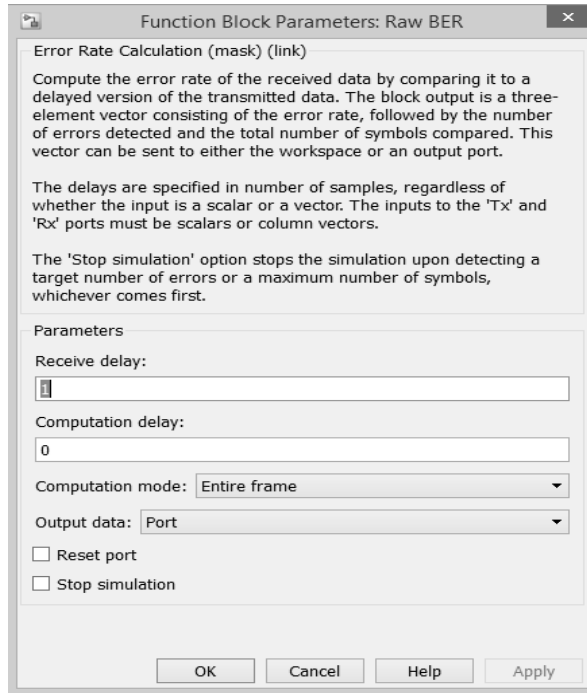


Рис. 75. Параметры блока RawBER

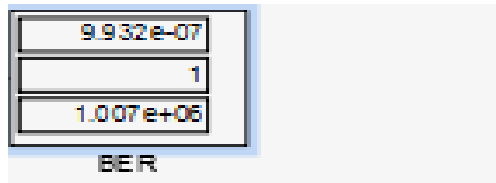


Рис. 76. Счетчик ошибок

Для построения графика зависимости BER от SNR, необходимо из счетчика брать первую строку.

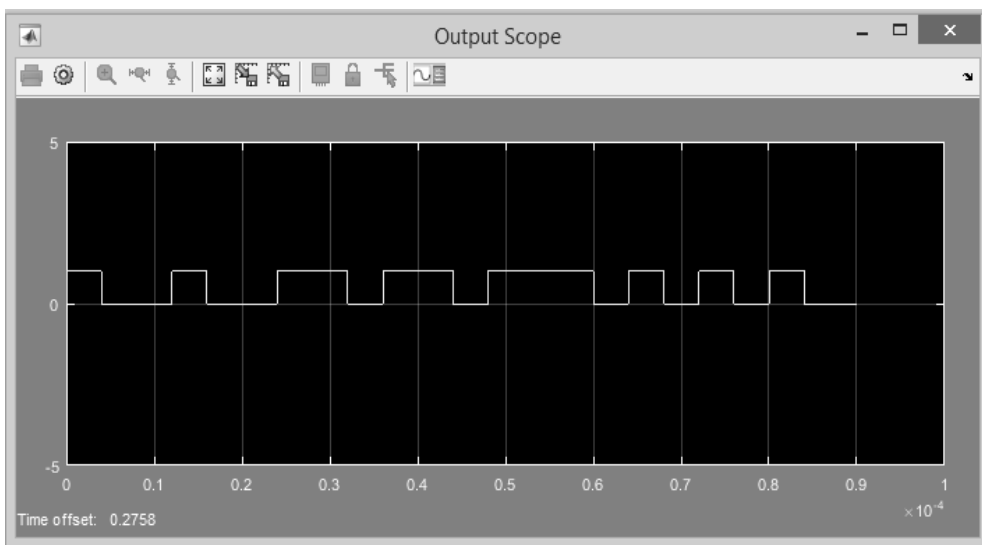


Рис. 77. Вид сигнала на выходе

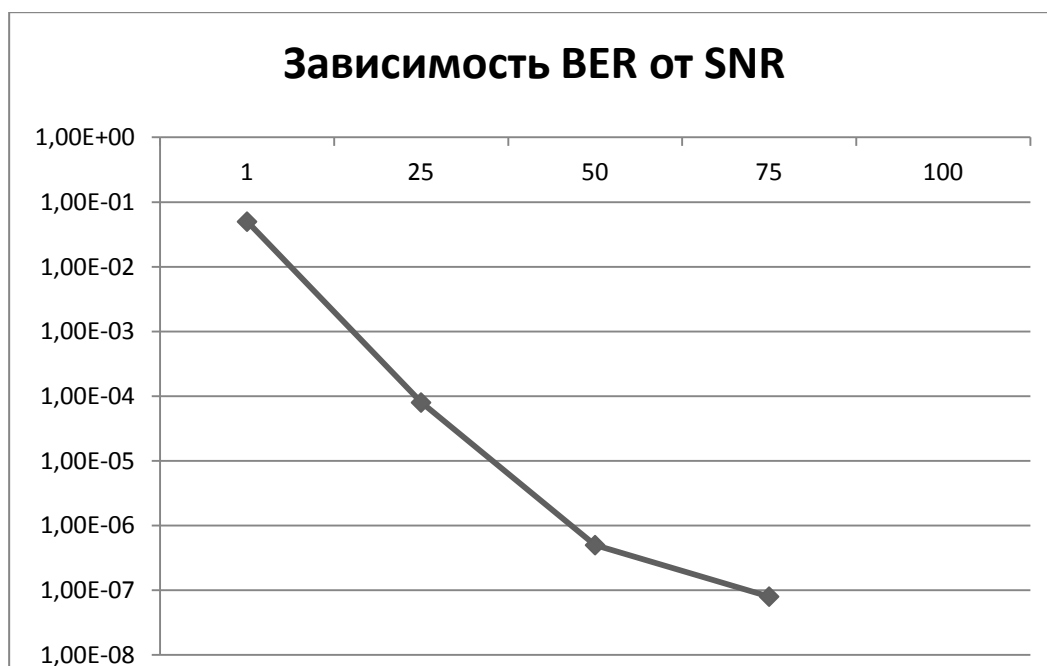


Рис. 78. График зависимости BER от SNR

В разделе построена схема стандарта ZigBee 802.15.4 в среде Simulink. Построен график зависимостей зависимости BER от SNR. Из графика (рисунок 5.78) видно, что при увеличении значения сигнал/шум, снижается количество ошибок.

## 5. Имитационное моделирование системы мобильной связи стандарта IEEE 802.15.1 (Bluetooth) на базе ПО MATLAB

### Bluetooth.

Стандарт Bluetooth является компромиссным с точки зрения соотношения параметров экономичность/дальность/скорость. По своей функциональности и возможности применения в различных приложениях он имеет наибольшее число пересечений с другими стандартами группы Short Range RF. Поэтому для начала рассмотрим именно его.

Основная идея Bluetooth заключалась в создании универсального, надежного и очень дешевого радиointерфейса беспроводного доступа. Технология Bluetooth позволяет обеспечить сопряжение с различным профессиональным и бытовым оборудованием в режимах передачи речи, данных и мультимедиа, при этом гарантируется его электромагнитная совместимость с другим домашним или офисным оборудованием. Как было указано в таблице, существует всего три класса устройств Bluetooth, если градировать их по излучаемой мощности: 1-й — до 100 метров (до 100 мВт); 2-й — до 10 метров (до 2,5 мВт); 3-й — до 1 метра (до 1 мВт).

Для определения модели поведения при установлении соединения между различными типами устройств в технологии Bluetooth введено понятие профиль. Этим термином обозначается набор функций и возможностей, которые использует Bluetooth в качестве механизма транспортировки. Профили гарантируют возможность обмена информацией между устройствами разных производителей. Bluetooth SIG определяет 15 стандартных профилей:

- Generic Access Profile (GAP);
- Service Discover Application Profile (SDAP);
- Serial Port Profile (SPP);
- Dial-up Networking Profile (DUNP);
- Generic Object Exchange Profile (GOEP);
- Object Push Profile (OPP);
- File Transfer Profile (FTP);
- Synchronization Profile (SP);
- AV Control, Headset Profile (HSP);
- Advanced Audio Distribution Profile (A2DP);
- Basic Imaging Profile (BIP);
- Handsfree Profile (HFP);
- Human Interface Device Profile (HID);
- LAN Access Profile (LAP);
- Sim-Card Access Profile (SAP).

По характеру взаимодействия со внешними устройствами и приложениями архитектура всех существующих модулей Bluetooth может быть разделена на три вида (рис. 1). Модули с двухпроцессорной архитектурой (рис. 1a) не содержат в себе программного высокоуровневого стека Bluetooth с поддержкой стандартных профилей. Это значит, что необходимые профили Bluetooth должны быть реализованы на внешнем процессоре. Взаимодействие внешнего процессора с модулем происходит через виртуальный интерфейс HCI (Host Controller Interface). В частном случае HCI может быть реализован через аппаратный интерфейс SPI или UART.

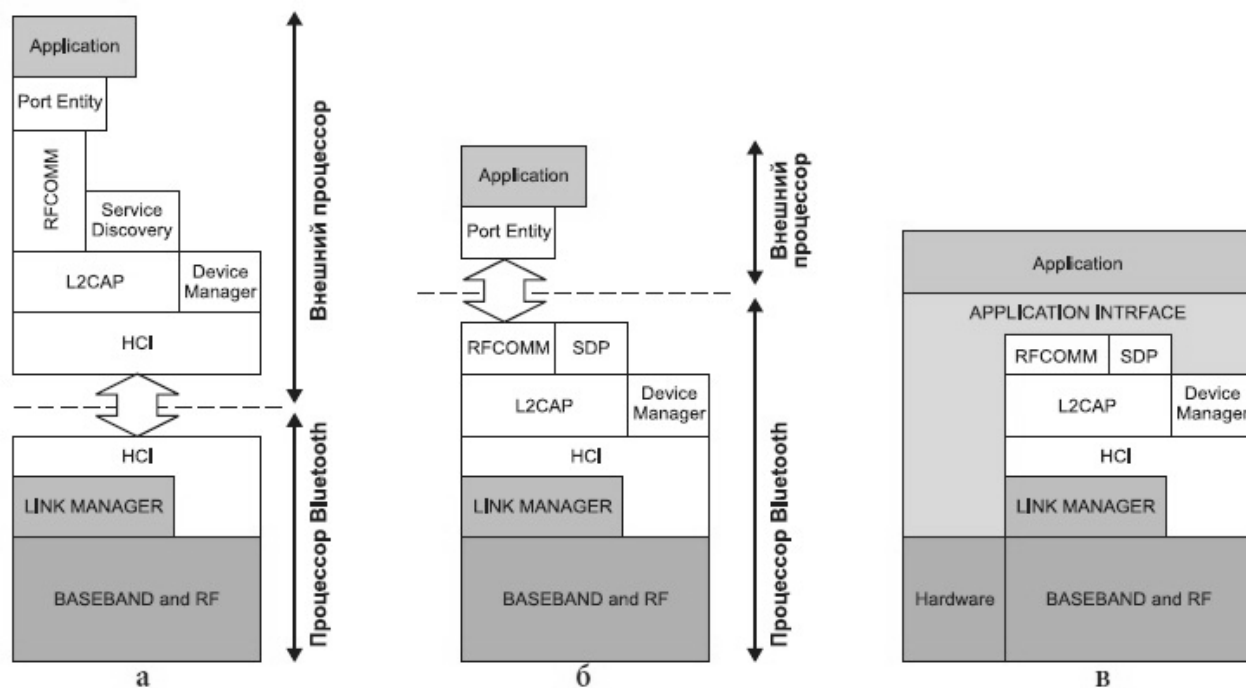


Рис. 79. Разновидности архитектуры модулей стандарта Bluetooth: а) двухпроцессорная; б) встроенная двухпроцессорная; в) однопроцессорная

Модули Bluetooth со встроенной двухпроцессорной архитектурой (рис. 5.85б) являются наиболее распространенными. Данная разновидность архитектуры подразумевает наличие стека Bluetooth высокого уровня с поддержкой стандартных профилей непосредственно во внутреннем процессоре модуля. В этом случае приложение, работающее на внешнем процессоре, взаимодействует с модулем Bluetooth через аппаратные интерфейсы.

Однопроцессорная архитектура (рис. 5.79в) является наименее распространенной. Для ее реализации разработчик должен создать специальное приложение, которое будет работать на внутреннем процессоре модуля Bluetooth. В этом случае модуль превращается в автономное устройство, доступ к которому через внешние аппаратные интерфейсы закрыт.

Принадлежность модуля к той или иной архитектуре может определяться как его аппаратной реализацией, так и внутренним программным обеспечением. Например, в частном случае один и тот же модуль Bluetooth может быть отнесен к любой из трех разновидностей архитектуры в зависимости от типа прошивки, загруженной во внутренний процессор модуля. Такой подход пользуется наибольшей популярностью среди зарубежных производителей.

Чтобы получить наиболее полное представление о роли Bluetooth среди других представителей группы Short Range RF, обратимся к истории (рис. 5.86). Развитие Bluetooth с самого начала шло по пути увеличения скорости обмена данными, снижения энергопотребления, повышения безопасности и надежности соединения. Вплоть до

версии 3.0 сохранялась обратная совместимость всех версий Bluetooth между собой. До сих пор в эксплуатации встречаются устройства Bluetooth версий 1.1 и 1.2, которые успешно используются совместно с 2.0 и 2.1.

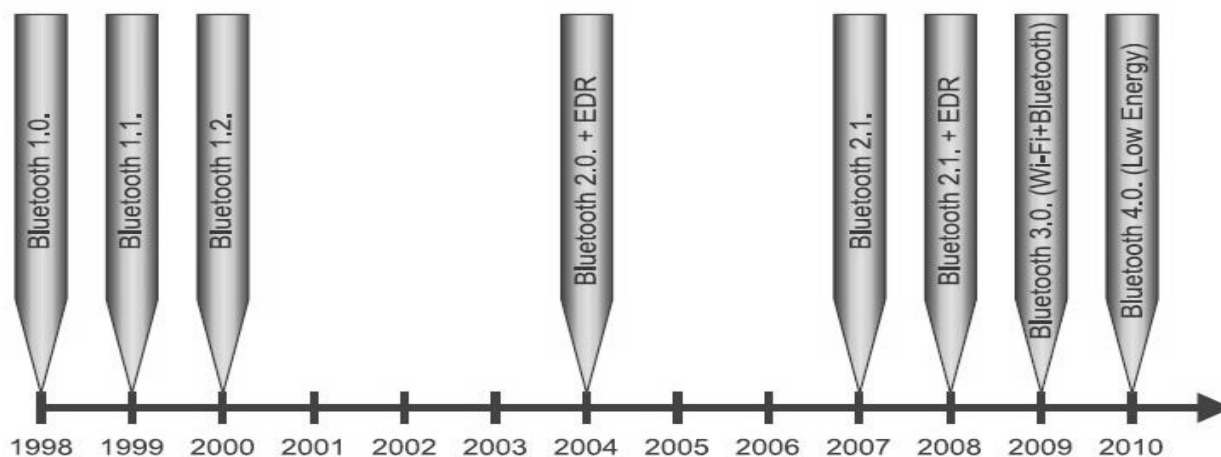


Рис. 80. Хронология развития стандарта Bluetooth

Bluetooth 3.0 является чем-то средним между Bluetooth и Wi-Fi. Модули с ее поддержкой соединяют в себе две радиосистемы: первая обеспечивает передачу данных в 3 Мбит/с (стандартная для Bluetooth 2.0) и имеет низкое энергопотребление; вторая совместима со стандартом 802.11 (Wi-Fi) и обеспечивает возможность передачи данных со скоростью до 24 Мбит/с (сравнима со скоростью сетей Wi-Fi). Выбор радиосистемы для передачи данных зависит от размера передаваемого файла. Это один из наиболее ярких примеров объединения двух разных технологий для завоевания новых сегментов рынка. Правда, успеха эта попытка не имела: распространения Bluetooth 3.0 не получил.

Bluetooth 4.0 не имеет обратной совместимости с предыдущими версиями. Сверхнизкое энергопотребление достигается за счет использования специального алгоритма работы. Передатчик включается только на время отправки данных, что обеспечивает возможность работы от одной батарейки типа CR2032 в течение нескольких лет. Стандарт предоставляет скорость передачи данных в 1 Мбит/с при размере пакета 8–27 байт. В новой версии два Bluetooth-устройства смогут устанавливать соединение менее чем за 5 мс и поддерживать его на расстоянии до 100 м. Для этого используется усовершенствованная коррекция ошибок, а необходимый уровень безопасности обеспечивает 128-битное шифрование.

Предполагается, что Bluetooth 4.0 будет конкурировать и вытеснять ZigBee в классе малопотребляющих радиочастотных устройств с поддержкой сложных сетей. Это также является ярким примером пересечения двух разных технологий, в данном случае — ZigBee и Bluetooth.

Проанализировав современное состояние технологии Bluetooth, можно обозначить плюсы и минусы. К достоинствам стандарта относятся:

- высокий уровень стандартизации и совместимость между устройствами Bluetooth разных производителей;
- защита передаваемых данных;
- низкая стоимость;
- высокая дальность действия (до 1000 м);
- универсальность и большое разнообразие модулей под разные задачи.

Среди недостатков отметим:

- Относительно высокое энергопотребление (работа от автономных источников питания не всегда возможна). Предполагается, что этого недостатка будет лишена новая версия спецификации Bluetooth 4.0.
- Относительно невысокая скорость обмена данными (до 1 Мбит/с). Как правило, реальная скорость обмена данными ограничивается пропускной способностью внешних аппаратных интерфейсов модуля.

Одно из основных преимуществ стандарта Bluetooth заключается в его высоком уровне стандартизации и широчайшем распространении в составе пользовательских электронных устройств. Это позволяет в ряде случаев практически в два раза сэкономить время и затраты на разработку при проектировании некоторой системы сбора данных, телеметрии или управления на основе Bluetooth, поскольку в качестве одной из сторон беспроводного обмена данными может выступать, например, обычный серийно выпускаемый ноутбук или коммуникатор с поддержкой данной технологии.

Исходя из характерных особенностей модулей Bluetooth, сформировались их области применения в России и за рубежом:

- Автомобильная электроника. Модули Bluetooth могут использоваться в бортовых автомобильных системах контроля и управления. Эта область применения характерна для России.
- Системы удаленного управления и телеметрии. Здесь устройства Bluetooth могут использоваться наряду с модулями технологий Wi-Fi, ZigBee, Short Range RF 434/868 МГц. Данная область применения в равной степени актуальна как для России, так и для зарубежных стран.

### **Bluetooth.**

Ноутбуки, сотовые телефоны, смартфоны, торговые терминалы со встроенной функцией Bluetooth. Bluetooth - это современная технология беспроводной передачи данных, позволяющая соединять друг с другом практически любые устройства: мобильные

телефоны, ноутбуки, принтеры, цифровые фотоаппараты и даже холодильники, микроволновые печи, кондиционеры. Соединить можно все, что соединяется (то есть имеет встроенный микрочип Bluetooth). Технология стандартизирована, следовательно, проблемы несовместимости устройств от конкурирующих фирм быть не должно.

Bluetooth - это маленький чип, представляющий собой высокочастотный (2.4 - 2.48 ГГц) приёмопередатчик, работающий в диапазоне ISM (Industry, Science and Medicine; промышленный, научный и медицинский). Для использования этих частот не требуется лицензия (исключения рассмотрим ниже). Скорость передачи данных, предусмотренная стандартом, составляет порядка 720 Кбит/с в асимметричном режиме и 420 Кбит/с в полнодуплексном режиме. Обеспечивается передача трех голосовых каналов, но не видеосигнала. Энергопотребление (мощность передатчика) не должно превышать 10 мВт. Изначально технология предполагала возможность связи на расстоянии не более 10 метров. Сегодня некоторые фирмы предлагают микросхемы Bluetooth, способные поддерживать связь на расстоянии до 100 метров. Как радиотехнология, Bluetooth способна "обходить" препятствия, поэтому соединяемые устройства могут находиться вне зоны прямой видимости. Соединение происходит автоматически, как только Bluetooth-устройства оказываются в пределах досягаемости, причем не только по принципу точка - точка (два устройства), но и по принципу точка - много точек (одно устройство работает с несколькими другими). Естественно, для реализации технологии Bluetooth на практике необходимо определенное программное обеспечение (ПО). Кстати, в новую версию операционной системы MS Windows Whistler встроена поддержка Bluetooth [16].

### Передача данных Bluetooth.

В стандарте Bluetooth предусмотрена дуплексная передача на основе разделения времени (Time Division Duplexing - TDD). Основное устройство передает пакеты в нечетные временные сегменты, а подчиненное устройство – в четные.

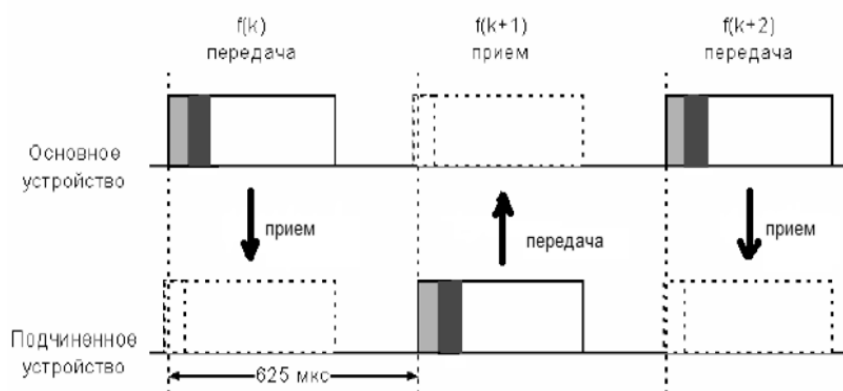


Рис. 81. Дуплексная передача с временным разделением

Пакеты в зависимости от длины могут занимать до пяти временных сегментов. При этом частота канала не меняется до окончания передачи пакета.

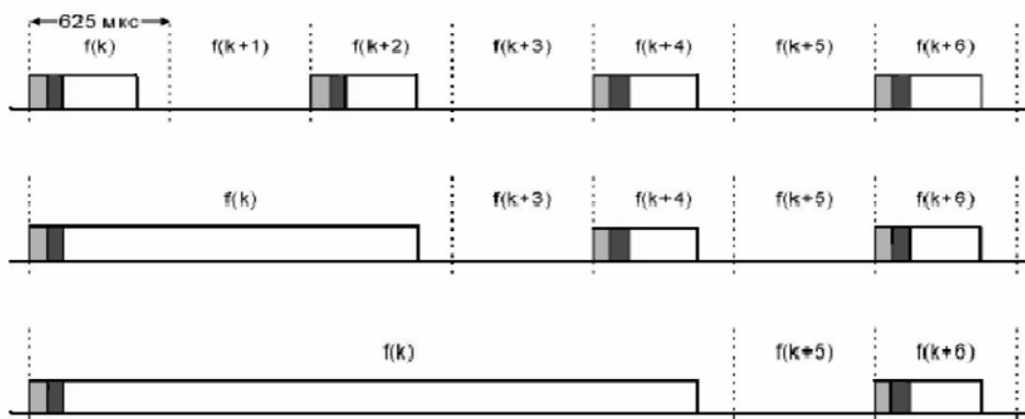


Рис. 82. Передача пакетов различной длины

Протокол Bluetooth может поддерживать асинхронный канал данных, до трех синхронных (с постоянной скоростью) голосовых каналов или канал с одновременной асинхронной передачей данных и синхронной передачей голоса. Скорость каждого голосового канала – 64 Кбит/с в каждом направлении, асинхронного в асимметричном режиме – до 723,2 Кбит/с в прямом и 57,6 кбит/с в обратном направлениях или до 433,9 Кбит/с в каждом направлении в симметричном режиме.

### Структура пакета.

Стандартный пакет Bluetooth содержит код доступа длиной 72 бита, 54-битный заголовок и информационное поле длиной не более 2745 бит. Однако пакеты могут быть различных типов. Так, пакет может состоять только из кода доступа (в этом случае его длина равна 68 битам) или кода доступа и заголовка.

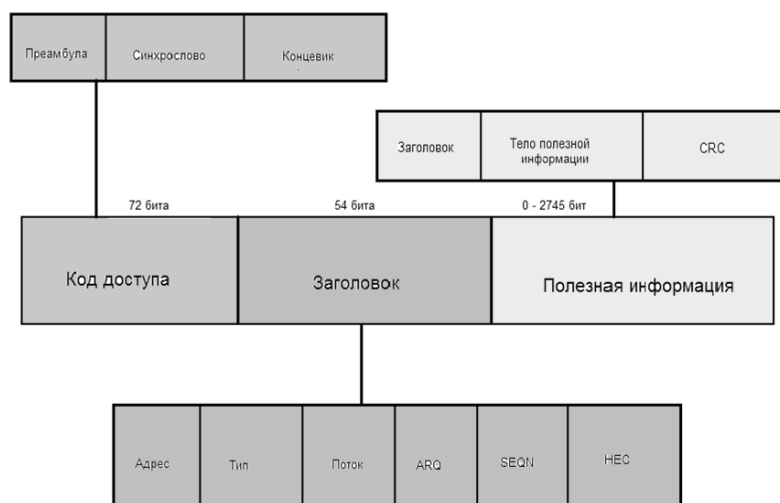


Рис. 83. Структура пакета

**Код доступа** идентифицирует пакеты, принадлежащие одной пикосети, а также используется для синхронизации и процедуры запросов. Он включает преамбулу (4 бита), синхрослово (64 бита) и концевик – 4 бита контрольной суммы.

**Заголовок** содержит информацию для управления связью и состоит из шести полей:

- Адрес (3 бита) - адрес активного элемента;
- Тип (4 бита) - код типа данных;
- Поток (1 бит) - управление потоком данных, показывает готовность устройства к
- приему;
- ARQ (1 бит) - подтверждение правильного приема;
- SEQN (1 бит) - служит для определения последовательности пакетов;
- НЕС (8 бит) - контрольная сумма.

Заключительной частью общего формата пакета является **полезная информация**. В этой части есть два типа полей: поле голоса (синхронное) и поле данных (асинхронное). ACL пакеты имеют только поле данных, а SCO пакеты – только поле голоса. Исключением является пакет данных и голоса (Data Voice - DV), который имеет оба поля. Поле данных состоит из трех сегментов: заголовок полезной информации, тело полезной информации и возможно, CRC (Cyclic Redundancy Check) код.

- Заголовок полезной информации (8 бит). Только поля данных имеют заголовок полезной информации. Он определяет логический канал, управление потоком в логических каналах, а также имеет указатель длины полезной информации.

- Тело полезной информации (0-2721 бит). Тело полезной информации включает пользовательскую информацию. Длина этого сегмента указана в поле длины заголовка полезной информации.

- CRC (16 бит). От передаваемой информации вычисляется 16-битный циклический избыточный код (CRC), после чего он прикрепляется к информации.

Существует 4 типа контрольных пакетов: NULL, POLL, FHS, ID. Они одинаковые как для ACL, так и для SCO.

- ID-пакеты имеют длину 68 бит и применяются для пейджинга и запросов. Состоит из поля Код Доступа .

- NULL-пакеты (126 бит) состоят только из полей Код Доступа и Заголовок, играя роль подтверждений установления соединения или получения данных

- Тип POLL (126 бит) аналогичен предыдущему за исключением того, что POLL-пакеты обязывают получателя ответить.

- Пакеты FHS (366 бит) содержат информацию об адресе, классе устройства и тактовой частоте его передатчика

### Работа Bluetooth.

Есть два основных состояния для устройств Bluetooth: Соединение (Connection) и Режим ожидания (Standby). Предусмотрено семь субсостояний, которые используются для добавления клиента или подключения к пикосети: page, page scan, inquiry, inquiry scan, master response, slave response и inquiry response.

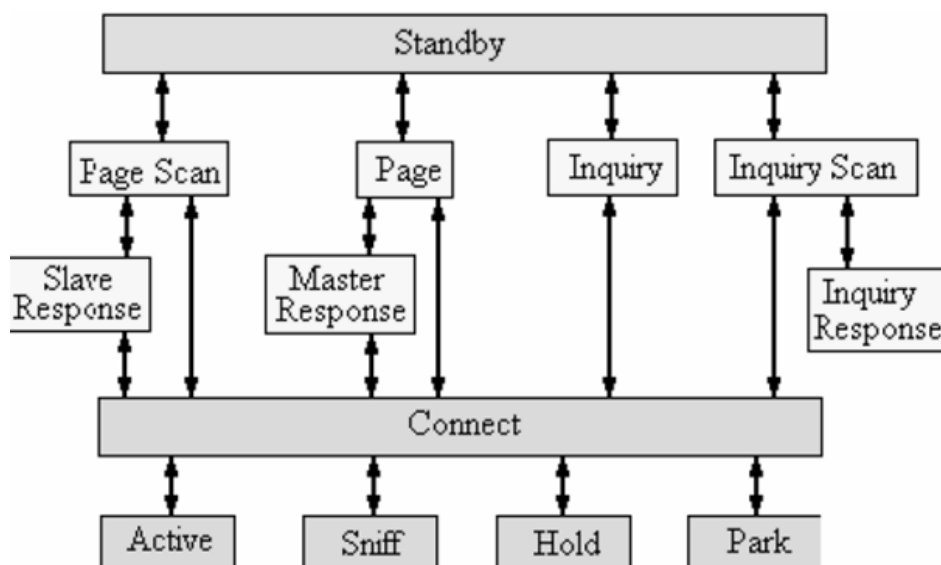


Рис. 84. Состояние соединений

Состояние Standby по умолчанию является режимом с пониженным энергопотреблением, работает только внутренний задающий генератор. В состоянии Соединения основной узел (master) и подчиненный (slave) могут обмениваться пакетами, используя код доступа к каналу.

Соединение между устройствами происходит так - если об удаленном устройстве ничего не известно, то используются процедуры inquiry и page. Если некоторая информация о устройстве все-таки есть, то достаточно процедуры page.

#### Этап 1

Процедура **inquiry** позволяет устройству определить, какие приборы доступны, выяснить адреса и осуществить синхронизацию.

1.1 Посылаются пакеты inquiry и получаются отклики.

1.2 Если адресат, получивший пакет inquiry, находится в состоянии inquiry scan, тогда он способен принимать такие пакеты

1.3 Получатель переходит в состояние inquiry response и посылает отправителю пакет-отклик.

После того как процедура inquiry завершена, соединение может быть установлено с помощью процедуры paging.

## Этап 2

Процедура **paging** реализует соединение. Для осуществления этой процедуры необходим адрес. Устройство, выполняющее процедуру paging, автоматически становится хозяином этого соединения.

2.1 Посылается пакет paging

2.2 Адресат получит этот пакет (находится в состоянии page Scan)

2.3 Получатель посылает отправителю пакет-отклик (находится в состоянии Slave Response)

2.4 Инициатор посылает адресату пакет FHS (находится в состоянии Master Response).

2.5 Получатель посылает отправителю второй пакет-отклик (находится в состоянии Slave Response)

2.6 Получатель и отправитель устанавливают параметры канала заданные инициатором (находятся в состоянии Master Response & Slave Response)

После установления соединения основной узел (master) посылает пакет POLL, чтобы проверить, синхронизовал ли клиент свои часы и настроился ли на коммутацию частот. Клиент при этом может откликнуться любым пакетом. После успешного обнаружения устройств новое Bluetooth устройство получает набор адресов доступных Bluetooth устройств, после чего выясняет имена всех доступных Bluetooth устройств из списка. У каждого Bluetooth устройства есть свой глобально уникальный адрес, но на уровне пользователя обычно используется не этот адрес, а имя устройства, которое может быть любым, и ему не обязательно быть глобально уникальным. Имя Bluetooth устройства может быть длиной до 248 байт, и использовать кодовую страницу в соответствии с Unicode UTF-8 (при использовании UCS-2, имя может быть укорочено до 82 символов). Также у Bluetooth есть возможность автоматического подключения Bluetooth устройств к службам, предоставляемым другими Bluetooth устройствами. Поэтому, после того как имеется список имён и адресов, выполняется поиск доступных услуг, предоставляемых различными устройствами. Для поиска возможных услуг используется специальный протокол обнаружения услуг (Service Discovery Protocol - SDP).

Устройство Bluetooth при установлении соединения может работать в четырех режимах: **Active** (активный), **Hold** (удержание), **Sniff** (прослушивание) и **Park** (пассивный).

Таблица 12. Режимы работы Bluetooth

Название	Описание
----------	----------

режима	
Active	<p>В активном режиме устройство Bluetooth участвует в работе канала. Основной узел (master) диспетчеризует обмены на основе запросов трафика, поступающих от участников. Кроме того, этот режим предусматривает регулярные обмены с целью синхронизации клиентов. Активные клиенты прослушивают домены master-to-slave пакетов. Если к активному клиенту нет обращений, он может пребывать в пассивном состоянии (sleep) до очередной передачи со стороны главного узла</p>
Sniff	<p>Устройства синхронизованные в рамках пикосети могут перейти в режим экономного расходования энергии, когда их активность понижается. В режиме <b>SNIFF</b>, подчиненное устройство прослушивает пикосеть с пониженной частотой. Этот режим имеет наивысшую скважность рабочего цикла (наименьшая экономия энергии) из 3 экономичных режимов (<b>sniff, hold и park</b>)</p>
Hold	<p>Устройства синхронизованные в рамках пикосети могут перейти в режим экономного расходования энергии, когда их активность понижается. Основной узел пикосети может перевести клиента в режим HOLD, когда работает только внутренний таймер. Подчиненное устройство может запросить перевода в режим HOLD. Передача данных возобновляется мгновенно, когда устройство выходит из режима HOLD. Клиент имеет промежуточную скважность (промежуточный уровень экономии энергии) из указанных 3 режимов (sniff, hold и park)</p>
Park	<p>В режиме PARK, устройство еще синхронизовано в рамках пикосети, но не принимает участия в обменах. Пассивные устройства отказываются от своих MAC-адресов, прослушивают трафик главного модуля с целью ресинхронизации и отслеживают широковещательные сообщения. Данный режим имеет минимально возможную скважность (максимальная экономия энергии) из указанных 3 режимов (sniff, hold и park). Устройства, находящиеся в режиме park, должны посылать пакеты широковещательно, так как лишены собственного активного адреса.</p>

**"Частотный конфликт".**

Тот факт, что частотный диапазон 2.4 ГГц свободен от лицензирования, вносит определенные сложности в использование Bluetooth-устройств. В этом диапазоне работают также различные медицинские приборы, бытовая техника, беспроводные телефоны, беспроводные локальные сети стандарта IEEE. Вполне логично предположить, что они могут "конфликтовать" друг с другом. Во избежание интерференции с другими беспроводными устройствами Bluetooth работает по принципу скачкообразной перестройки частоты (1600 скачков в секунду). Переход с одной частоты на другую происходит по псевдослучайному алгоритму. Это позволяет "освободить" нужные другим устройствам частоты[3].

**Моделирование Bluetooth.**

Модель состоит из трех основных блоков:

- 1 Передатчик;
- 2 Канал;
- 3 Приемник.

Канал имеет три режима работы:

- 1 Нет канала;
- 2 AWGN канал;

Также имеется генератор сигнала стандарта 802.11, который как раз может конфликтовать с сигналами Bluetooth, для чего и применяется скачкообразная перестройка частоты.

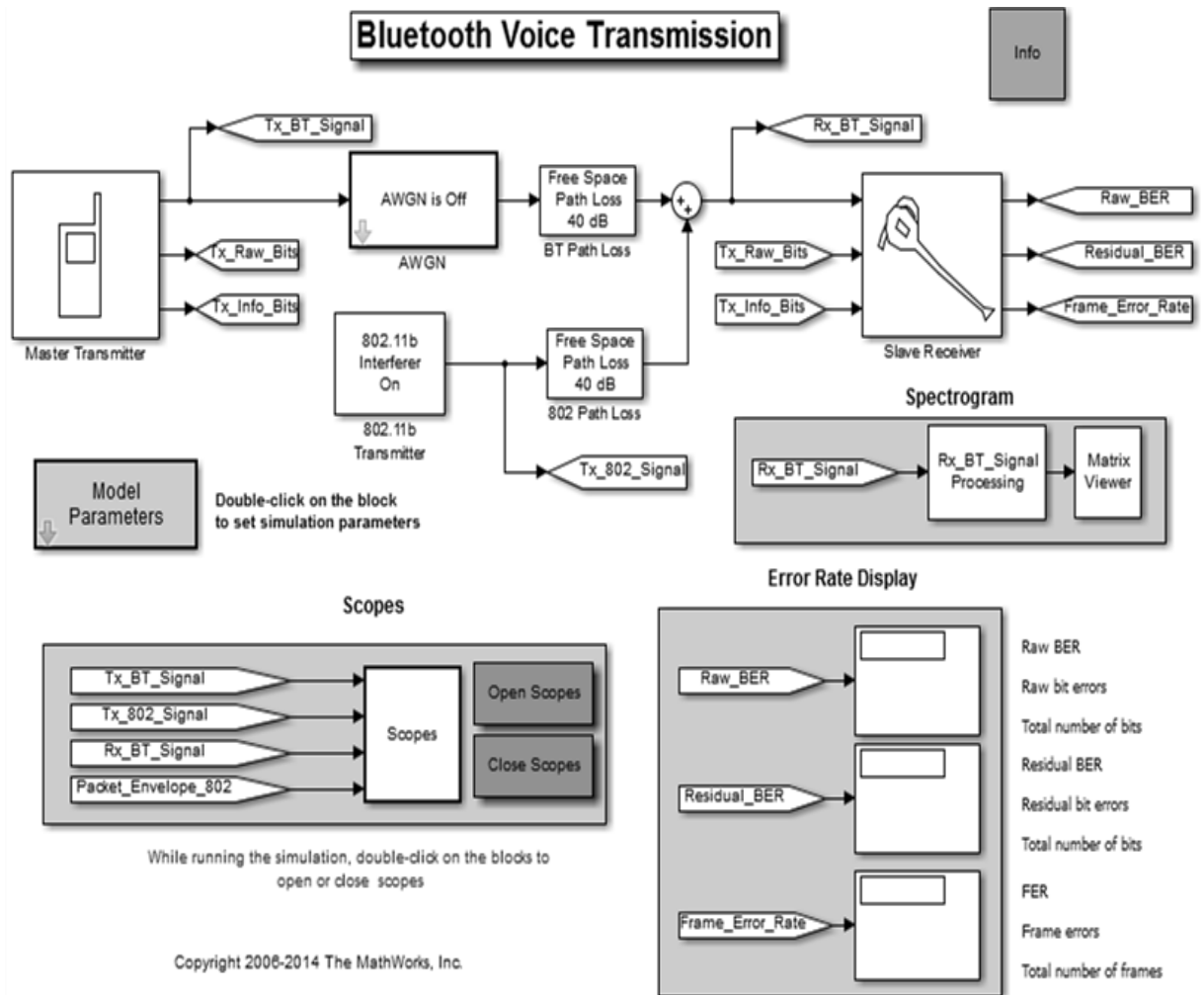


Рис. 85. Модель Bluetooth в MATLAB

### Результаты моделирования.

В результате моделирования данной схемы система строит три графика: спектр сигнала, временную форму сигнала и зависимость изменения рабочей частоты во времени (скачкообразная перестройка). На графике ниже представлен спектр Bluetooth сигнала в один из моментов времени. Одним из минусов метода перестройки частоты в системе Bluetooth являются задержки, которые хорошо видны на данной диаграмме при моделировании, также о них будет сказано ниже.



Рис. 86. Спектр Bluetooth без мешающего сигнала 802.11

Временная форма сигнала представляет просто набор битов, как и во многих современных системах связи. О значениях каждого бита(структуре кадра) была сказано ранее.

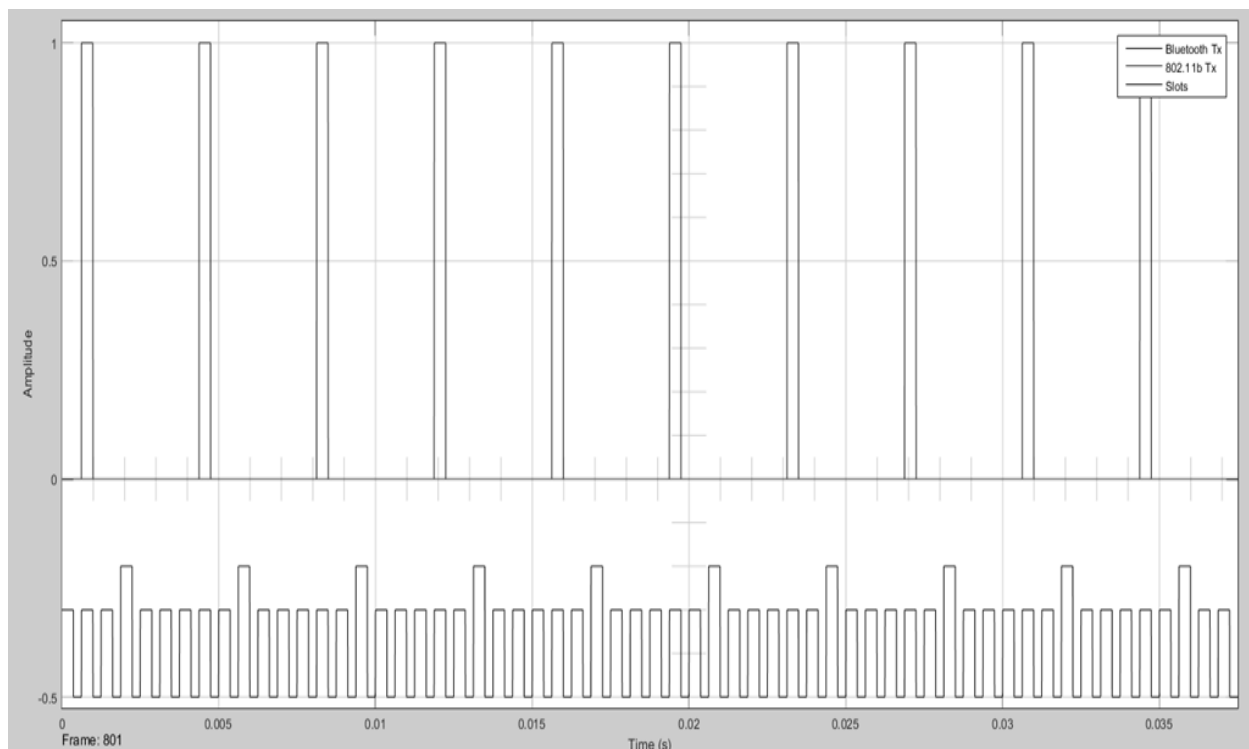


Рис. 87. Временная диаграмма Bluetooth без мешающего сигнала 802.11

На рисунке 5.88 хорошо видно изменение частоты от времени. На рисунке на оси абсцисс представлена частота, а на оси ординат время. Видно, что по оси времени перестройка с одной частоты на другую занимает определенное время, что относят к недостаткам системы Bluetooth.

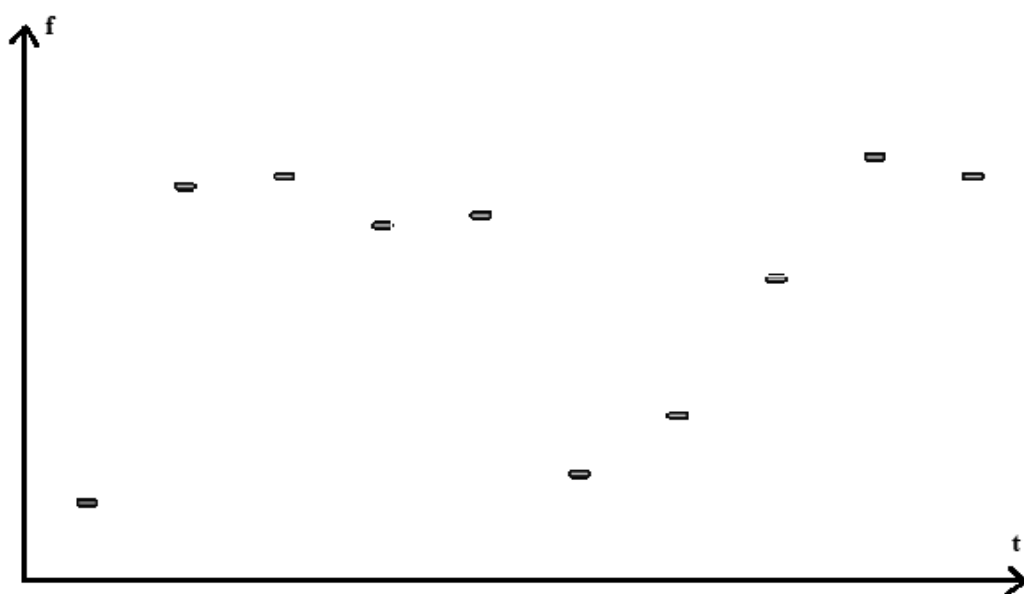


Рис. 88. Пример скачков частоты Bluetooth во времени без мешающего сигнала 802.11(WiFi)

На рисунке 89 представлен спектр вместе с мешающим сигналом. Здесь прекрасно видно, почему для построения системы Bluetooth был выбран алгоритм FHSS, который позволяет ему работать в одном диапазоне частот со стандартом 802.11 не мешая друг другу.

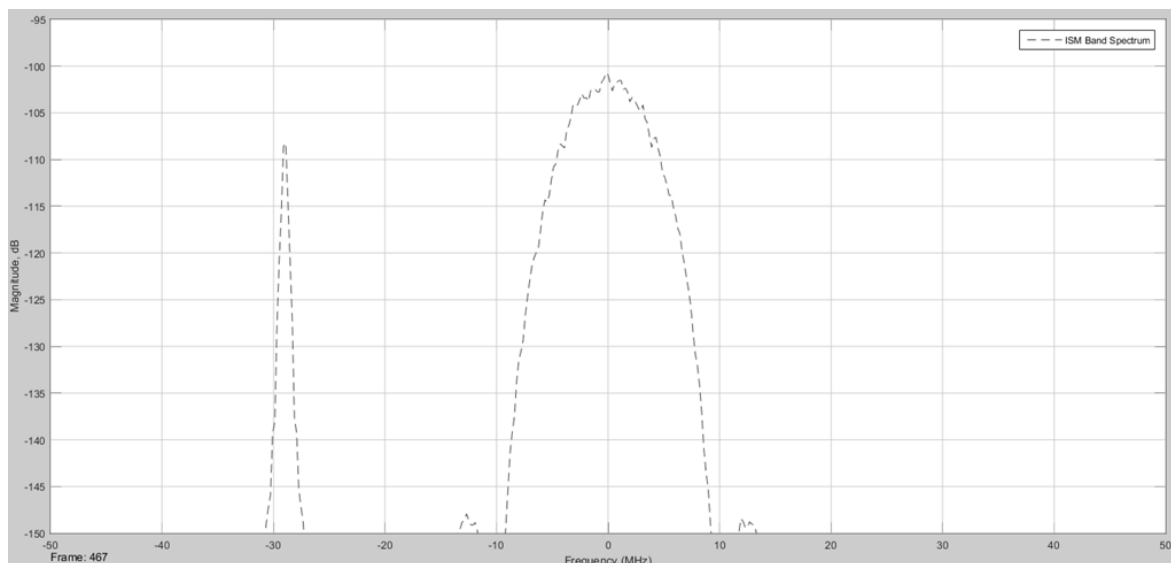


Рис. 89. Спектр Bluetooth с мешающим сигналом 802.11

Благодаря тому, что спектры сигналов разнесены в частотной области перекрытие их во временной, не играет большой роли, т.к. сигналы можно без проблем разделить.

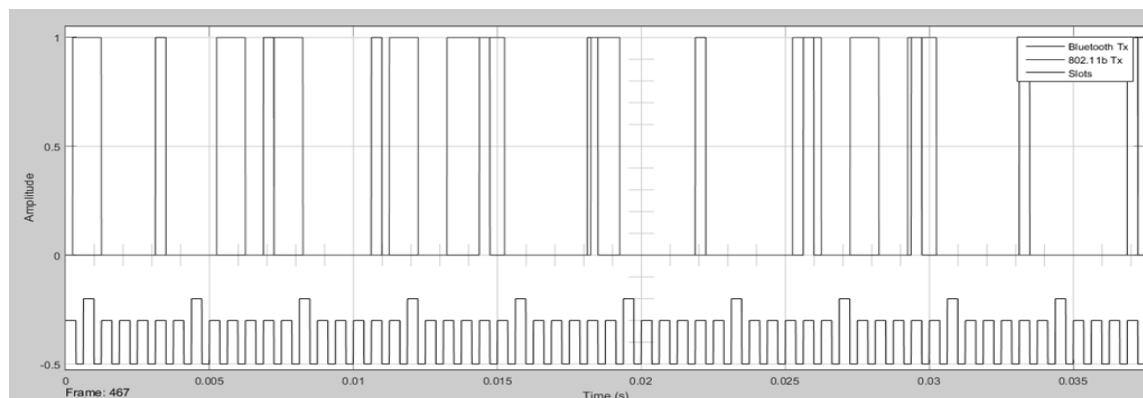


Рис. 90. Временная диаграмма Bluetooth с мешающим сигналом 802.11

Из рисунка ниже прекрасно видно, что во время работы устройства стандарта 802.11 рабочая частота системы Bluetooth находится достаточно далеко по спектру, а в некоторые моменты занимает свободный диапазон стандарта 802.11

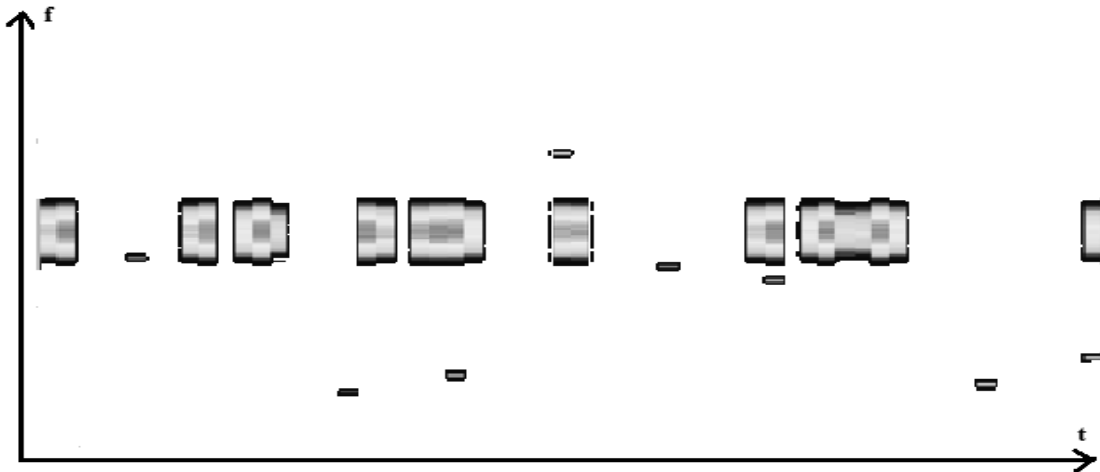


Рис. 91. Пример скачков частоты Bluetooth во времени с мешающим сигналом 802.11

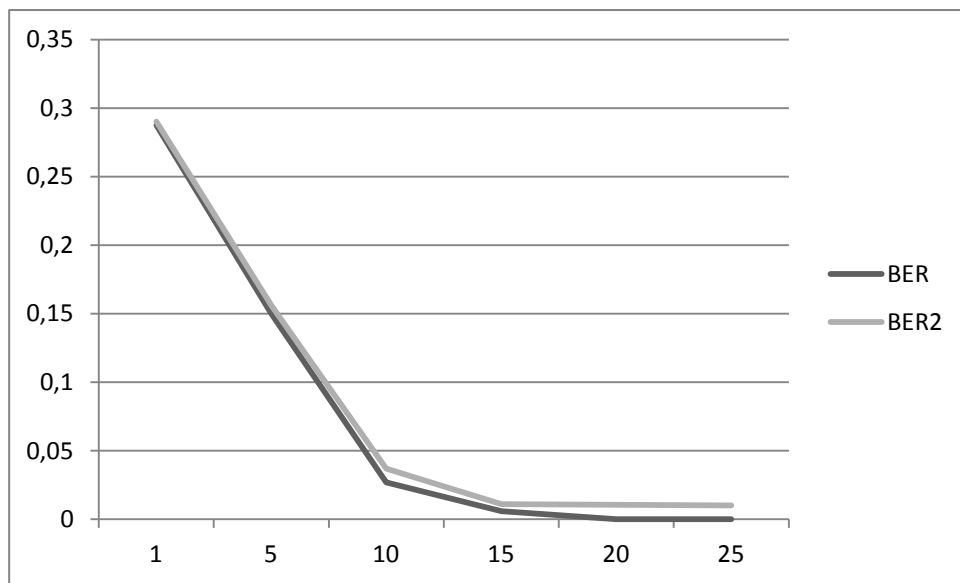


Рис. 92. Зависимость BER от SNR. Красным цветом (верхняя кривая) выделен график при включенном мешающем сигнале 802.11

Благодаря алгоритму FHSS система не сильно подвержена влиянию других стандартов передачи данных, работающих в том же диапазоне частот.

В разделе поканала технология передачи данных 802.15.1 Bluetooth, а также использована модель передачи звука по такой системе в системе Simulink.

С помощью модели были построены временная диаграмма сигнала, спектр и FHSS спектр сигнала BLUETOOTH при воздействии мешающего сигнала и без него. Также была построена зависимость BER от SNR.

На основе графиков зависимости BER от SNR (рисунок 92) видно, что мешающий сигнал 802.11 оказывает незначительное влияние на передачу данных. На рисунке 91 видно, что во время передачи сигнала 802.11, сигнал Bluetooth совершает скачок на другую частоту, что также хорошо видно на рисунке 88.

## **6. Имитационное моделирование системы мобильной связи стандарта IEEE 802.16 (WiMAX) на базе MATLAB**

Существующие системы проводной цифровой связи уже не могут в полной мере удовлетворять растущим потребностям высокоскоростного широкополосного доступа. Важнейшими их недостатками являются длительные сроки прокладки, сложности расширения, высокие затраты, проблема "последней мили". Основной и является так называемая проблема "последней мили". Высокоскоростные цифровые соединительные линии DSL (Digital Subscriber Line) не снимают этой проблемы.

Технология WiMAX позволяет разрешить эту проблему в кратчайшие сроки, так как не требует прокладки соединительных линий к зданиям. Значительно проще развернуть по городу сеть базовых станций (наподобие сети станций сотовой связи). Каждая базовая станция в типовом варианте покрывает зону радиусом 6—8 км (возможны зоны радиусом до 30—50 км). В этой зоне каждая базовая станция (BS) по схеме "точка-многоточка" способна передавать/принимать сигналы от сотен зданий, внутри которых находится телекоммуникационное оборудование пользователей.

Под аббревиатурой WiMAX (Worldwide Interoperability for Microwave Access) понимается технология операторского класса с высоким качеством сервиса, которая основана на семействе стандартов IEEE 802.16, разработанных международным институтом инженеров по электротехнике и электронике (IEEE). Обеспечивает мультисервисность, гибкое распределение частот, задание приоритетов различным видам трафика, возможность обеспечения разного уровня качества (QoS), поддержка интерфейсов IP. Эта технология позволяет параллельно передавать голос, мультимедийную информацию и цифровые данные по одному каналу связи. Важным преимуществом является возможность быстро наращивать емкость и расширять территорию связи.

Технология WiMAX представляет прекрасную возможность обеспечивать беспроводной доступ всем пользователям цифрового оборудования, включая оборудование беспроводных локальных сетей, технологии Wi-Fi, к глобальным сетям, являясь связующим звеном между локальными сетями и глобальными сетями.

### **Общие принципы построения сетей WiMAX.**

#### **Стандарты IEEE 802.16. Форум WiMAX.**

При переходе к созданию систем широкополосного радиодоступа с интеграцией услуг стало понятно, что основополагающие принципы, заложенные в беспроводные системы на предыдущих этапах, нуждаются в существенной корректировке. На сигнальном уровне первостепенное значение приобрело оптимальное использование спектрального ресурса радиоканала при любых соотношениях "скорость - помехоустойчивость". На уровне

протоколов стало необходимым обеспечивать заданный уровень качества обслуживания каждому абоненту сети.

Основным преимуществом сетей WiMAX по сравнению с другими технологиями, призванными решать аналогичные задачи, является относительно быстрое развертывание систем на достаточно больших территориях без проведения работ по прокладке кабеля и предоставление конечным пользователям каналов связи в единицы Мбит/с, что особенно актуально для мест с неразвитой сетевой инфраструктурой. Основным конкурентом сетей WiMAX являются системы связи четвертого поколения LTE E UTRA.

На сегодняшний день беспроводные сети городского масштаба представлены следующими стандартами:

- IEEE 802.16e-2005, 2009 (WiMAX);
- ETSI HiperMAN;
- IEEE 802.20 (WBWA).

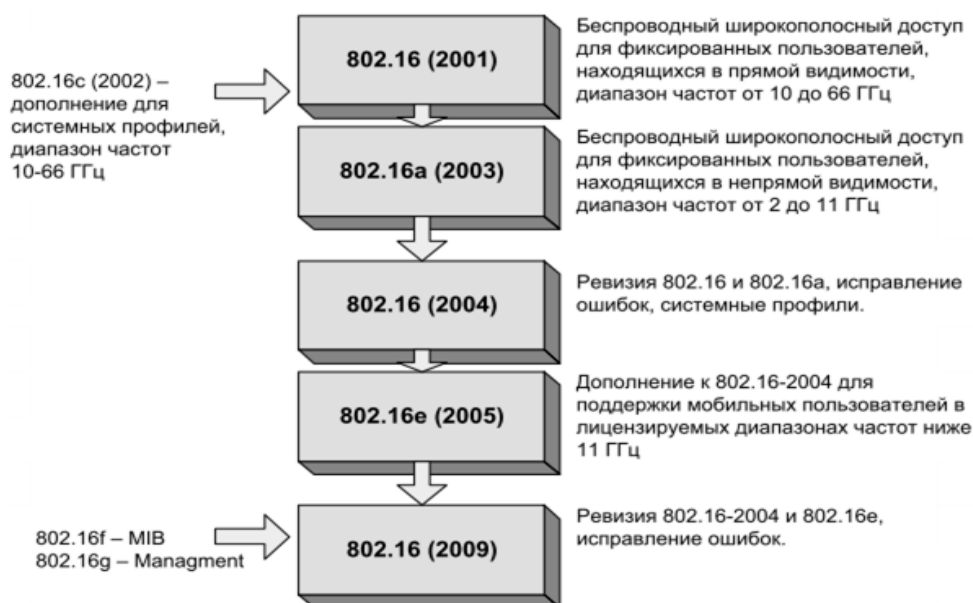


Рис. 93. Эволюция стандартов IEEE 802.16

Необходимо различать стандарты связи серии IEEE 802.16 (рисунок 5.93) и форум WiMAX (рисунок 5.93). Стандарты серии IEEE 802.16 — это множество стандартов, определяющих беспроводные сети городского масштаба (WMAN — Wireless Metropolitan Area Network), разработаны для обеспечения беспроводным широкополосным доступом стационарных и мобильных пользователей. Форум WiMAX является некоммерческой организацией для продвижения и сертификации устройств беспроводного широкополосного доступа, основанных на согласованном стандарте IEEE 802.16/ETSI HiperMAN. Сотрудничает с поставщиками услуг, производителями оборудования, производителями тестового оборудования, сертификационными лабораториями и поставщиками программно-

аппаратных ресурсов для обеспечения соответствия ожиданиям заказчика и государственным стандартам.

Стандарты серии IEEE 802.16 определяет радиointерфейс для систем широкополосного беспроводного доступа (уровни MAC и PHY, рисунок 5.70) с фиксированными и мобильными абонентами в диапазоне частот 1-66 ГГц, рассчитанных на внедрение в городских распределенных беспроводных сетях операторского класса. Сети, построенные на основе этих стандартов, займут промежуточное положение между локальными сетями (IEEE 802.11x) и региональными сетями (WAN), где планируется применение разрабатываемого стандарта IEEE 802.20. Указанные стандарты совместно со стандартом IEEE 802.15 (PAN — Personal Area Network) и IEEE 802.17 (мосты уровня MAC) образуют иерархию стандартов беспроводной связи.

Для обеспечения работоспособности систем в диапазоне 10-66 ГГц, вследствие относительно малой длины волны, требуется наличие прямой видимости между передатчиком и приемником. В таких условиях при анализе канала связи многолучевостью среды можно пренебречь. Данные передаются на одной несущей. Ширина полосы частот одного канала составляет 25 или 28 МГц, скорость передачи данных до 120 Мбит/с.



Рис. 94. Стандарты серии IEEE 802.16 и форум WiMAX

В диапазоне частот 1-11 ГГц за счет увеличения длины волны возможен сценарий взаимодействия передатчика и приемника в условиях отсутствия прямой видимости. При этом необходимо применять более сложные (по сравнению с системами, функционирующими в диапазоне частот 10-66 ГГц) методы регулировки мощности,

различные способы борьбы с межсимвольной интерференцией. Для передачи данных используется одна или множество несущих (сигналы с OFDM).

Структура стандартов IEEE 802.16 представлена на рисунке 5.70. Стандарты описывают MAC- и PHY- уровни семиуровневой эталонной модели взаимодействия открытых систем (ЭМВОС). При этом уровень MAC делится на подуровни конвергенции, общей части и безопасности.

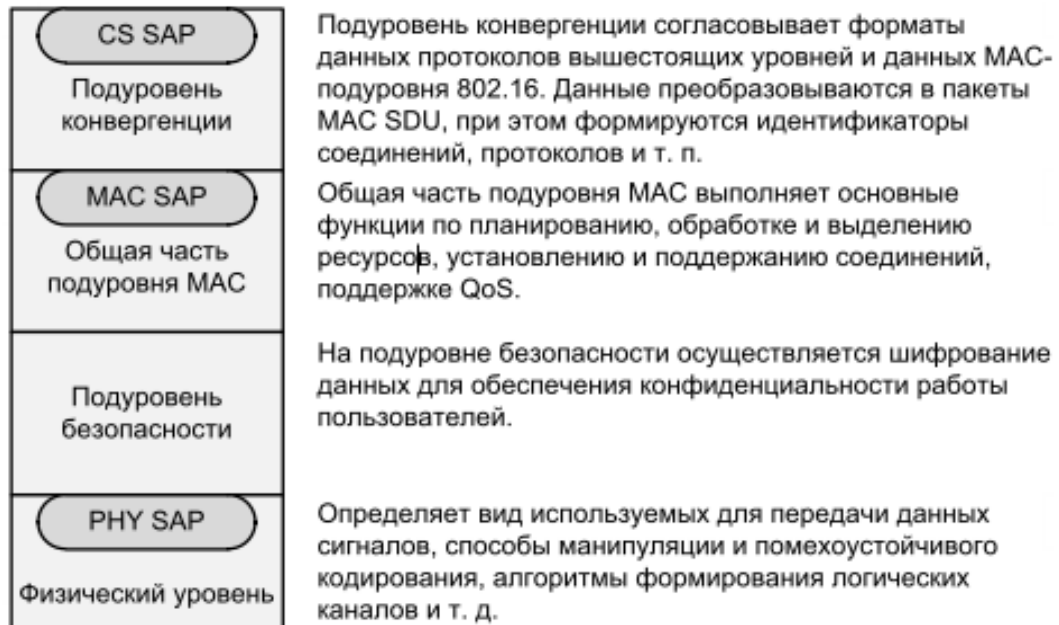


Рис. 96. Структура стандартов IEEE 802.16

### Сетевой уровень систем WiMAX.

#### Архитектура сетей WiMAX IEEE 802.16.

Базовая станция (БС, BS — Base Station) размещается в здании или на вышке и осуществляет связь с абонентскими станциями (АС, SS — Subscriber Station) по схеме — «точка – мультиточка» (Point to Multipoint — PMP). Возможен сеточный режим связи (Mesh — сетка связей — «точка – точка» — PTP), когда любые клиенты (АС) могут осуществлять связь между собой непосредственно, а антенные системы, как правило, являются ненаправленными. БС предоставляет соединение с основной сетью и радиоканалы к другим станциям. Радиус действия БС может достигать 30 км (в случае прямой видимости) при типовом радиусе сети 6–8 км. АС может быть радиотерминалом или повторителем, который используется для организации локального трафика. Трафик может проходить через несколько повторителей, прежде чем достигнет клиента. Антенны в этом случае являются направленными.

Канал связи предполагает наличие двух направлений передачи: восходящий канал (АС – БС, uplink) и нисходящий (БС – АС, downlink). Эти два канала используют разные неперекрывающиеся частотные диапазоны при частотном дуплексе и различные интервалы времени при временном дуплексе.

Простейший способ представления архитектуры сетей WiMAX заключается в их описании как совокупности БС, которые располагаются на крышах высотных зданий или вышках, и клиентских приемо-передатчиков (рисунок 96).



Рис. 96. Схематичное изображение сети WiMAX

Радиосеть обмена данными между БС и АС работает в СВЧ-диапазоне от 2 до 11 ГГц. Такая сеть в идеальных условиях может обеспечить техническую скорость передачи информации до 75 Мбит/с и не требует того, чтобы БС находилась на расстоянии прямой видимости от пользователя.

Диапазон частот от 10 до 66 ГГц используется для установления соединения между соседними базовыми станциями при условии, что они располагаются в зоне прямой видимости друг от друга. Так как в городской среде это условие может оказаться невыполнимым, связь между базовыми станциями иногда организуют посредством прокладки кабелей.

При более детальном рассмотрении сеть WiMAX можно описать как совокупность беспроводного и базового (опорного) сегментов. Первый описывается в стандарте IEEE

802.16, второй определяется спецификациями WiMAX Forum. Базовый сегмент объединяет все аспекты, не относящиеся к абонентской радиосети, то есть связь базовых станций друг с другом, связь с локальными сетями. Базовый сегмент основывается на IP-протоколе и стандарте IEEE 802.3-2005 (Ethernet). Однако само описание архитектуры в части, не относящейся к беспроводной клиентской сети, содержится в документах WiMAX Forum, объединенных под общим названием – "Network Architecture".

Таблица 13. Основные режимы для стандарта IEEE 802.16 в РФ

Диапазон частот, ГГц	Разрешенные полосы частот, МГц	Общая ширина выделенных полос, МГц	Тип беспроводного доступа
2,5	2500 – 2530 2560 – 2570 2620 – 2630 2660 – 2670 2680 – 2690	70	мобильный
3,5	3400 – 3450 3500 – 3550	100	фиксированный
5	5150 – 5350 5650 – 5725 5725 – 6425	975	фиксированный

В этих спецификациях к сетям WiMAX предъявляются такие требования, как независимость архитектуры от функций и структуры транспортной IP-сети. В то же время, должны обеспечиваться услуги, основанные на применении IP-протокола, а также мобильная телефония на основе VoIP и мультимедийные услуги. Обязательным является условие поддержки архитектурой протоколов IPv4 и IPv6. Сети WiMAX должны быть легко масштабируемыми и гибко изменяемыми и основываться на принципе декомпозиции (строиться на основе стандартных логических модулей, объединяемых через стандартные интерфейсы). Свойства масштабируемости и гибкости необходимо обеспечивать по таким эксплуатационным характеристикам, как плотность абонентов, географическая протяженность зоны покрытия, частотные диапазоны, топология сети, мобильность абонентов. Сети WiMAX должны поддерживать взаимодействие с другими беспроводными или проводными сетями. Большое значение имеет способность обеспечивать различные уровни качества обслуживания QoS.

### Базовая модель сетей WiMAX IEEE 802.16.

Базовая модель (БМ) сети WiMAX – это логическое представление сетевой архитектуры WiMAX. Термин "логическое" в данном случае означает, что модель рассматривает набор стандартных логических функциональных модулей и стандартных интерфейсов (точек сопряжения этих модулей).

БМ включает три основных элемента: множество абонентских (мобильных) станций (АС), совокупность сетей доступа (ASN, Access Service Network) и совокупность сетей подключения (CSN, Connectivity Service Network). Кроме того, в БМ входят так называемые базовые точки (R1...R8), через которые происходит сопряжение функциональных модулей. Базовая модель WiMAX сети изображена на рисунке 5.97.

Сеть (сети) ASN принадлежит провайдеру сети доступа (NAP, Network Access Provider) — организации, предоставляющей доступ к радиосети для одного или нескольких сервис-провайдеров WiMAX (NSP, Network Service Provider). В свою очередь, сервис-провайдер WiMAX — организация, предоставляющая IP-соединения и услуги WiMAX конечным абонентам. В рамках данной модели именно сервис-провайдеры WiMAX заключают соглашения с интернет-провайдерами, операторами других сетей доступа, соглашения о роуминге. Сервис-провайдеры по отношению к абоненту могут быть домашними и гостевыми, каждый со своей сетью CSN.

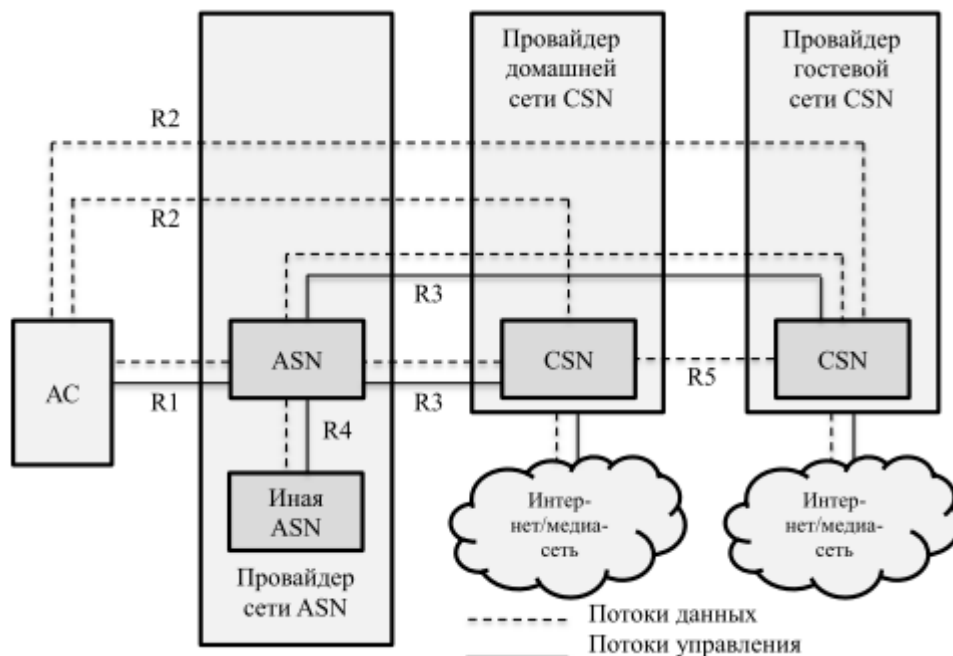


Рис. 97. Базовая модель WiMAX-сети

Сеть доступа ASN представляет собой множество базовых станций беспроводного доступа по стандарту IEEE 802.16 и шлюзов для связи с транспортной IP-сетью. Логическая модель доступа представлена на рисунке 73. Фактически эта сеть связывает радиосеть IEEE 802.16 и IP-сеть. ASN включает как минимум одну БС и как минимум один ASN-шлюз. Но

и базовых станций, и шлюзов в одной ASN может быть несколько, причем одна БС может быть логически связана с несколькими шлюзами. БС в рамках данной модели – это логическое устройство, поддерживающее набор протоколов IEEE 802.16 и функции внешнего сопряжения.

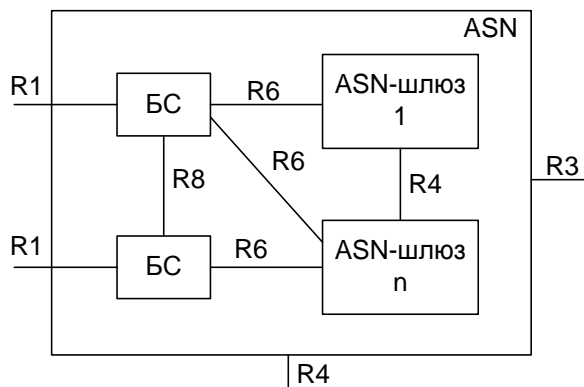


Рис. 98. Логическая модель сети доступа ASN

Сети ASN отвечают за передачу данных АС на втором логическом уровне и передают служебные и информационные сообщения АС, поступающие от сетей CSN. Состояния готовности к подключению и обеспечение целостного включения в сеть WiMAX для каждой АС накладывает следующие функциональные требования к ASN:

- обнаружение сети и выбор предпочитаемого абонентом WiMAX NSP;
- подключение АС к сети в соответствии с правилами второго логического уровня IEEE 802.16;
- реализация транслирующей функции для организации подключений АС на третьем логическом уровне (выделение IP-адресов);
- управление радиоресурсами сети;
- управление групповыми и ширококвещательными рассылками;
- поддержка мобильности с привязкой к ASN;
- поддержка внешних агентов для мобильности с привязкой к ASN;
- поддержка туннелей ASN – CSN;
- управление персональными вызовами и службами для определения местоположения абонентов;
- продвижение данных;
- авторизация сервисных потоков;
- поддержка уровней QoS;
- управление доступом и контроль соблюдения правил.

Перечисленные функции сетей ASN распределяются между БС и шлюзами ASN в соответствии с профилями, определенными в документе — «Release 1.0» форума WiMAX. На сегодняшний момент описано три таких профиля: А, В и С. На рисунке 5.99 представлена архитектура профиля С. Все профили обеспечивают функциональную совместимость между CSN и другими ASN через специальные опорные точки.

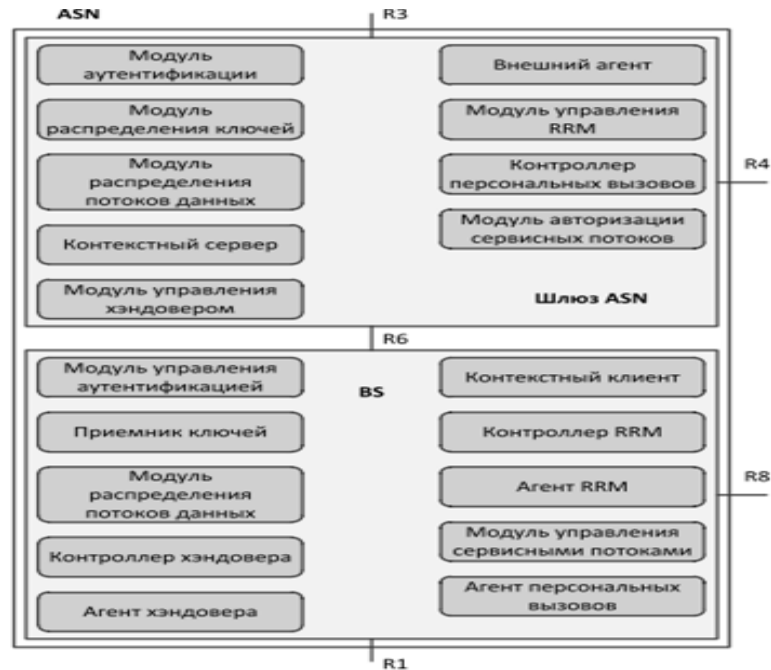


Рис. 99. Архитектура профиля С

Профиль В подразумевает полную свободу производителя, ему соответствует как концентрация всех функций в одном устройстве, так и их произвольное распределение. Профили А и С чрезвычайно похожи. Различие состоит в том, что в профиле А функции контроллера радиоресурсов и управления хэндовером отнесены к ASN-шлюзу, а в профиле С — к базовой станции. Несмотря на это незначительное различие, профиль А был официально закрыт в 2007 г. на сессии WiMAX Forum, а общепризнанным стандартом стал профиль С.

Шлюз ASN (шлюз радиоподсети) — это логическое устройство, связывающее базовые станции одной ASN с другими сетями доступа и с сетью подключения CSN. Шлюз ASN обеспечивает связность как на уровне каналов передачи данных, так и на уровне управления. Шлюз ASN может быть представлен как совокупность двух групп функциональных элементов: блока решения (DP, Decision Point) и блока исполнения (EP, Enforcement Point).

Блок решения шлюза ASN выполняет функции управления инвариантно к виду используемых радио интерфейсов. Шлюз ASN может содержать модуль, управляющий аутентификацией и распределением ключей, для реализации инфраструктуры AAA (Authentication, Authorisation, Accounting). Инфраструктура AAA проверяет полномочия пользователей в процессе их подключения или переподключения к сети по алгоритму EAP и

создает безопасную среду с разделяемыми между АС и БС ключами. Инфраструктура AAA также отвечает за ведение статистики по абонентам.

Шлюз ASN реализует управление текущим профилем АС и осуществляет контроль за соблюдением правил CSN. Управление профилем АС включает в себя определение и сохранение аутентификационных данных, параметров безопасности, а также настроек АС, необходимых при пере-ключении АС на другую БС.

В процессе хэндовера (процесс передачи абонента во время вызова или сессии передачи данных от одной базовой станции к другой) шлюз ASN осуществляет переключение канала передачи данных к требуемой БС. Шлюз ASN также обеспечивает целостность передаваемых данных для минимизации задержек распространения и снижения количества потерянных пакетов. Шлюз ASN содержит внешний агент для поддержки хэндовера на третьем логическом уровне и взаимодействия с домашним агентом в случае перехода АС от одной сети ASN к другой. Контроллер персональных вызовов и регистр местоположения в шлюзе ASN осуществляют поддержку персональных вызовов и работы АС в режиме ожидания.

Блок исполнения шлюза ASN отвечает за фильтрацию пакетов, организацию туннелей, управлением доступом, контроль за соблюдением правил, поддержку уровней QoS и продвижение данных. Блок исполнения может поддерживать протоколы IPv4/v6 и протоколы групповой и индивидуальной маршрутизации. Шлюз ASN является центральным элементом сетей ASN, выполняет функции интерфейса к внешним сетям и реализует различные службы IP.

Последним рассматриваемым компонентом ASN является устройство, называемое внешним агентом (FA, Foreign Agent). Это — маршрутизатор, отслеживающий принадлежность АС к той или иной БС в каждый момент времени для распределения информационных потоков

Сеть подключения CSN — это сеть оператора WiMAX. Именно в ней реализуются функции управления авторизацией, аутентификацией и доступом, подключение абонентов WiMAX к глобальным IP-сетям, предоставление таких услуг, как IP-телефония, доступ к телефонным сетям общего пользования, доступ в интернет и частные сети. Базовая модель сети WiMAX допускает, что одной сетью доступа ASN могут пользоваться несколько сервис-провайдеров, каждый со своей CSN. Напротив, одна CSN может подключаться к сетям доступа разных провайдеров доступа.

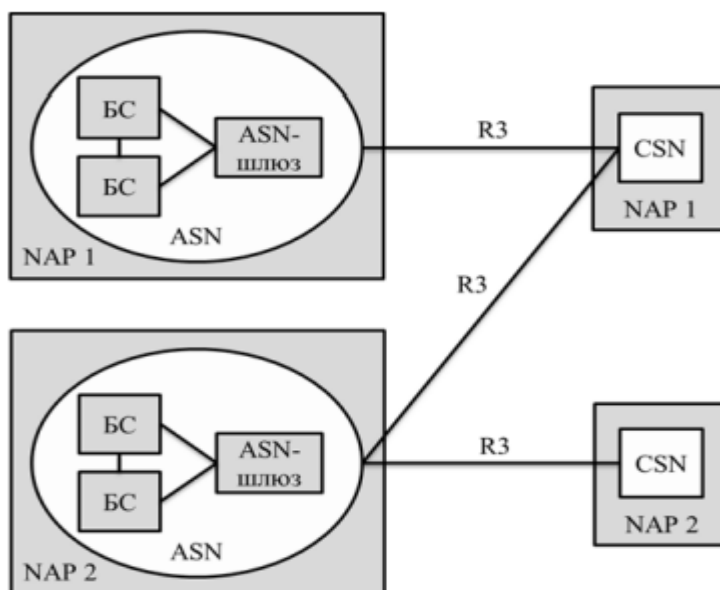


Рис. 100. Модель взаимодействия сетей доступа и сетей подключения различных провайдеров

Сеть CSN представляет собой набор сетевых функций, которые обеспечивают абонента WiMAX различными услугами IP. CSN может выполнять следующие функции:

- выделение IP-адресов;
- предоставление доступа к интернету;
- реализацию сервера или прокси-сервера для инфраструктуры AAA;
- управление доступом и контроль за соблюдением правил на основе профилей пользовательской подписки;
- поддержка туннелей ASN – CSN;
- учет оплаты абонентских услуг;
- поддержка туннелей между CSN для роуминга;
- поддержка перемещений абонента между различными ASN;
- поддержка специальных служб WiMAX таких, как службы, основанные на определении местоположения абонента (LBS — location based services), одноранговые службы, подключение спецслужб, групповые широковещательные рассылки.

Процедуры аутентификации, авторизации и контроля доступа выполняет устройство, называемое AAA-сервером. При этом под аутентификацией пользователя понимается проверка его подлинности и возможности доступа в сеть, под авторизацией — выделение ему ресурсов сети в соответствии с услугами, на которые он подписан и под контролем доступа — подсчет потребленных пользователем ресурсов (количество времени или размер переданных данных) для формирования счета за пользование сетью. Также каждая CSN

содержит домашний агент (НА, Home Agent), который является роутером-шлюзом, расположенным на границе WiMAX сети и внешних сетей.

Опорные точки в рамках базовой модели сети WiMAX — это каналы связи между базовыми модулями. Они определяют собой стандартные интерфейсы, причем не обязательно физические, если соединяемые опорной точкой модули конструктивно находятся в одном устройстве. Назначение опорных точек описано в таблице 2.2. Опорные точки необходимы для того, чтобы улучшить функциональную совместимость устройств, выпускаемых различными производителями.

БС WiMAX является логическим объектом, который реализует радио интерфейс и интерфейс к IP-сетям. БС реализует физический уровень и MAC-подуровень стандарта IEEE 802.16, а также одну или несколько функций ASN для взаимодействия со шлюзом ASN и другими БС. Экземпляр БС стандарта IEEE 802.16 поддерживает один сектор с одной несущей частотой, одна БС может взаимодействовать с несколькими шлюзами ASN для балансировки нагрузки и/или обеспечения избыточности передаваемых данных. Физически БС может включать в себя несколько объектов БС, так как БС определена как логический объект. Основным элементом БС является планировщик задач, осуществляющий управление частотно-временными ресурсами сети при организации обмена в нисходящем и восходящем каналах связи.

Таблица 14. Назначение опорных точек БМ сети WiMAX IEEE 802.16

Опорная точка	Назначение
R1	Канал связи между мобильной станцией и сетью доступа ASN, беспроводный интерфейс стандарта IEEE 802.16.
R2	Канал между МС и шлюзом ASN или CSN, включает процедуры аутентификации, авторизации АС и IP-конфигурирования. Данная точка представляет собой логический интерфейс, который обычно используется для аутентификации, авторизации конфигурирования IP и управления мобильность АС.
R3	Содержит набор протоколов для взаимодействия ASN и CSN для реализации процедур AAA и контроля за выполнением правил сети. Данная опорная точка применяется, когда АС находится в гостевой сети и обменивается информацией с домашней сетью.
R4	Канал связи между ASN-шлюзами различных ASN-сетей или одной ASN-сети. Данная опорная точка используется при перемещении

	АС между различными ASN. В отличие от предыдущих точек, между точками R4 могут создаваться защищенные соединения, в том числе, с использованием протоколов IP-Sec или SSL VPN.
R5	Канал связи между сетью домашнего и гостевого сервис-провайдера.
R6	Интерфейс между БС и ASN.
R7	Виртуальный канал между блоками DP и EP в ASN-шлюзах.
R8	Канал связи непосредственно между БС. Данная опорная точка применяется для передачи сигнализации в процессе хэндовера и при балансировке нагрузки между несколькими БС. Так же, как и для точек R4, между точками R8 могут создаваться защищенные соединения, в том числе, с использованием IP-Sec или SSL VPN.

### **Поддержка мобильности в сетях WiMAX IEEE 802.16.**

Одно из главных направлений в области описания и стандартизации сетей WiMAX IEEE 802.16 — обеспечение глобальной мобильности абонентов WiMAX, их свободы перемещаться между различными сетями во всем мире, постоянно оставаясь — «на связи». Особенно актуально это замечание для мобильных сетей WiMAX, абоненты которых являются обладателями небольших пользовательских терминалов, которые чаще всего берутся с собой в командировки, деловые поездки и на отдых.

В связи с поддержкой мобильности в базовой модели сети WiMAX введены понятия домашних и гостевых сервис-провайдеров — соответственно, H-NSP и V-NSP. Домашний NSP — это оператор, заключивший договор об обслуживании с абонентом WiMAX. Именно он реализует функции AAA. Для поддержки роуминга домашний сервис-провайдер WiMAX заключает роуминговые соглашения с другими NSP. Гостевой NSP — это оператор, который предоставляет WiMAX-абоненту услуги роуминга. Прежде всего, V-NSP обеспечивает для такого абонента функции AAA, а также полный или частичный доступ ко всем услугам WiMAX-сети.

WiMAX-сетях выделяют два вида мобильности: микро- и макромобильность. Метод обеспечения микромобильности применяется в случае движения АС в пределах одной ASN. Все функции выполняет сама ASN с помощью маршрутизатора FA. При этом методе CSN не участвует в процедуре передачи абонента от одной БС к другой (хэндовер) и не осведомлена о ней. IP-адрес АС остается неизменным. Процедура хэндовера на радиоинтерфейсе определена стандартом IEEE 802.16.

### Мобильность с привязкой к ASN (микромобильность).

В процессе перемещения АС меняет точку привязки. В случае, когда точка привязки (БС) принадлежит той же ASN, АС не меняет свой IP-адрес. Такой тип мобильности называется мобильностью с привязкой к ASN. Существует также мобильность с привязкой к CSN, при которой АС перемещается между зонами действия БС, принадлежащих разным ASN.

Управление перемещением АС необходимо для снижения количества потерянных пакетов, уменьшения задержек при хэндовере и сохранении порядка следования пакетов при требуемом уровне безопасности.



Рис. 101. Модель взаимодействия операторов сервисных сетей WiMAX IEEE 802.16, сетей доступа и абонентов

**Мобильность с привязкой к CSN (макромобильность).** В случае, когда АС перемещается в зону покрытия БС, принадлежащей другой ASN, имеет место мобильность на основе IP, что приводит к перепривязке текущего внешнего агента к новому внешнему агенту.

Метод обеспечения макромобильности необходим при перемещении АС между различными ASN. Его суть состоит в переключении пути данных с одного интерфейса R3 на другой. Метод основан на использовании MIP (Mobile IP) — интернет-протокола, обеспечивающего передвижение абонента между сетями без изменения его IP-адреса. Таким образом, устройство, с которым абонент обменивается информацией, не замечает этого передвижения. MIP подразумевает, что у каждого устройства есть два IP-адреса — основной (HoA), присвоенный ему в домашней сети, и дополнительный (CoA).

MIP использует следующие функциональные компоненты: MIP-клиент (MIP client), FA, HA. MIP клиент может располагаться в AC (CMIP, Client MIP) — в этом случае AC должен быть присвоен глобальный CoA. Этот адрес AC сообщает HA домашней сети, который перехватывает все сообщения по HoA и направляет их по CoA (как правило, в режиме туннелирования и инкапсуляции). Также MIP клиент может быть расположен в FA ASN, который будет действовать от имени MS, от которой не требуется поддержки протокола MIP. При этом для всех сетей, лежащих за пределами ASN, в роли CoA мобильной станции выступает IP-адрес внешнего агента. Настоящий CoA AC присваивается FA и используется для маршрутизации пакетов внутри ASN. Основной IP-адрес мобильной станции для этих целей не используется из-за опасности его совпадения с IP-адресом другой AC, работающей внутри этой же ASN. В сетях WiMAX IEEE 802.16 обязательна поддержка обоих случаев расположения MIP-клиента.

HA содержит таблицу соответствия IP-адреса AC (основного или дополнительного, в зависимости от того, является ли данный NSP домашним по отношению к абоненту) IP-адресу FA, к которому относится эта AC. Таким образом, HA имеет информацию о том, к какому FA отправлять пакеты, предназначенные данной AC.

#### **Физический уровень WiMAX.**

На физическом уровне систем WiMAX над передаваемыми битами осуществляются следующие канальные процедуры (рисунок 102): скремблирование (рандомизация), помехоустойчивое кодирование, перемежение, кодирование повторением и модуляция.

Полученные модуляционные символы делятся на логические подканалы, и с использованием ОБПФ формируется отсчет передаваемого OFDMA-символа.

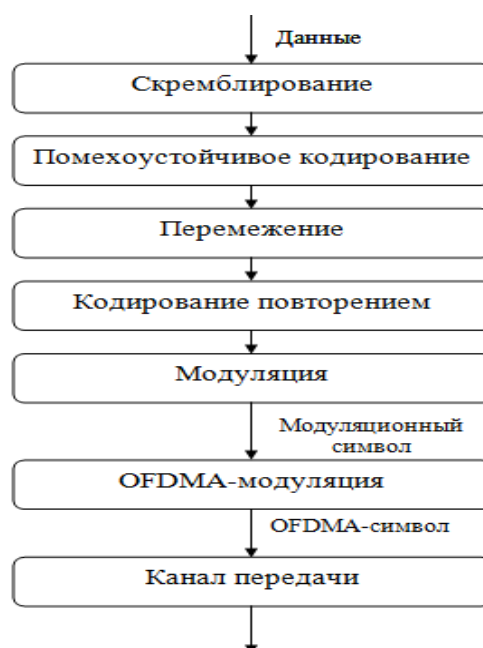


Рис. 102 – Преобразования данных на физическом уровне WiMAX

На физическом уровне в стандарте IEEE 802.16-2004 определены три метода передачи данных: метод модуляции одной несущей (SC), метод ортогонального частотного мультиплексирования (OFDM) и метод множественного доступа на основе такого мультиплексирования (OFDMA) [2].

Спецификация физического уровня WirelessMAN-OFDM является наиболее интересной с точки зрения практической реализации. Она базируется на технологии OFDM, что значительно расширяет возможности оборудования, в частности, позволяет работать на относительно высоких частотах в условиях отсутствия прямой видимости. Кроме того, в нее включена поддержка топологии «каждый с каждым» (mesh) [3], при которой абонентские устройства могут одновременно функционировать и как базовые станции, что сильно упрощает развертывание сети и помогает преодолеть проблемы прямой видимости.

### Скремблирование

Скремблирование — это сложение по модулю два передаваемых битов с элементами ПСП, которую формирует генератор ПСП с задающим полиномом вида  $x^{15} + x^{14} + 1$ . Генератор ПСП инициализируется вектором 011011100010101.

Скремблирование осуществляется только над информационными битами. При этом при скремблировании каждого блока данных, подлежащих помехоустойчивому кодированию, сдвигающий регистр скремблера инициализируется заново. Байты данных поступают на вход скремблера начиная со старшего значащего разряда.

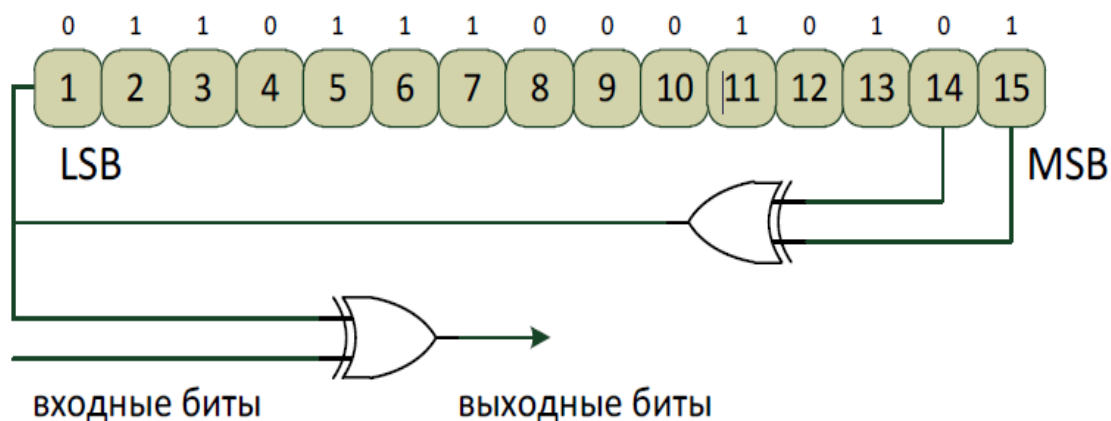


Рис. 103 – Схема скремблера

### Помехоустойчивое кодирование

Многолучевое распространение радиосигнала может приводить к ослаблению и даже полному подавлению некоторых поднесущих вследствие интерференции прямого и задержанного сигналов. Для решения этой проблемы используется помехоустойчивое кодирование. В стандарте IEEE 802.16-2004 предусмотрены как традиционные технологии помехоустойчивого кодирования, так и относительно новые методы. К традиционным

относится сверточное кодирование с декодированием по алгоритму Витерби и коды Рида-Соломона. К относительно новым — блочные и сверточные турбокоды.

### **Перемежение**

После осуществления скремблирования и помехоустойчивого кодирования, над битами каждого блока должно быть выполнено двухэтапное перемежение. Первый этап гарантирует, что соседние в исходной последовательности биты будут распределены не в соседние поднесущие. Второй этап обеспечивает распределение соседних битов или в наиболее, или в наименее значимые биты сигнального созвездия, что предотвратит длительные последовательности наименее надежных битов.

### **Модуляция**

В системах беспроводного широкополосного доступа используют сигналы как двоичной (ФМ-2), так и многопозиционной (ФМ-4, КАМ-16, КАМ-64 и т. п.) модуляции. Сигналы многопозиционной фазовой модуляции (МФМ) характеризуются высокой частотной эффективностью, однако при этом вследствие уменьшения евклидовых расстояний между сигнальными точками существенно снижается помехоустойчивость приема, что при фиксированной вероятности ошибки эквивалентно ухудшению энергетической эффективности. Сигналы КАМ являются некоторым компромиссом, выигрывая у МФМ по энергетической эффективности, но уступая по спектральной, что может компенсироваться применением помехоустойчивого кода. По этой причине в сетях WiMAX IEEE 802.16e-2005, 2009 применяются методы модуляции ФМ-2, ФМ-4, КАМ-16 и КАМ-64.

При отображении бит на сигнальную плоскость применяется манипуляционный код Грея. Соответствующие сигнальные созвездия представлены на рисунке 104.

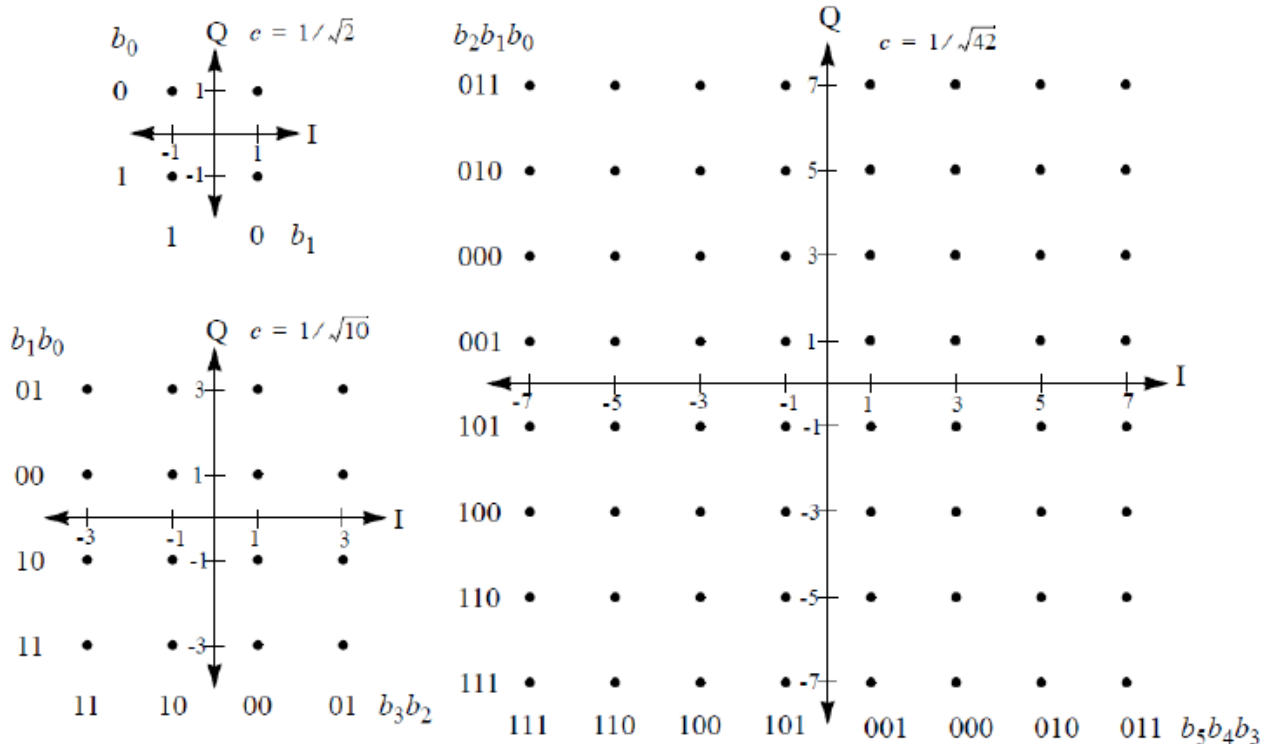


Рис. 104. – Сигнальные созвездия, соответствующие методам модуляции ФМ-4, КАМ-16 и КАМ-64, IEEE 802.16e-2005

### Модуляция OFDM

При формировании OFDM-сигнала [4] цифровой поток данных делится на несколько подпотоков, и каждая поднесущая связывается со своим подпотоком данных. Амплитуда и фаза поднесущей вычисляются на основе выбранной схемы модуляции. Согласно стандарту, отдельные поднесущие могут модулироваться с использованием бинарной фазовой манипуляции (BPSK), квадратурной фазовой манипуляции (QPSK) или квадратурной амплитудной манипуляции (QAM) порядка 16 или 64. В передатчике амплитуда как функция фазы преобразуется в функцию от времени с помощью обратного быстрого преобразования Фурье (ОБПФ). В приемнике с помощью быстрого преобразования Фурье (БПФ) осуществляется преобразование амплитуды сигналов как функции от времени в функцию от частоты.

Применение преобразования Фурье позволяет разделить частотный диапазон на поднесущие, спектры которых перекрываются, но остаются ортогональными. Ортогональность поднесущих означает, что каждая из них содержит целое число колебаний на период передачи символа. Как видно на рисунке 2.8, спектральная кривая любой из поднесущих имеет нулевое значение для «центральной» частоты смежной кривой. Именно эта особенность спектра поднесущих и обеспечивает отсутствие между ними интерференции.

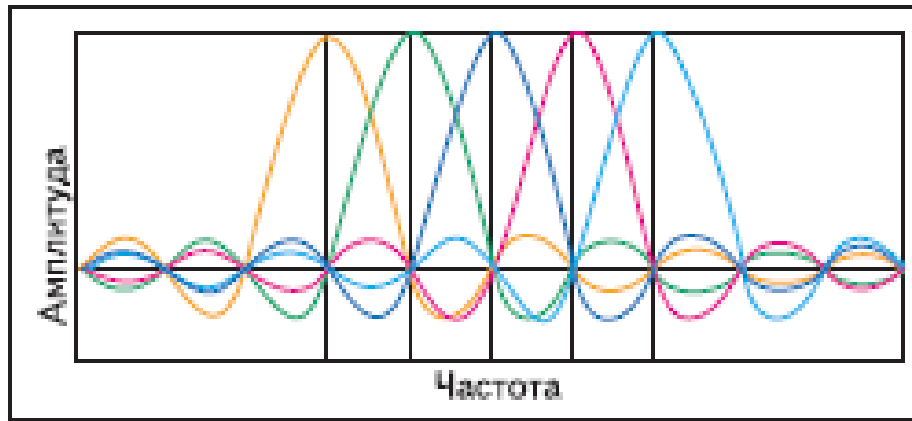


Рис. 105 – Ортогональные поднесущие

Одним из главных преимуществ метода OFDM является его устойчивость к эффекту многолучевого распространения. Эффект вызывается тем, что излученный сигнал, отражаясь от препятствий, приходит к приемной антенне разными путями, вызывая межсимвольные искажения. Этот вид помех характерен для городов с разноэтажной застройкой из-за многократных отражений радиосигнала от зданий и других сооружений. Для того чтобы избежать межсимвольных искажений, перед каждым OFDM-символом вводится защитный интервал, называемый циклическим префиксом. Циклический префикс представляет собой фрагмент полезного сигнала, что гарантирует сохранение ортогональности поднесущих (но только в том случае, если отраженный сигнал при многолучевом распространении задержан не больше, чем на длительность циклического префикса). Кроме того, циклический префикс позволяет выбрать окно для преобразования Фурье в любом месте временного интервала символа (рисунок 106).

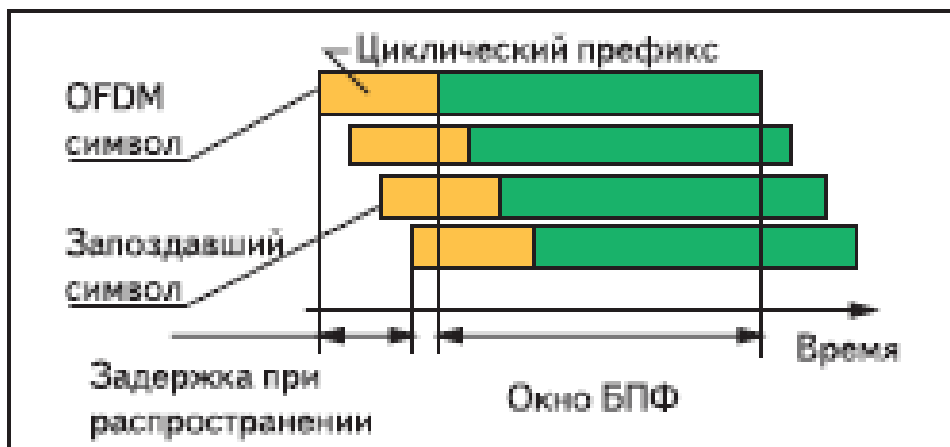


Рис. 106– Обработка OFDM-символа при многолучевом распространении

### Защита информации

В соответствии со стандартом, для предотвращения несанкционированного доступа и защиты пользовательских данных осуществляется шифрование всего передаваемого по сети трафика. Базовая станция (БС) WiMAX представляет собой модульный конструктив, в

который при необходимости можно установить несколько модулей со своими типами интерфейсов, но при этом должно поддерживаться административное программное обеспечение для управления сетью. Данное программное обеспечение обеспечивает централизованное управление всей сетью. Логическое добавление в существующую сеть абонентских комплектов осуществляется также через эту административную функцию.

Абонентская станция (АС) представляет собой устройство, имеющее уникальный серийный номер, MAC-адрес, а также цифровую подпись X.509, на основании которой происходит аутентификация АС на БС. При этом, согласно стандарту, срок действительности цифровой подписи АС составляет 10 лет. После установки АС у клиента и подачи питания АС авторизуется на базовой станции, используя определенную частоту радиосигнала, после чего базовая станция, основываясь на перечисленных выше идентификационных данных, передает абоненту конфигурационный файл по TFTP-протоколу. В этом конфигурационном файле находится информация о поддиапазоне передачи (приема) данных, типе трафика и доступной полосе, расписание рассылки ключей для шифрования трафика и прочая необходимая для работы АС информация. Необходимый файл с конфигурационными данными создается автоматически, после занесения администратором системы АС в базу абонентов, с назначением последнему определенных параметров доступа.

После процедуры конфигурирования аутентификация АС на базовой станции происходит следующим образом:

1. Абонентская станция посылает запрос на авторизацию, в котором содержится сертификат X.509, описание поддерживаемых методов шифрования и дополнительная информация.

2. Базовая станция в ответ на запрос на авторизацию (в случае достоверности запроса) присылает ответ, в котором содержится ключ на аутентификацию, зашифрованный открытым ключом абонента, 4-битный ключ для определения последовательности, необходимый для определения следующего ключа на авторизацию, а также время жизни ключа.

3. В процессе работы АС через промежуток времени, определяемый администратором системы, происходит повторная авторизация и аутентификация, и в случае успешного прохождения аутентификации и авторизации поток данных не прерывается.

В стандарте используется протокол РКМ (Privacy Key Management), в соответствии с которым определено несколько видов ключей для шифрования передаваемой информации:

- Authorization Key (АК) — ключ, используемый для авторизации АК на базовой станции;

- Traffic с Encryption Key (ТЕК) — ключ, используемый для криптозащиты трафика;
- Key Encryption Key (КЕК) — ключ, используемый для криптозащиты передаваемых в эфире ключей.

Согласно стандарту, в каждый момент времени используются два ключа одновременно, с перекрывающимися временами жизни. Данная мера необходима в среде с потерями пакетов (а в эфире они неизбежны) и обеспечивает бесперебойность работы сети. Имеется большое количество динамически меняющихся ключей, достаточно длинных, при этом установление безопасных соединений происходит с помощью цифровой подписи. Согласно стандарту, криптозащита выполняется в соответствии с алгоритмом 3-DES, при этом отключить шифрование нельзя. Опционально предусмотрено шифрование по более надежному алгоритму AES.

### Практическая часть. Описание экспериментальной установки и методики измерений

Работа выполняется с использованием симулятора физического уровня стандарта IEEE 802.16-2004 в программной среде Simulink. Для запуска программы, в командную строку MATLAB необходимо ввести "`commwman80216dstbc`" и нажать Enter.

Схема исследуемой системы приведена на рисунке 107.

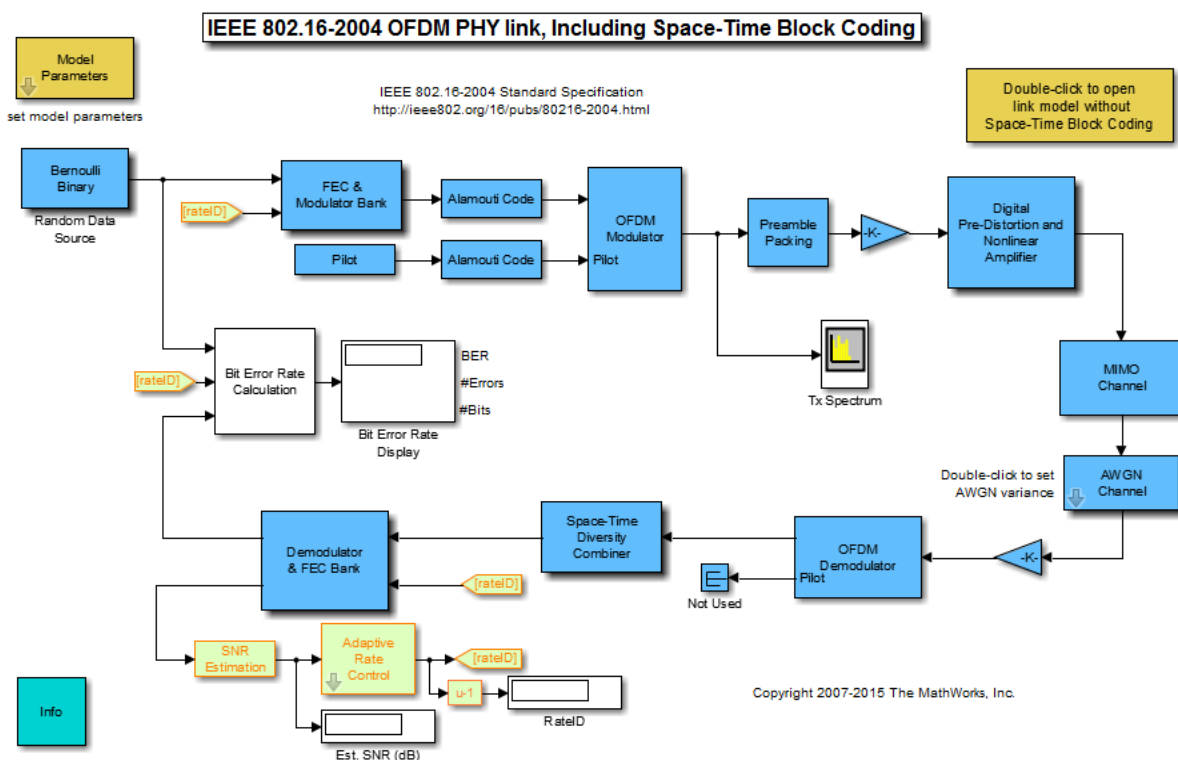


Рис. 107 – Модель IEEE 802.16-2004 OFDM в MATLAB 2015b

Параметры источника случайной последовательности Bernoulli Binary

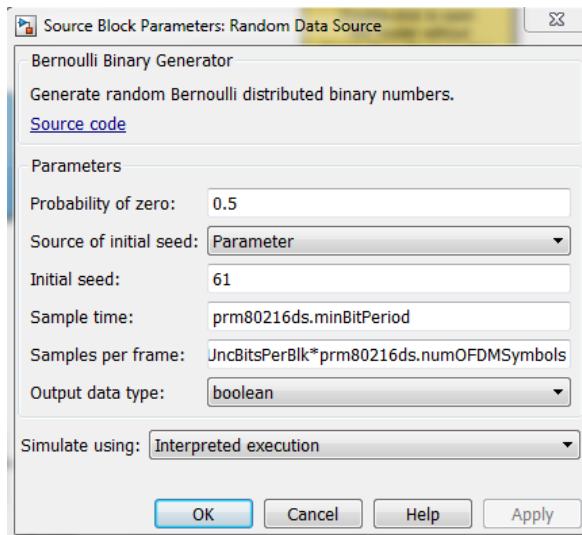


Рис. 108 – Параметры блока Bernulli Binary

При проведении симуляции существует возможность изменения ряда параметров системы в следующих блоках:

Общие параметры модели (блок «Model Parameters», рисунок 109).

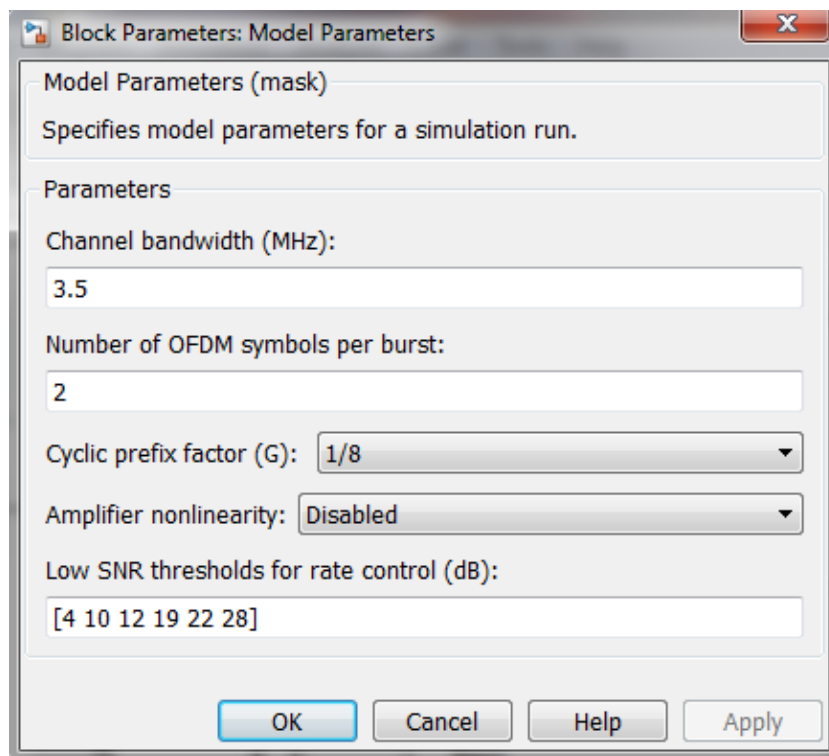


Рис. 110 – Параметры системы, изменяемые в блоке «Model Parameters»

Блок помехоустойчивого кодирования и модуляции («FEC & Modulator Bank», рисунок 111) производит формирование сигнально-кодовой конструкции (СКК) определенного вида в зависимости от условий передачи.

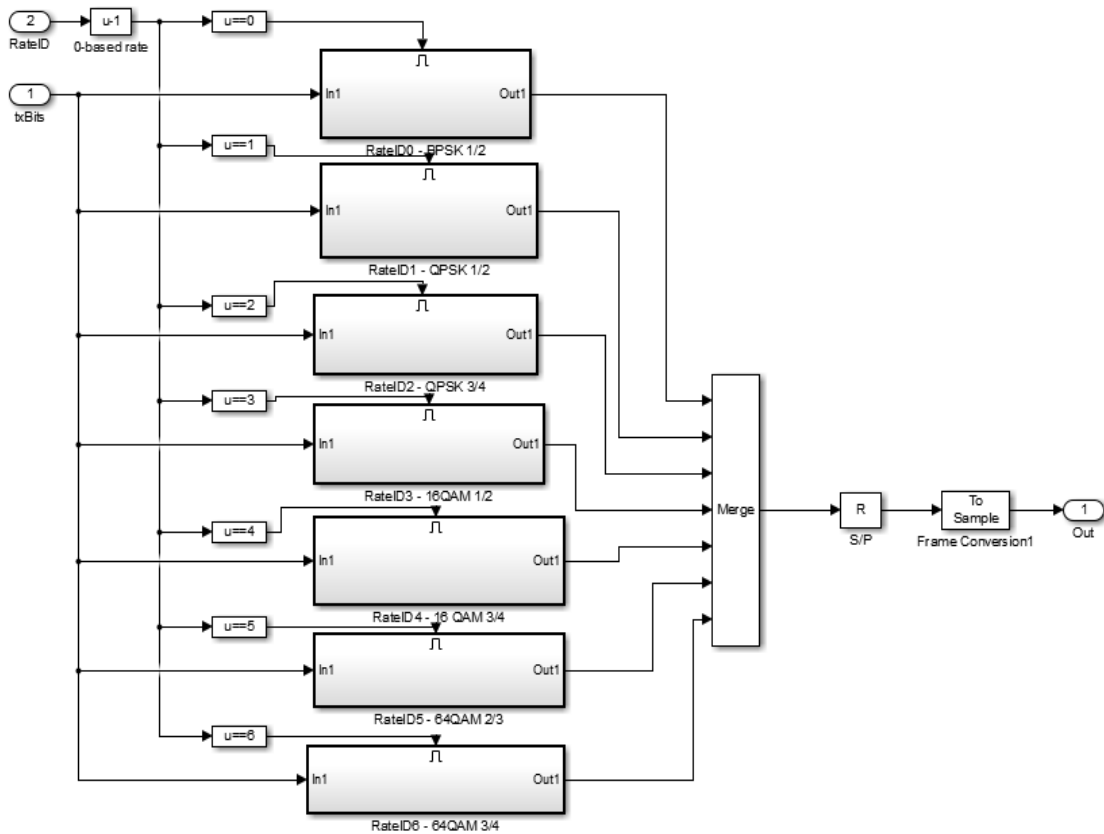


Рис. 111 – Состав блока «FEC & Modulator Bank»

Рассмотрим состав каждого входящего блока:

Состав блока модулятора BPSK 1/2:

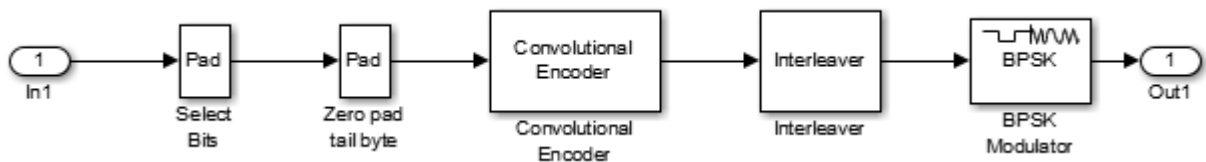


Рис. 112 – Состав блока модулятора «BPSK 1/2»

Состав блока модулятора QPSK 1/2:

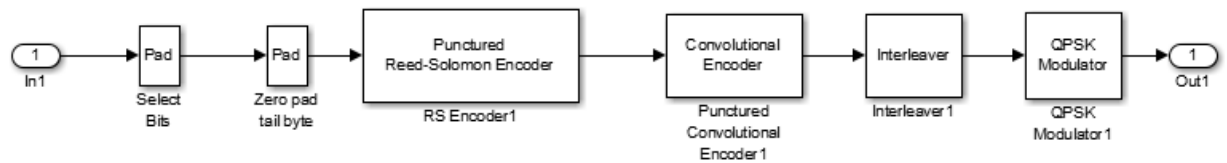


Рис. 113 – Состав блока модулятора «QPSK 1/2»

Состав блока модулятора QPSK 3/4:

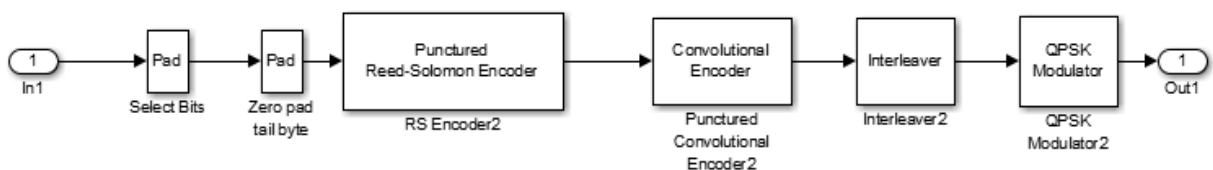


Рисунок 114 – Состав блока модулятора «QPSK 3/4»

Состав блока модулятора 16QAM 1/2:

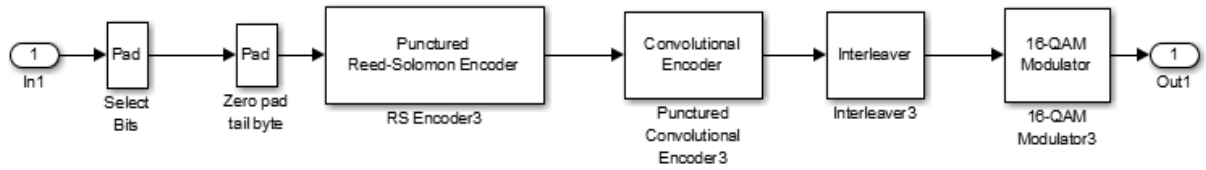


Рис. 115 – Состав блока модулятора «16QAM 1/2»

Состав блока модулятора 16QAM 3/4:

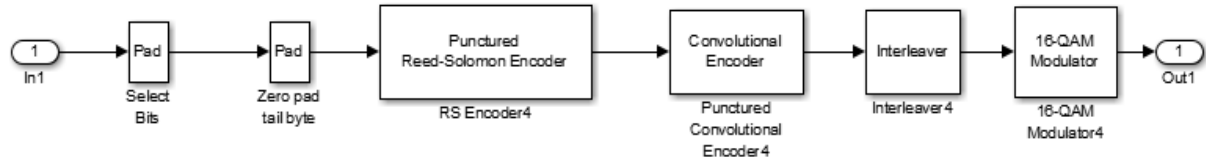


Рис. 116 – Состав блока модулятора «16QAM 3/4»

Состав блока модулятора 64QAM 2/3:

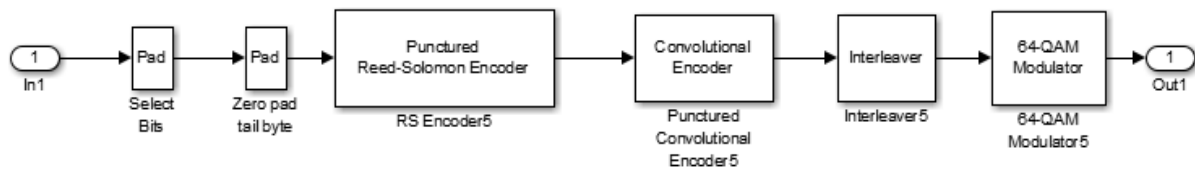


Рис. 117 – Состав блока модулятора «64QAM 2/3»

Состав блока модулятора 64QAM 3/4:

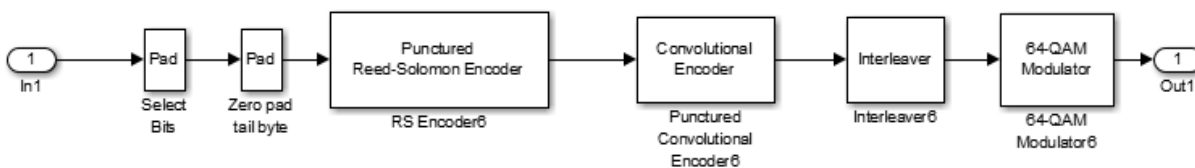


Рис. 118 – Состав блока модулятора «64QAM 3/4»

Формирование сигнально-кодowych конструкций в каждом блоке происходит следующим образом: к поступающим информационным битам добавляется определяется «хвост» из нулевых бит, полученная последовательность кодируется блочным циклическим кодом Рида-Соломона. Следующий этап кодирования – сверточный код с использованием Треллис-структуры, затем, после перемежения, последовательность бит модулируется определенным образом для передачи по каналу.

В каждом из блоков на рисунках 113 – 118 используется одинаковая последовательность блоков, отличающихся своими параметрами. Например для блока «16QAM 1/2» блоки имеют параметры (рисунок 119 – 123).

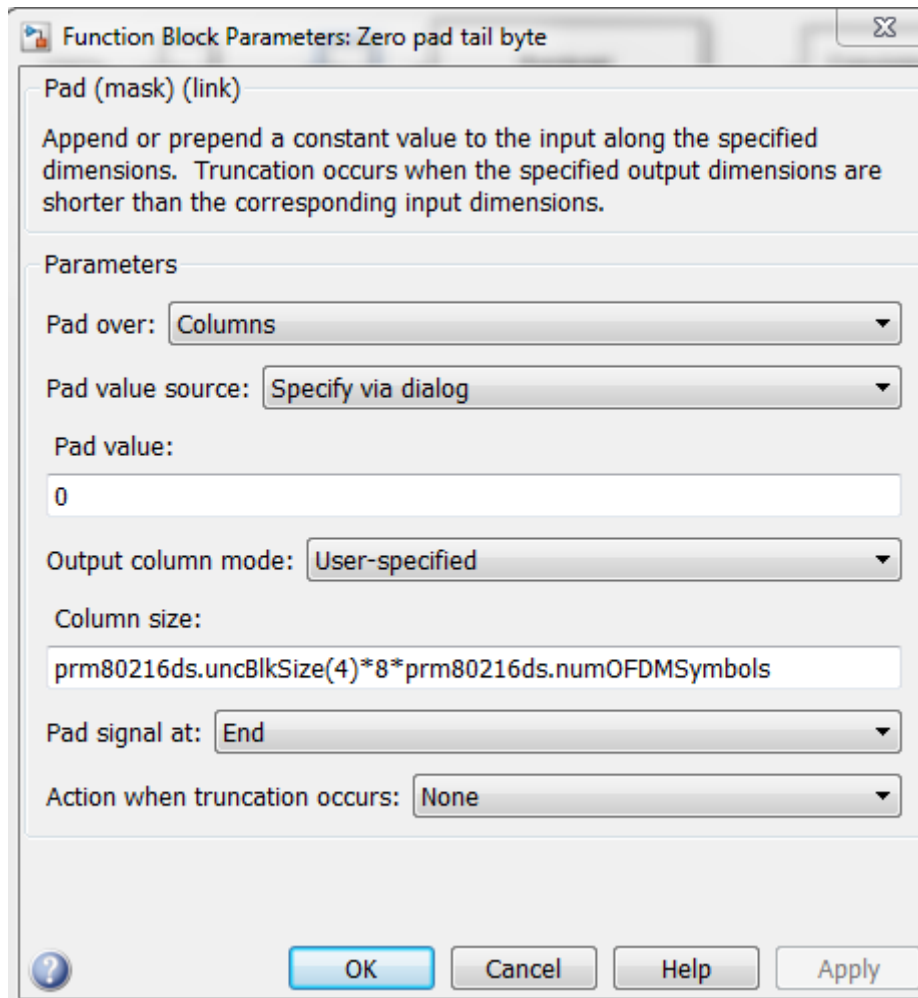


Рис. 119 – Состав блока «Zero pad tail byte 16QAM 1/2»

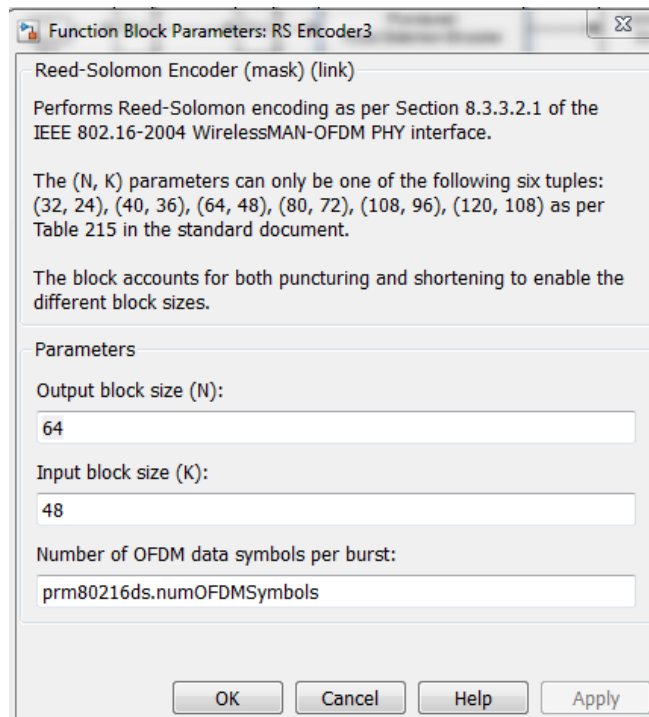


Рис. 120 – Состав блока кодера Рида-Соломона «Puncured Reed-Solomon Encoder 16QAM 1/2»

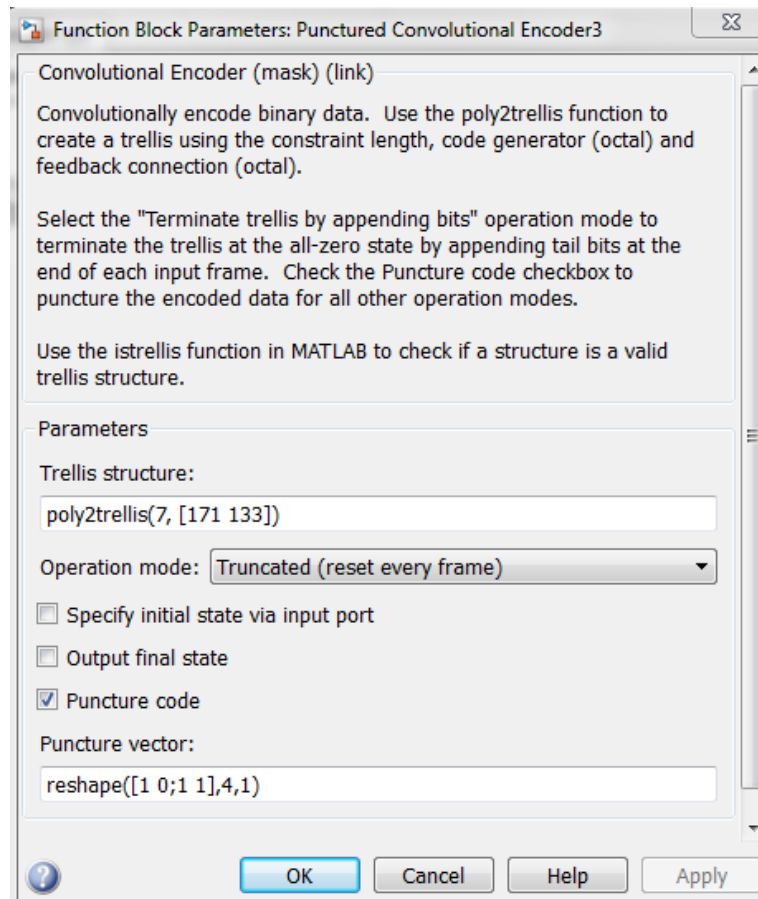


Рис. 121 – Состав блока сверточного кодера «Convolutinal Encoder 16QAM 1/2»

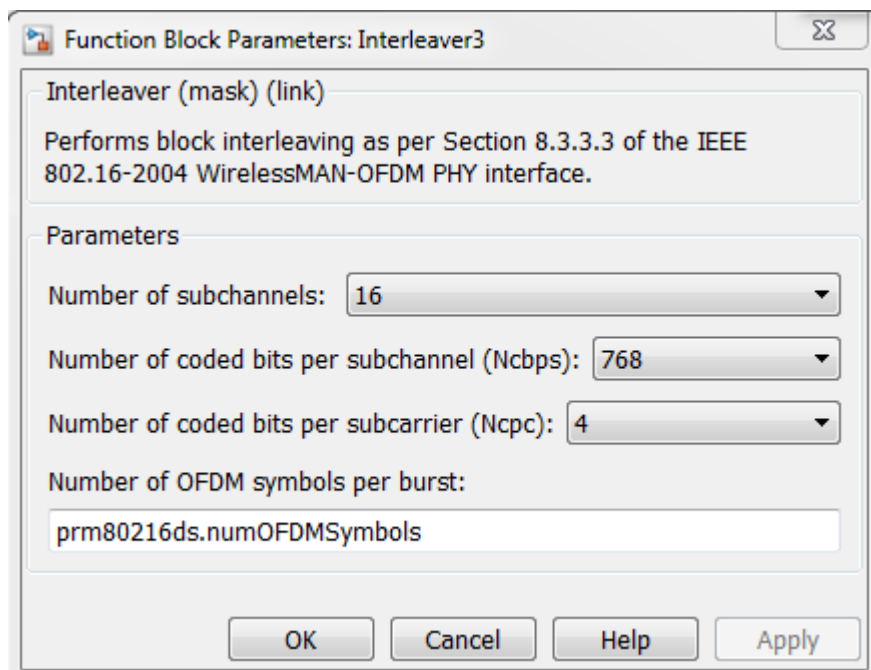


Рис. 122 – Состав блока перемежителя «Interleaver 16QAM 1/2»

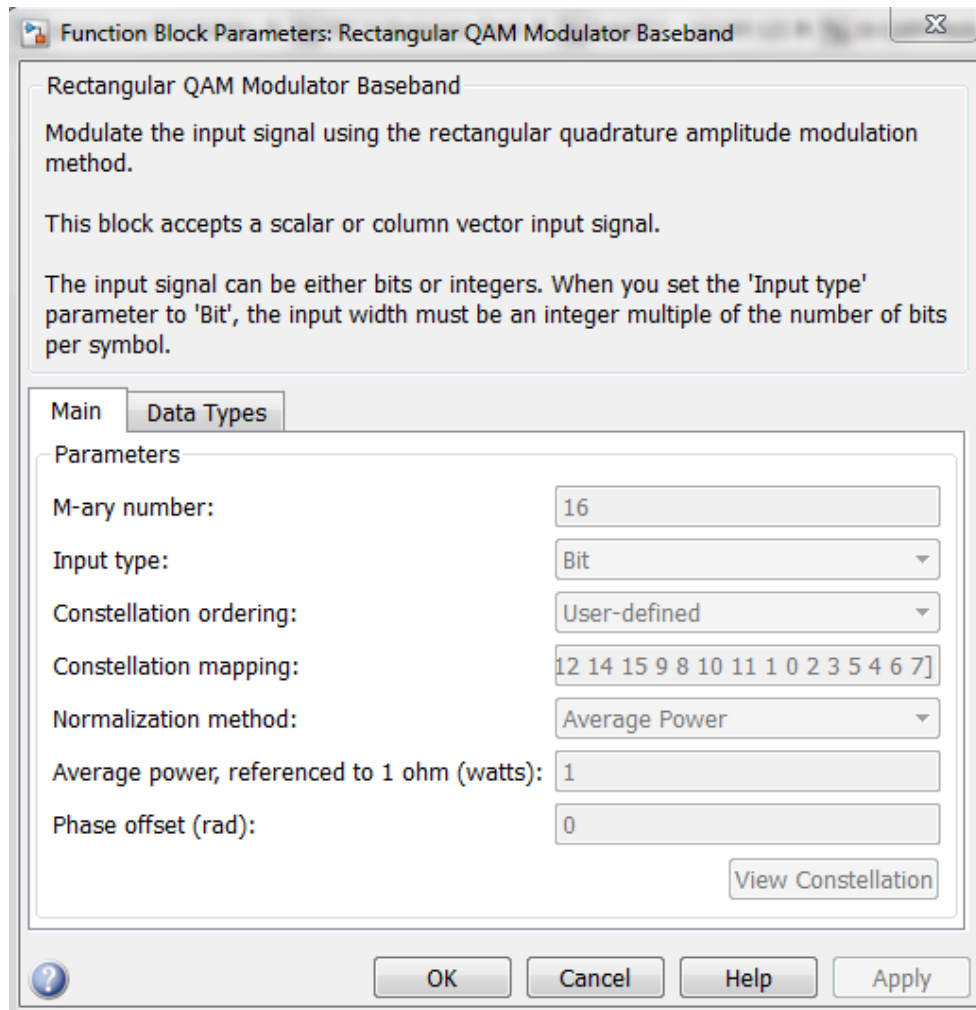


Рисунок 123 – Состав блока модулятора «16-QAM Modulator 16QAM 1/2»

Таблица 6 – Параметры кода Рида-Соломона для различных сигнально-кодовых конструкций

Вид модуляции	Общая скорость кодирования	Длина входной последовательности, бит	Длина выходной (кодированной) последовательности, бит	Параметры кода Рида-Соломона, (n, k, d)
BPSK	1/2	12	24	(12,12,0)
QPSK	1/2	24	48	(32,24,4)
QPSK	3/4	36	48	(40,36,2)
16-QAM	1/2	48	96	(64,48,8)
16-QAM	3/4	72	96	(80,70,4)
64-QAM	2/3	96	144	(108,96,6)
64-QAM	3/4	108	144	(120,108,6)

Состав блока помехоустойчивого декодирования и демодуляции («Demodulator & FEC Bank»)

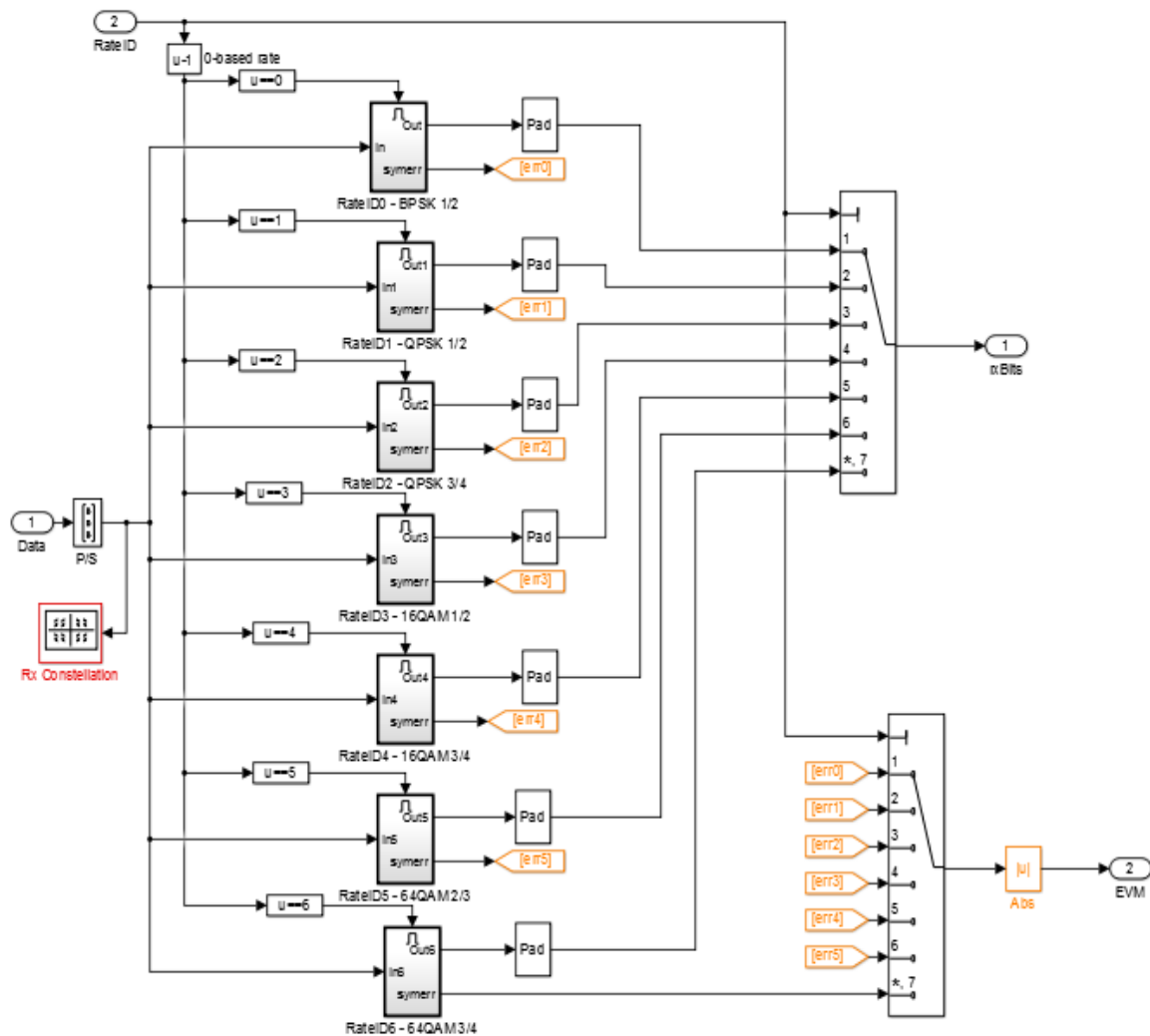


Рис. 124 – Состав блока декодирования и демодуляции («Demodulator & FEC Bank») Состав блока BPSK 1/2 демодулятора

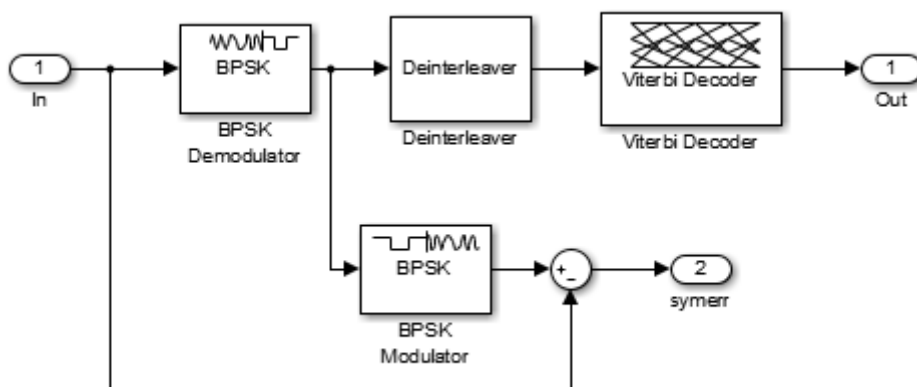


Рис. 125 – Состав блока демодулятора «BPSK»

Состав блока QPSK 1/2 демодулятора

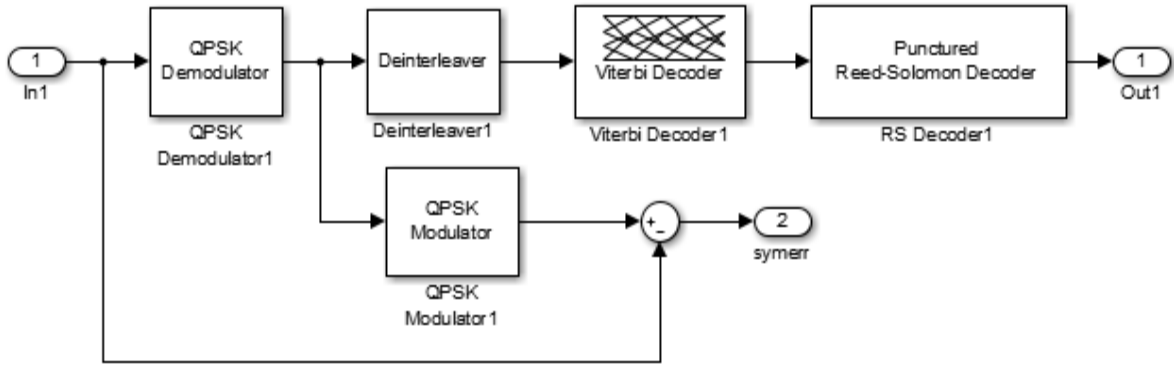


Рис. 126 – Состав блока демодулятора «QPSK 1/2»

Состав блока QPSK 3/4 демодулятора

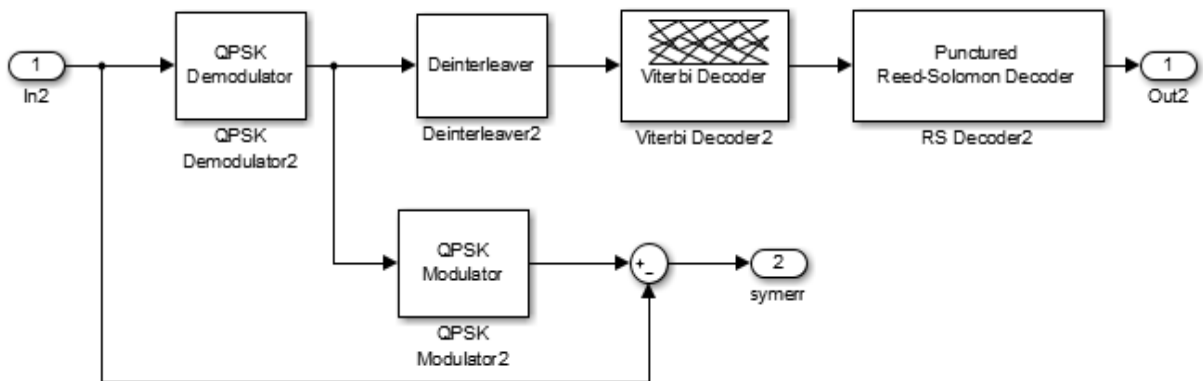


Рис. 127 – Состав блока демодулятора «QPSK 3/4»

Состав блока 16QAM 1/2 демодулятора

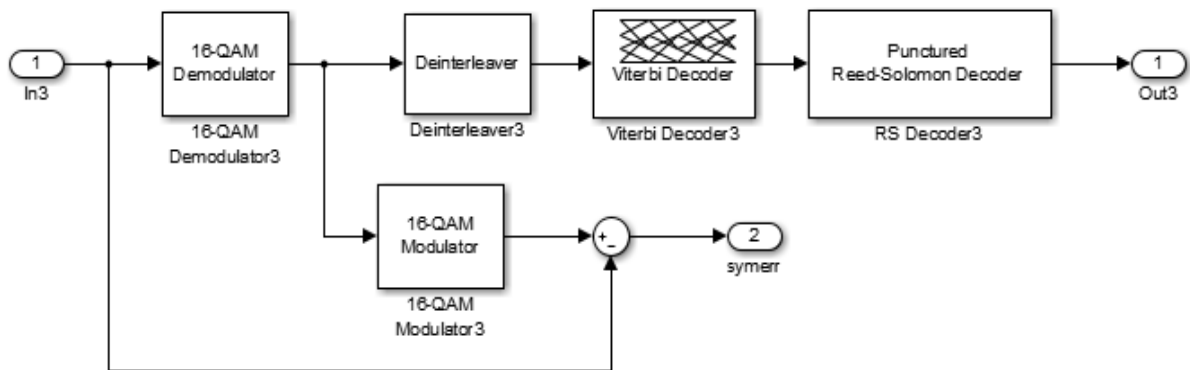


Рис. 128 – Состав блока демодулятора «16QAM 1/2»

Состав блока 16QAM 3/4 демодулятора

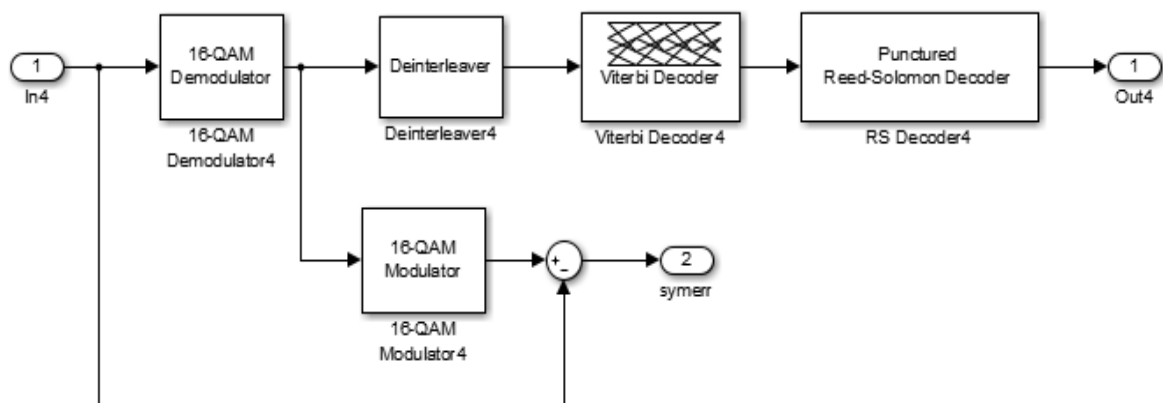


Рис. 129 – Состав блока демодулятора «16QAM 3/4»

Состав блока 64QAM 2/3 демодулятора

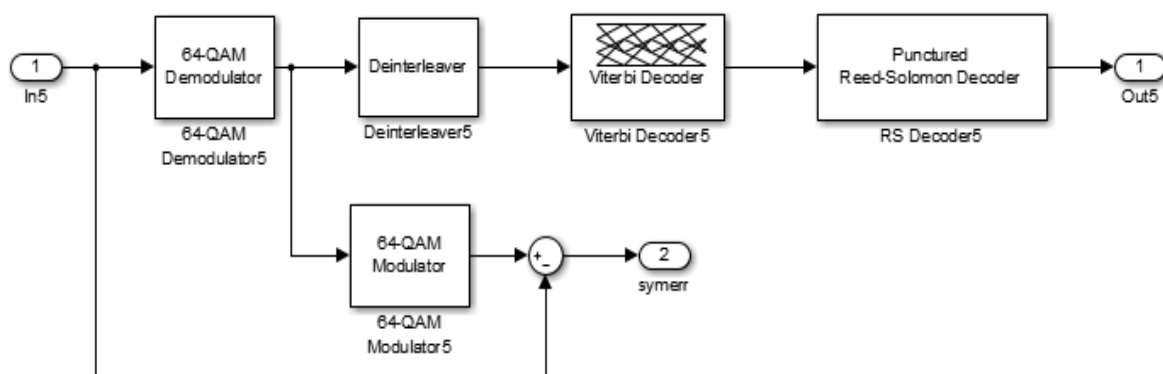


Рис. 130 – Состав блока демодулятора «64QAM 2/3»

Состав блока 64QAM 3/4 демодулятора

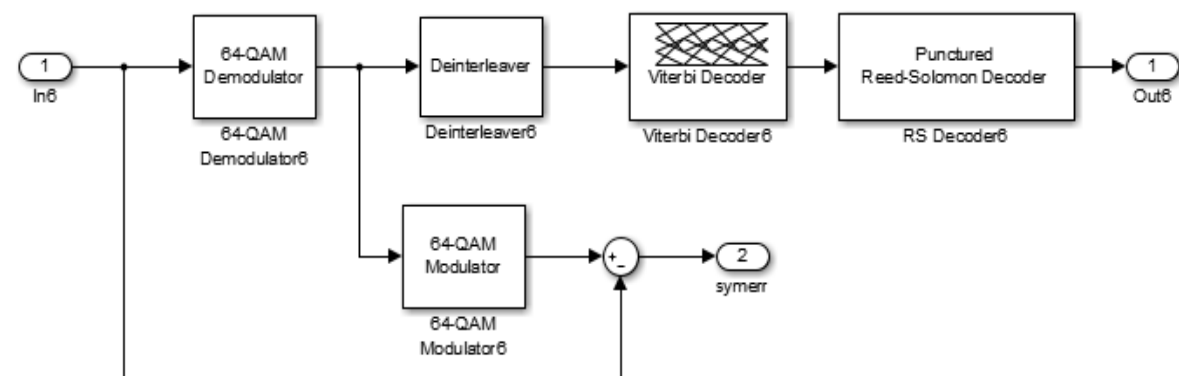


Рис. 131 – Состав блока демодулятора «64QAM 3/4»

В процессе демодуляции и декодирования, описанные выше процессы, производятся в обратном порядке: демодуляция, дегеремеживание, декодирование сверточного кода по алгоритму Витерби, декодирования циклического блочного кода Рида-Соломона.

В каждом из блоков используется одинаковая последовательность блоков, отличающихся своими параметрами. Например для блока «16QAM 1/2» блоки имеют параметры:

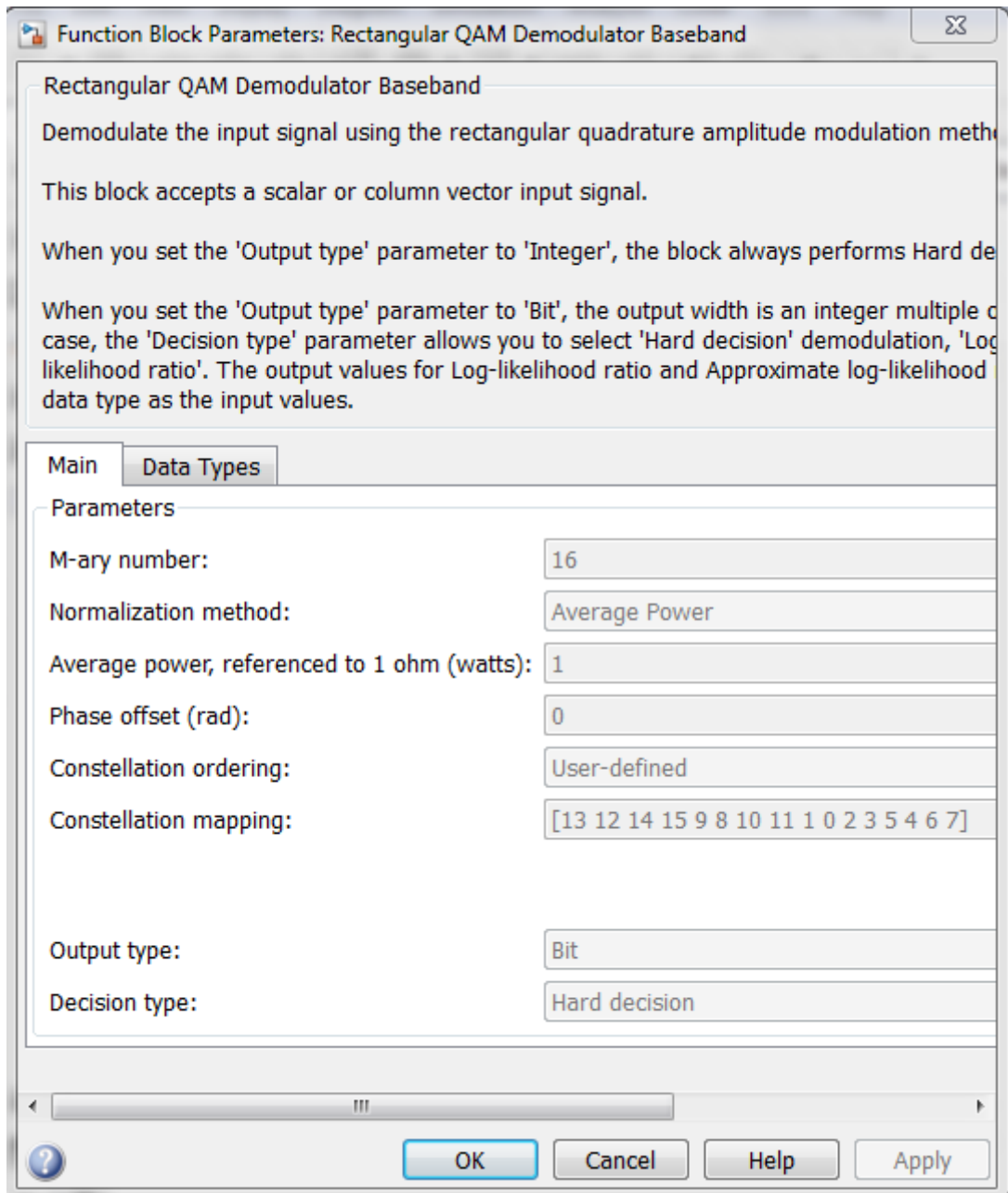


Рис. 132 – Состав блока демодулятора «16-QAM Modulator 16QAM 1/2»

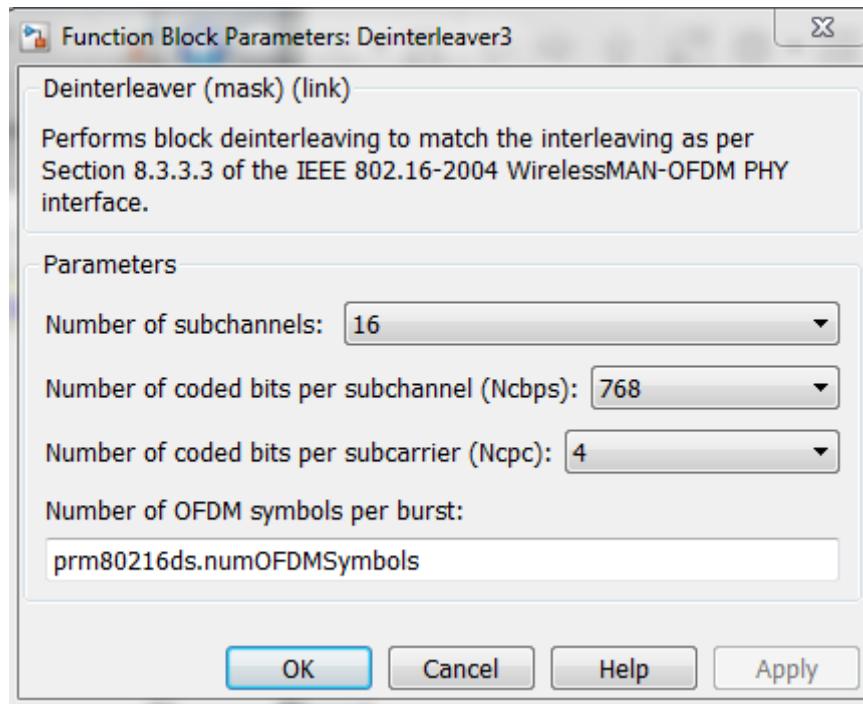


Рис. 134 – Состав блока деперемежителя «Deinterleaver 16QAM 1/2»

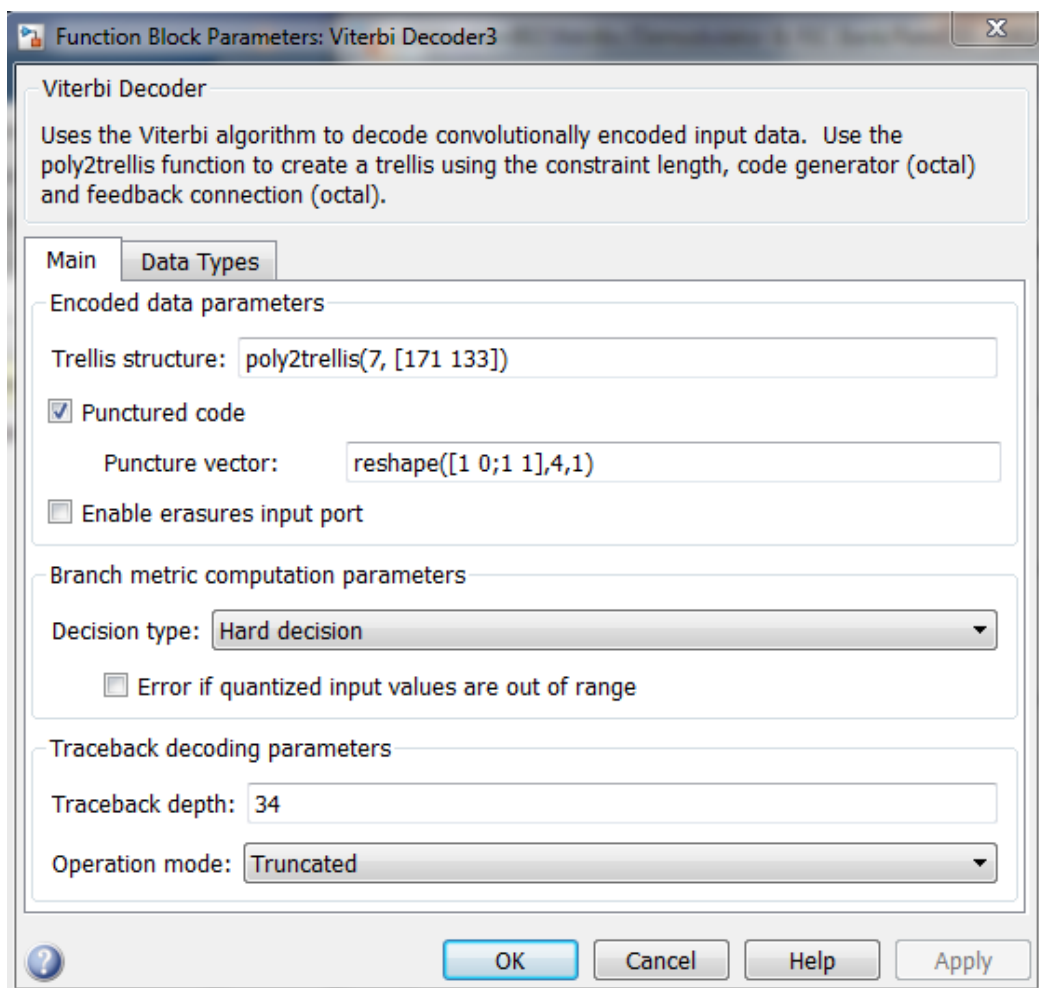


Рис. 135 – Состав блока декодера Витерби «Viterbi Decoder 16QAM 1/2»

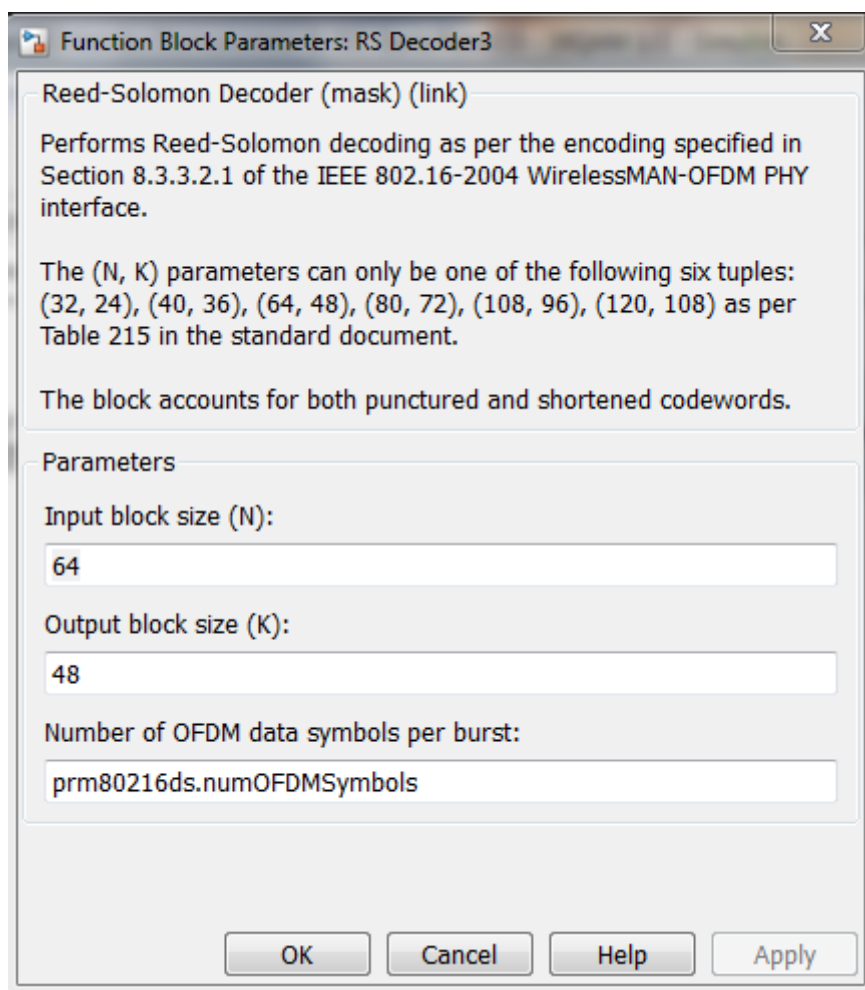


Рис. 136 – Состав блока декодера Рида-Соломона «RS Decoder 16QAM 1/2»

В каждый момент времени, используемый вид модуляции и скорость кодирования (R) адаптируются под условия передачи. Блок «Adaptive Rate Control» анализирует уровень SNR в приемном устройстве и устанавливает параметры в соответствии с таблицей 9:

Таблица 9 – Изменение параметров модуляции и кодирования в зависимости от SNR

Вид модуляции и скорость кодирования	Отношение сигнал/шум в приемнике
BPSK	SNR < 4 дБ
QPSK, R=1/2	4 дБ < SNR < 10 дБ
QPSK, R=3/4	10 дБ < SNR < 12 дБ
16-QAM, R=1/2	12 дБ < SNR < 19 дБ
16-QAM, R=3/4	19 дБ < SNR < 22 дБ
64-QAM, R=1/2	22 дБ < SNR < 28 дБ
64-QAM, R=3/4	SNR > 28 дБ

Параметры OFDM-модулятора (блок «OFDM Modulator», рисунок 137).

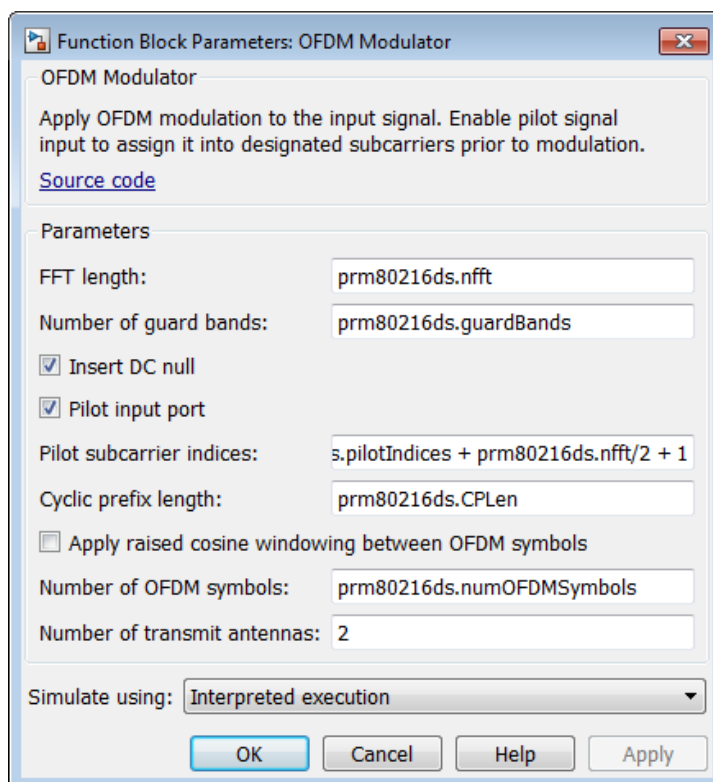


Рис. 137 – Параметры системы, изменяемые в блоке «OFDM Modulator»

Параметры OFDM-демодулятора (блок «OFDM Demodulator», рисунок 138).

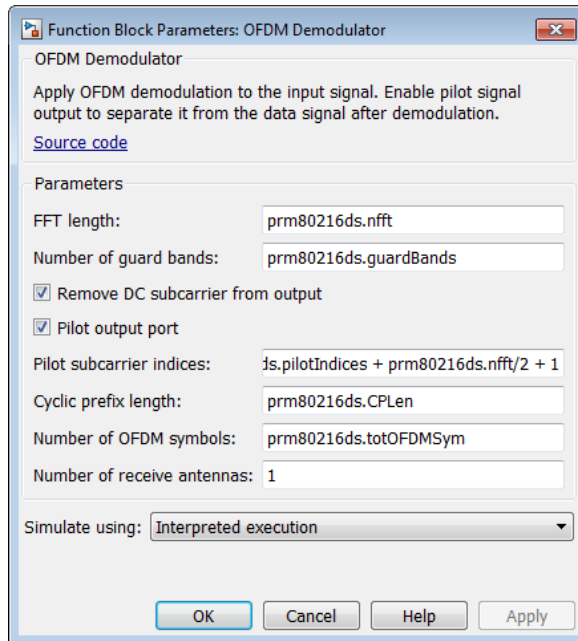


Рис. 139 – Параметры системы, изменяемые в блоке «OFDM Demodulator»  
 Параметры канала MIMO (блок «MIMO Channel», рисунок 140).

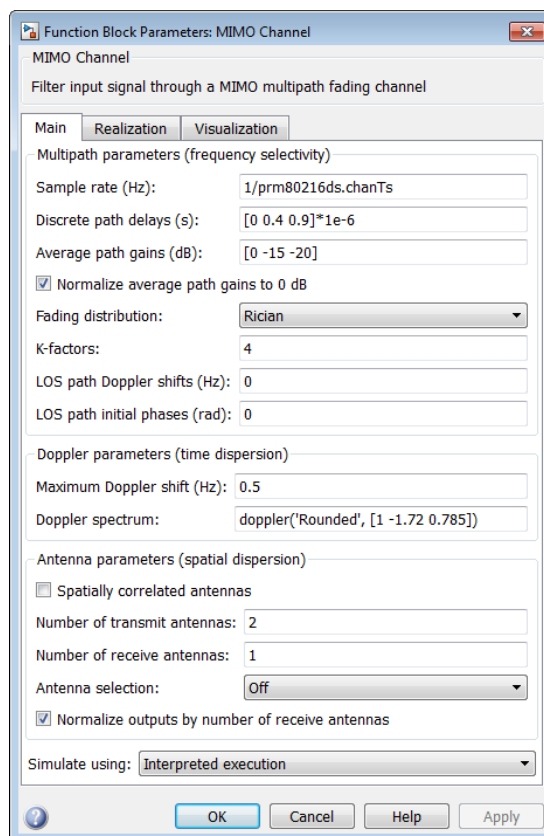


Рис. 140 – Параметры системы, изменяемые в блоке «MIMO Channel»  
 Параметры канала AWGN (блок «AWGN Channel», рисунок 141).

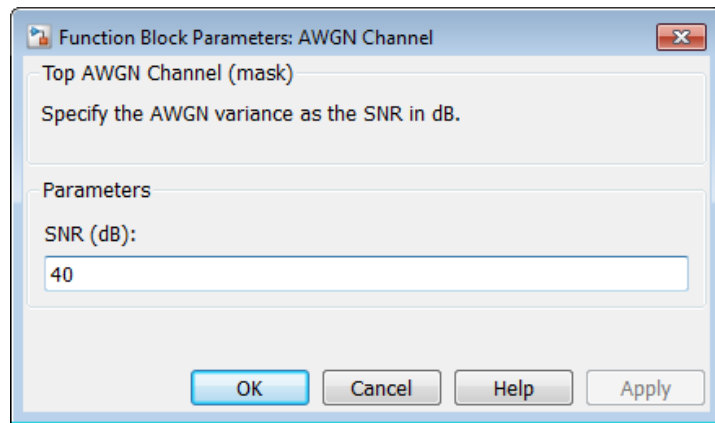


Рисунок 141 – Параметры системы, изменяемые в блоке «AWGN Channel»

## Результаты работы и их анализ

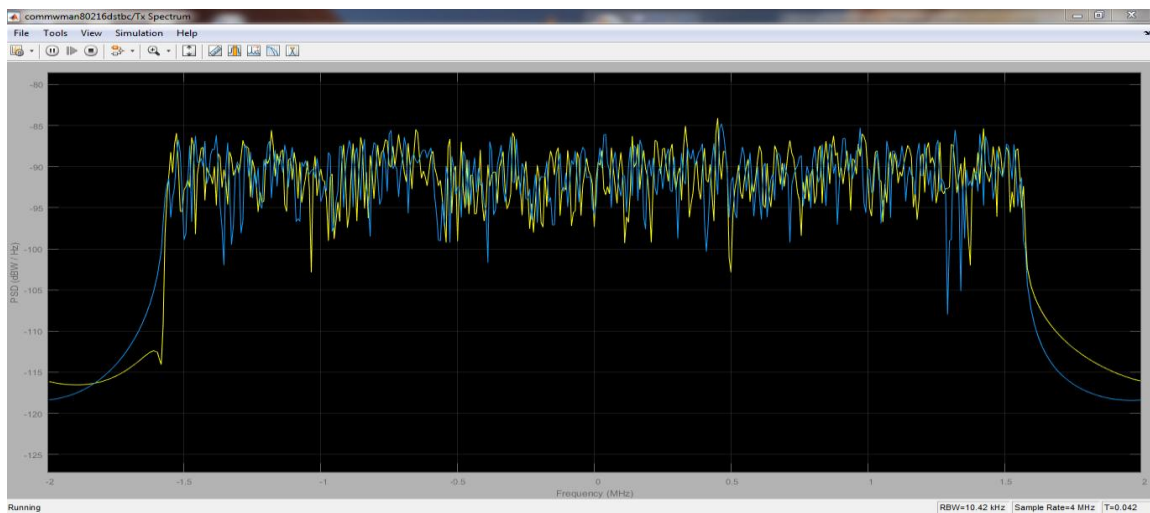


Рис. 142 – Спектр передаваемых сигналов, поступающих на соответствующую передающую антенну

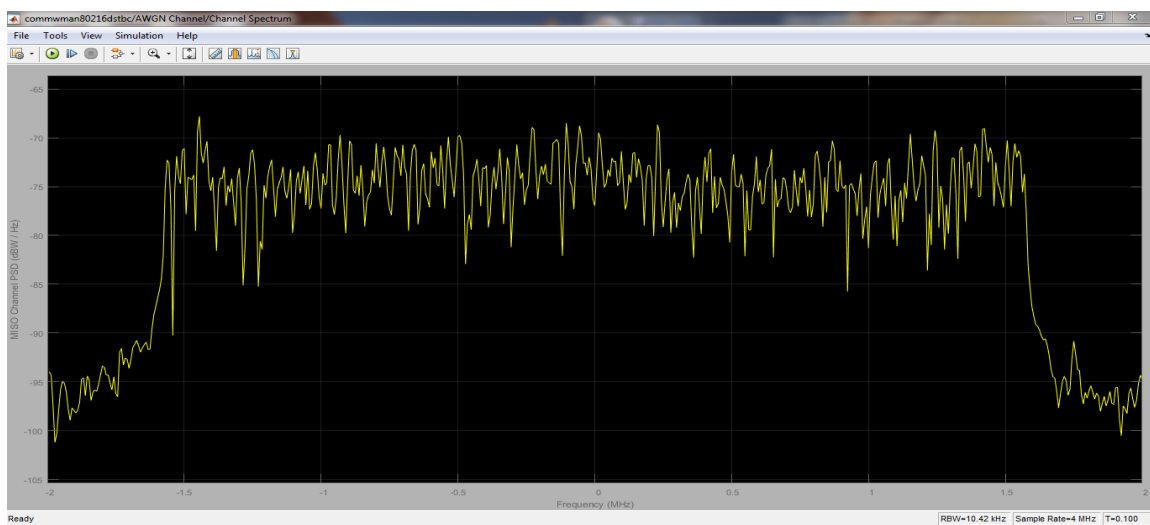


Рис. 143 – Спектр принимаемого сигнала

Как было описано ранее, система адаптируется к условиям передачи, изменяя вид сигнально-кодовой конструкции сигнала (таблица 9). Необходимо исследовать поведение системы в зависимости от SNR в канале передачи (блок AWGN Channel), оформить полученные значения в виде графиков.

Созвездие принимаемого сигнала (BPSK):

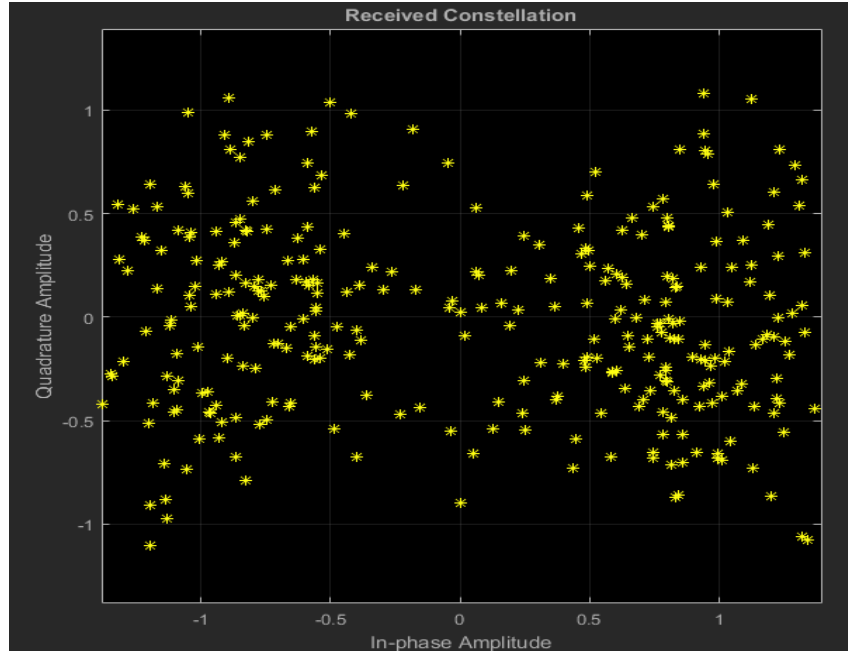


Рис. 144 – Созвездие принимаемого сигнала (SNR = 2)

Созвездие принимаемого сигнала (QAM-4):

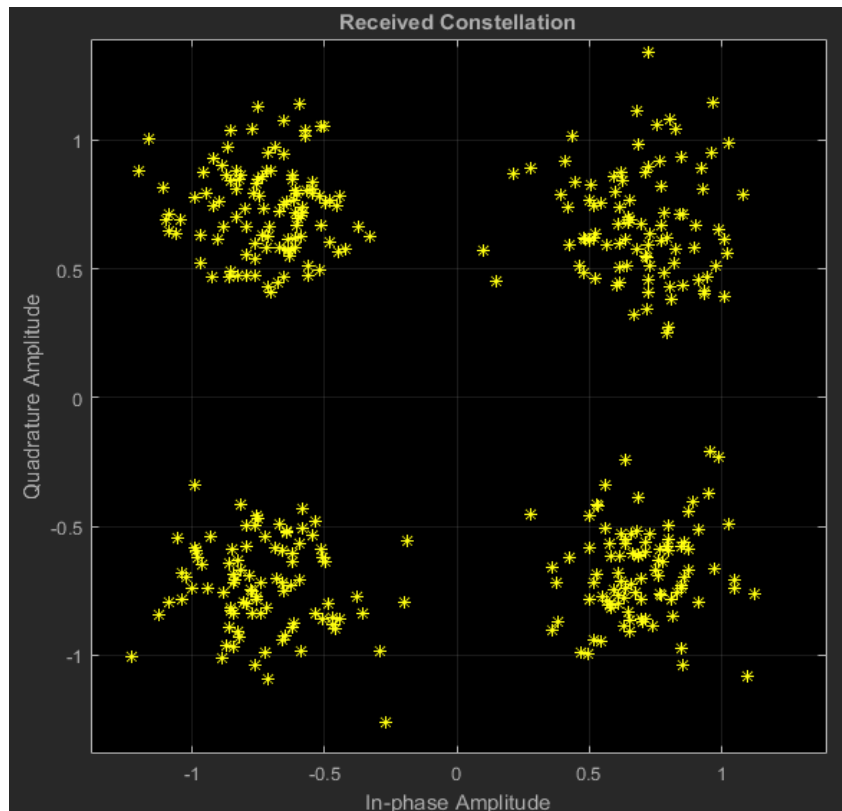


Рис. 145 – Созвездие принимаемого сигнала (SNR = 11)

Созвездие принимаемого сигнала (QAM-16):

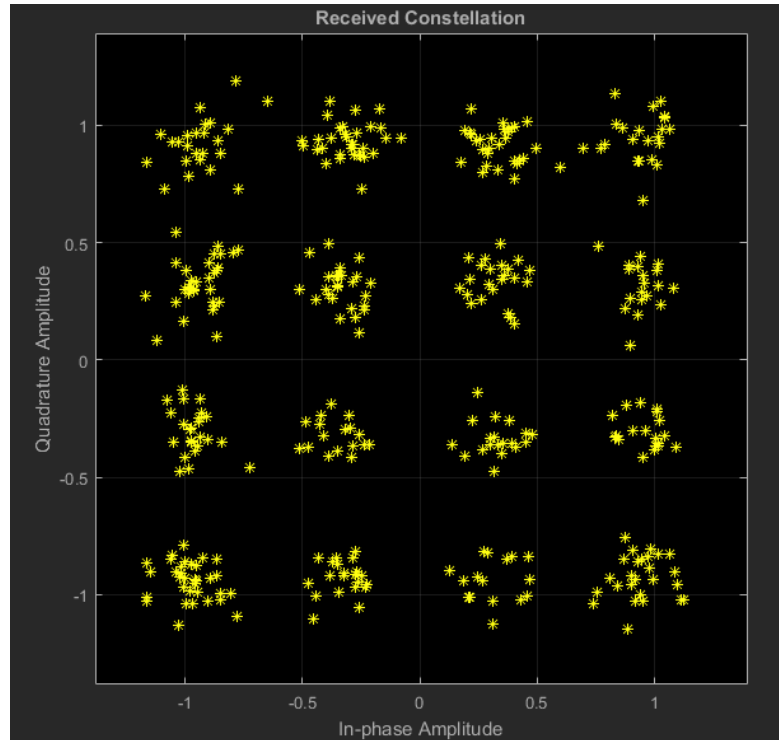


Рисунок 146 – Созвездие принимаемого сигнала (SNR = 18)

Созвездие принимаемого сигнала (QAM-64):

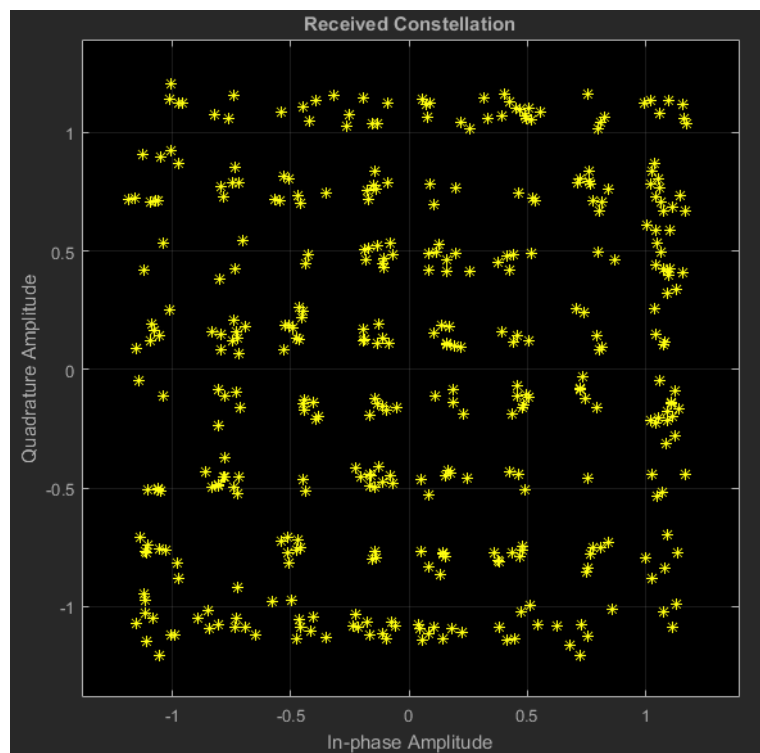


Рис. 147 – Созвездие принимаемого сигнала (SNR = 22)

По данным блока «Bit Error Rate Display» можно построить график зависимости битовой вероятности ошибки (BER) от отношения сигнал/шум в канале (рисунок 148).

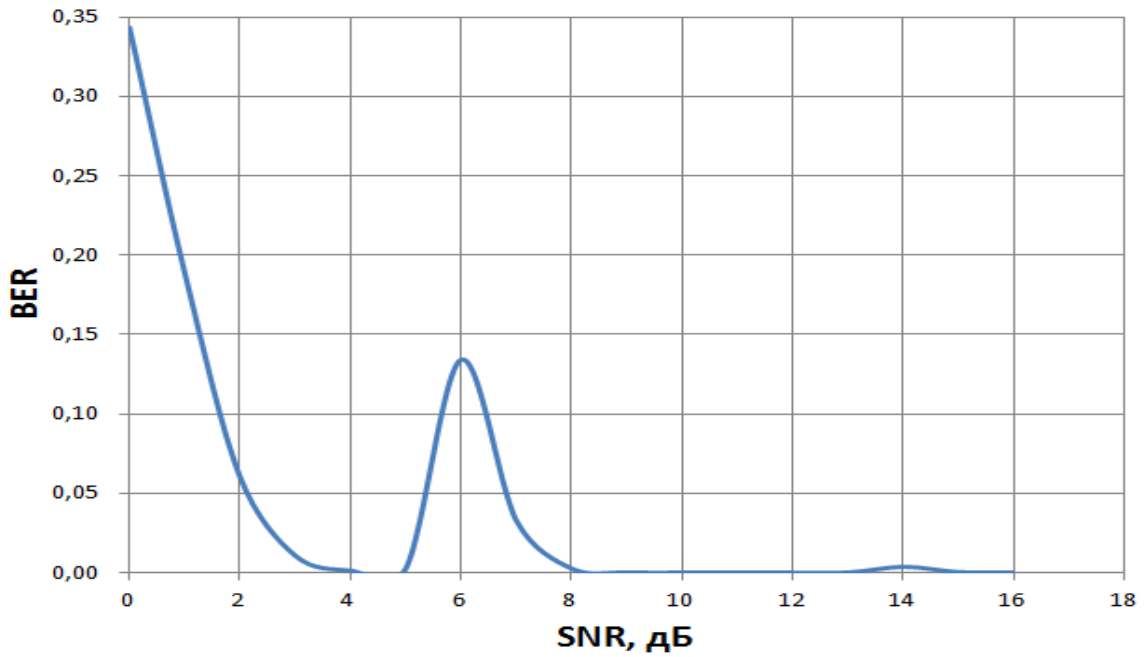


Рис. 148 – Зависимость BER от SNR при использовании адаптивного изменения параметров.

Зависимости BER от SNR для каждого конкретного вида модуляции и скорости кодирования представлены на рисунке 149

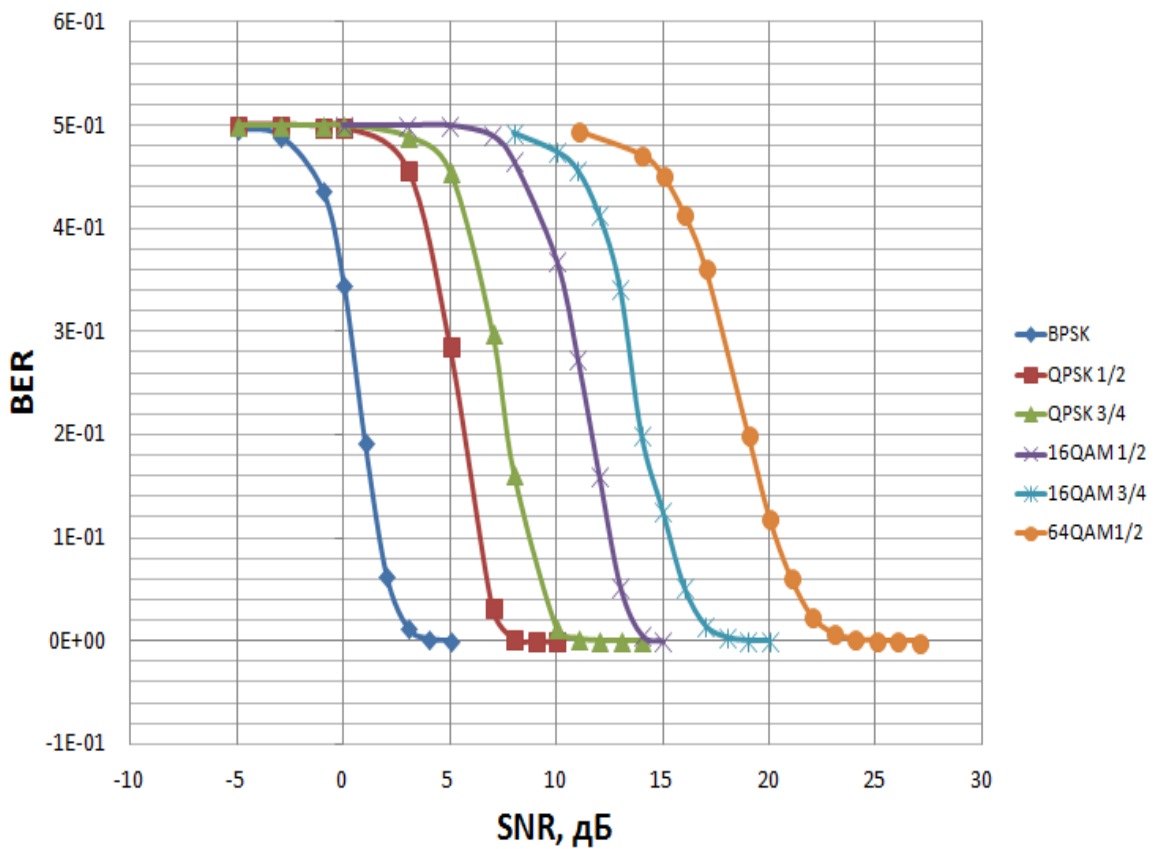


Рис. 149 – Графики зависимости BER от SNR для отдельных видов модуляции и скорости кодирования.

Та же зависимость в логарифмическом масштабе:

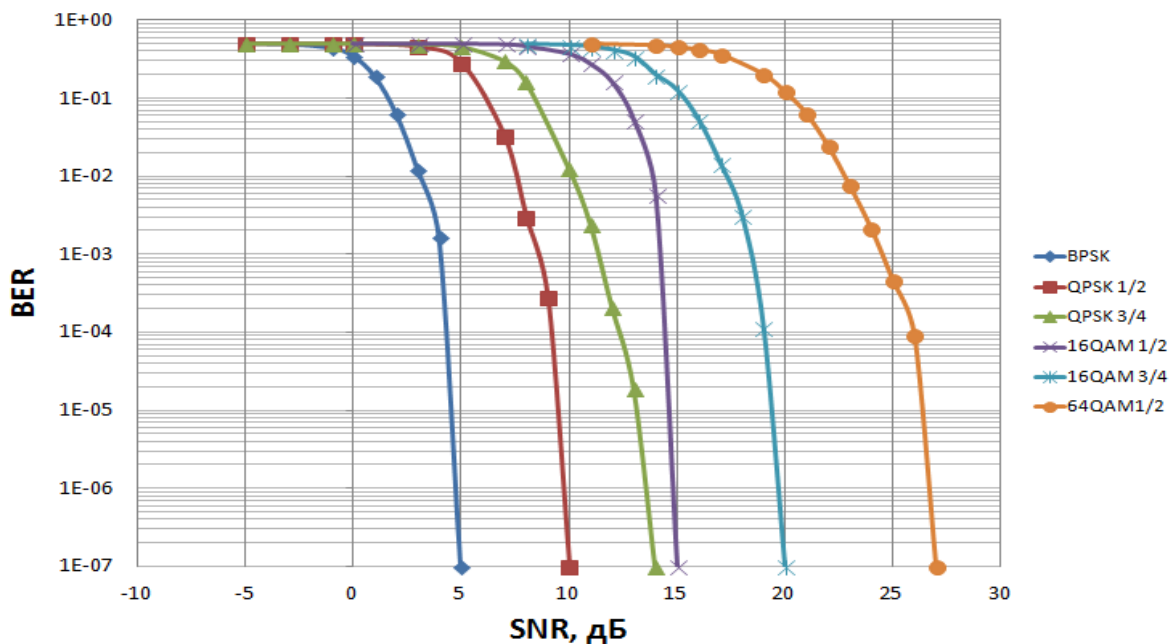


Рис. 150 – Графики зависимости BER от SNR для отдельных видов модуляции и скорости кодирования. Логарифмическая шкала

Переход с одного вида модуляции на другой требует большей энергетики сигнала, но взамен происходит значительное увеличение скорости передачи. На рисунке 151 представлена зависимость принятого количества бит за 1 секунду (скорость передачи в Мбит/с) от SNR в канале.

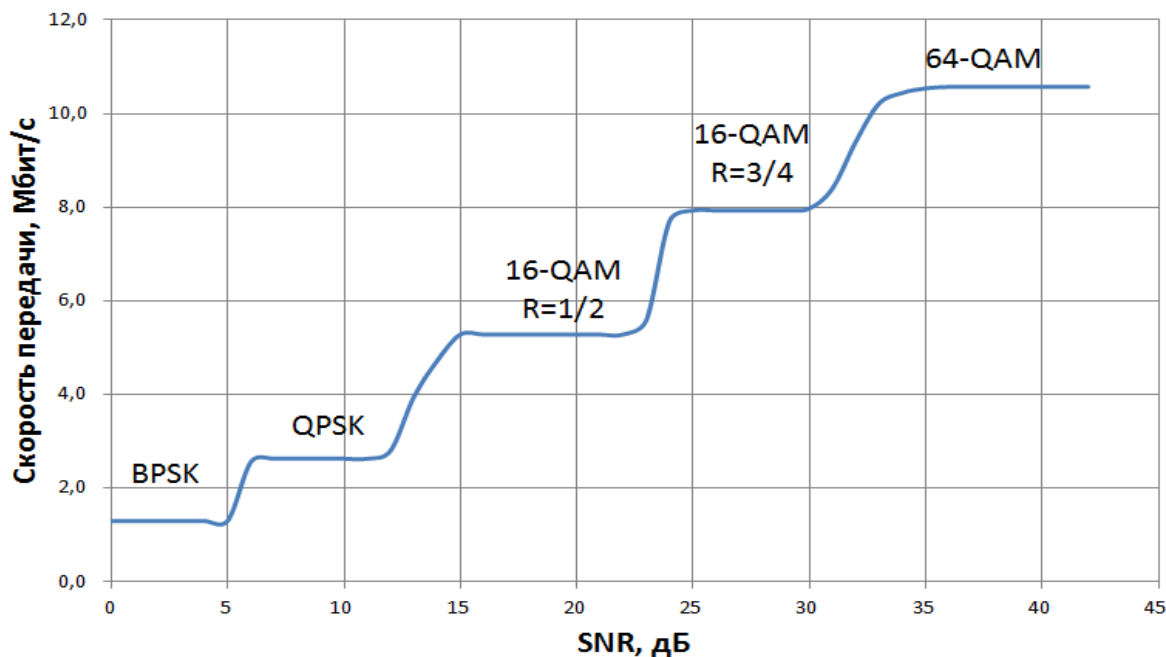


Рис. 151 – График зависимости скорости передачи от SNR

После демодуляции и декодирования производится оценка SNR для принятых данных (блок «SNR Estimation»). Зависимость оцененного SNR от SNR в канале передачи приведена на рисунке 152

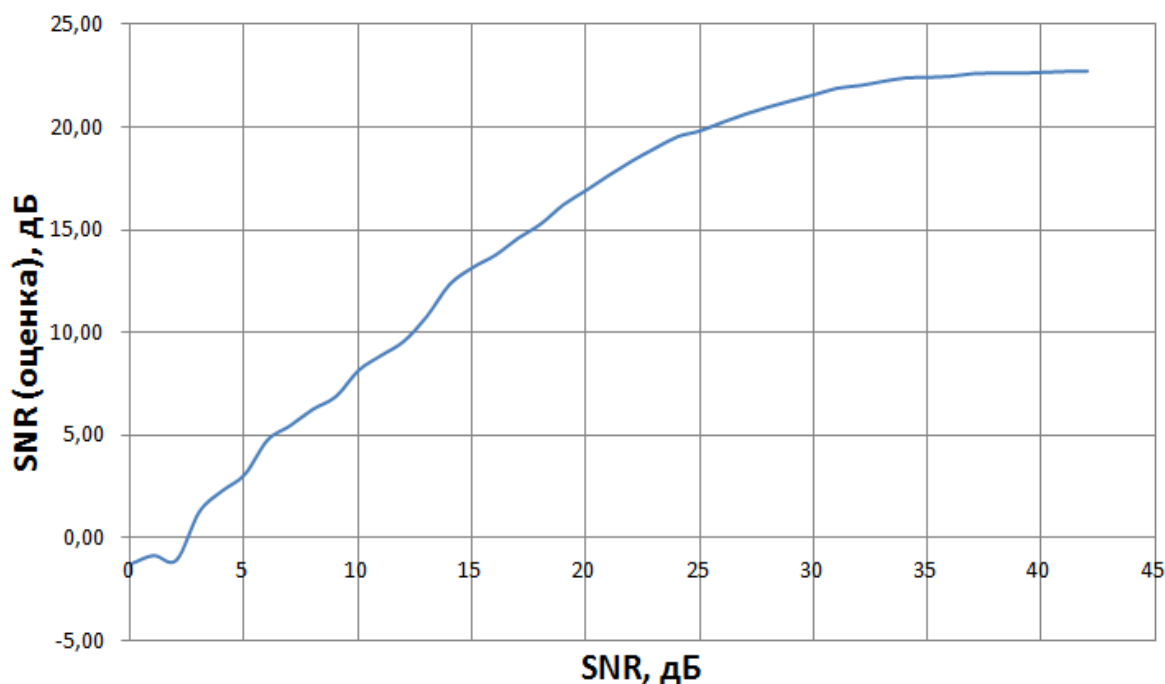


Рис. 152 – График зависимости оценки SNR от SNR в канале передачи

В результате проделанной работы были получены теоретические знания об основах построения беспроводных сетей WiMAX на основе протокола IEEE 802.16-2004. Изучены сетевой, канальный и физический уровни данного протокола.

По результатам практического исследования модели физического уровня IEEE 802.16-2004 были сделаны следующие выводы:

1. Сравнивая рисунки 3.38 и 3.39 видно, что адаптивное изменение параметров системы в зависимости от SNR в канале приводит к уменьшению вероятности ошибок. Выбросы значений BER при SNR = 6 и 14 дБ происходят из-за перехода на менее помехозащищенные, но более скоростные виды модуляции.
2. Одновременно с этим происходит увеличение скорости передачи (рисунок 3.41). Скорость передачи изменяется от 1.25 Мбит/с при использовании BPSK до 11 Мбит/с при использовании 64-QAM.
3. По графику зависимости оценки SNR от реального SNR (рисунок 3.42), можно сделать вывод, что система работает наиболее стабильно (зависимость линейна) на участке 5...24 дБ. При SNR > 24 дБ более точная оценка канала не требуется (выбирается наименее помехоустойчивый метод модуляции – QAM-64 (в рамках стандарта)). При SNR < 6 дБ выбирается наиболее помехоустойчивый метод модуляции – BPSK.

## **7. Имитационное моделирование системы мобильной связи стандарта IEEE 802.20 (LTE) на базе MATLAB**

Целью раздела является приобретение и закрепление навыков организации и реализации в программной среде системы мобильной связи стандарта LTE, подробное изучение схем входящих в состав стандарта и программного обеспечения с которыми предстоит работать при выполнении курсового проекта, умения выбрать необходимые решения на основе требований технического задания.

Помимо теоритической части, задачей курсового проектирования является построение в программной среде схемы передачи информации от базовой станции (БС) к мобильной станции (МС) и ее анализ. Схема будет включать в свой состав: генератор бинарной последовательности, кодек, модулятор/демодулятор, канал связи, анализатор ошибок и т.д.

Основным отличием стандарта LTE от предыдущих стандартов сетей связи является применение «плоской» более упрощённой IP-архитектуры, которая способствует уменьшению задержек при установленной Интернет-сессии. В стандарте LTE использовано два принципиально новых метода увеличения пропускной способности. Первый заключается в применении технологии MIMO (Multiple Input Multiple Output), где передача и приём сигнала осуществляется одновременно через несколько передающих и приёмных антенн. Таким образом, повышается скорость передачи данных в беспроводных сетях. Второй метод заключается в применении OFDM (Orthogonal frequency division multiplexing) модуляции, использующей несколько поднесущих. Преимущество данного метода заключается также в том, что системы связи с LTE могут работать в отсутствии прямой видимости.

### **Стандарты 2G и 3G.**

#### **Стандарт 2G (GSM).**

Разработка стандарта GSM началась еще в 1982 году организацией по стандартизации CEPT (European Conference of Postal and Telecommunications Administrations) . В 1991 году в Финляндии была введена в эксплуатацию первая в мире сеть GSM. Уже к концу 1993 года число абонентов, использующих этот стандарт, перевалило за миллион. К этому времени сети GSM были развернуты в 73 странах мира.

Сети стандарта GSM позволяют предоставлять широкий перечень услуг:

- Голосовые соединения
- Услуги передачи данных (до 384 кбит/сек благодаря технологии EDGE (дополнение технологии GPRS, в результате появилась передача данных с пакетной коммутацией, т.е. пакетный трафик отделяется от голосового))
- Передача коротких текстовых сообщений (SMS)

- Передача факсов
- Голосовая почта
- Конференцсвязь и мн. др.

Итак, рассмотрим основные элементы, входящие в состав системы GSM:



Рис. 153. Структура сети стандарта 2G (GSM)

Сеть GSM делится на 2 системы. Каждая из этих систем включает в себя ряд функциональных устройств, которые, в свою очередь являются компонентами сети мобильной радиосвязи.

Данными системами являются:

- Система коммутации – Network Switching System (NSS).
- Система базовых станций - Base Station System (BSS).

Система NSS выполняет функции обслуживания вызовов и установления соединений, а также отвечает за реализацию всех назначенных абоненту услуг. NSS включает в себя следующие функциональные устройства:

- Центр коммутации мобильной связи (MSC).
- Домашний регистр местоположения (HLR).
- Визитный регистр местоположения (VLR).
- Центр аутентификации (AUC).
- Регистр идентификация абонентского оборудования (EIR).

Система BSS отвечает за все функции, относящиеся к радиointерфейсу. Эта система включает в себя следующие функциональные блоки:

- Контроллер базовых станций (BSC).
- Базовую станцию (BTS).

MS (т.е. телефон абонента (мобильная станция)) не принадлежит ни к одной из этих систем, но рассматривается как элемент сети.

Элементы сети, относящиеся к пакетной передаче данных:

- SGSN – узел обслуживания абонентов.
- GGSN – шлюзовой узел.

### Стандарт 3G (UMTS)[2].

Разработка стандарта UMTS началась в 1992 году организацией по стандартизации ИМТ-2000. Впоследствии разработка этого стандарта была поручена 3GPP. Первая сеть UMTS была запущена в коммерческую эксплуатацию 1 декабря 2001 года в Норвегии. К маю 2010 года число абонентов переваливает за 540 миллионов по всему миру.

Скорость передачи данных для сетей UMTS может достигать 2Мбит/сек. Благодаря технологии HSDPA-High Speed Downlink Packet Access (3.5G), которая была внедрена в 2006 году максимальная скорость возросла до 14 Мбит/сек. Эти и другие преимущества UMTS позволяют предоставлять абонентам широкий перечень услуг: видеозвонки, видеоконференции, высококачественные голосовые звонки, загрузка файлов с высокой скоростью, сетевые игры, мобильная коммерция и мн. др.

Рассмотрим структуру системы UMTS и ее основные отличия от стандарта второго поколения GSM.

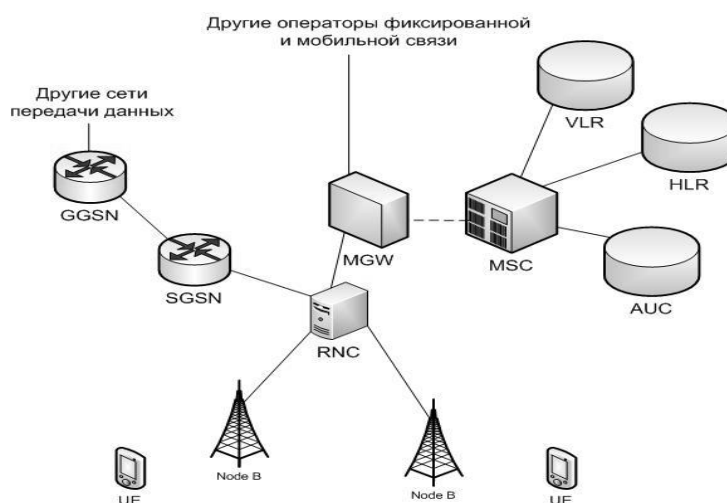


Рис. 154. Структура сети стандарта 3G (UMTS)

### **Подсистема коммутации.**

В первых релизах стандарта UMTS (R99, R4) подсистема коммутации не отличалась по своей структуре от той же подсистемы сетей второго поколения. В нее входили MSC – Mobile Switching Centre, который выполнял функции коммутации, установления соединения, тарификации и др., а также ряд регистров HLR, VLR, AUC, которые предназначены для хранения абонентских данных. В более поздних релизах (R5, R6, R7,R8) функции MSC были разделены между двумя устройствами: MSC-Server и MGW (Media gateway). MSC-Server отвечает за установление соединений, тарификацию, выполняет некоторые функции аутентификации. MGW представляет собой коммутационное поле, подчиненное MSC-Server.

### **Подсистема базовых станций.**

В сети UMTS по сравнению с сетью GSM наибольшие изменения претерпела подсистема базовых станций. Отмеченные выше преимущества достигаются в первую очередь за счет новой технологии передачи информации между базовой станцией и телефоном абонента.

Итак, рассмотрим основные элементы, входящие в подсистему базовых станций:

RNC (Radio Network Controller) – контроллер сети радиодоступа системы UMTS. Он является центральным элементом подсистемы базовых станций и выполняет большую часть функций: контроль радиоресурсов, шифрование, установление соединений через подсистему базовых станций, распределение ресурсов между абонентами и др. В сети UMTS контроллер выполняет гораздо больше функций, нежели в системах сотовой связи второго поколения.

NodeB – базовая станция системы сотовой связи стандарта UMTS. Основной функцией NodeB является преобразование сигнала, полученного от RNC в широкополосный радиосигнал, передаваемый к телефону. Базовая станция не принимает решений о выделении ресурсов, об изменении скорости к абоненту, а лишь служит мостом между контроллером и оборудованием абонента, и она полностью подчинена RNC.

Оборудование абонента получило название UE (User Equipment (мобильная станция)). Тем самым подчеркивается, что в отличие от предшествующих стандартов в UMTS может быть не только обычный телефон, но и смартфон, ноутбук, стационарный компьютер и т.п.

Пакетные данные в сети UMTS передаются от MGW к известному нам по системе GSM элементу SGSN (узел обслуживания абонентов), после чего через GGSN (шлюзовой узел) поступают к другим внешним сетям передачи данных, например Internet. Как правило, SGSN и GGSN сети GSM применяются для тех же целей и в сети UMTS. Производится только коррекция программного обеспечения данных элементов.

### Стандарт LTE и его отличие от предыдущих стандартов.

Стандарты третьего поколения позволяют предоставить широкий перечень мультимедийных услуг и поддерживают скорости передачи данных до 14Мбит/сек. Это вполне соответствует запросам абонентов в настоящее время. Однако, объемы передаваемой информации в телекоммуникационных сетях растут с каждым днем. Чтобы удовлетворить потребности пользователей по скорости передачи данных и набору услуг, хотя бы на 20 лет вперед необходим новый стандарт, уже четвертого поколения.

Работа над первым стандартом четвертого поколения - LTE (Long Term Evolution) началась в 2004 году организацией 3GPP. Главными требованиями, которые предъявлялись в процессе работы над стандартом были следующие:

- Скорость передачи данных выше 100 Мбит/сек.
- Высокий уровень безопасности системы.
- Высокая энергоэффективность.
- Низкие задержки в работе системы.
- Совместимость со стандартами второго и третьего поколений.

В конце 2009 года в Швеции была запущена в коммерческую эксплуатацию первая сеть стандарта LTE.

Сети LTE поддерживают скорости передачи данных до 326,4 Мбит/сек. К примеру, загрузка фильма в хорошем качестве займет менее одной минуты. Таким образом, верхняя планка по скорости передачи данных практически снимается.

Рассмотрим структуру сети LTE:

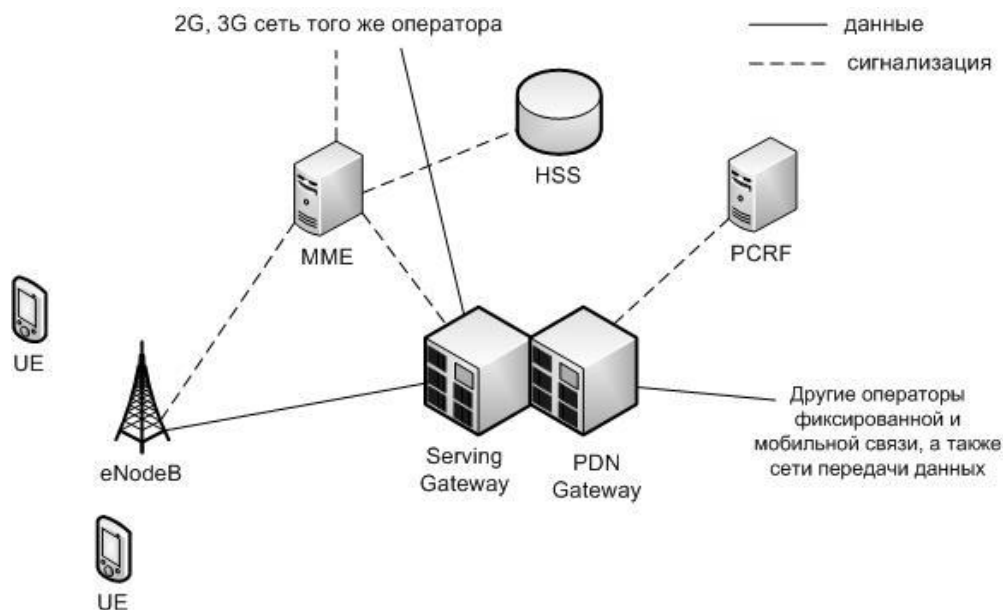


Рис. 155. Структура сети стандарта LTE

Из схемы сети LTE, представленной выше, уже видно, что структура сети сильно отличается от сетей стандартов 2G и 3G. Существенные изменения претерпела и подсистема базовых станций, и подсистема коммутации. Была изменена технология передачи данных между оборудованием пользователя и базовой станцией. Также подверглись изменению и протоколы передачи данных между сетевыми элементами. Вся информация (голос, данные) передается в виде пакетов. Таким образом, уже нет разделения на части обрабатывающие либо только голосовую информацию, либо только пакетные данные.

Можно выделить следующие основные элементы сети стандарта LTE:

**Serving SAE Gateway** или просто **Serving Gateway (SGW)** – обслуживающий шлюз сети LTE. Предназначен для обработки и маршрутизации пакетных данных поступающих из/в подсистему базовых станций. По сути, заменяет MSC (выполняет функции коммутации, установления соединения, тарификации), MGW (представляет собой коммутационное поле) и SGSN (узел обслуживания абонентов пакетной сети передачи данных) сети UMTS (3G). SGW имеет прямое соединение с сетями второго и третьего поколений того же оператора, что упрощает передачу соединения в/из них по причинам ухудшения зоны покрытия, перегрузок и т.п.

**Public Data Network (PDN) SAE Gateway** или просто **PDN Gateway (PGW)** – шлюз к/от сетей других операторов. Если информация (голос, данные) передаются из/в сети данного оператора, то они маршрутизируются именно через PGW.

**Mobility Management Entity (MME)** – узел управления мобильностью. Предназначен для управления мобильностью абонентов сети LTE.

**Home Subscriber Server (HSS)** – сервер абонентских данных. HSS представляет собой объединение VLR (гостевой регистр местоположения), HLR (домашний регистр местоположения), AUC (центр аутентификации абонентов) выполненных в одном устройстве.

**Policy and Charging Rules Function (PCRF)** – узел выставления счетов абонентам за оказанные услуги связи.

Все перечисленные выше элементы относятся к системе коммутации сети LTE. В системе базовых станций остался лишь один знакомый нам элемент – базовая станция, которая получила название **eNodeB**. Этот элемент выполняет функции и базовой станции, и контроллера базовых станций сети LTE. За счет этого упрощается расширение сети, т.к. не требуется расширение емкости контроллеров или добавления новых. Мобильная станция представлена – **UE**.

### Интерфейсы между узловыми элементами в сетях стандарта LTE.

Структура сети стандарта LTE претерпела значительные изменения по сравнению с сетями предыдущих поколений. Это повлияло также и на изменение интерфейсов между узлами сети. На рисунке ниже представлена общая модель сети стандарта LTE и ее основные интерфейсы.

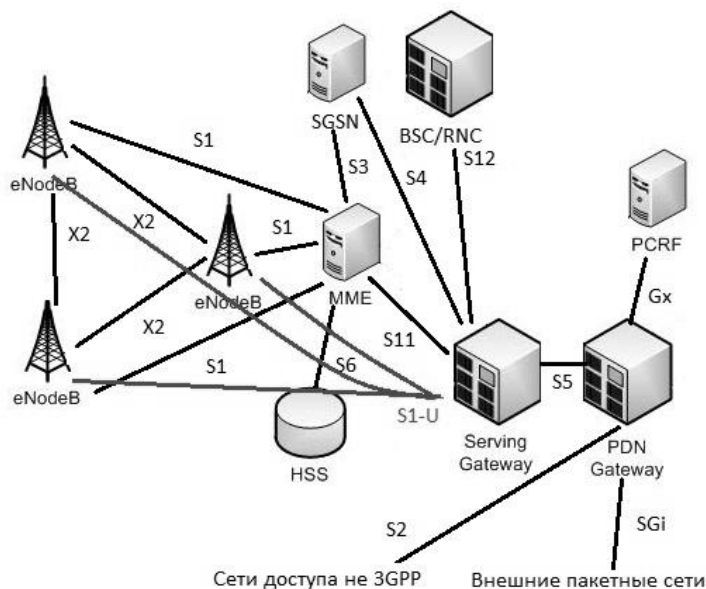


Рис. 156. Интерфейсы сети стандарта LTE

Рассмотрим основные интерфейсы сети LTE:

- X2 - интерфейс между eNodeB. Базовые станции в сети LTE соединены по принципу «каждый с каждым».
- S1 – интерфейс связывающий подсистему базовых станций E-UTRAN и MME. По данному интерфейсу передаются данные управления.
- S1-U – интерфейс между E-UTRAN и SAE, по которому передаются пользовательские данные.
- S2 – интерфейс для организации соединения между PDN-Gateway и сетями доступа, которые не разрабатывались 3GPP.
- S3 – интерфейс, предоставляющий прямое соединение SGSN и MME. Он служит для передачи данных управления для обеспечения мобильности между LTE и 2G/3G сетями.
- S4 – интерфейс, связывающий SAE и SGSN. Он служит для передачи пользовательских данных для обеспечения мобильности между LTE и 2G/3G сетями.
- S5 – интерфейс между SAE и PDN-Gateway. S5 предназначен для передачи пользовательских данных между SAE и PDN-Gateway.

- S6 – интерфейс между MME и HSS. Он используется для передачи данных абонентского профиля, а также осуществления процедур аутентификации в сети LTE.
- Gx – интерфейс между PDN-Gateway и PCRF. Gx предназначен для передачи правил тарификации от PCRF к PDN-Gateway.
- SGI – интерфейс между PDN-Gateway и внешними IP-сетями.

### Принципы построения радиоинтерфейса LTE в Downlink (от БС к МС).

Одной из главных отличительных особенностей стандарта LTE, которая позволяет достигать высоких скоростей передачи данных является изменение принципов построения интерфейса от eNodeB (БС) до UE (МС) на линии «вниз». Рассмотрим главные особенности этого интерфейса и постараемся выделить основные качественные отличия, которые отличают этот стандарт от других.

В сетях связи стандарта LTE в Downlink (DL) используется модуляция OFDM – Orthogonal Frequency Devision Multiplexing– ортогональная частотная модуляция. Этот тип модуляции определяет и принцип доступа OFDMA - Orthogonal Frequency Devision Multiple Access – множественный доступ с ортогональным частотным разделением каналов. Суть его заключается в том, что все частотно-временное поле, выделенное для работы оператора, разделяется на небольшие блоки. Причем они небольшие как по частоте (15 кГц), так и по времени (0,5 мс). Сеть распределяет эти блоки между абонентами в зависимости от их потребностей и возможностей сети. Таким образом, обеспечивается максимально эффективное использование ресурсов.

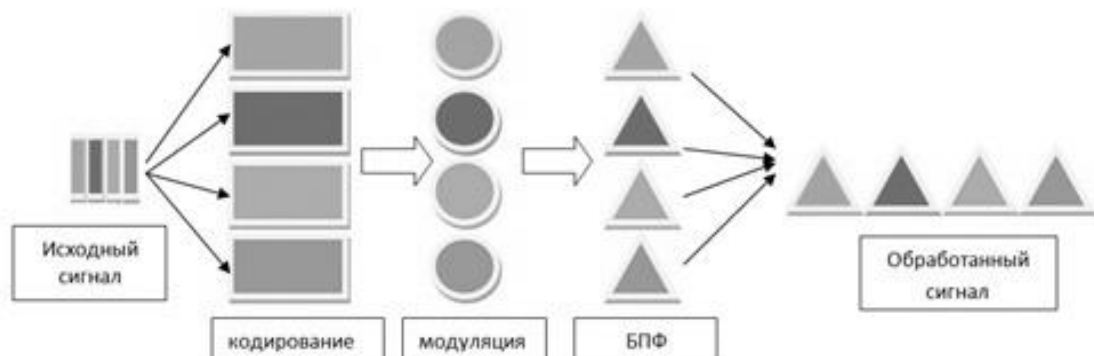


Рис. 157. OFDM – модулятор

Ниже перечислены главные шаги преобразования сигнала в OFDM модуляторе.

- 1) Разделение исходного потока бит на параллельные потоки.
- 2) Кодирование помехоустойчивым кодом, в процессе которого значительно увеличивается число символов в отдельных потоках.

3) Манипуляция выбранным в данный конкретный момент способом модуляции: QPSK, 16QAM, 64QAM.

4) Перемножение полученной последовательности каждого потока на свою поднесущую. Эта операция является ключевой и будет рассмотрена ниже.

5) Объединение сигналов и передача в эфир.

Умножение сигнала на свою поднесущую перемещает сигнал в нужное частотное пространство. Также на этом этапе происходит преобразование сигнала из временной области в частотную. Это выполняется благодаря БПФ – быстрому преобразованию Фурье. Эти две процедуры позволяют добиться максимально близкого размещения сигналов в частотной области и сократить до минимума защитные интервалы. Это достигается благодаря тому, что поднесущие выбираются ортогональными (на практике квазиортогональными), и отдельные потоки относительно легко выделить на приемной стороне.

Кроме использования OFDMA в LTE – есть еще одно важное новшество: обязательное (в отличие от UMTS) использование MIMO - Multiple Input Multiple Output – множественный вход множественный выход. При этом информационный поток направляется между сторонами обмена информации несколькими «путями», что обеспечивает более эффективное использование частотно-временного ресурса.

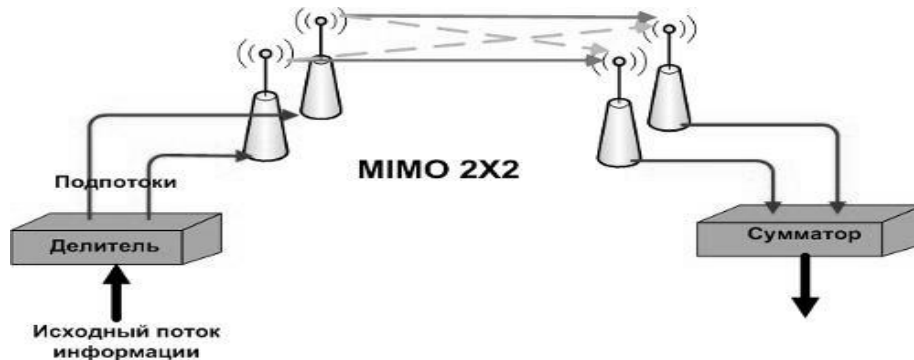


Рис. 158. MIMO 2x2

Эти два важных изменения позволяют добиться скорости передачи данных в Downlink свыше 100 Мбит/сек. Задержки передачи данных не превышают 20 мс. Для сравнения в UMTS скорости передачи данных редко поднимаются свыше 20 Мбит/сек, а задержки могут колебаться от 40 до 100 мс.

### **Принципы построения радиointерфейса LTE в Uplink (от МС к БС).**

В сетях связи стандарта LTE скорость передачи данных в направлении от UE (МС) к eNodeB (БС) может достигать 50 Мбит/сек, а задержки не превышают 10мс. Эти показатели на много превышают значения в сетях третьего поколения и практически сравнялись с

проводными выделенными каналами связи. Рассмотрим главные особенности построения радиointерфейса Uplink в стандарте LTE.

В отличие от радиointерфейса Downlink, где информация одного пользователя может передаваться на разных поднесущих, в Uplink данные каждого пользователя передаются в одной полосе частот, причем в одно и то же время. Однако это не означает, что информационные потоки накладываются друг на друга и необратимо искажаются. Это обеспечивается благодаря использованию множественного доступа с частотным разделением с единственной несущей частотой SC-FDMA (Single Carrier Frequency Devision Multiple Access). Рассмотрим основные принципы работы SC-FDMA – модулятора.

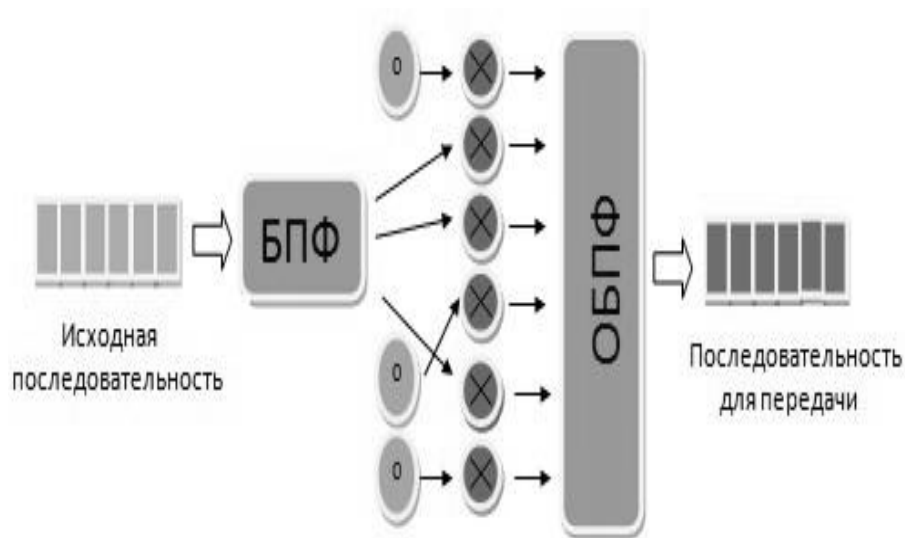


Рис. 159. SC-FDMA – модулятор

Первым этапом исходная информационная последовательность, предназначенная для передачи от абонента, преобразуется в частное представление с помощью быстрого преобразования Фурье (БПФ). Далее, в зависимости от скорости потока от данного абонента, сеть выделяет UE (MC) несколько поднесущих, среди которых распределяются преобразованный поток. Те поднесущие, которые используют другие пользователи не занимают в данном абонентском терминале, а соответствующие поднесущие перемножаются с «0». После обратного быстрого преобразования Фурье (ОБПФ) модулированные потоки объединяются и переводятся обратно во временную область. Несмотря на то, что данные передаются от разных устройств в сети в одно и то же время в одной и той же полосе частот, на приемной стороне после обратных сказанным выше процедур, можно выделить информационные потоки от отдельных UE (MC).

Благодаря использованию SC-FDMA в системе LTE удалось достигнуть трехкратного увеличения спектральной эффективности на линии «вверх», по сравнению с сетями 3G.

## Логические каналы на радиointерфейсе в LTE

Одной из важнейших составляющих радиointерфейса любой подвижной системы связи, которая обеспечивает заданные характеристики ее работы, является структура логических, транспортных и физических каналов. Рассмотрим логические параметры сети связи LTE.

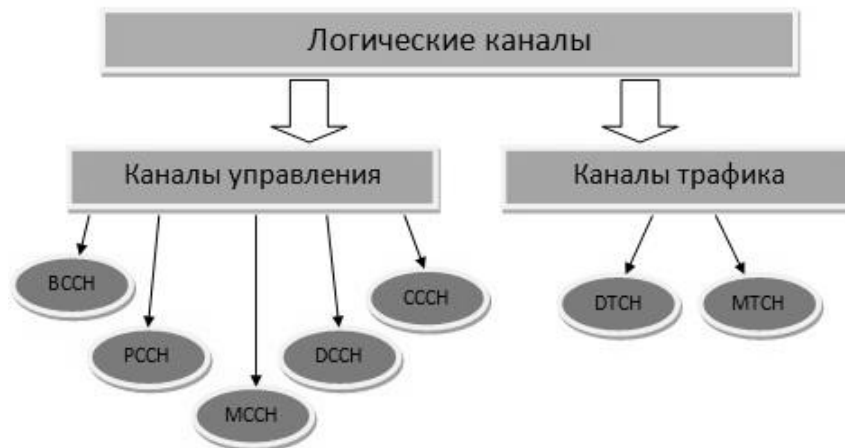


Рис. 160. Логические каналы LTE

Логические каналы подразделяются по типам передаваемой информации на каналы управления и на трафиковые каналы.

### К каналам управления относятся:

□ BCCH (Broadcast Control Channel) – вещательный канал управления – служит для передачи системной служебной информации в Downlink.

□ PCCH (Paging Control Channel) – пейджинговый канал управления – предназначен для передачи пейджинговых сообщений к UE (MC) от eNodeB (BC).

□ MCCH (Multicast Control Channel) – многопользовательский канал управления – необходим для передачи служебной информации одновременно к нескольким абонентским устройствам.

□ DCCH (Dedicated Control Channel) – выделенный канал управления – служит для передачи служебной информации между конкретным абонентским устройством и сетью.

□ CCCH (Common Control Channel) – общий канал управления – предназначен для обмена служебной информацией между UE (MC) и сетью в процедурах начального доступа UE (MC) в сеть до организации выделенного канала.

### К трафиковым каналам относятся:

□ DTCH (Dedicated Traffic Channel) – выделенный трафиковый канал – основной канал для передачи пользовательских данных между одним конкретным UE (MC) и сетью.

□ MTCH (Multicast Traffic Channel) – многопользовательский трафиковый канал – служит для передачи широковещательной трафиковой информации. Хорошим примером использования этого канала может служить трансляция радио или ТВ-программ.

### **Транспортные каналы на радиointерфейсе в LTE.**

На радиointерфейсе в сети стандарта LTE применяется стек каналов для передачи данных между абонентским терминалом и сетью. Низший уровень в этом стеке образуют физические каналы. По ним передаются транспортные, которые в свою очередь несут логические каналы.

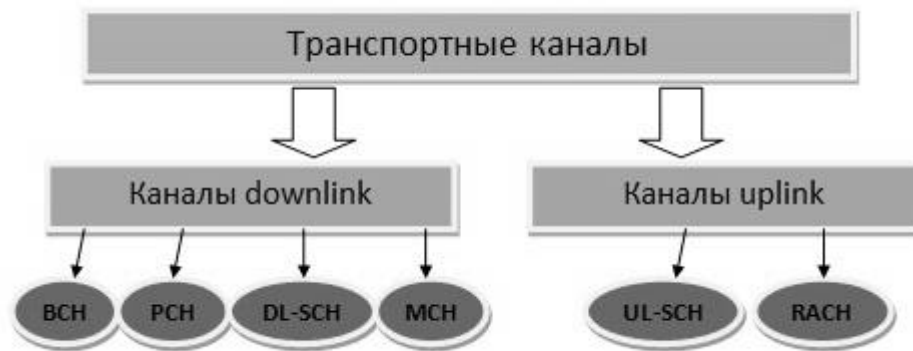


Рис. 161. Транспортные каналы LTE

Рассмотрим виды транспортных каналов на радиointерфейсе сети стандарта LTE. Все транспортные каналы можно классифицировать по направлению передачи: Uplink (от UE (MC) к eNodeB (BC)) и Downlink (от eNodeB (BC) к UE (MC)).

#### **К транспортным каналам в Downlink относятся:**

- BCH (Broadcast Channel) – широковещательный канал.
- PCH (Paging Channel) – канал для пейджинга.
- DL-SCH (Downlink Shared Channel) – общий канал для передачи данных вниз.
- MCH (Multicast Channel) – многопользовательский канал.

#### **К транспортным каналам в Uplink относятся:**

- RACH (Random Access Channel) – канал случайного доступа.
- UL-SCH (Downlink Shared Channel) – общий канал для передачи данных вверх.

Как было сказано выше, транспортные каналы передаются в логических каналах. На рисунке ниже представлена связь между логическими и транспортными каналами в LTE.

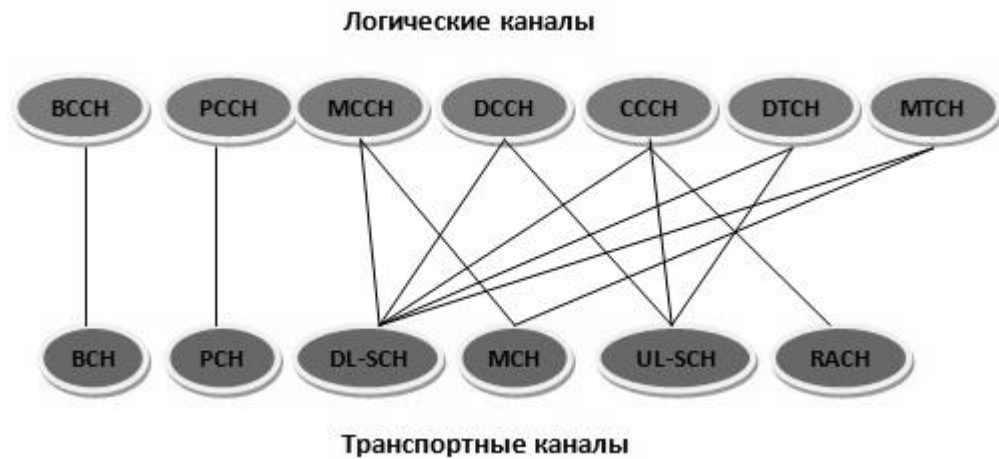


Рис. 162. Связь логических и транспортных каналов

### Физические каналы на радиointерфейсе в LTE.

Информация между UE (МС) и eNodeB (БС) передается не произвольным образом, а через четко организованную структуру каналов. Рассмотрим классификацию, виды и назначение физических каналов в сети LTE.



Рис. 163. Физические каналы LTE.

Физические каналы можно классифицировать по направлению передачи информации: Downlink и Uplink.

#### К физическим каналам в Downlink относятся:

- PDSCH (Physical Downlink Shared Channel) - физический распределенный канал в направлении «вниз» - служит для высокоскоростной передачи мультимедийной информации.
- PDCCH (Physical Downlink Control Channel) – физический канал управления в направлении «вниз» - предназначен для передачи информации для управления конкретным UE (МС).
- CCPCH (Common Control Physical Channel) – общий физический канал управления – необходим для передачи общей для всех информации.

#### К физическим каналам в Uplink относятся:

- PRACH (Physical Random Access Channel) – физический канала произвольного доступа – служит для первичного доступа в сеть.
- PUCCH (Physical Uplink Control Channel) – физический канал управления в направлении «вверх» - необходим для передачи служебной информации от конкретной UE (MC) к eNodeB (BC).
- PUSCH (Physical Uplink Shared Channel) – физический распределенный канал в направлении «вверх» - предназначен для высокоскоростной передачи данных в Uplink.

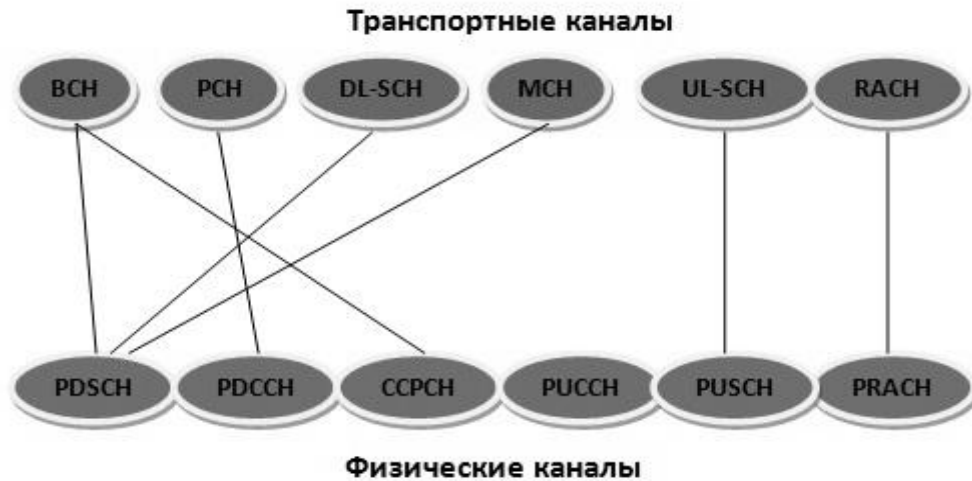


Рис. 164. Связь физических и транспортных каналов

### Основные параметры LTE.

Таблица 10. Основные параметры LTE

Название параметра	Параметр
Uplink (UL): восходящее соединение	SC-FDMA
Downlink (DL): нисходящее соединение	OFDMA
Ширина частотного диапазона, МГц	1,4; 3, 5; 10; 15; 20
Минимальный интервал между кадрами, мс	1

Шаг (частотный интервал) между поднесущими, кГц	15
Стандартная длина префикса CP, мкс	4,7
Увеличенная длина префикса CP, мкс	16,7
Схемы модуляции (Uplink)	BPSK, QPSK, 8PSK, 16QAM
Схемы модуляции (Downlink)	QPSK, 16QAM, 64QAM
Пространственное мультиплексирование	Один канал для Uplink-трафика на каждый абонентский терминал; До 4 каналов для Downlink-трафика на каждый абонентский терминал; MU-MIMO с поддержкой для восходящего (Uplink) и нисходящего (Downlink) соединений

### **Практическая реализация.**

Как было сказано выше, на практике будет реализован канал Downlink системы мобильной связи стандарта LTE. Структура данного канала представлена на рисунке 165.

# LTE PHY Downlink with Spatial Multiplexing

Info

Multi-code word spatial-multiplexed transmission employing closed-loop codebook-based precoding

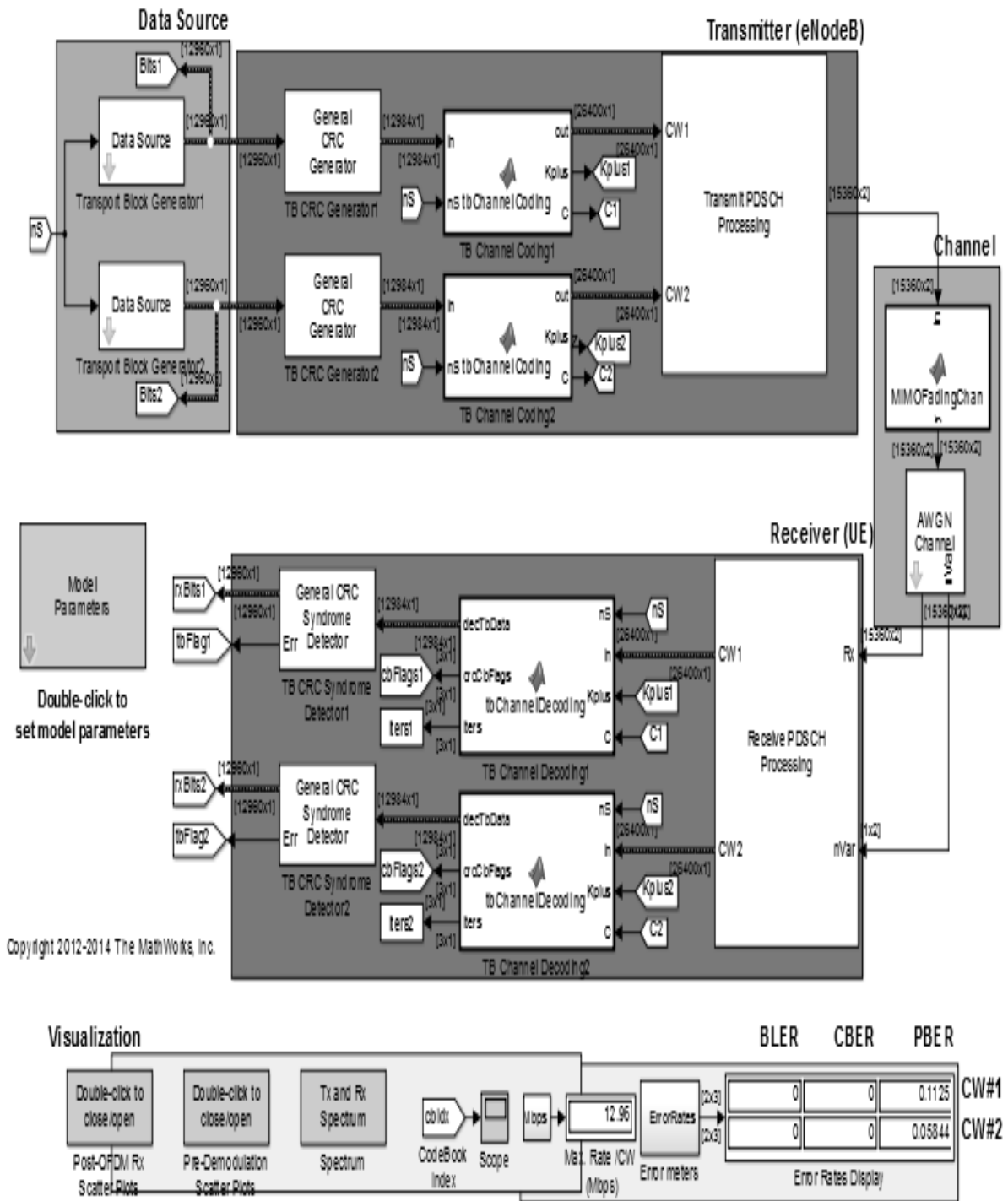


Рис. 165. Канал Downlink LTE Simulink MATLAB

Рассмотрим более подробно данный канал.

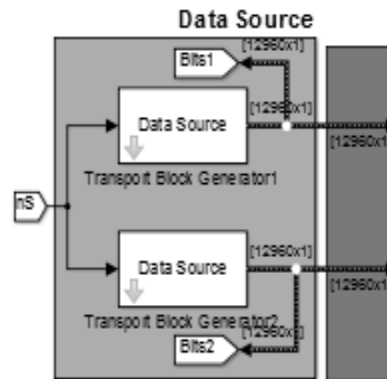


Рис. 156. Разделение исходного потока бит на параллельные потоки

- Кодирование помехоустойчивым кодом, в процессе которого значительно увеличивается число символов в отдельных потоках. В данной схеме используется код CRC.

Каждый отдельный параллельный поток кодируется данным кодом с заданным полиномом.

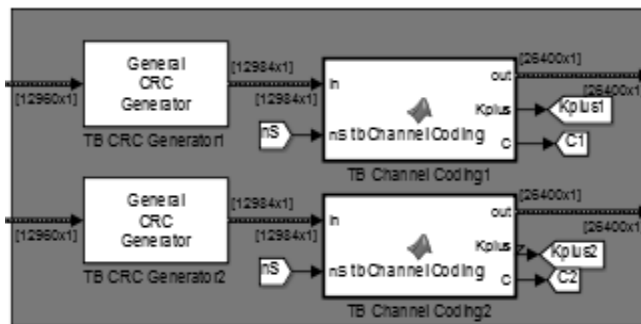


Рис. 157. Кодирование помехоустойчивым кодом

General CRC Generator (mask) (link)

Generate CRC bits according to the generator polynomial parameter and append them to the input data frames. Specify the generator polynomial as either a string expressing the polynomial in algebraic form, a hexadecimal string, or as a binary or integer row vector with coefficients in descending order of powers.

This block accepts a binary column vector input signal.

Parameters

Generator polynomial:

[1 1 0 0 0 0 1 1 0 0 1 0 0 1 1 0 0 1 1 1 1 1 0 1 1] % qCRC24A

Initial states:

0

Direct method

Reflect input bytes

Reflect checksums before final XOR

Final XOR:

0

Checksums per frame:

1

Рис. 158. Параметры CRC кодера

- Манипуляция выбранным в данный конкретный момент способом модуляции. В канале Downlink используются методы манипуляции: QPSK, 16QAM, 64QAM. Далее перемножение полученной последовательности каждого потока на свою поднесущую и БПФ (так называемая OFDM – модуляция). Где в результате получаем один сложный сигнал.

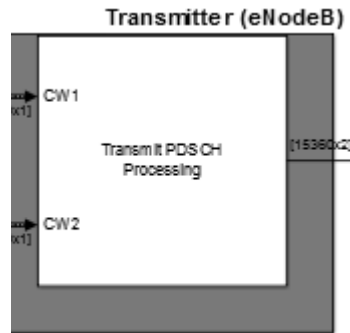


Рис. 159. Манипуляция выбранным в данный конкретный момент способом модуляции

Структура этого блока имеет следующий вид:

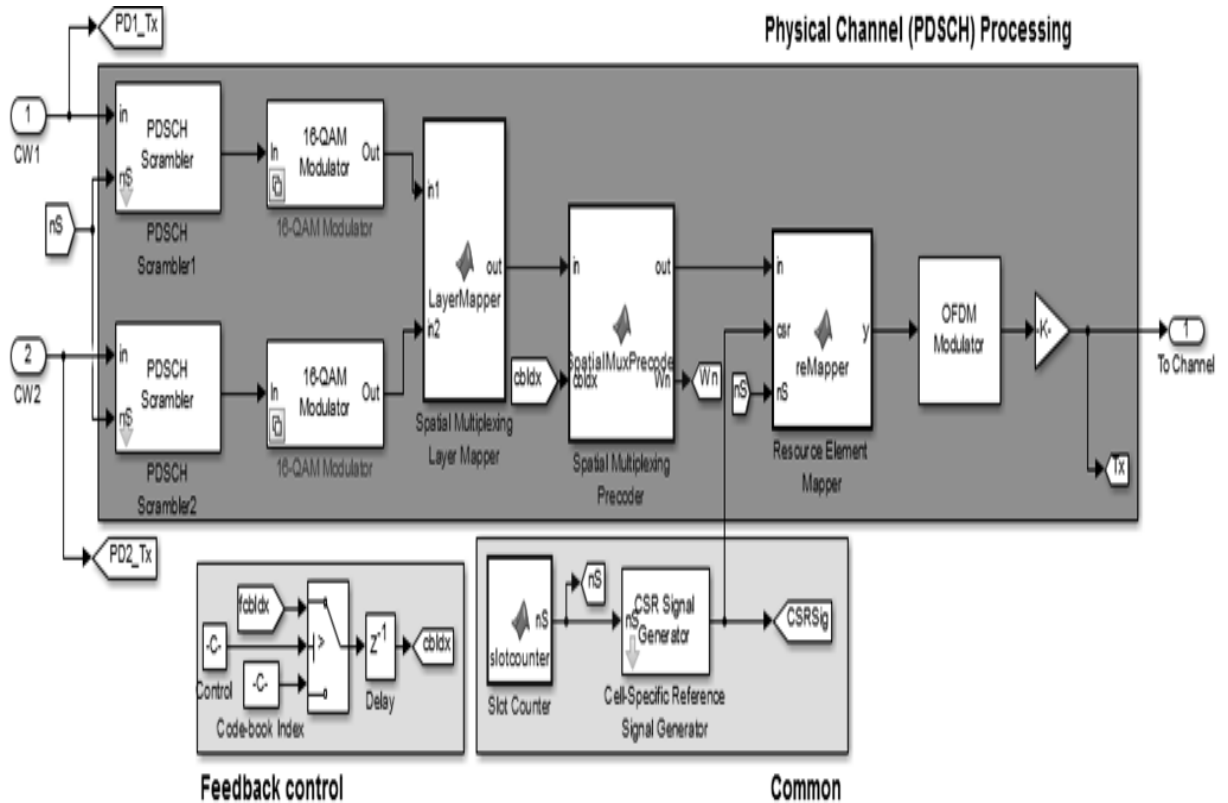


Рис. 160. Квадратурная манипуляция и получение OFDM символов

- Передача в эфир. Для этого используется технология MIMO 2x2 или 4x4 приемных/передающих антенн. Где один общий поток (сигнал) разделяется на 2 потока (2x2 антенна) или 4 потока (4x4 антенна).

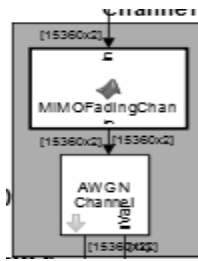


Рис. 161. Передача в эфир



Рис. 162. Характеристики блока AWGN

Далее подпотоки MIMO объединяются в один поток, который приходит на мобильную станцию под воздействием помех.

Далее мобильная станция производит обратные преобразования, реализованные выше, а именно, получаем параллельные потоки. Потом производится обратное быстрое преобразование Фурье (ОБПФ). Затем производится демодуляция.

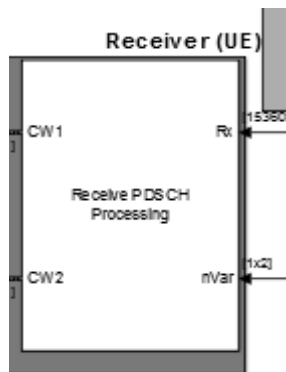


Рис. 163. Параллельные потоки-ОБПФ-демодуляция

Схема, входящая в данный блок:

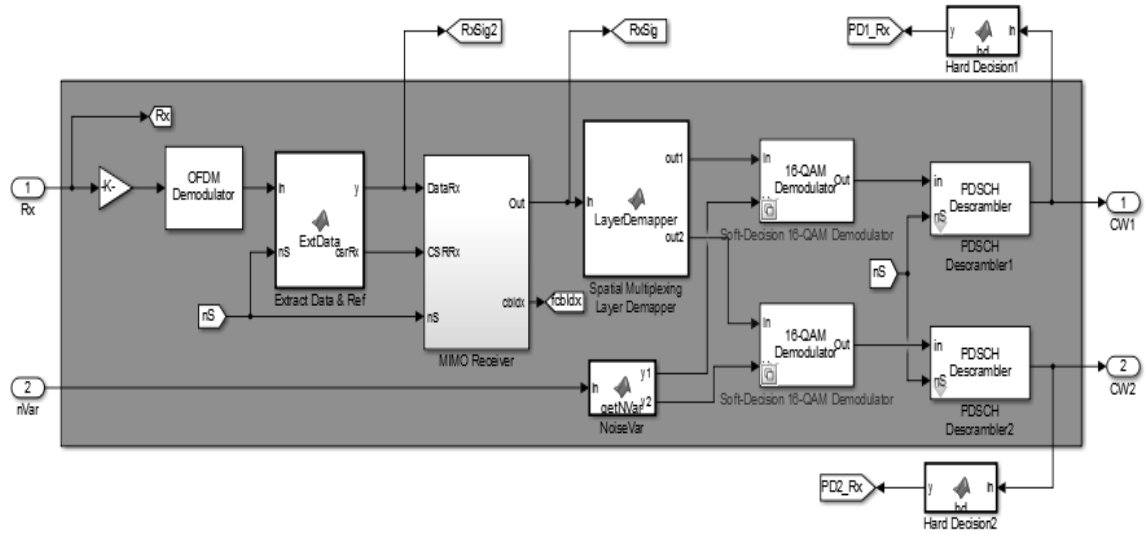


Рис. 164. Паралельные потоки-ОДПФ-демоуляция

Далее производится декодирование по соответствующему алгоритму CRC:

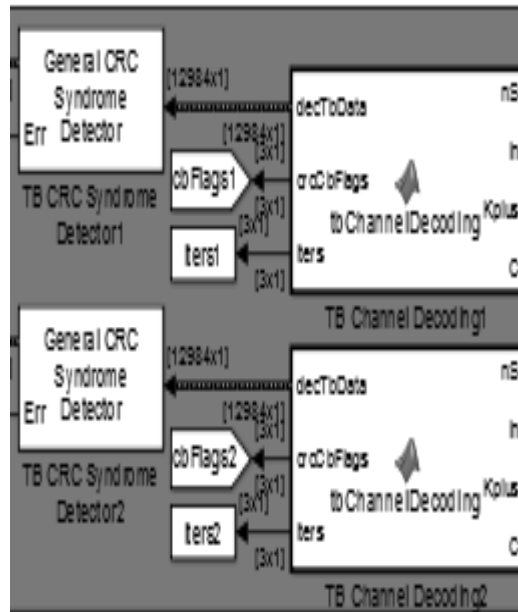


Рис. 165. Декодирование CRC

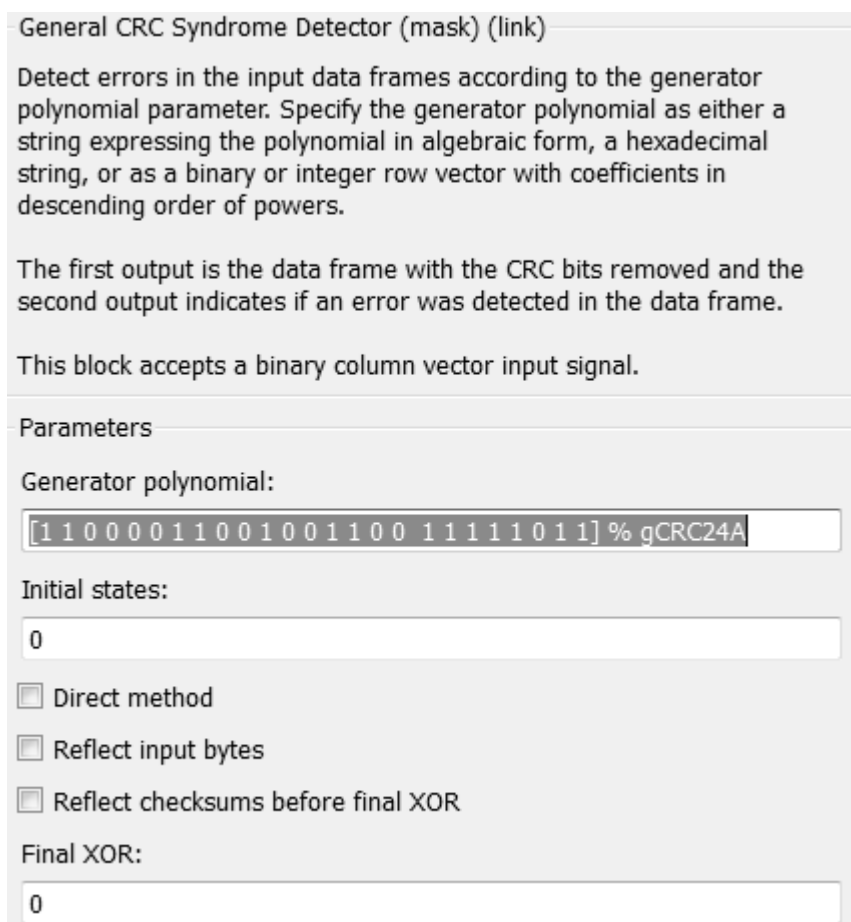


Рис. 166. Характеристики декодера CRC

После декодирования производится преобразование параллельных потоков в один исходный поток:

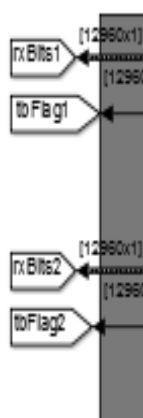


Рис. 167. Получение исходного потока

Данная схема позволяет формировать характеристики передачи данных по этому каналу, а именно это ширина спектра, количество антенн в MIMO, вид модуляции, отношение сигнал/шум:

Model Parameters (mask)  
Specifies model parameters for a simulation run.

Parameters

Channel bandwidth (MHz) : 10

Control region (number of OFDM symbols per subframe):  
2

Antenna configuration: 2x2

PDSCH modulation type: 16QAM

Target coding rate:  
1/2

Fading channel model: EPA 0Hz

SNR (dB):  
12.1

Enable PMI feedback

Maximum decoding iterations:  
8

Disable transport-block level early termination

Рис. 168. Характеристики канала

В результате работы схемы можно получить некоторые зависимости:

1. Спектр передаваемого и принятого сигнала.
2. Диаграмму созвездий передаваемого и принятого сигнала (для каждой из антенн MIMO).
3. Итерации декодера в зависимости от времени и кодовых слов для каждого параллельного потока.

Также можно построить зависимость битовой вероятности ошибки при заданном отношении сигнал/шум каждого параллельного потока отдельно, меняя значения отношения сигнал/шум.

	BLER	CBER	PBER	
	0	0	0.1125	CW#1
	0	0	0.05844	CW#2

Error Rates Display

Рис. 169. Информация о битовой вероятности ошибки параллельных потоков

В качестве примера зададим следующие характеристики передачи данных:

- Ширина спектра - 10 МГц.
- Количество антенн ММО – 4x4.
- Модуляция – QPSK.
- Отношение сигнал/шум – 1 дБ.

**Model Parameters (mask)**  
Specifies model parameters for a simulation run.

**Parameters**

Channel bandwidth (MHz) : 10

Control region (number of OFDM symbols per subframe):  
2

Antenna configuration: 4x4

PDSCH modulation type: QPSK

Target coding rate:  
1/2

Fading channel model: EPA 0Hz

SNR (dB):  
1

Enable PMI feedback

Maximum decoding iterations:  
8

Рис. 170. Характеристики передачи данных

В результате получим следующие зависимости:

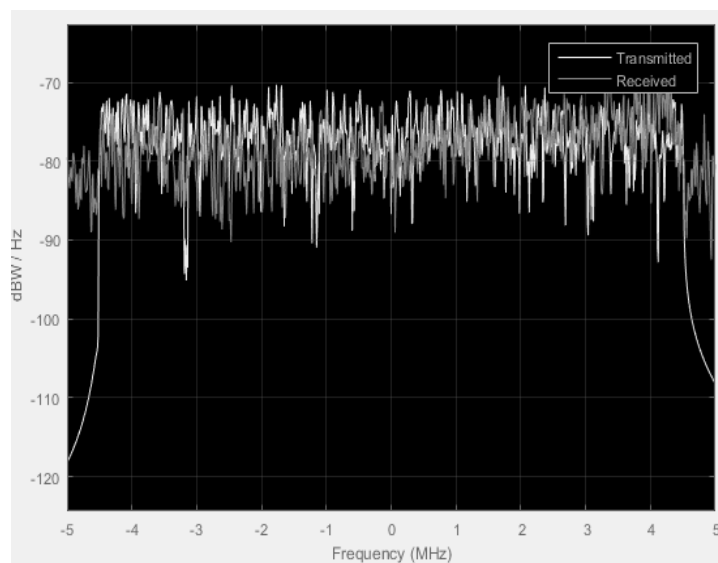


Рис. 171. Спектр входного (желтым) и выходного (синим) сигналов

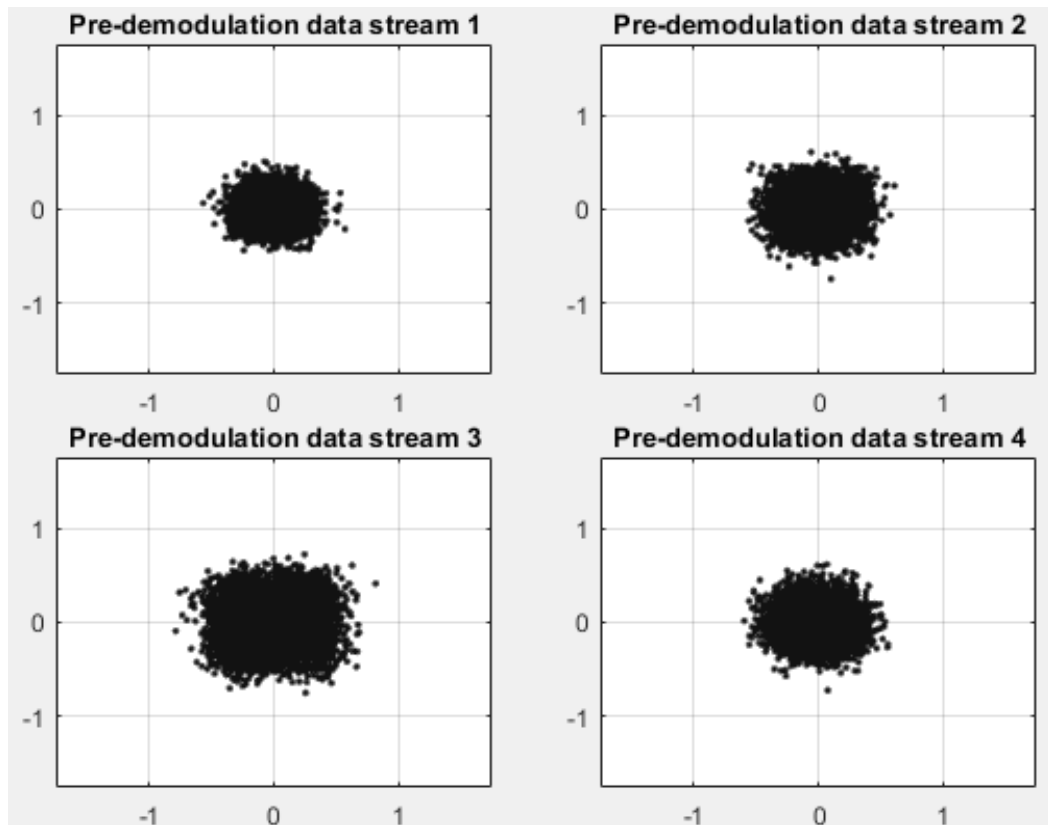


Рис. 172. Диаграмма созвездий переданного сигнала для каждой из антенн ММО

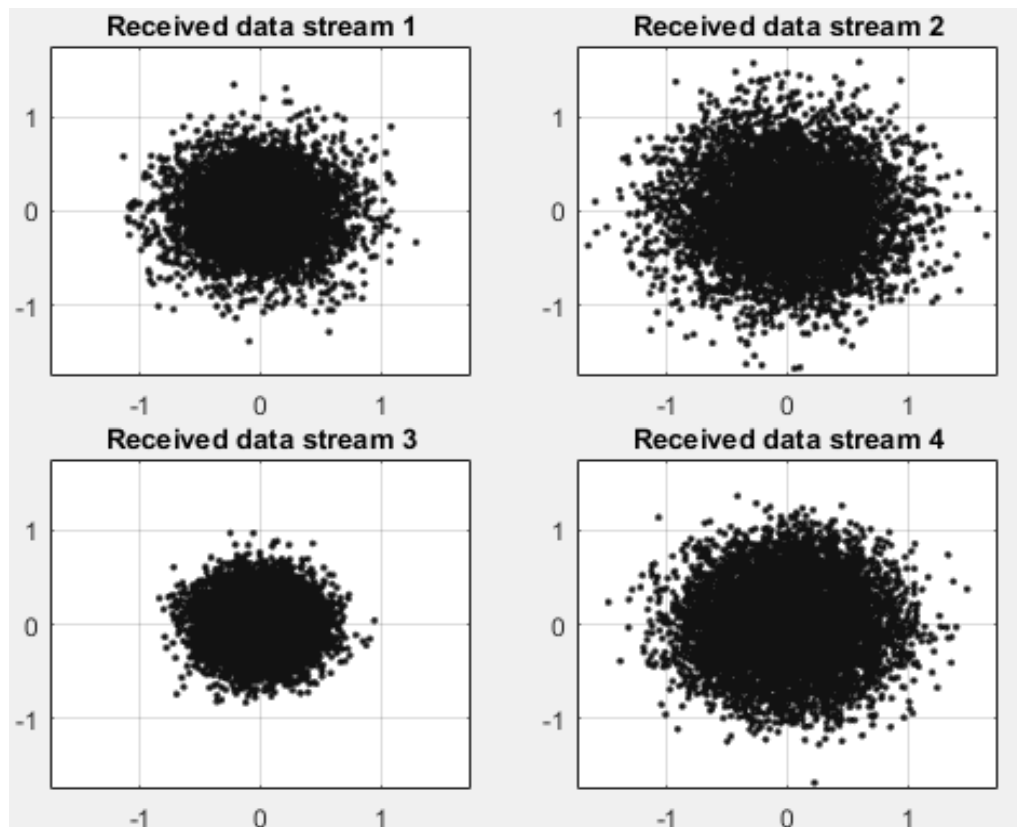


Рис. 173. Диаграмма созвездий принятого сигнала для каждой из антенн ММО

На основании полученных значений, построим зависимость.

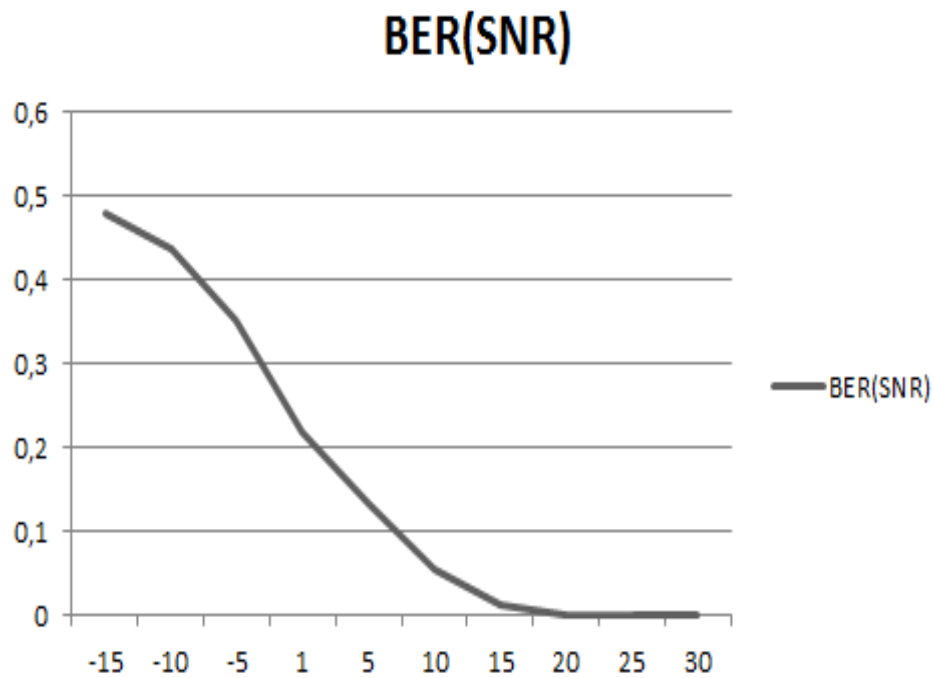


Рис. 174. Зависимость битовой вероятности ошибки от отношения сигнал/шум для первого потока

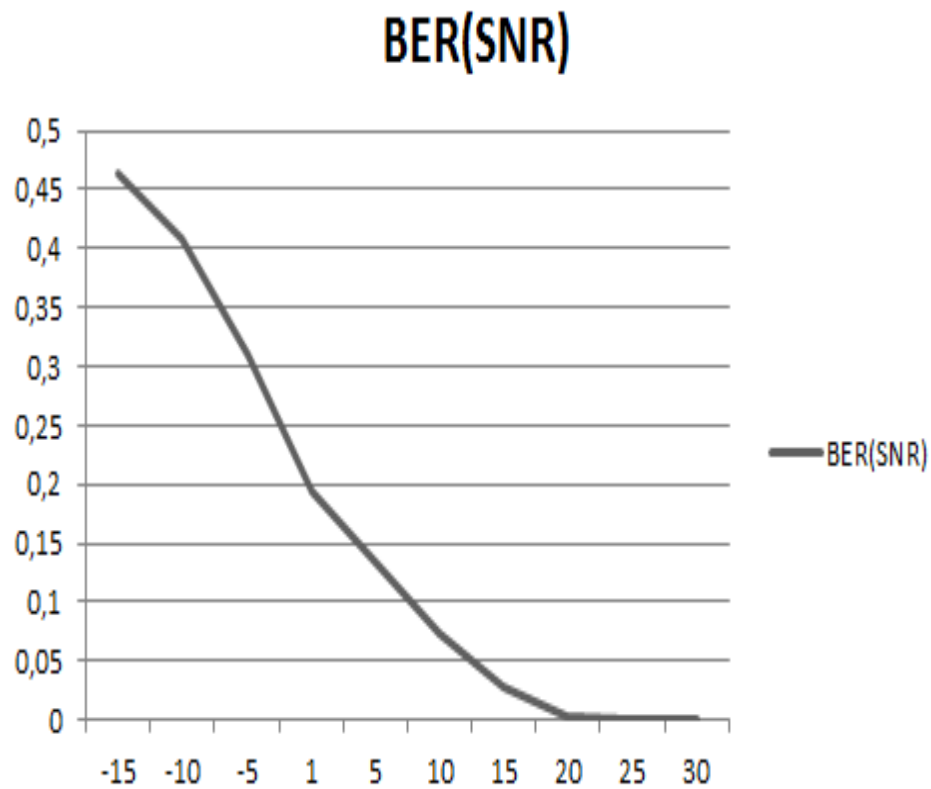


Рис. 175. Зависимость битовой вероятности ошибки от отношения сигнал/шум для второго потока

В качестве еще одного примера зададим следующие характеристики передачи данных:

- Ширина спектра - 10 МГц.
- Количество антенн ММО – 2x2.
- Модуляция – QPSK.
- Отношение сигнал/шум – 1 дБ.

Model Parameters (mask)  
Specifies model parameters for a simulation run.

Parameters

Channel bandwidth (MHz) : 10

Control region (number of OFDM symbols per subframe):  
2

Antenna configuration: 2x2

PDSCH modulation type: QPSK

Target coding rate:  
1/2

Fading channel model: EPA 0Hz

SNR (dB):  
1

Enable PMI feedback

Maximum decoding iterations:  
8

Disable transport-block level early termination

Рис. 176. Характеристики передачи данных

В результате получим следующие зависимости:

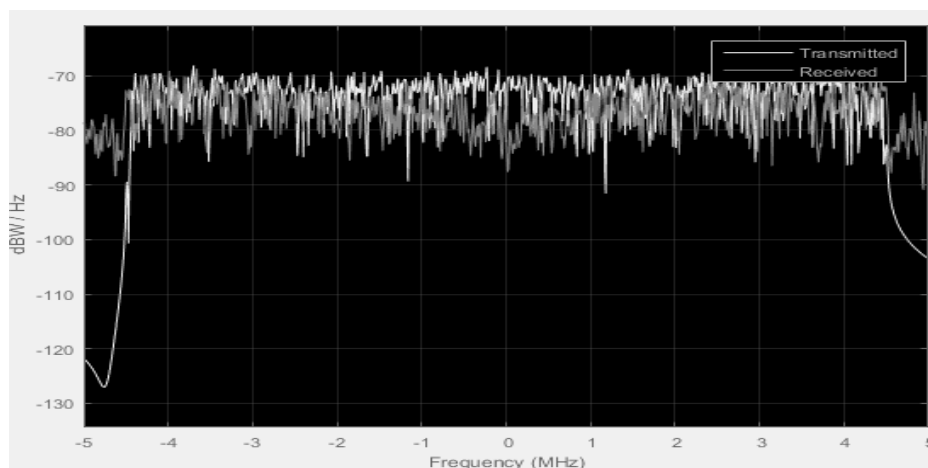


Рис. 177. Спектр входного и выходного сигналов

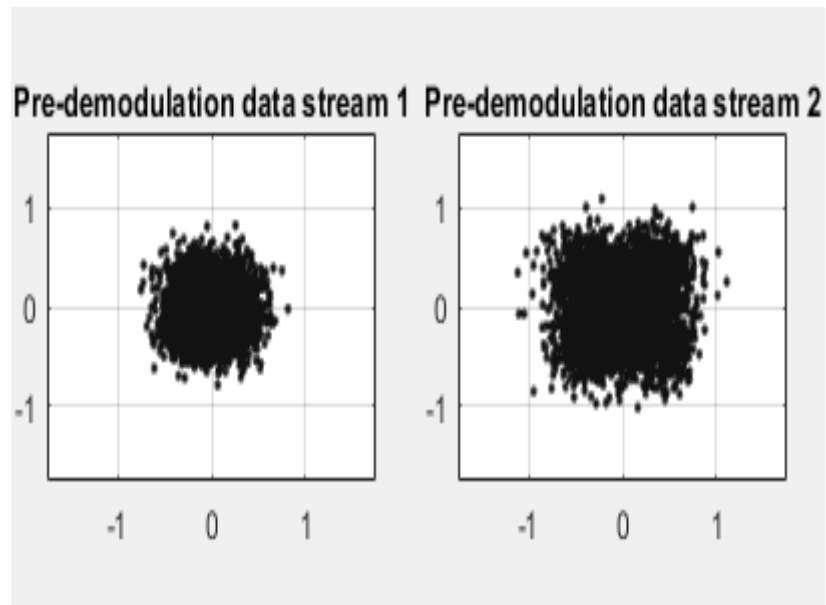


Рис. 178. Диаграмма созвездий переданного сигнала для каждой из антенн ММО

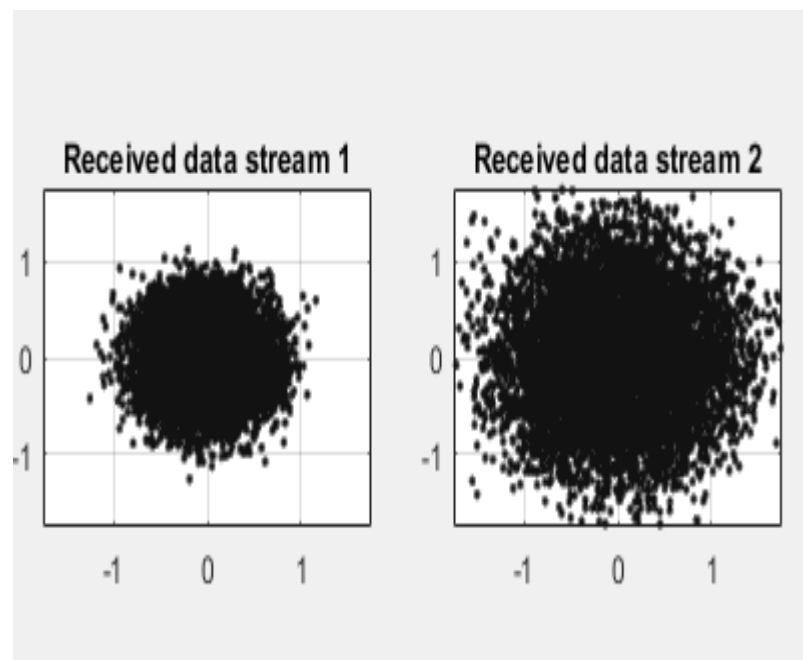


Рис. 179. Диаграмма созвездий принятого сигнала для каждой из антенн ММО

Изменим отношение сигнал/шум – -15, -10, -5, 1, 5, 10, 15, 20, 25 и 30 дБ и построим зависимость битовой вероятности ошибки от отношения сигнал/шум для десяти точек для обоих параллельных потоков

На основании полученных значений, построим зависимость.

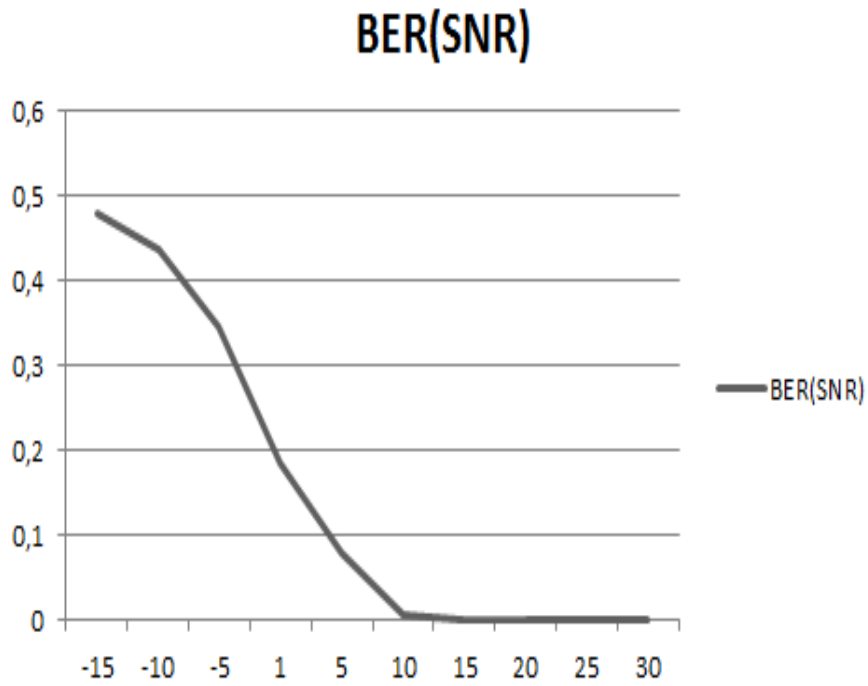


Рис. 180. Зависимость битовой вероятности ошибки от отношения сигнал/шум для первого потока

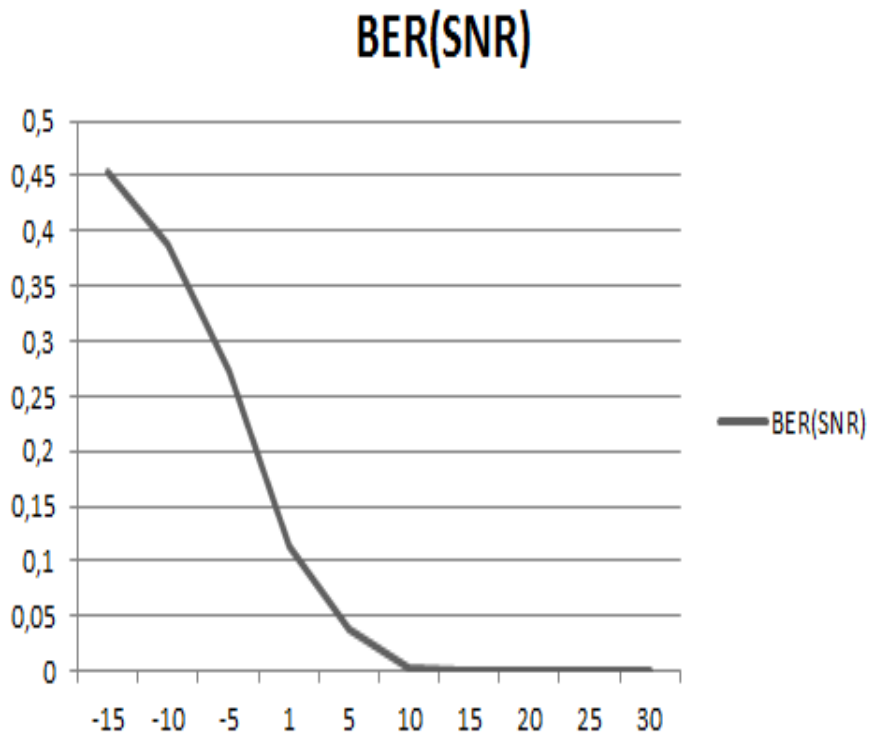


Рис. 181. Зависимость битовой вероятности ошибки от отношения сигнал/шум для второго потока

## Методика и проведение исследования канала Downlink.

### Запустить Matlab 15 от имени администратора (обязательно).

В результате запуска на экране монитора появится следующее окно:

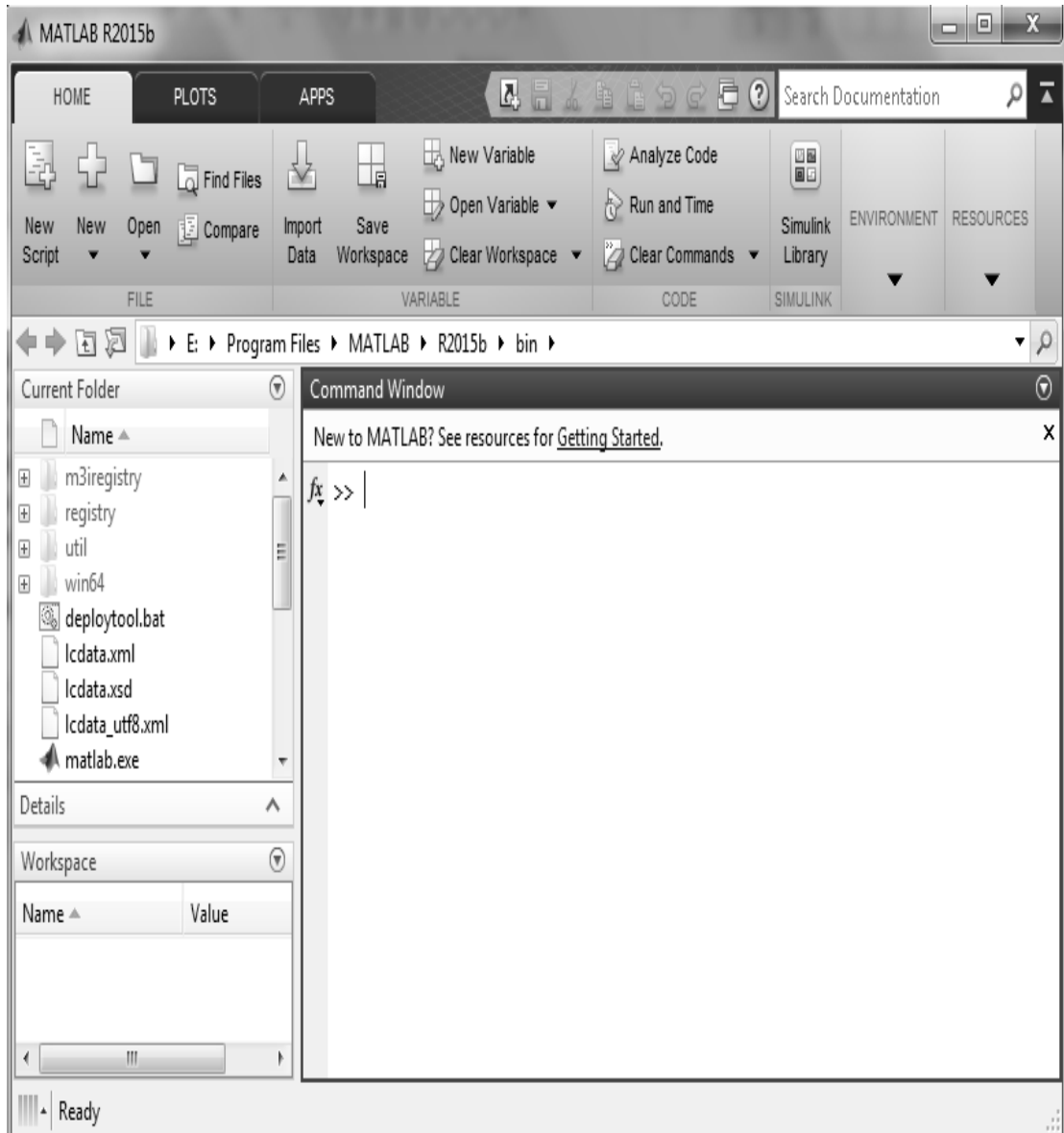


Рис. 182. Диалоговое окно Matlab

1. В командной строке программы прописать: `cd ../` (при пропуске данного пункта могут возникнуть проблемы при компиляции).
2. В командной строке программы прописать `LTEDownlinkExample`, в результате откроется окно со схемой в программе, которое имеет следующий вид:

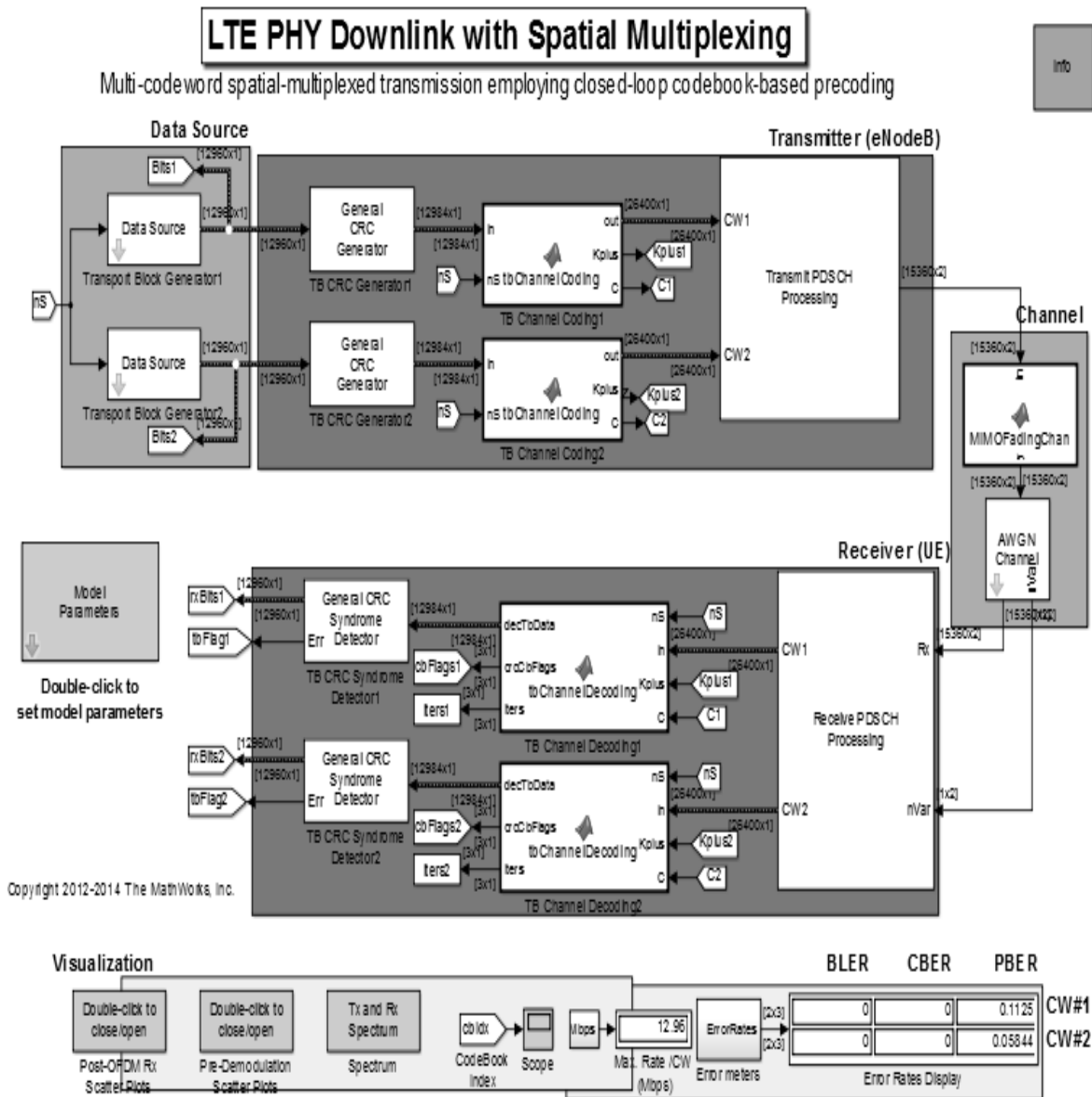


Рис. 182. Схема канала Downlink

3. Задать следующие характеристики передачи данных:

- Модуляция – QAM-16.
- Количество антенн MIMO 2x2.
- Ширина спектра – 10 МГц.

4. Изменять отношение сигнал/шум – -15, -10, -5, 1, 5, 10, 15, 20, 25, 30 дБ (SNR)

и на каждом его значении фиксировать в отчете выходные зависимости, а именно спектр переданного и принятого сигналов, диаграммы созвездий на каждой из антенн MIMO для переданного и принятого сигналов, итерации декодера в зависимости от времени и кодовых слов первого потока и второго потока. Так же на каждом шаге фиксировать значение битовой вероятности ошибки (BER) обоих параллельных потоков. И после окончания исследования построить зависимости BER от SNR обоих параллельных потоков.

## 5. Содержание отчета

- Титульный лист.
- Цель работы.
- Теория канала Downlink.
- Исследуемая схема канала Downlink.
- Результаты работы по пунктам 6 и 7.
- Заключение.

В результате выполнения в разделе были выполнены следующие мероприятия:

## 1. Проведен теоритический анализ стандарта мобильной связи стандарта LTE.

Проведен анализ сравнения данного стандарта с уже устаревающими стандартами на данный момент – UMTS (3G) и GSM (2G). Также было проведено аналитическое исследование физических каналов стандарта – Downlink (от БС к МС) и Uplink (от МС к БС), а также логические и транспортные каналы. Приведены обобщенные схемы формирования данных каналов.

## 2. Путем проведения компьютерной симуляции, была проверена достоверность теоритического исследования. В программе Matlab 15 были собрана схема канала Downlink.

3. С помощью компьютерной симуляции были получены различного рода зависимости при передаче информации по каналу. Самая важная из них это зависимость битовой вероятности ошибки от отношения сигнал/шум. В результате получились следующие значения:

Таблица 11. Зависимость BER от SNR при MIMO 4x4

<b>сигнал/шум (дБ)</b>	<b>1 поток (BER)</b>	<b>2 поток (BER)</b>
<b>-15</b>	0,4766	0,4537
<b>-10</b>	0,4347	0,3876
<b>-5</b>	0,3456	0,2729
<b>1</b>	0,1836	0,114
<b>5</b>	0,0774	0,039
<b>10</b>	0,0076	0,0027

15	0,000001	0,000002
20	0	0
25	0	0
30	0	0

Таблица 12. Зависимость BER от SNR при MIMO 2x2

сигнал/шум (дБ)	1 поток (BER)	2 поток (BER)
-15	0,4772	0,4645
-10	0,4354	0,4073
-5	0,3512	0,3096
1	0,2178	0,1933
5	0,1347	0,1345
10	0,056	0,074
15	0,0137	<b>0,0282</b>
20	0,0003	0,0037
25	0	0,000003
30	0	0

4. Анализируя полученные значения таблицы 3, можно сделать следующий вывод, что при увеличении отношения сигнал/шум, битовая вероятность ошибки стремится к нулю быстрее в MIMO 4x4, нежели в MIMO 2x2. Таким образом, использование большего числа приемно-передающих антенн, дает меньшие ошибки.

5. Была написана методика исследования канала Downlink.

6. Также я познакомился с различным программным обеспечением, для построения различного вида схем.

Подводя итог своего курсового проекта, можно сказать следующее, то, что я сделал, является основополагающим делом к дальнейшим, более трудным вещам. Курсовой проект был весьма увлекательным и полезным. С поставленными целями справился успешно.

## **8. Имитационное моделирование системы цифрового наземного телевизионного вещания DVB-T**

Объектом исследования является система цифрового телевидения на базе стандарта DVB-T. Цель лабораторной работы – закрепленных знаний полученных при изучении дисциплины «Основы проектирования защищенных телекоммуникационных систем».

Задача лабораторной работы – исследование основных характеристик системы цифрового наземного телевидения стандарта DVB-T.

В 1993 году группа ведущих европейских компаний-производителей вещательного оборудования образовала некоммерческую организацию по разработке стандартов цифрового телевизионного вещания, получившую название DVB Project.

Для каждой транспортной среды был разработан стандарт обработки и передачи транспортно потока, учитывающий ее специфику и в то же время максимально инфицированный со смежными стандартами. Для упрощения взаимного обмена программами выбраны такие параметры обработки, чтобы пропускная способность и число передаваемых ТВ программ во всех случаях оставались бы примерно одинаковыми. Документ для спутникового вещания получил сокращенное наименование DVB-S, для сетей кабельного телевидения - DVB-C, для наземного (эфирного) телевидения DVB-T.

### **Концепция стандарта DVB-T.**

Одним из первых решений данной организации было решение принять за основу всех разработок стандарт цифрового сжатия MPEG-2. Однако, данный стандарт не охватывает передачу цифрового сигнала по каналам связи и его необходимо дополнить документами, регламентирующими обработку сигнала перед подачей в канал.

Второе важное решение – использование общего MPEG-2 мультиплекса во всех средах распространения и максимальная унификация методов помехоустойчивого кодирования и модуляции. Во всех случаях используется код Рида-Соломона с единым размером блока, и в тех случаях где это необходимо, - сверточный код с единым набором относительных скоростей. Очень важна для широкого круга концепция «контейнера данных» - создание универсального цифрового канала, переносящего видео, аудио, данные пользователя в любых пропорциях и с высокими показателями качества обслуживания.

Передаваемая информация в системе DVB-T представляет собой пакеты транспортного потока MPEG-2. Для рассматриваемой системы содержание контейнера не имеет значение, она лишь приспособливает данные транспортного мультиплекса MPEG-2 к свойствам и характеристикам канала передачи наземного телевизионного вещания, стремясь наиболее эффективно донести их приемнику. Иными словами, стандарт DVB-T определяет только структуру передаваемого потока данных, систему канального кодирования и модуляции.

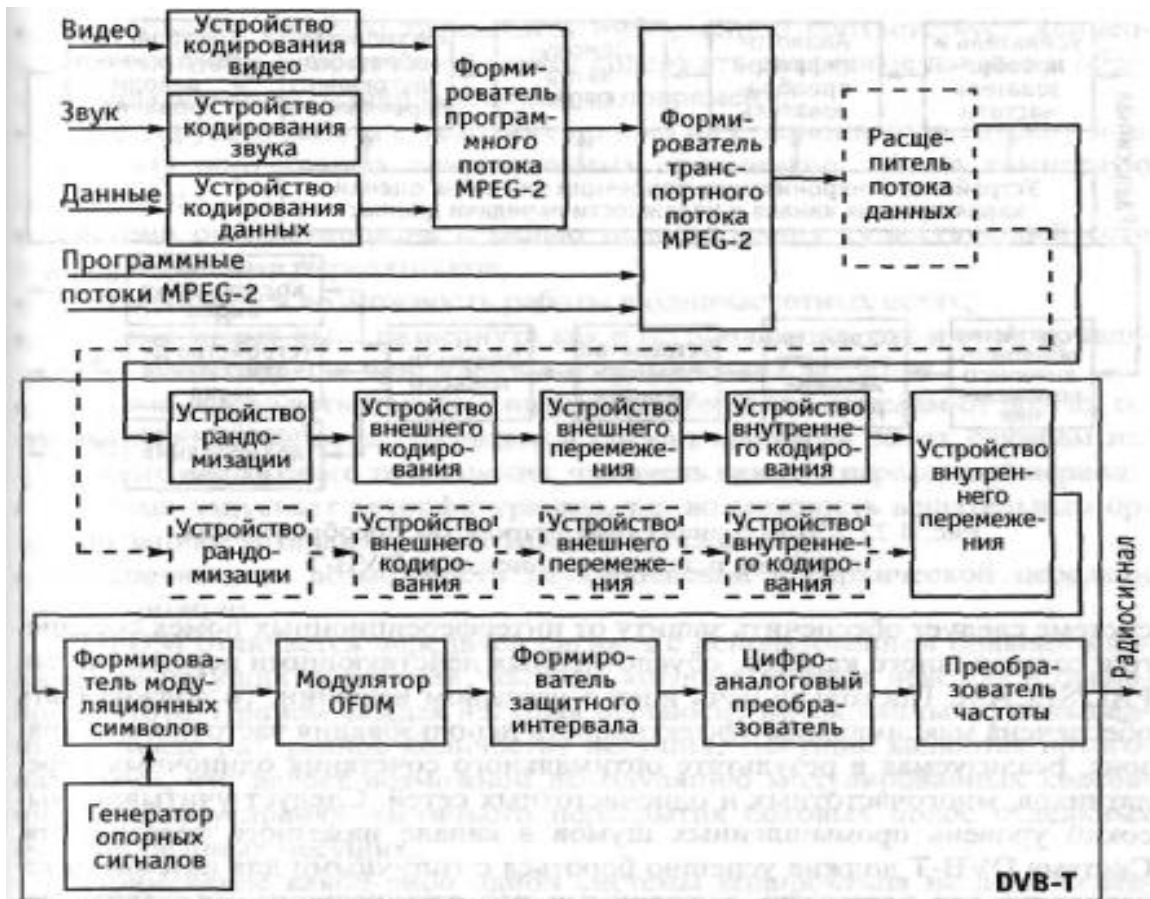


Рис. 183. Структурная схема передатчика системы DVB-T

На приемной стороне выполняются операции, обратные операциям производимым в приемнике.



Рис. 184. Структурная схема приемника системы DVB-T

**Обработка данных и сигналов в системе DVB-T.**

**Адаптация транспортных пакетов MPEG-2 в системе DVB-T.**

### Рандомизация.

Адаптация транспортных пакетов MPEG-2 в исследуемой системе осуществляется путем включения в общий поток информационных 187 байт одного байта синхронизации.



Рис. 185. Адаптация транспортных пакетов в системе MPEG-2

Рандомизация данных является первой операцией, выполняемой в системе DVB-T. Ее цель – превратить цифровой сигнал в квазислучайный и тем самым решить две важные задачи. Первая – обеспечение возможности выделения из него тактовых импульсов (самосинхронизация). Вторая – приведение более равномерного энергетического спектра излучаемого радиосигнала. Рандомизация осуществляется путем сложения по модулю 2, то есть посредством логической операции «исключающее ИЛИ» цифрового потока данных и двоичной псевдослучайной последовательности.

### Внешнее кодирование и перемежение.

Как было отмечено выше, в системе внешнего кодирования для защиты всех 188 байт транспортного пакета (включая байт синхронизации) используется код Рида-Соломона (204, 188). В процессе кодирования к этим 188 байтам добавляется 16 проверочных байт. Стоит отметить, что при декодировании на приемной стороне это позволяет исправлять до восьми ошибочных байт в пределах каждого кодового слова длиной 204 байта.

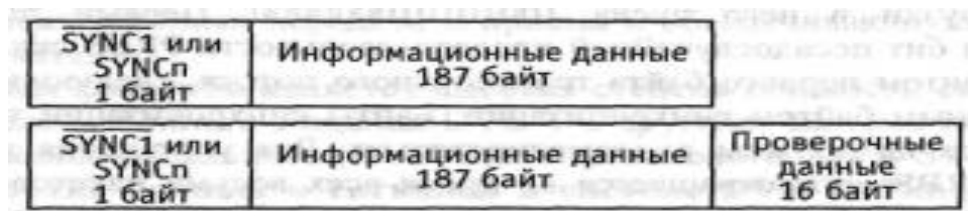


Рис. 186. Структурная схема устройства рандомизации данных

Внешнее перемежение осуществляется путем изменения порядка следования байт в пакетах, защищенных от ошибок. В соответствии со схемой представленной на слайде перемежение выполняется путем последовательного циклического подключения источника и получателя данных к двенадцати ветвям, причем за одно подключение в ветвь

направляется и снимается 1 байт данных. В одиннадцати ветвях включены регистры сдвига, содержащие разное количество ячеек и создающие увеличивающиеся от ветви к задержку. Первый же синхробайт поступает в 0 ветвь, которая не содержит задержки, что не создает проблем синхронизации.

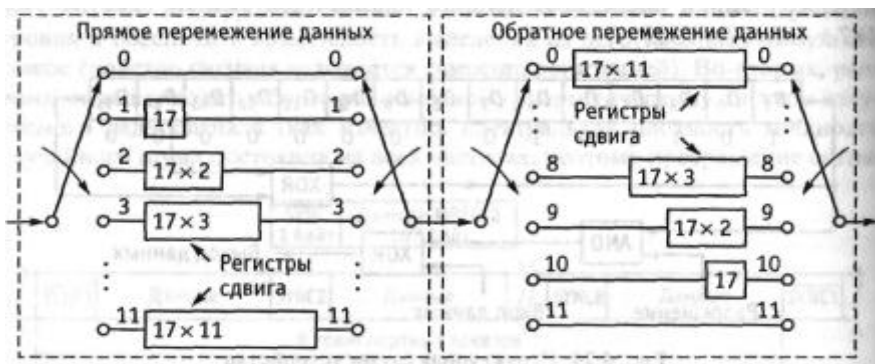


Рис. 187. Функциональная схема внутреннего перемежителя данных

### Внутреннее кодирование.

Функциональная и структурная схема кодера/декодера сверточного кода используемого в системе DVB-T может быть представлена в следующем виде:

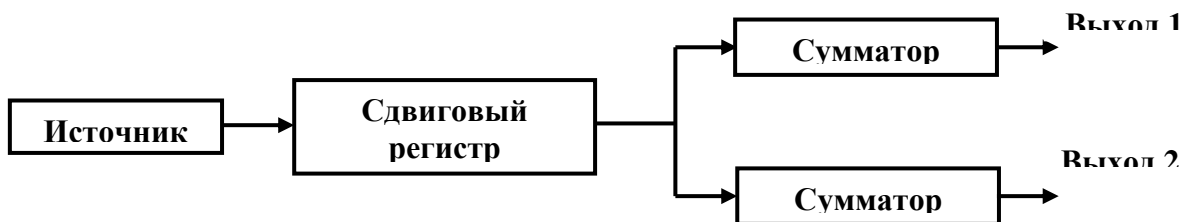


Рис. 188. Структурная схема сверточного кодера

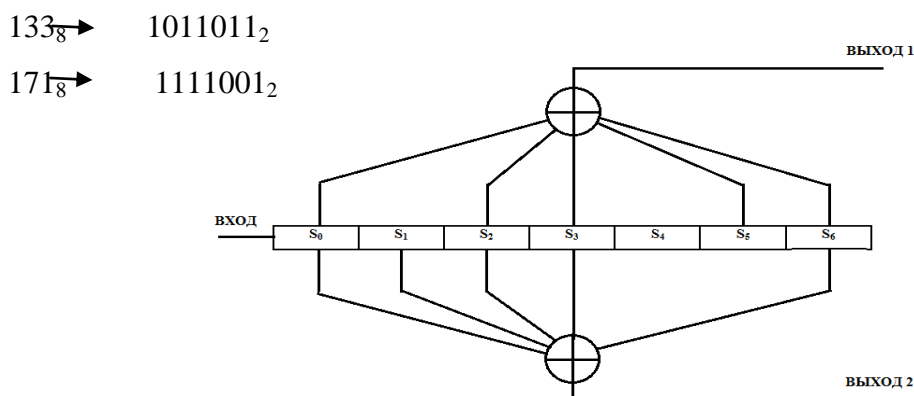


Рис. 189. Функциональная схема сверточного кодера 133,171

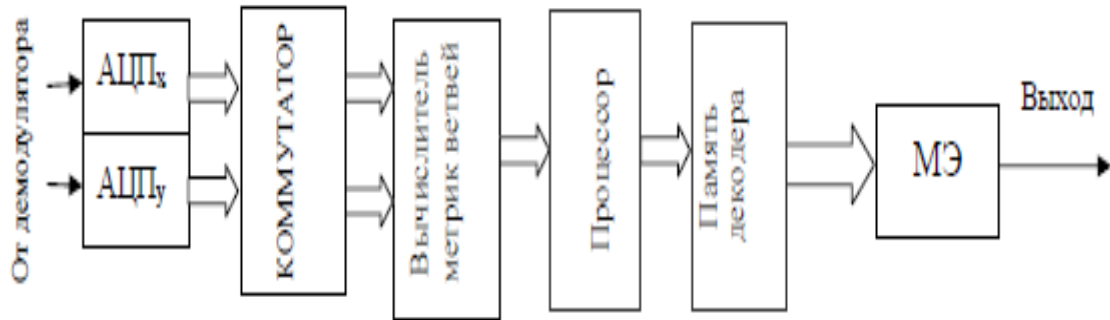


Рис. 190. Структурная схема декодера Витерби

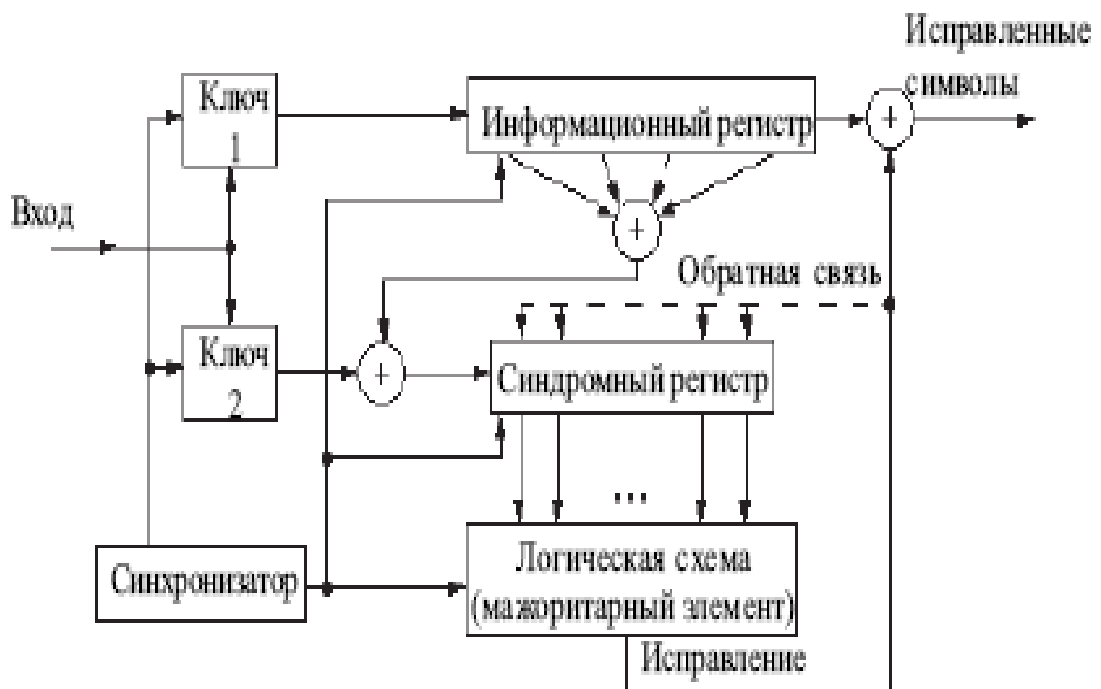


Рис. 191. Функциональная схема декодера Витерби

### Внутреннее перемежение.

Как показано на слайде внутреннее перемежение осуществляется в два этапа. На первом этапе цифровой поток с выхода сверточного кодера разделяется на  $m$  парциальных потоков. Каждый из потоков делится на блоки длиной 126 битов и поступает на отдельный блоковый перемежитель битов с поразрядным перемежением. Функция перемежения представлена на слайде.

Выходные потоки перемежителей группируются по одному биту с каждого выхода, образуя  $m$ -битовые кодовые слова, поступающие на вход символьного перемежителя.

$$\begin{aligned}
 H_0(w) &= w; \\
 H_1(w) &= (w + 63) \bmod 126; \\
 H_2(w) &= (w + 105) \bmod 126; \\
 H_3(w) &= (w + 42) \bmod 126; \\
 H_4(w) &= (w + 21) \bmod 126; \\
 H_5(w) &= (w + 84) \bmod 126 /
 \end{aligned}$$

Рис. 200. Функция битового перемежения для QAM-64

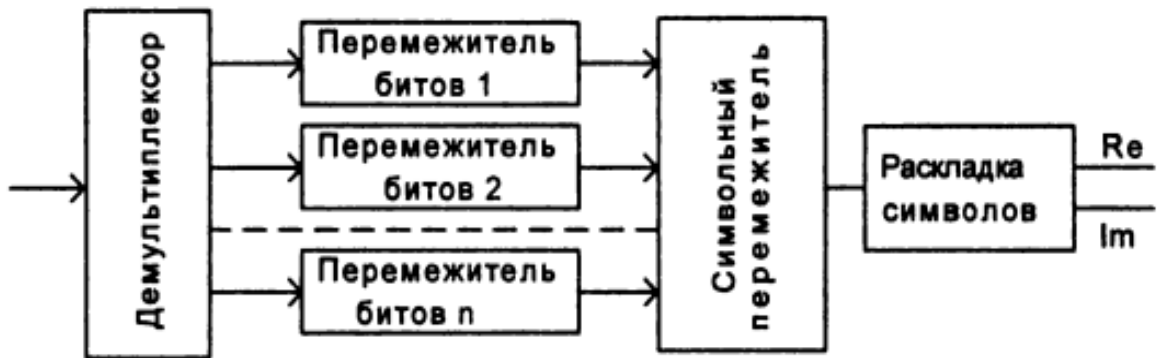


Рис. 201. Структурная схема внутреннего перемежителя системы DVB-T

### Модуляция в системе DVB-T.

В системе цифрового наземного телевизионного вещания используются следующие виды модуляции: QPSK, QAM-16 и QAM-64. Диаграммы созвездий проиллюстрированы на рисунке 5.168.

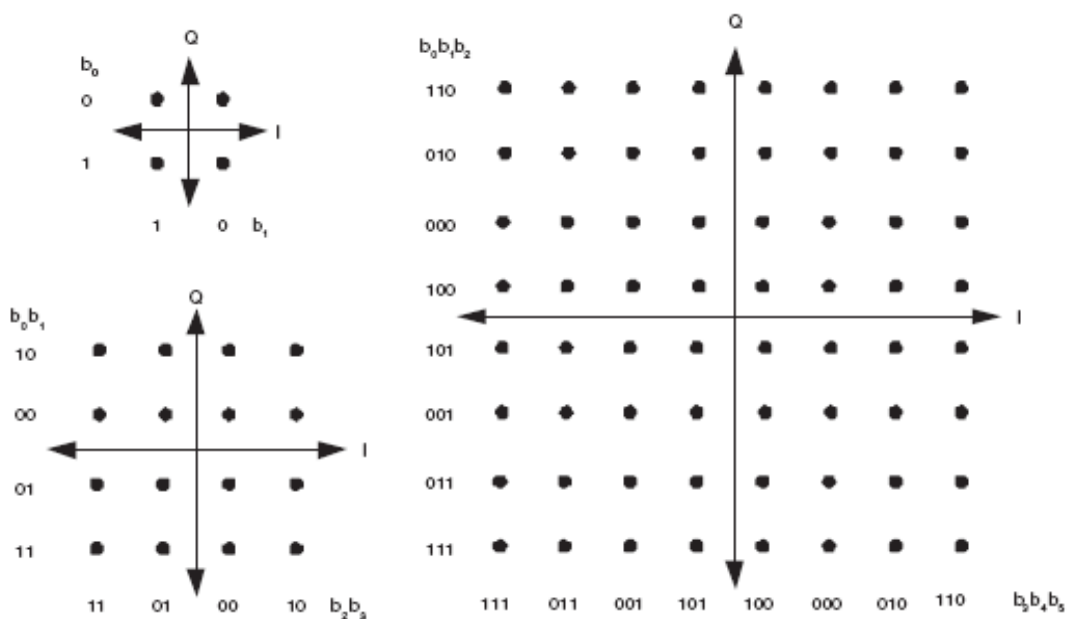


Рис. 202. Виды модуляции используемые в системе DVB-T

С внутреннего перемежителя биты поступают на модулятор QAM-64, затем происходит распределение по поднесущим с добавлением пилот-сигналов. К сформированному спектру применяется операция обратного быстрого преобразования Фурье (IFFT), добавляется циклический префикс. Далее полученный символ передается через канал с шумом и затем производятся обратные операции в приёмнике.

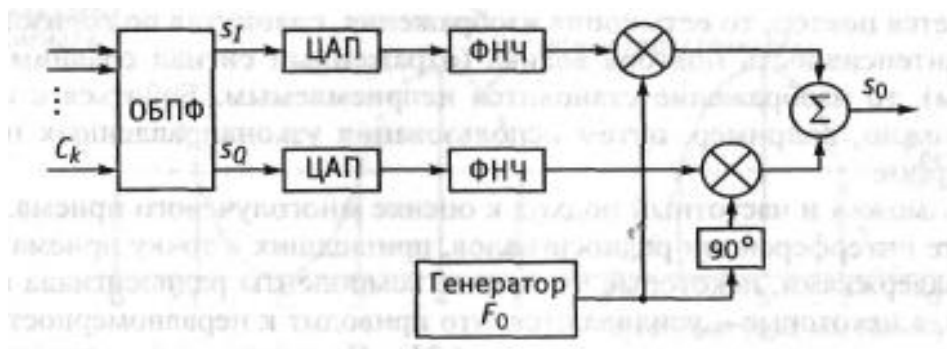


Рис. 203. Структурная схема формирователя OFDM-символа в системе DVB-T

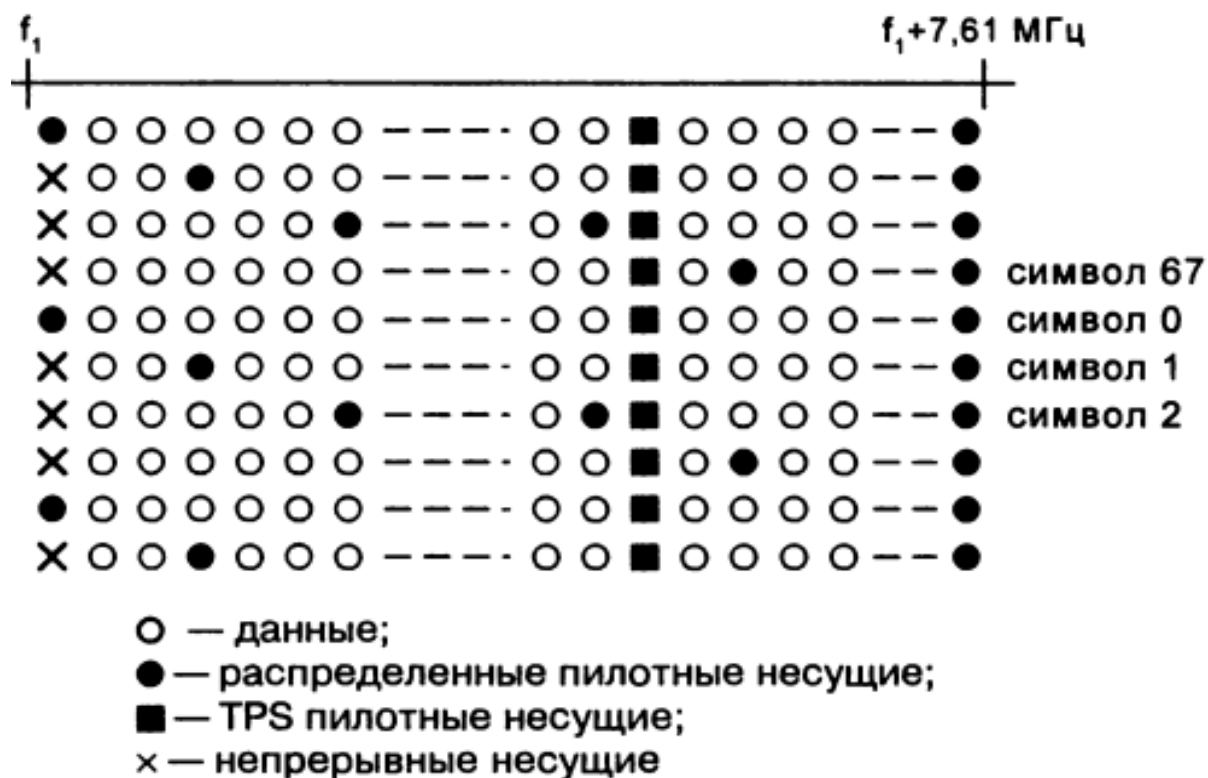


Рис. 204. Структура OFDM-символа в системе DVB-T

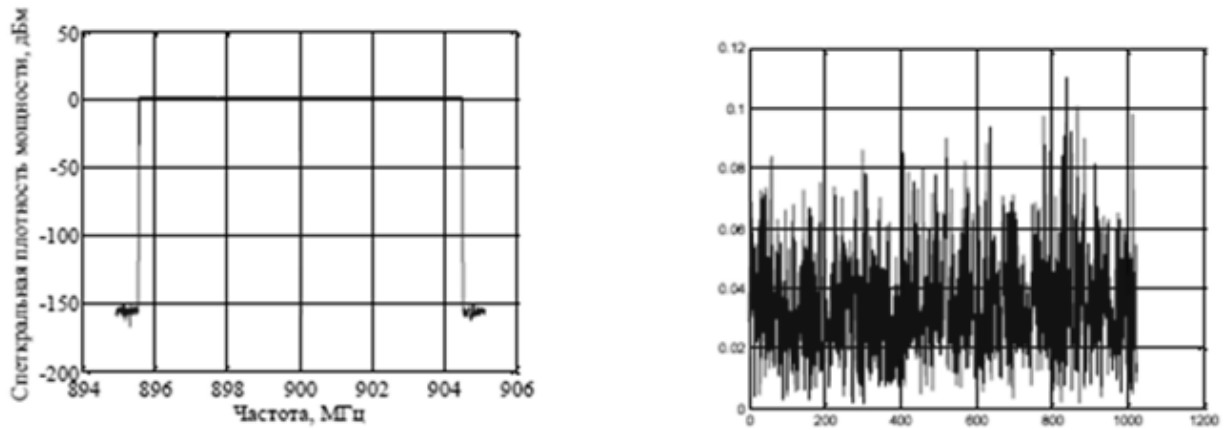


Рис. 205. Спектральное и временное представление OFDM-сигнала

### Практическая часть

В первую очередь была запущена модель системы DVB-T в программе Matlab следующим образом: Matlab – Simulink Library Browser – Open – dvbt.slx.

#### – Simulink

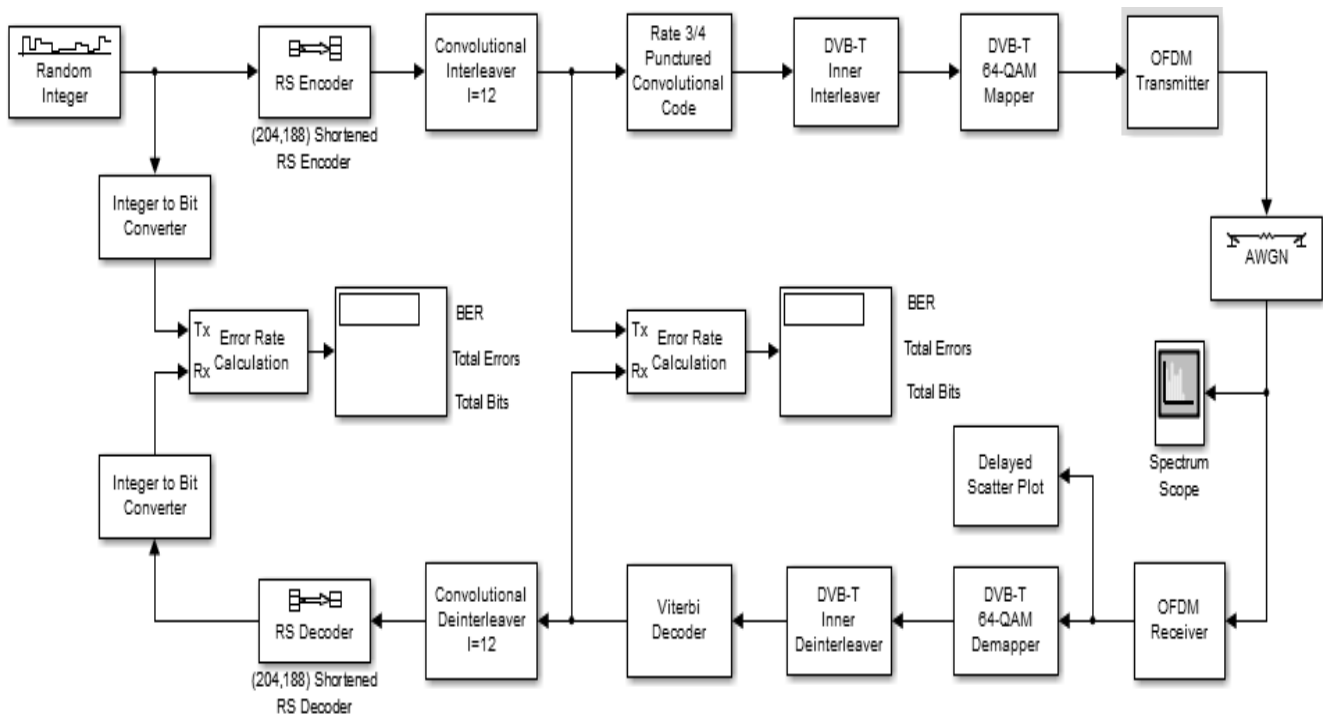


Рис.206. Функциональная схема системы DVB-T реализованная в Matlab

Затем была исследована зависимость битовой вероятности ошибки (BER) от отношения сигнал/шум (SNR), путем изменения параметра SNR в блоке AWGN в диапазоне от 1 дБ до 25 дБ с шагом 4 дБ.

Результаты измерений представлены в таблице 12.

Таблица 12 – Зависимость BER от SNR для системы DVB-T

<b>SNR</b> , дБ	1	5	9	13	17	21	25
<b>BE</b>	0.5	0.4	0.4	0.2	0.0	5x	0
<b>R</b>	9	7	9	016	$10^{-6}$		

На основании данных представленных в таблице 5.1 был построен график зависимости битовой вероятности ошибки от отношения сигнал/шум.

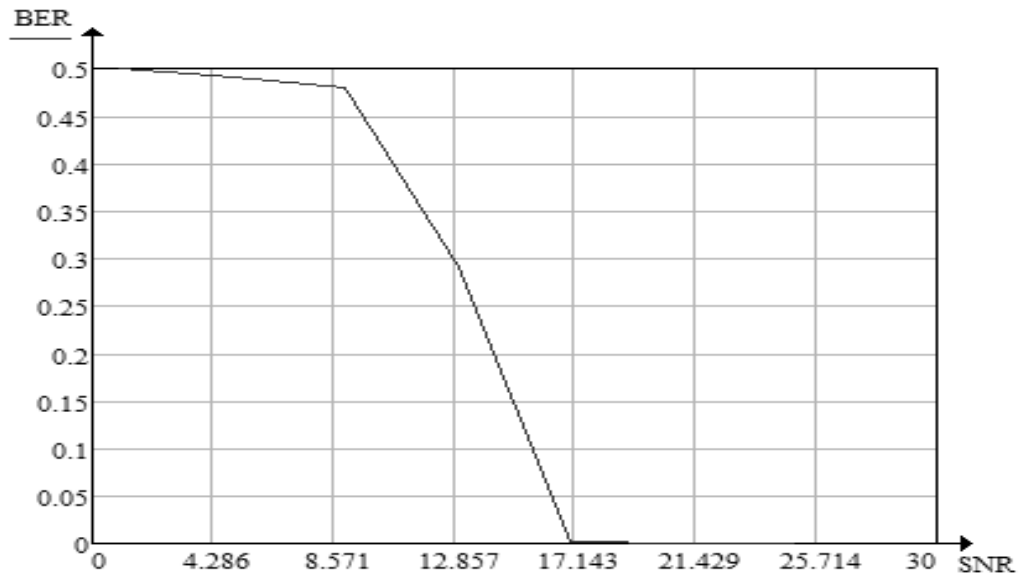


Рис. 207. Зависимость BER от SNR для системы DVB-T при использовании 64-QAM

При исследовании зависимости битовой вероятности битовой ошибки от отношения сигнал/шум рассматриваемой системы телевизионного вещания были сняты изображения спектра передаваемого сигнала и диаграммы созвездий 64-QAM исследуемой системы при SNR равном 1 дБ, 13 дБ и 25 дБ.

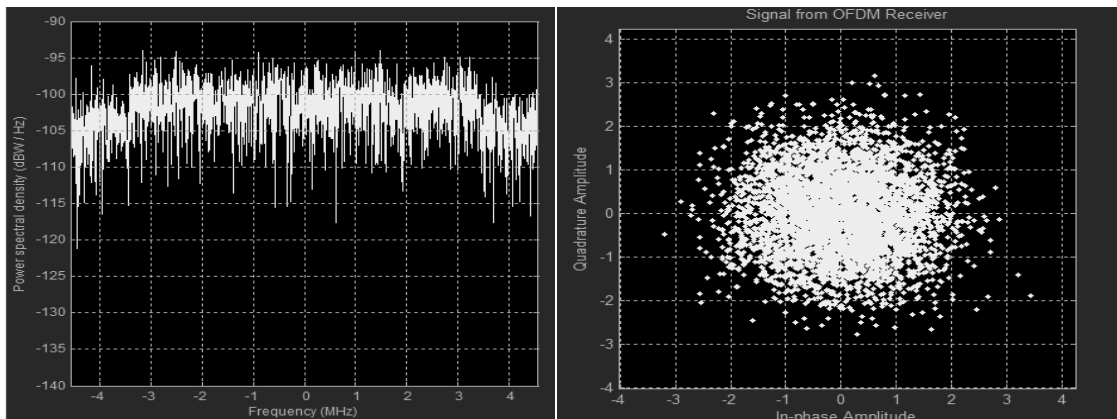


Рис. 208. Спектр OFDM-сигнала и диаграмма созвездий 64-QAM при SNR=1 дБ

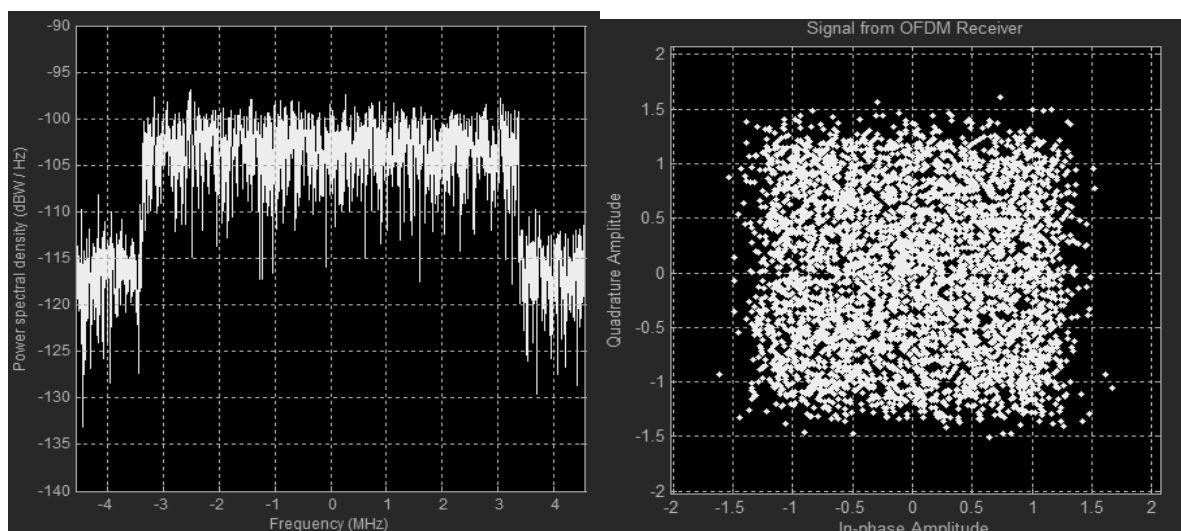


Рис. 209. Спектр OFDM-сигнала и диаграмма созвездий 64-QAM при SNR=13 дБ

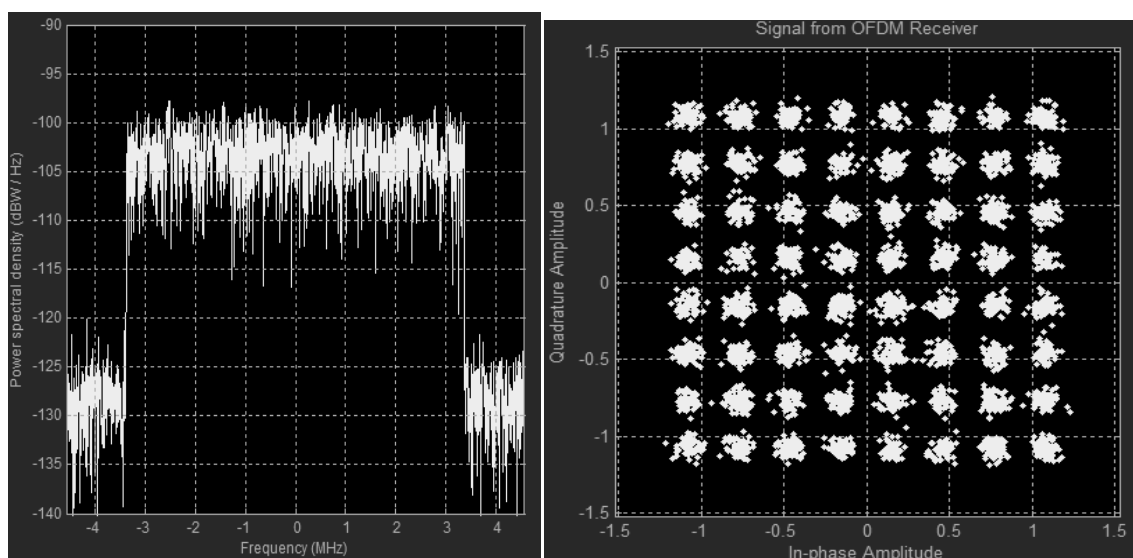


Рис. 210. Спектр OFDM-сигнала и диаграмма созвездий 64-QAM при SNR=25 дБ

В процессе выполнения данной работы были изучены основные теоретические аспекты системы цифрового наземного телевизионного стандарта DVB-T.

При выполнении практической части работы была построена зависимость битовой вероятности ошибки от отношения сигнал/шум, результат представлен в виде графика (рисунок 5.155). Полученная в ходе моделирования зависимость соответствует теоретическим данным.

Вместе с этим, были сняты изображения спектра OFDM-символа и диаграммы созвездий 64-QAM при прохождении сигнала в канале с аддитивным белым гауссовским шумом (АБГШ).

Полученные в результате моделирования данные позволяют сделать вывод о том, что безошибочная передача данных по каналу связи в системе DVB-T возможна при отношении сигнал/шум не менее 17 дБ.

## **9. Имитационное моделирование системы цифрового спутникового телевизионного вещания DVB-S и системы высокоскоростного цифрового спутникового ТВ-вещания DVB-S2**

Методы модуляции и канального кодирования DVB-S используются для первичного и вторичного распределения спутникового цифрового многопрограммного ТВ/ТВЧ в полосах системы стационарной спутниковой связи (FSS — Fixed Satellite Service) и системы спутникового вещания (BSS — Broadcast Satellite Service). Система предназначена для обеспечения сервиса «непосредственно-на-дом» (Direct To Home — DTH) с использованием потребительского интегрированного приемника-декодера (IRD — Integrated Receiver Decoder), а также для систем коллективного приема (SMATV — Satellite Master Antenna Television) и головных станций кабельного телевидения с возможностью повторной модуляции.

В системе применена модуляция QPSK и защита от ошибок на основе свер-точного кода и сокращенного кода Рида-Соломона. Система может быть использована в спутниковых ретрансляторах с различной шириной полосы.

На рис. 5.177 приведена функциональная структурная схема передающей части системы DVB-S. Система непосредственно совместима с телевизионными сигналами, закодированными по стандарту MPEG-2.

Техника помехоустойчивого кодирования, принятая в системе, разработана в целях достижения «квазибезошибочного» (QEF — Quasi-Error-Free) режима работы, при котором возможно возникновение менее одного случая неисправимой ошибки на час передачи, что соответствует уровню ошибки (BER — Bit Error\_Ratio)  $10^{-10}$ - $10^{-11}$  на входе демультимплексора MPEG-2.

При адаптации сигнала к спутниковому каналу связи осуществляются следующие операции:

- адаптация транспортного мультиплексирования с использованием статистического кодирования, аналогичного используемому в системе DVB-T ;
- внешнее кодирование с использованием кода Рида-Соломона RS(204,188,t = 8);
- сверточное перемежение;
- внутреннее кодирование с использованием сверточного кода с выкалыванием;

- 5/6
- система предусматривает сверточное кодирование со скоростями кода  $1/2$ ,  $2/3$ ,  $3/4$ , и  $7/8$ ;
  - формирование сигнала в основной полосе частот;
  - модуляция QPSK.



Рис. 201. Структурная схема передающей части системы DVB-S

DVB-S, принятый еще 1994 году, определяет структуру транспортных пакетов, канальное кодирование и схемы модуляции при передаче по спутниковым каналам сетей непосредственного вещания (DTH). Стандарт DVB-DSNG, появившийся на три года позже, выполняет те же задачи для профессиональных сетей, то есть для сетей передачи сигнала на пункты ретрансляции и спутниковых сетей сбора новостей. Второй стандарт отличается от первого, в основном тем, что рассчитан на более слабые передатчики, не вводящие спутниковый ретранслятор в режим насыщения и поэтому допускающие использование более высоких уровней модуляции – 8PSK и 16QAM.

### Система высокоскоростного цифрового спутникового ТВ-вещания DVB-S2.

DVB-S2 призван покрыть обе эти области, а также должен решить ряд задач, с которыми имеющиеся стандарты справляются плохо.

### Схемы модуляции и способы помехозащитного кодирования.

Новый стандарт предусматривает четыре возможных схемы модуляции.

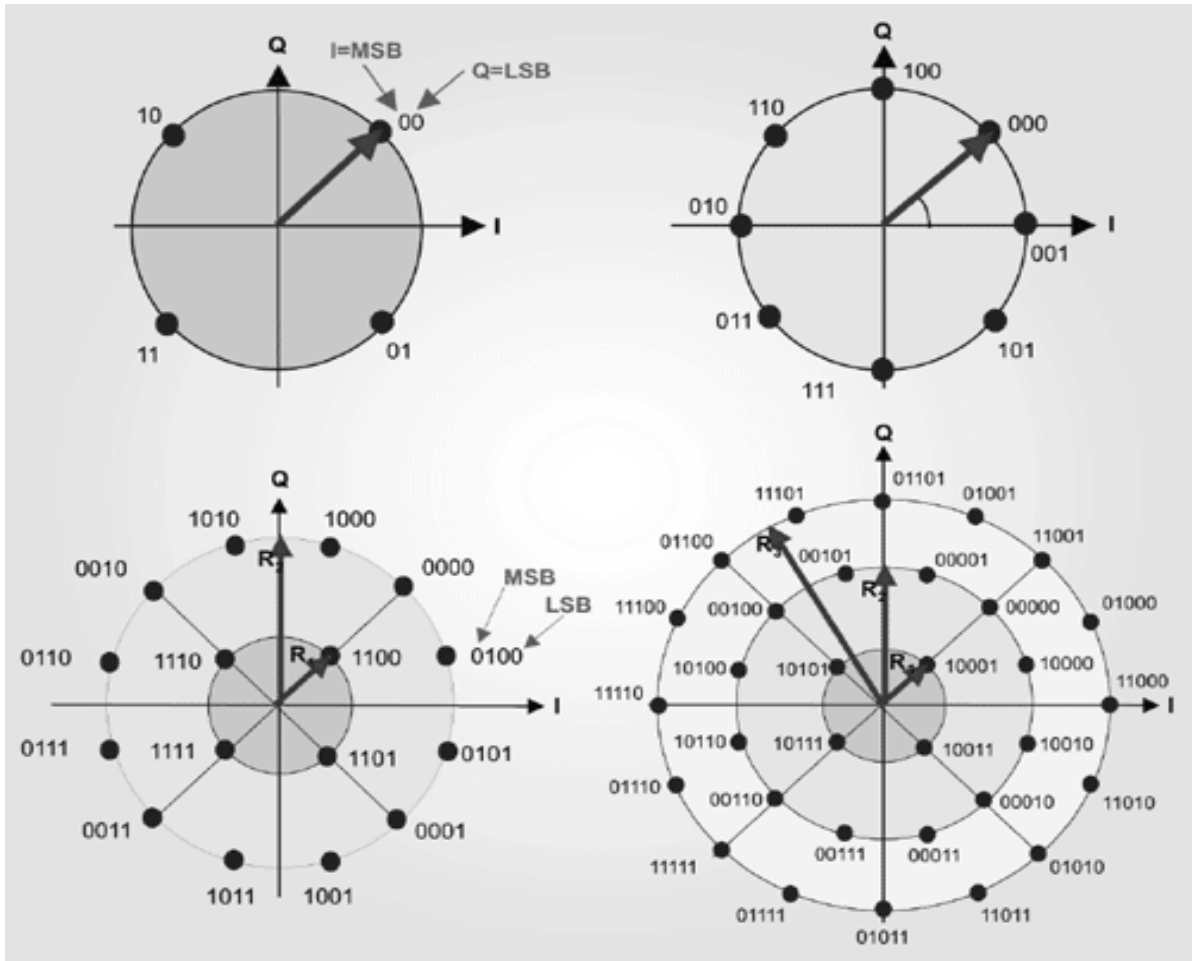


Рис. 202. Четыре схемы модуляции, применяемых в стандарте DVB-S2: QPSK, 8PSK, 16APSK, 32APSK

Первые две, QPSK и 8PSK, предназначены для использования в вещательных сетях. Передатчики транспондеров работают там в режиме, близкому к насыщению, что не позволяет модулировать несущую по амплитуде. Более скоростные схемы модуляции, 16 APSK и 32 APSK, ориентированы на профессиональные сети, где часто используются более слабые наземные передатчики, не вводящие бортовые ретрансляторы в нелинейный режим работы, а на приемной стороне устанавливаются профессиональные конвертеры (LNB), позволяющие с высокой точностью оценить фазу принимаемого сигнала. Эти схемы модуляции можно использовать и в системах вещания, но этом случае каналобразующее оборудование должно поддерживать сложные варианты предсказаний, а на приемной стороне должен быть обеспечен более высокий уровень отношения сигнал/шум.

## Практическая часть индивидуального задания

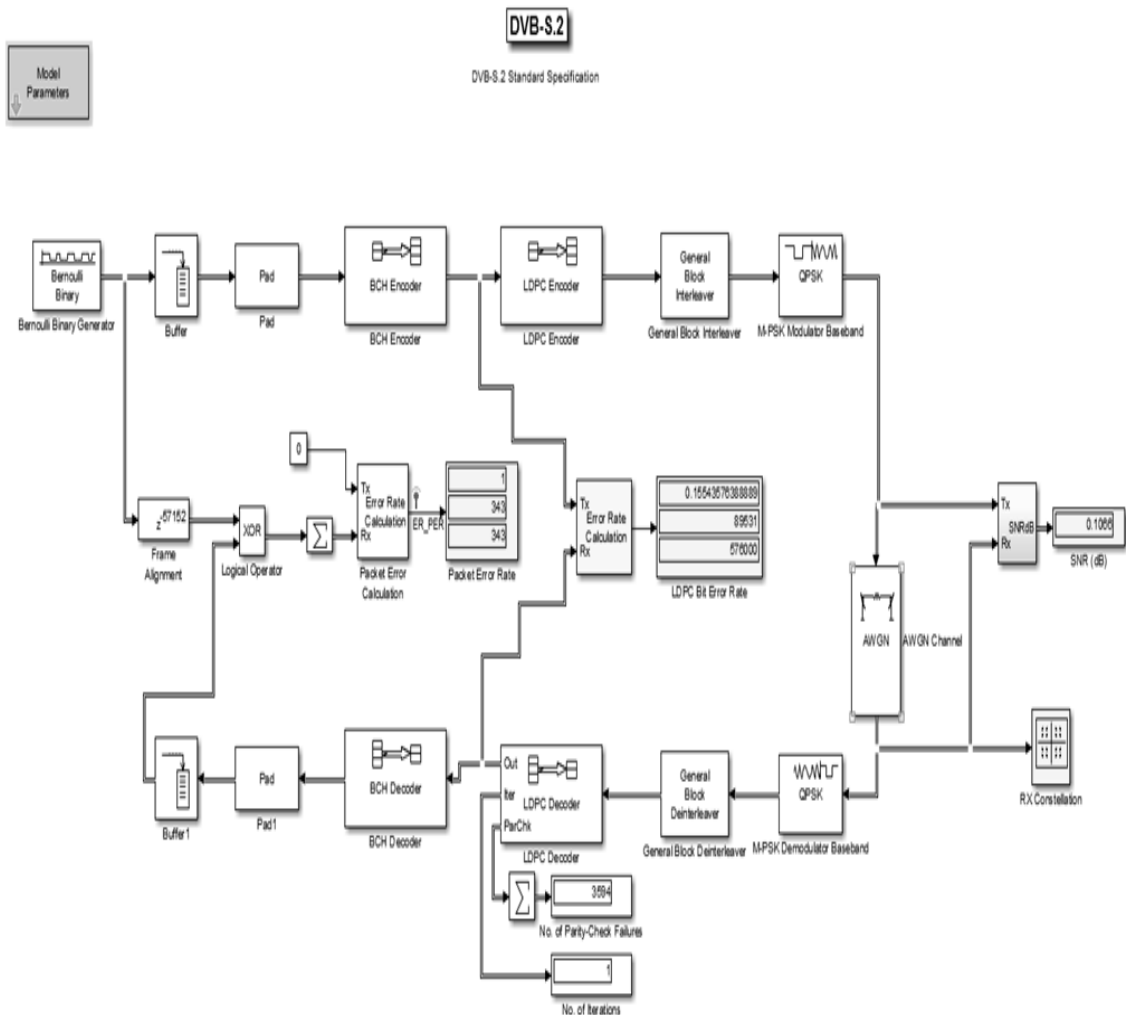


Рис. 203. Структура DVB-S2 в Simulink MATLAB

Структура модема и кодера DVB-S2 состоит из следующих модулей:

1. **Bernoulli sequence generator** - Первый блок отвечает за генерацию сбалансированных, с точки зрения вероятности инцидентов, случайной двоичной последовательности. Последовательность Бернулли распределена нулей и единиц вероятностями  $p$  и  $(1-p)$  соответственно. В этой модели,  $p = 0,5$  в результате равной вероятностью происходит 0 и 1. Выходной сигнал этого блока имеет тот же размер, что и пакет MPEG-TS, который содержит 188 байт по 8 бит, то есть 1504 бита.

2. **BBFRAME buffering/unbuffering**. С выхода генератора пакеты буферизуются, создавая базовый диапазон кадра (BBFRAME). Размер этого кадра зависит от скорости кодирования, чтобы BCH был равен размерам входного сигнала, на входе кодера. Информационные биты (DFL) могут быть рассчитаны по формуле:

$$\text{DataField} = K_{\text{BCH}} - 80$$

Где  $K_{VCH}$  является размер внешнего блока FEC кодер VCH, и размер заголовка равен 80 BBFrame. Структура BBFRAME показана на рисунке 4.

3. VCH encoder/decoder - Одним из DVB-S2 достижений является прямое исправление ошибок, которые развернуты, чтобы уменьшить BER в передаче используется исправление ошибок VCH. Выход BBFrame буферизации блока на стороне отправителя, являются кадры бит, где VCH исправление ошибок с исправлением власти  $t$  будет применяться к ним. Для каждого из 11 скорости кодирования представлены в стандартных значений  $K_{vch}$  и  $n_{MPB}$  определяются в том числе T-коррекции ошибок параметра. В таблицах 1 и 2 эти значения приведены для нормальных и коротких кадров, соответственно.

4. LDPC encoder/coder – Кодирование с проверкой четности. Отношение в скорости показывает, на сколько бит информации сколько приходится бит с проверкой четности. Например  $1/4$  имеет высокую степень проверки четности, и малую скорость, а  $9/10$  высокую скорость, но слабую проверку на четность. На стороне приемника, LDPC-декодер проверяет принятую последовательность до проверки четности

Вид модуляции Qpsk  $1/4$

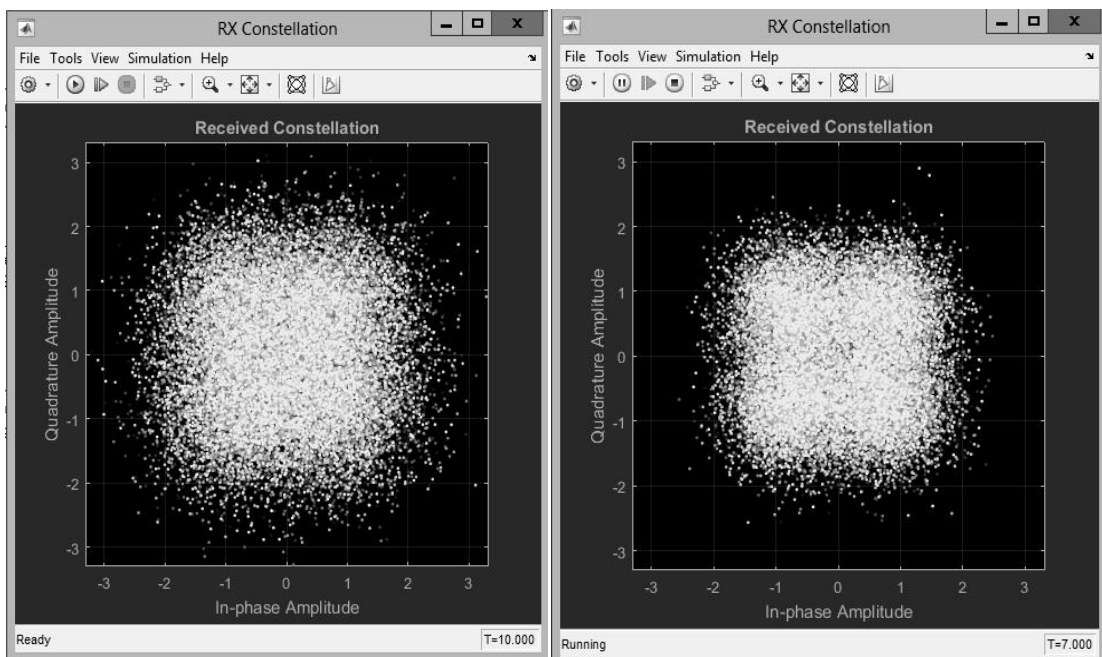


Рис. 204. Созвездие при  $E_b/N_0 = 0.5$  и  $E_b/N_0 = 3.5$

Вид модуляции Qpsk  $3/4$

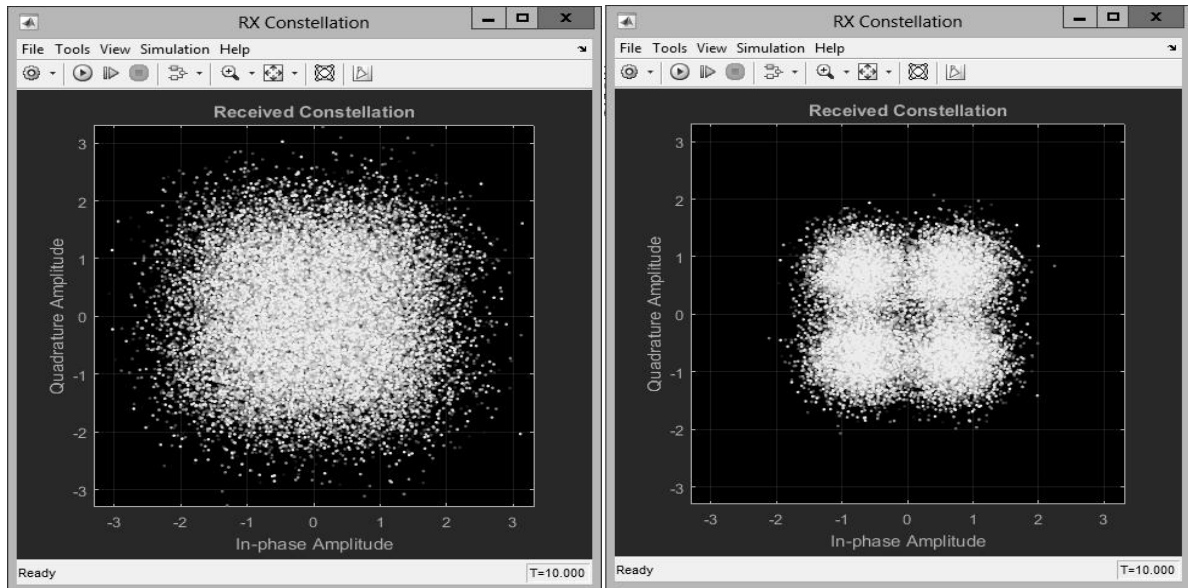


Рис. 205. Созвездие при  $E_b/N_0 = 0,5$  и  $E_b/N_0 = 5$

Вид модуляции - 8psk

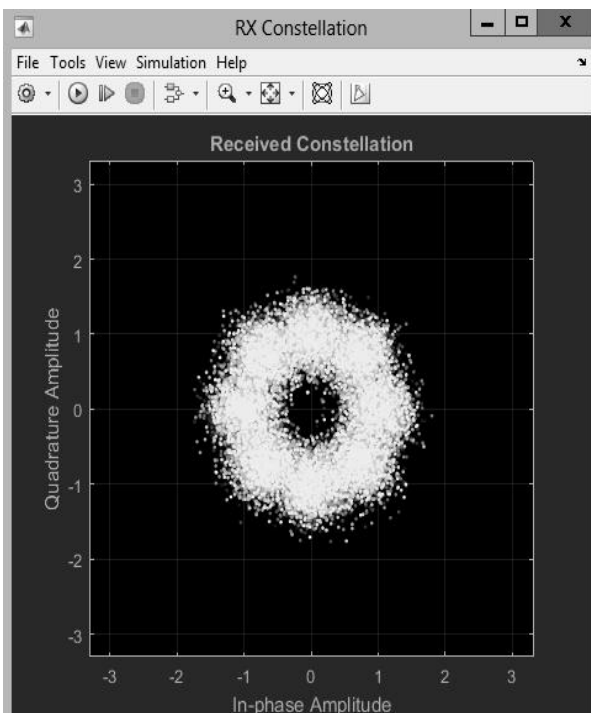
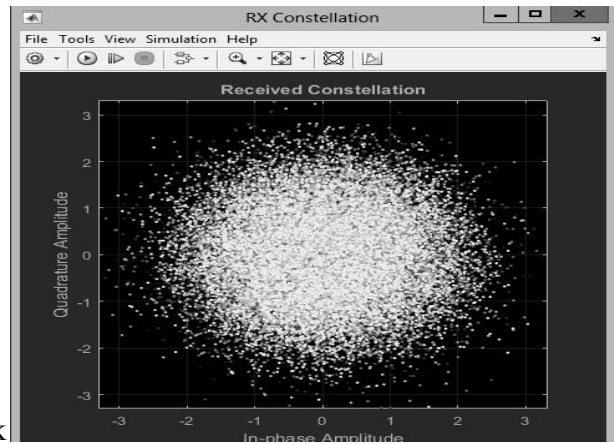


Рис. 206. Созвездие  $E_b/N_0 = 0,5$  и  $E_b/N_0 = 12$ 

Вид модуляции - 8psk9/10

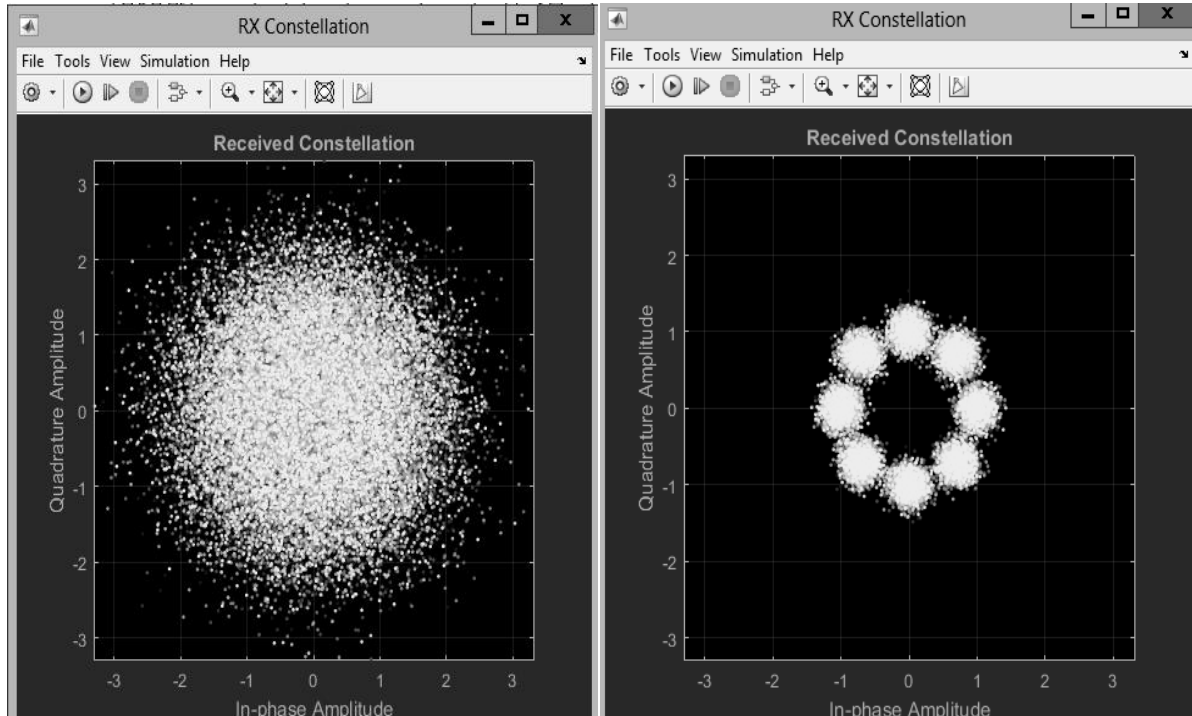
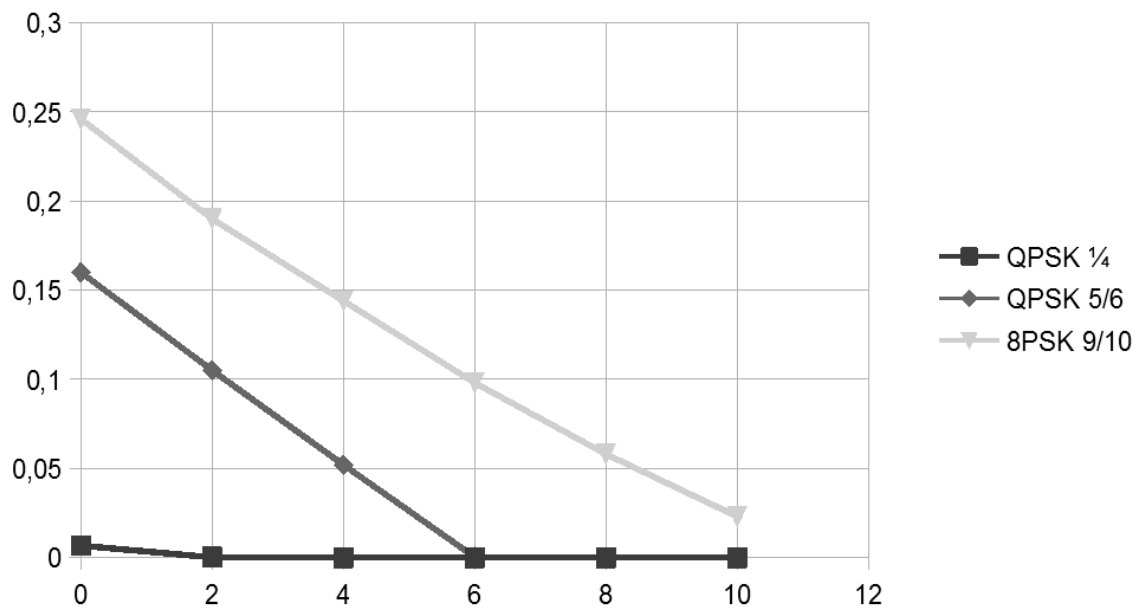
Рис. 207. Созвездие при  $E_b/N_0 = 0,5$  и  $E_b/N_0 = 6$ График зависимости  $E_b/N_0$  от BER

Рис. 208. График зависимости BER от Eb/N0

В ходе работы был изучен алгоритм стандарта DVB-S2, создан его рабочий макет, позволяющий увидеть получаемые созвездия, увидеть разность появляющихся ошибок при передаче на разных скоростях. Стандарт DVB-S2 являлся промежуточным звеном между DVB-S и DVB-C2, и не был реализован в полной мере, по сравнению с форматом DVB-S.

## 10. Имитационное моделирование системы цифрового кабельного телевизионного вещания DVB-C

DVB-C – стандарт цифрового телевизионного вещания, который производится по кабелю. В основе стандартов DVB-C лежит стандарт кодирования движущихся изображений и звукового сопровождения MPEG-2.

### Система цифрового кабельного телевизионного вещания DVB-C.

Система цифрового кабельного телевидения определяется как функциональный блок оборудования, выполняющий адаптацию ТВ-сигналов к характеристикам кабельного канала. Система DVB-C максимально гармонизирована со спутниковой системой DVB-S и может использовать источник местных ТВ-программ. В связи с высокой помехозащищенностью кабельных каналов связи в системе DVB-C не используется сверточное кодирование, но применяется многопозиционная QAM-модуляция — от 16-QAM до 256-QAM.

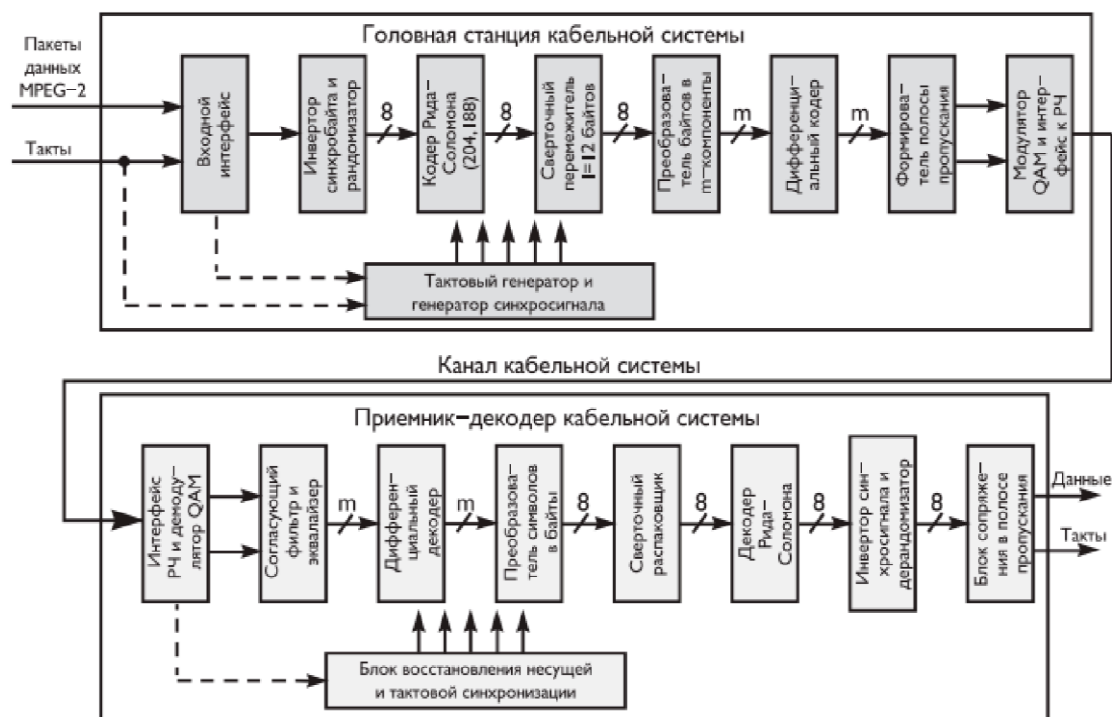


Рис. 209. Структурная схема системы цифрового кабельного телевидения DVB-C

В качестве входных сигналов на головной станции используются транспортные пакеты MPEG-2, поступающие через входной интерфейс на модуль, и рандомизирующий поток поступающих данных. Схема рандомизатора/дерандомизатора аналогична используемой в стандарте DVB-T.

Вслед за процессом рандомизации распределения энергии выполняется систематическое сокращенное кодирование Рида–Соломона каждого рандомизированного транспортного пакета MPEG-2, при  $t = 8$ , что обеспечивает возможность корректировки 8 ошибочных байтов в каждом транспортном пакете. Данный процесс добавляет 16 байтов четности к транспортному пакету MPEG-2 для получения кодового слова (204, 188).

Затем следует сверточный перемешатель состоящий из  $l = 12$  звеньев, циклически присоединенных к входному потоку байтов с помощью коммутатора. Каждое звено представляет собой регистр FIFO размером  $M \cdot j$  ячеек ( $M = 17 = N/l$ ,  $N = 204$  — длина защищенного от ошибок кадра,  $l = 12$  — глубина перемежения,  $j$  — индекс звена). Ячейки FIFO содержат 1 байт, а работа коммутаторов входа и выхода синхронизирована. При этом неинвертированные и инвертированные синхронизирующие байты должны быть всегда адресованы в нулевое звено комповщика, соответствующее нулевой задержке.

### Практическая часть

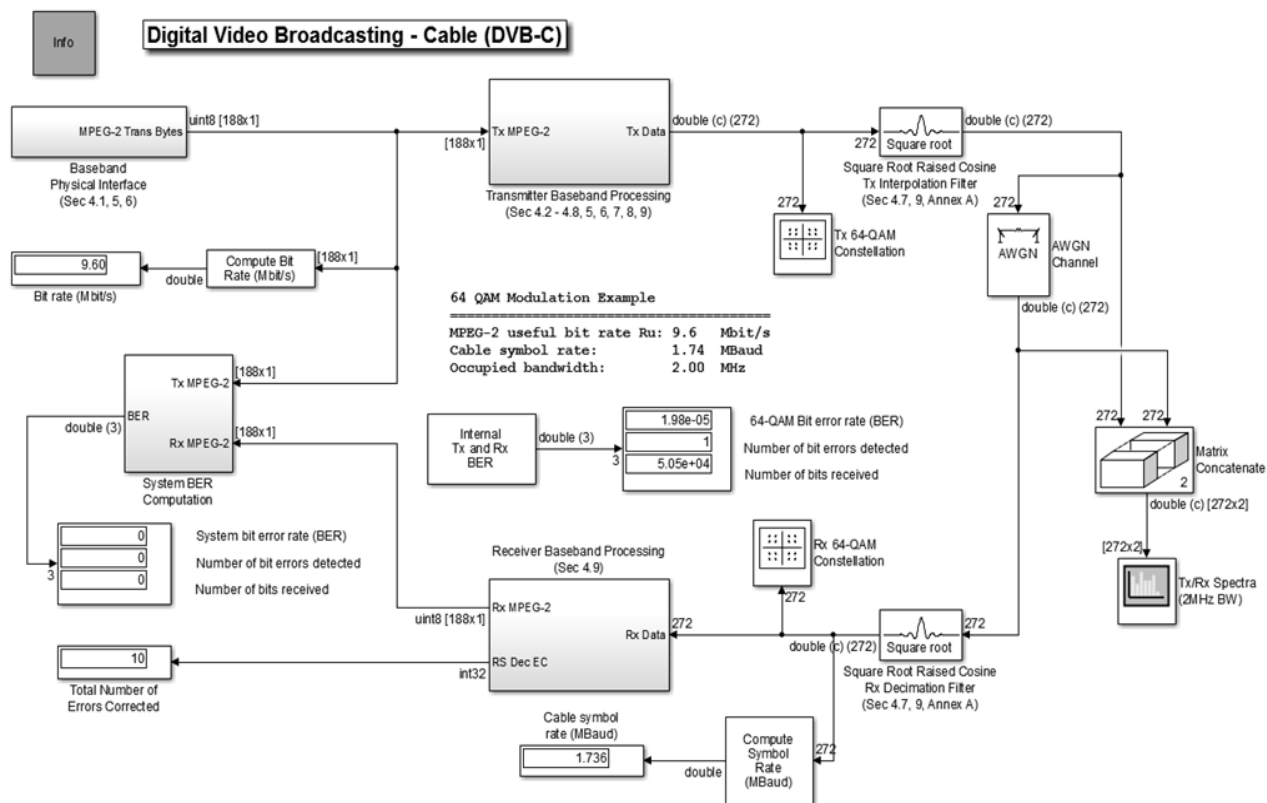


Рис. 210. Структурная схема системы цифрового кабельного телевидения DVB-C в Simulink MATLAB

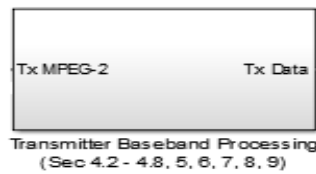


Рис. 211. Блок имитация потока данных MPEG- 2.

Внутри данного блока производится имитация потока данных MPEG- 2.

Представленный на рис. блок включает в себя:

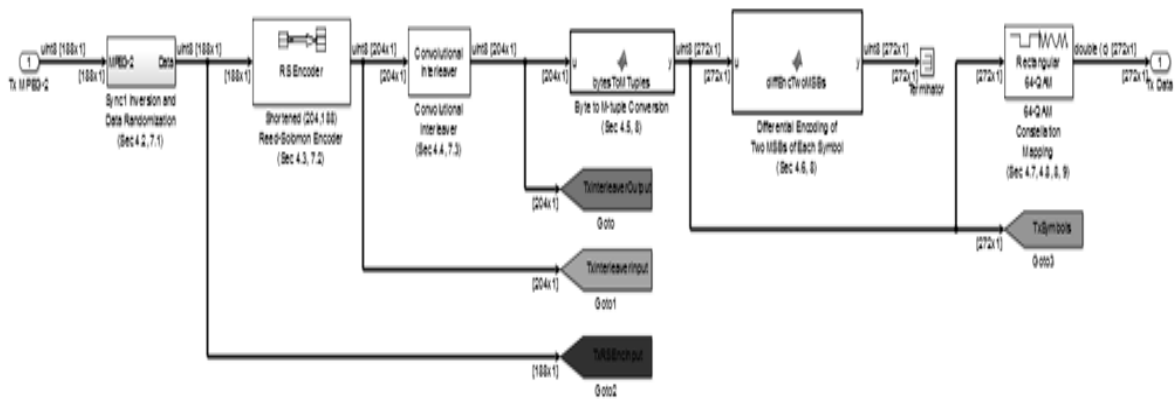


Рис. 212. Блок передатчика.

### 1. Sync1 Inversion and Randomization

Эта подсистема инвертирует байт, далее производится рандомизация с целью формирования спектра.

### 2. Кодировщик Рида-Соломона (204, 188).

Добавляет 16 паритетных байтов к MPEG-2.

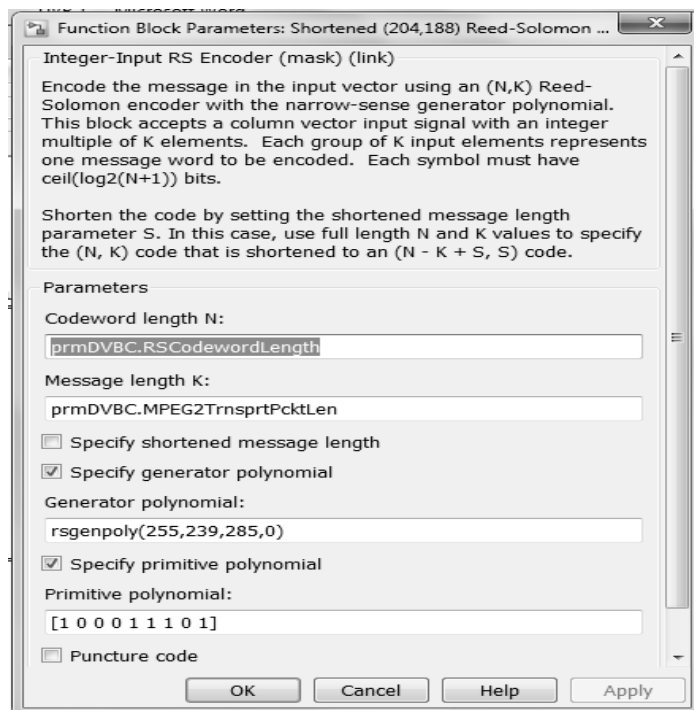


Рис. 213. Кодировщик Рида-Соломона (204, 188)

### 3. Сверточный перемежитель.

Процесс перемежения основан на подходе Форни.

### 4. Байт (8 бит) с M- кортежами ( 6 -разрядная версия)

Используется, чтобы преобразовать 8-битные байты данных в 6-битные.

### 5. Дифференциальное кодирование.

### 6. Отображение 64-QAM созвездия.

Отображает в основной полосе частот значения ( I и Q ) при передаче.

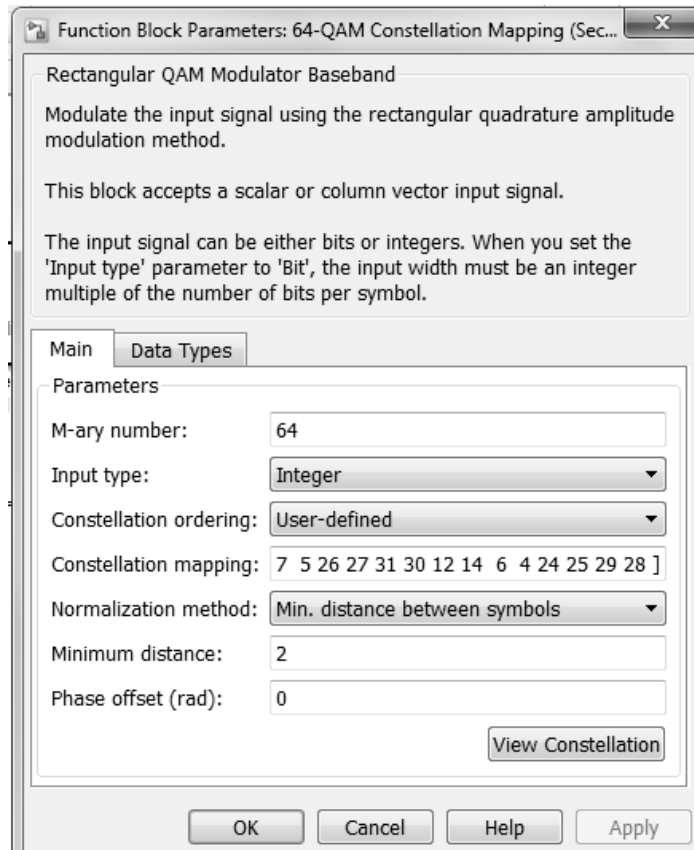
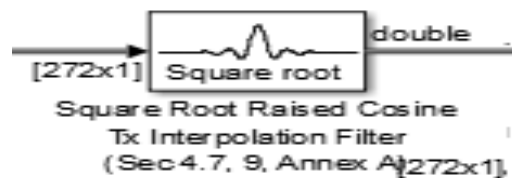
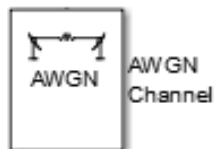


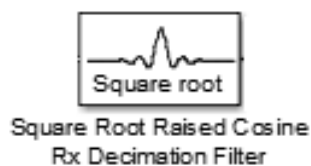
Рис. 214 - Отображение 64-QAM созвездия.



Этот блок выполняет низкочастотное формирование значений символов совокупности для передачи комплекса ( I и Q ).



Изменение белого гауссовского шума в пределах от  $10^{-4}$  до  $10^{-10}, 10^{-11}$ .



Прореживает (фильтрует) значения символа созвездия принимаемого комплекса ( I и Q).

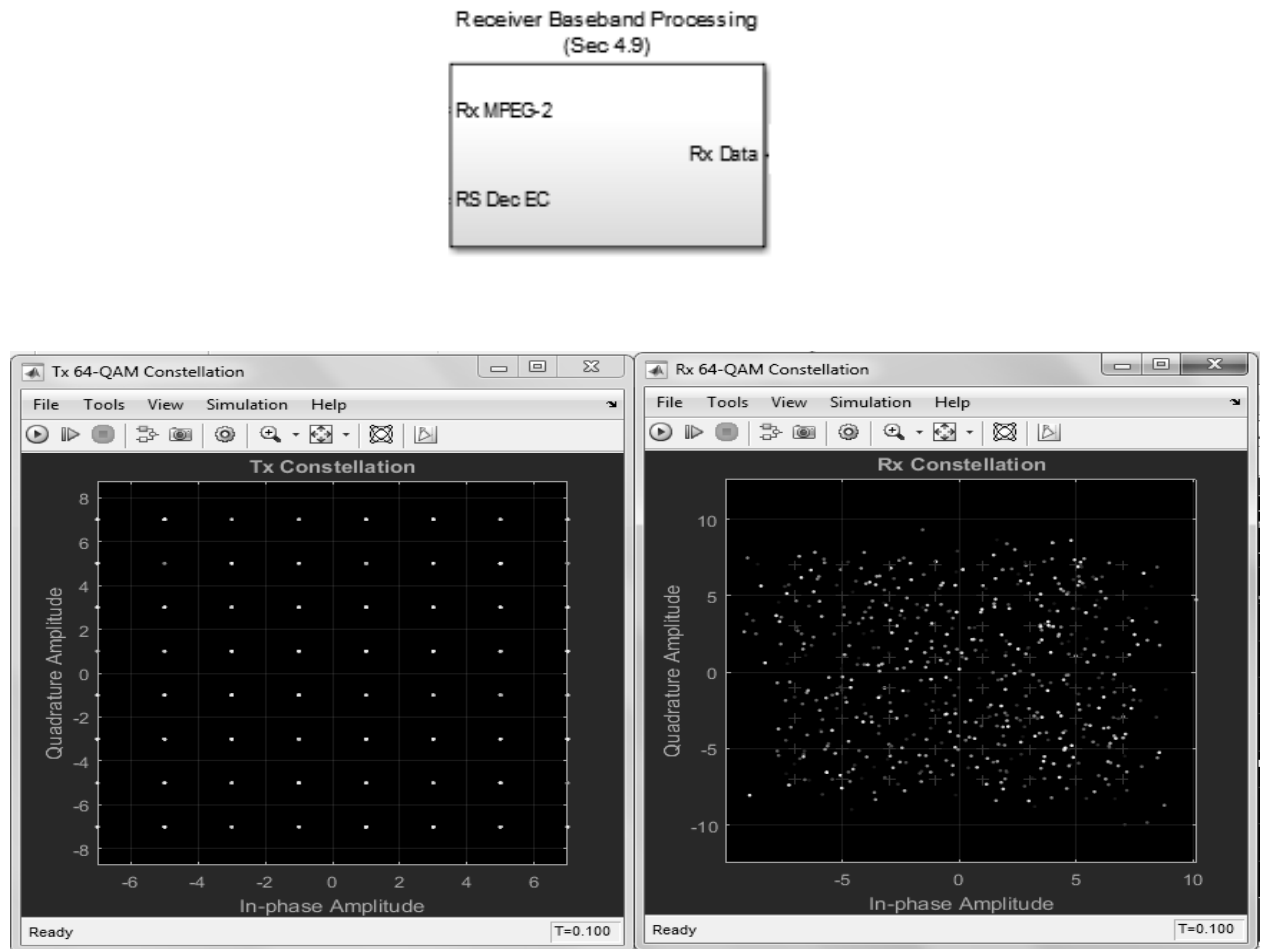


Рис. 215. Созвездия передатчика и приёмника при  $E_b/N_0 = 5$  дБ.

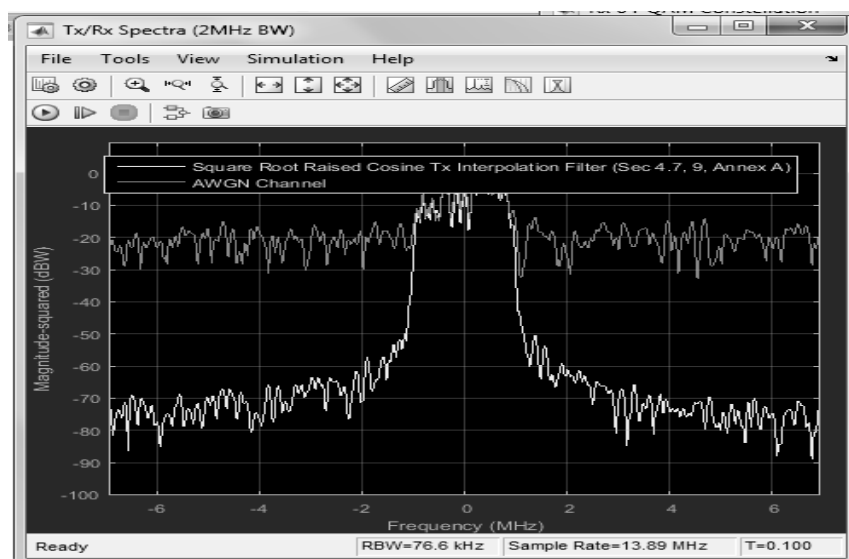


Рис. 216. Спектр передатчика и приёмника при  $E_b/N_0 = 5$  дБ.

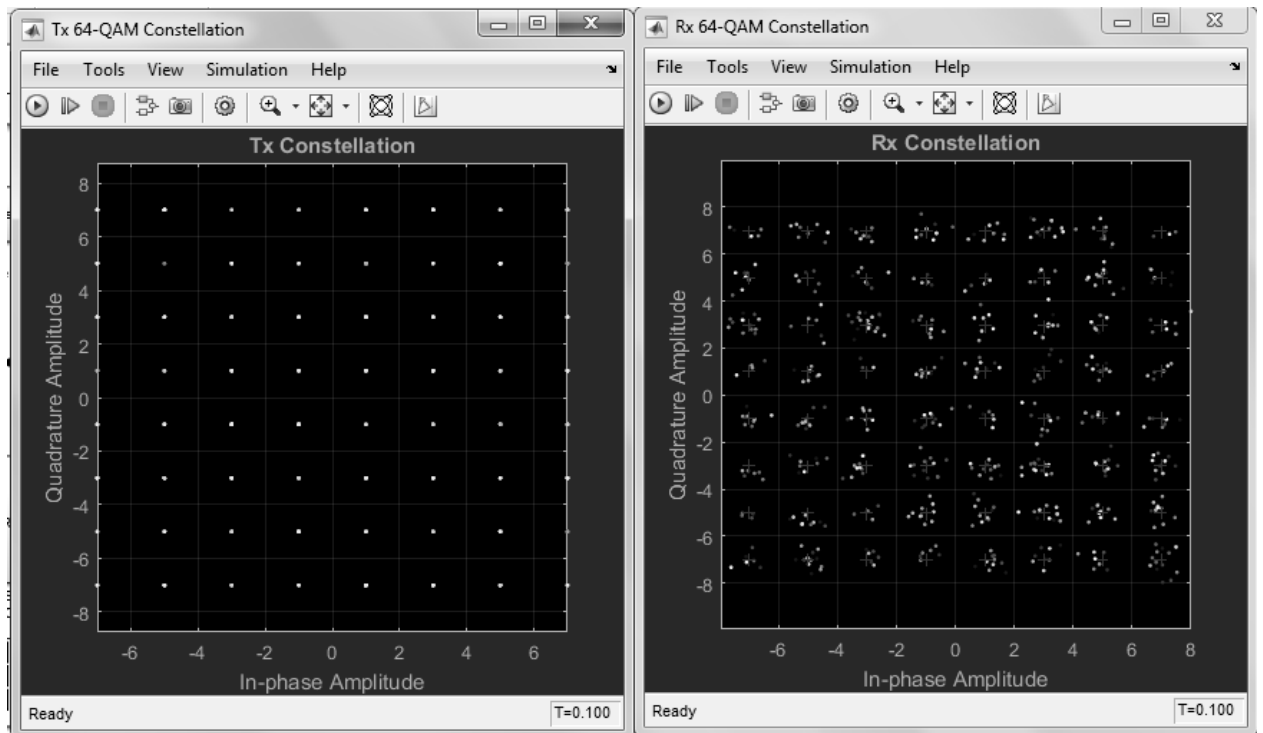


Рис. 217. Созвездия передатчика и приёмника при  $E_b/N_0 = 15$  дБ.

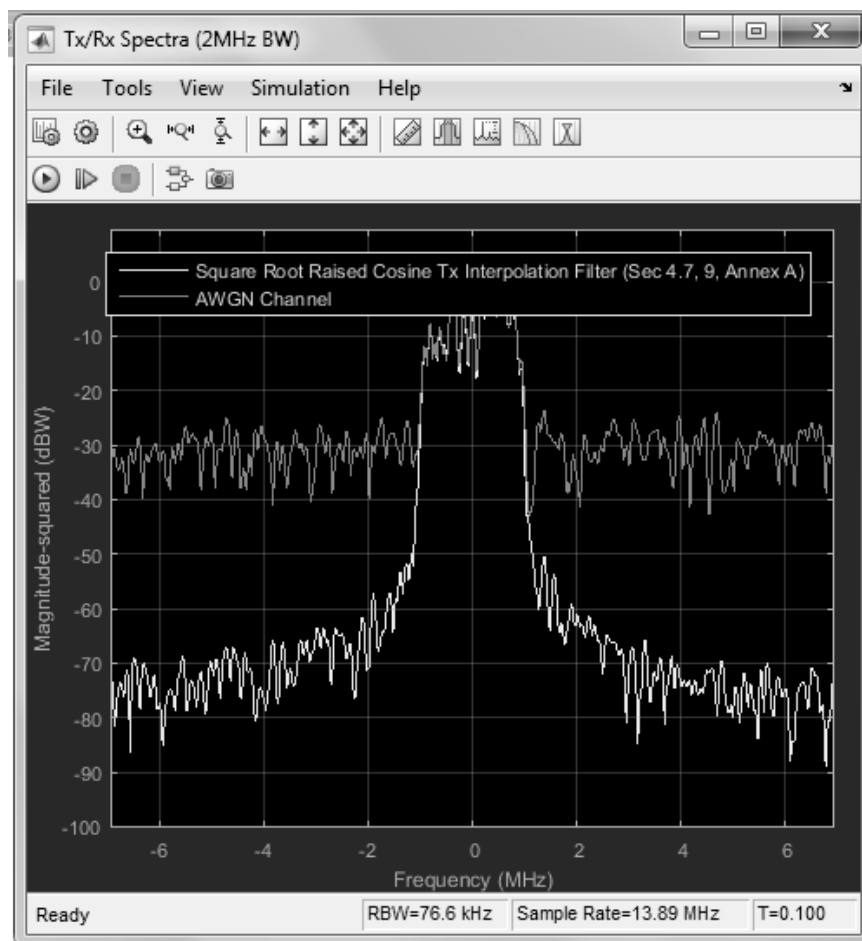


Рис. 218. Спектр передатчика и приёмника при  $E_b/N_0 = 15$  дБ.

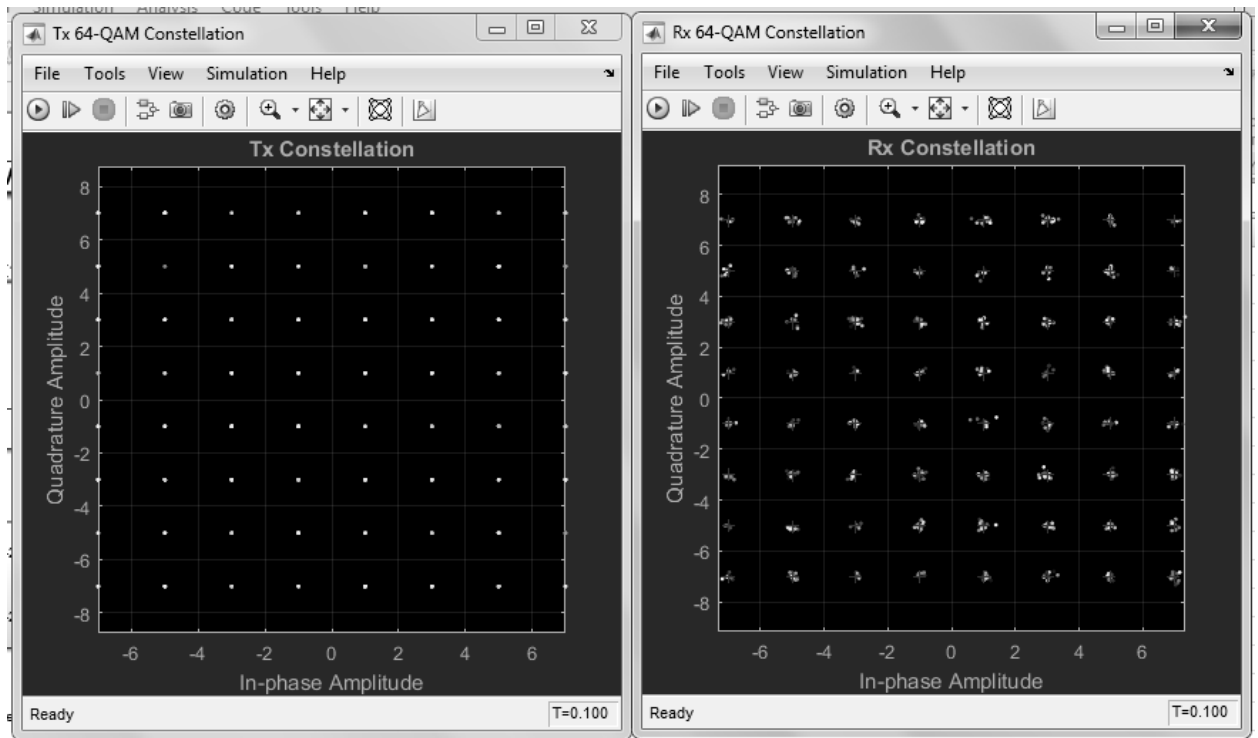


Рис. 219. Созвездия передатчика и приёмника при  $E_b/N_0 = 19$  дБ.

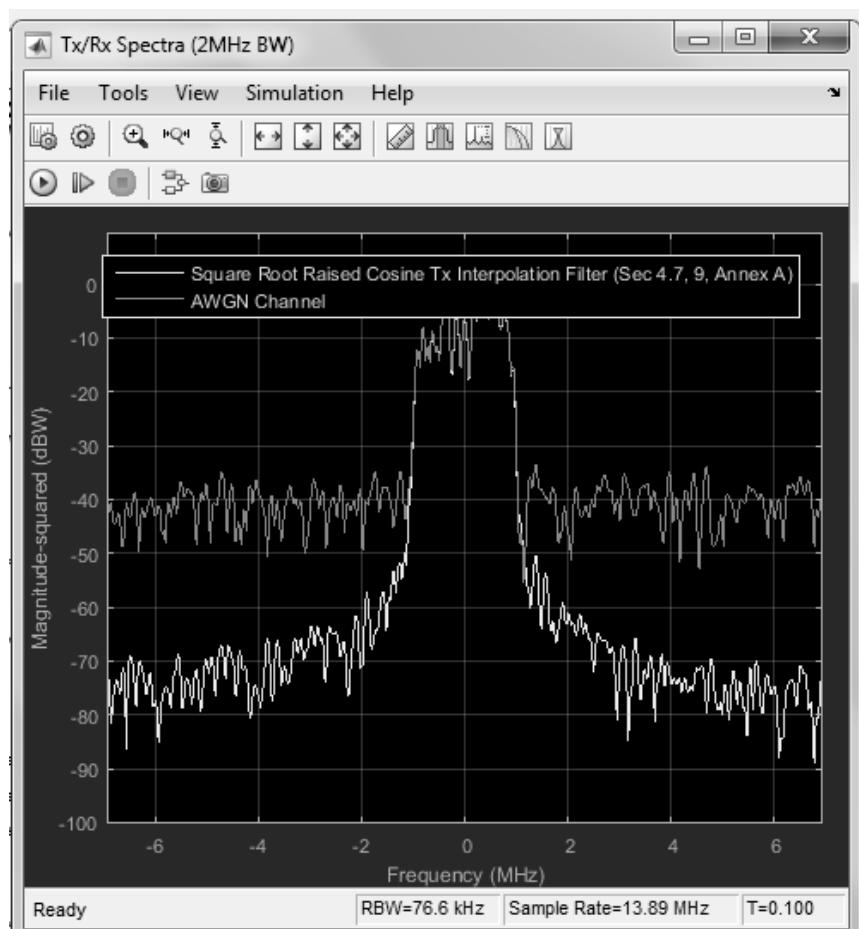


Рис. 220. Спектр передатчика и приёмника при при

Eb/No = 19 дБ.

Таблица 13. График зависимость BER от Eb/No.

b/N	-	-	-	-	-	-	-	-	-	-	-	-
о, дБ	10	5	2,5	1	0	2	5	8	11	14	17	19
ER	.4058	.3359	.2885	.256	.034	.012	.001	605E-6	9.			

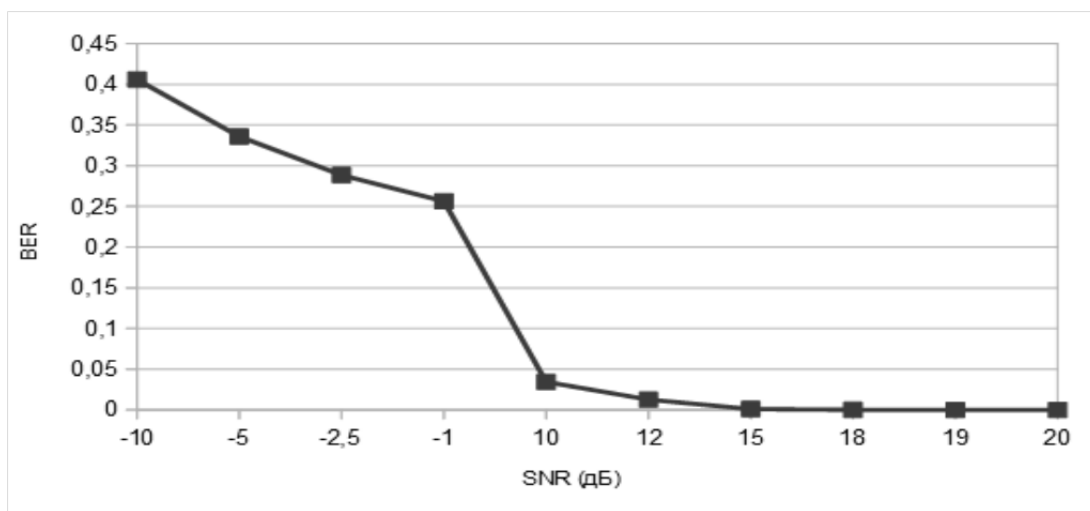


Рис..221. Зависимость BER(SNR) для QAM-64.

На основе проведенного исследования можно сделать следующие выводы:

Использование многопозиционной модуляции QAM (Quadrature Amplitude Modulation – квадратурная амплитудная модуляция), а также хорошего отношения S/N, который существенно снижает вероятность ошибок BER (Bit Error Rate – частота ошибочных бит) позволило внедрить цифровое телевидение в системы кабельного телевидения.

## 11. Имитационное моделирование системы цифрового мобильного телевизионного вещания DVB-H [16, 19, 20]

DVB-H (*Digital Video Broadcasting – Handheld*) — европейский стандарт мобильного телевидения, один из семейства стандартов DVB. Стандарт DVB-H позволяет передавать цифровой видеосигнал на мобильные устройства, такие как КПК, мобильный телефон или портативный телевизор. Формально, этот стандарт был принят в ноябре 2004 года.

DVB-H является логическим продолжением стандарта DVB-T с поддержкой дополнительных возможностей, отвечающих требованиям для переносных мобильных устройств с автономным питанием.

#### Технологии мобильного вещания телевизионного вещания DVB-H

На сегодняшний день существует 8 форматов вещания, ориентированных на прием мобильными терминалами. Во-первых, это форматы DVB-T и DVB-H. Во-вторых, MediaFLO, закрытая система разработки компании Qualcomm. В-третьих, группа форматов, базирующихся на системе радиовещания DAB. К ней относятся MovioSystem, разработанная BritishTelecom, корейские форматы T-DMB и S-DMB, а также европейский профиль формата T-DMB. И, наконец, существует японский стандарт эфирного вещания ISDB-T, по своей гибкости пригодный для любых видов эфирного вещания на любые терминалы.

Система DVB-H разработана на базе DVB-T, что обеспечивает их частичную совместимость. Она заключается в том, что трансляции DVB-H за исключением одного режима модуляции могут приниматься приемниками DVB-T, и в одном мультиплексированном потоке возможно совмещение трансляций DVB-H и DVB-T.

В то же время в DVB-H введен ряд добавлений на физическом уровне и заметно изменен канальный уровень.

#### **DVB-T и DVB-H**

Характеристики системы DVB-T неоднократно изложены в литературе<sup>1</sup>, поэтому напомним только его основные особенности. Главным отличием DVB-T от кабельной и спутниковой версий стандарта DVB является использование COFDM (CodedOrthogonalDivisionMultiplexing) модуляции. При таком способе модуляции применяется частотное мультиплексирование ортогональных несущих в сочетании с помехоустойчивым кодированием. Использование большого числа несущих позволяет удлинить время передачи каждого символа и выделить период защитного интервала для отстройки от помех многолучевого приема. В зависимости от количества ортогональных несущих в стандарте выделяется два режима 8К (8192 несущих) и 2К (2048 несущих). DVB-T предусматривает возможность использования трех видов модуляции — QPSK, 16 QAM и 64 QAM, четырех вариантов относительной длительности защитного интервала, а также пяти вариантов относительной скорости при наложении сверточного помехозащитного кодирования. Сочетания этих параметров позволяют гибко выбирать режим в зависимости от радиуса охвата соты, ландшафта и РЧ обстановки. Наличие защитного интервала дает возможность использовать DVB-T и для передачи на мобильные терминалы, в том числе движущиеся с большой скоростью. Но для передачи ТВ на мобильные телефоны и другие миниатюрные приемники эта система оказалась малоприменимой. DVB-T оптимизирован для

передачи стандартных ТВ потоков, в то время как карманные приемники имеют небольшие экраны, позволяющие воспроизвести картинку формата не более чем 1/4 CIF или 1/8 CIF. Кроме того, эти терминалы питаются от слабых аккумуляторных батарей, которые желательно эксплуатировать в максимально экономичном режиме. И, наконец, они имеют слабые приемные антенны и часто должны принимать сигнал в неблагоприятных условиях, в то время как размещение стационарных эфирных антенн может быть оптимизировано. С учетом всех этих обстоятельств для эфирной передачи на карманные мобильные терминалы был разработана специальная система DVB-H (DigitalVideoBroadcasting-Handheld), по возможности совместимая с DVB-T, но одновременно учитывающая перечисленные особенности приема. Рассмотрим компоненты DVB-H, относящиеся к физическому и каналному уровням системы ISO/OSI.

Обобщенная архитектура системы DVB-H изображена на рисунке 5.212. Показаны элементы, добавленные в DVB-H.

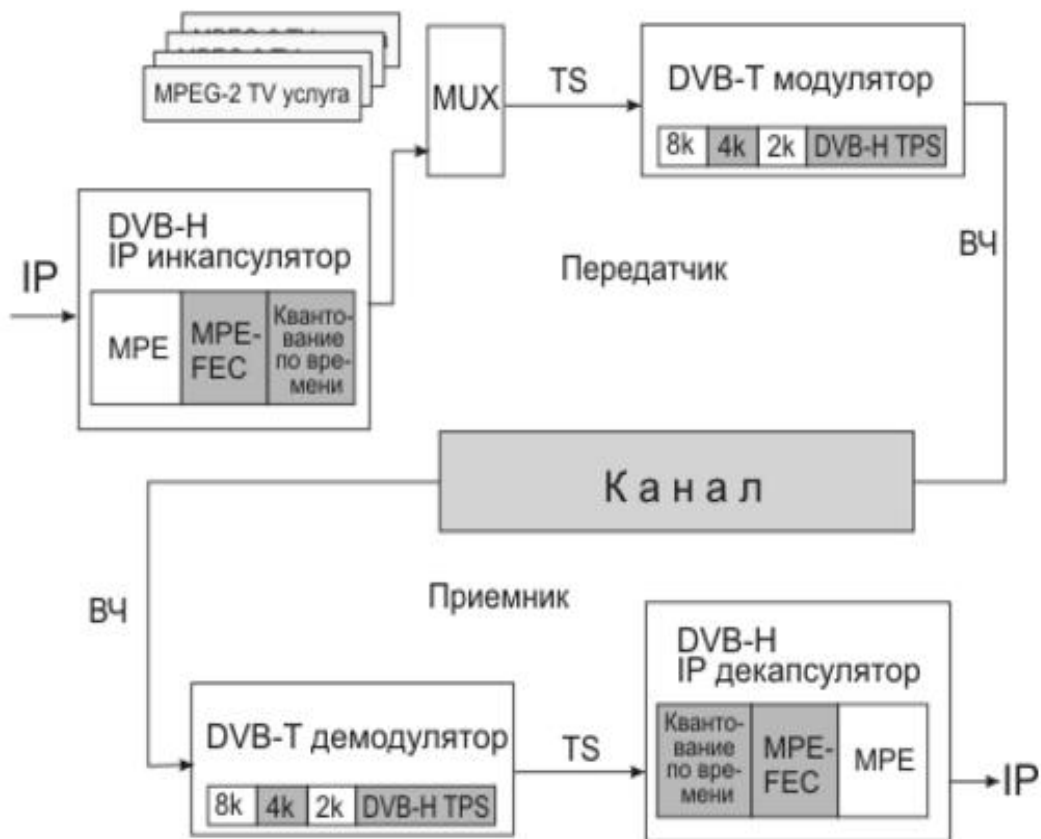


Рис. 222. Обобщенная архитектура системы DVB-H

### Физический уровень.

На физическом уровне система DVB-H максимально приближена к DVB-T. Поэтому укажем только дополнительные возможности, появившиеся в DVB-H.

Во-первых, к режимам модуляции 2К и 8К был добавлен еще один — 4К. Это дало дополнительную степень свободы в плане обмена максимальной скорости передвижения

приемника на радиус охвата одной соты. Чем меньшее количество ортогональных несущих используется при COFDM модуляции, тем больший частотный интервал образуется между соседними несущими, и, соответственно, тем выше скорость движения терминала, при котором прием срывается из-за Доплеровского смещения частот. С другой стороны, чем меньше несущих, тем короче период, выделенный для передачи каждого COFDM символа и, соответственно, короче защитный интервал. А сокращение защитного интервала снижает возможности отстройки от многолучевого приема, то есть уменьшает допустимый радиус соты. Для сетей DVB-T, рассчитанных в основном на стационарный прием, значительно более важным фактором является зона охвата. Что же касается сетей DVB-H, то там большую значимость приобретает возможность приема на скорости, а зона охвата в сильной мере ограничивается уровнем сигнала на входе тюнера.

Для возможности выбора компромиссного варианта был добавлен режим модуляции 4К, заполняющий нишу между 2К и 8К. Трансляции в режиме 4К могут приниматься только приемниками DVB-H.

Вторым дополнением на физическом уровне стала возможность более глубокого перемежения данных в режимах 4К и 2К. Канальное кодирование DVB-T предусматривает перемежение данных внутри одного COFDM символа. Оно в основном предназначено для компенсации селективных замираний, несущих при многолучевом приеме. В то же время мобильные терминалы с большей вероятностью могут оказаться в зоне действия широкополосных импульсных помех. И, как уже отмечалось, при приеме на скорости появляется доплеровское смещение частотного спектра, также приводящее к искажениям сигнала. Поэтому в стандартах мобильного вещания на базе COFDM (DAB, ISDB -T) для борьбы с последствиями длительных помех в цикл канального кодирования введено перемежение длинных серий данных, охватывающее десятки, а то и сотни OFDM символов.

Чем длиннее последовательность данных, участвующих в перемежении, тем эффективнее оказывается борьба с последствиями затуханий. Но для DVB-H такой путь невозможен. Во-первых, восстановление длинных последовательностей потребовало бы непрерывного приема, в то время как для целей энергосбережения в DVB-H реализован описанный ниже импульсный режим передачи. Во-вторых, для его осуществления необходимы большие объемы памяти, удорожающие приемник. И, наконец, это противоречит требованию совместимости с DVB-T. Поэтому было выбрано компромиссное решение. Для режима модуляции 8К, наиболее актуального для DVB-T, в DVB-H сохранено перемежение битов в рамках одного символа. А в режимах 4К и 2К, где каждый COFDM символ переносит меньшее количество информации, в качестве опции введена возможность

временного перемежения, допускаемого объемами выделенной для этих целей памяти. Для 4К перемежение выполняется с глубиной в 2 COFDM символа, а для режима 2К — с глубиной в 4 COFDM символа. При активизации этой опции совместная передача трансляций DVB-H и DVB-T невозможна. Одновременно предусматривается опция дополнительной помехозащиты, реализованная на базе IP дейтаграмм и позволяющая в сильной мере компенсировать отсутствие глубокого перемежения. Принцип ее действия изложен позже.

Остальные механизмы внешнего и внутреннего канального кодирования, используемые в DVB-T, без изменения перенесены в DVB-H. Третье дополнение касается транспортной сигнализации (TPS — TransmissionParameterSignalling)<sup>2</sup>, в которую добавлены два бита, индицирующие наличие в потоке услуг, передаваемых в формате DVB-H, а также наличие дополнительной кодозащиты, реализуемой на базе IP дейтаграмм. Четвертым дополнением стала возможность использования полосы 5 МГц при условии, что эта она выделяется не в вещательном диапазоне. Она добавлена к полосам 6, 7 и 8 МГц, допускаемых к использованию в DVB-T. Ее планируется применять при развертывании сетей DVB-H в США в L-диапазоне (1,670-1,675 ГГц).

Таблица 14. Параметры режимов 2К, 4К, 8К

Параметр	2К	4К	8К
Число активных несущих	1705	3409	6817
Число информационных несущих	1512	3024	6048
Длительность периода T, мс	0,109	0,109	0,109
Полезная символьная часть T <sub>u</sub> , мс	224	448	896
Разнос между несущими 1/T <sub>u</sub> , Гц	4464	2232	1116
Разнос между несущими K <sub>min</sub> и K <sub>max</sub> , МГц	7,61	7,61	7,61

### Канальный уровень

Одно из основных отличий DVB-H от DVB-T заключается в том, что в новой системе вся информация должна передаваться в форме IP дейтаграмм, инкапсулируемых в транспортные пакеты MPEG-2 TS с использованием метода многопротокольной инкапсуляции (MPE MultiProtocolEncapsulation). Это один из четырех методов инкапсуляции пакетов данных в транспортные пакеты MPEG-2 TS, определенных DVB, единственно пригодный для передачи потоковых услуг. Схема инкапсуляции показана на рисунке 223.

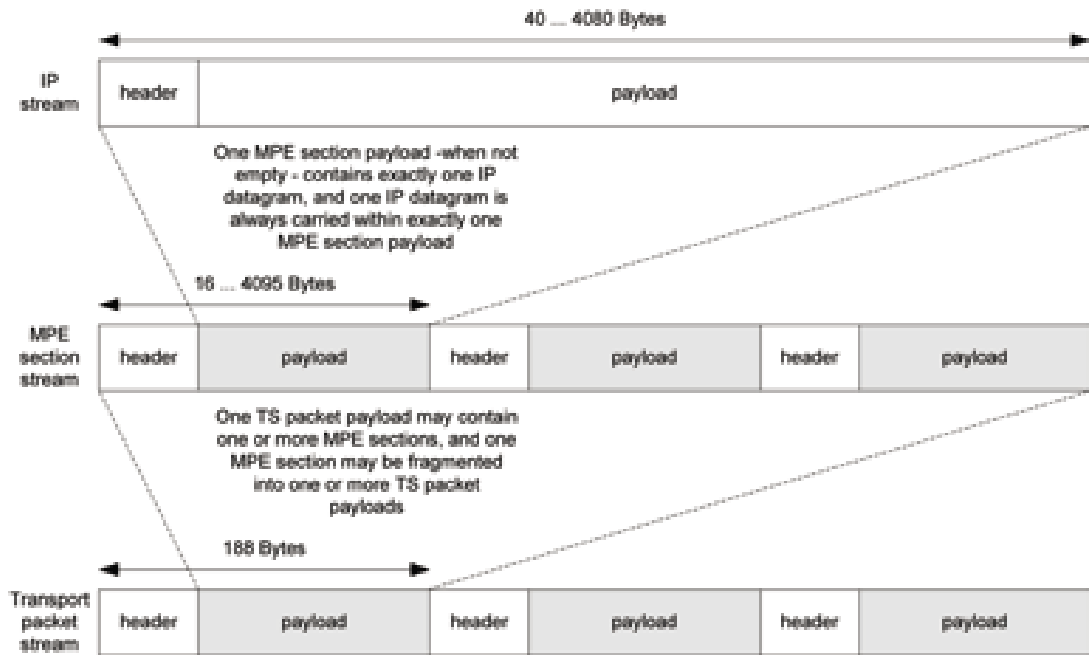


Рис. 223. Формат IP дейтаграммы

IP пакеты инкапсулируются в MPE секции, а те, в свою очередь, — в транспортные пакеты MPEG-2 TS, переносящие элементарные потоки. Каждый IP пакет занимает одну MPE секцию, длина которой практически не коррелирована с емкостью пакетов MPEG2-TS. В одном пакете может передаваться множество MPE секций, и, наоборот, одна секция может занимать несколько транспортных пакетов.

Данные, относящиеся к одной услуге, инкапсулируются в транспортные пакеты MPEG-2 с постоянным идентификационным номером PID. Использование такого стека обусловлено тремя причинами.

Во-первых, в системах DVB-H предполагается передавать ТВ потоки, компрессированные не в MPEG-2, а в более эффективных форматах, в первую очередь, в H.264 /AVC3, для которых процесс инкапсуляции компрессированных аудио и видео в транспортные пакеты MPEG-2 TS жестко не специфицирован и обычно реализуется как раз через IP/MPE инкапсуляцию. Более того, DVB-H потенциально рассматривается как составная часть гибридной системы доставки мультимедийных услуг (IPDC).

В связи с этим понятие элементарного потока в DVB-H определяется иначе, чем в стандарте MPEG-2. В DVB-H это просто поток, передаваемый в пакетах с одним PID-ом. Снята жесткая корреляция элементарного потока с данными определенного типа. В одном элементарном потоке могут передаваться все данные, относящиеся к определенной ТВ программе или даже к нескольким программам. В последнем случае потоки разных ТВ программ будут передаваться в дейтаграммах с разным мультикастовым IP адресом и

заключаться в MPE секции с разными MAC адресами. Аналогичным образом могут передаваться и не телевизионные услуги.

### MPE-FEC.

В DVB-H канальное кодирование накладывается на всю последовательность IP дейтаграмм, передаваемых в одном слоте, то есть на максимально возможный объем данных. Это кодирование введено в качестве опции и выполняется кодом Рида-Соломона. Принцип кодирования показан на рисунке 224.

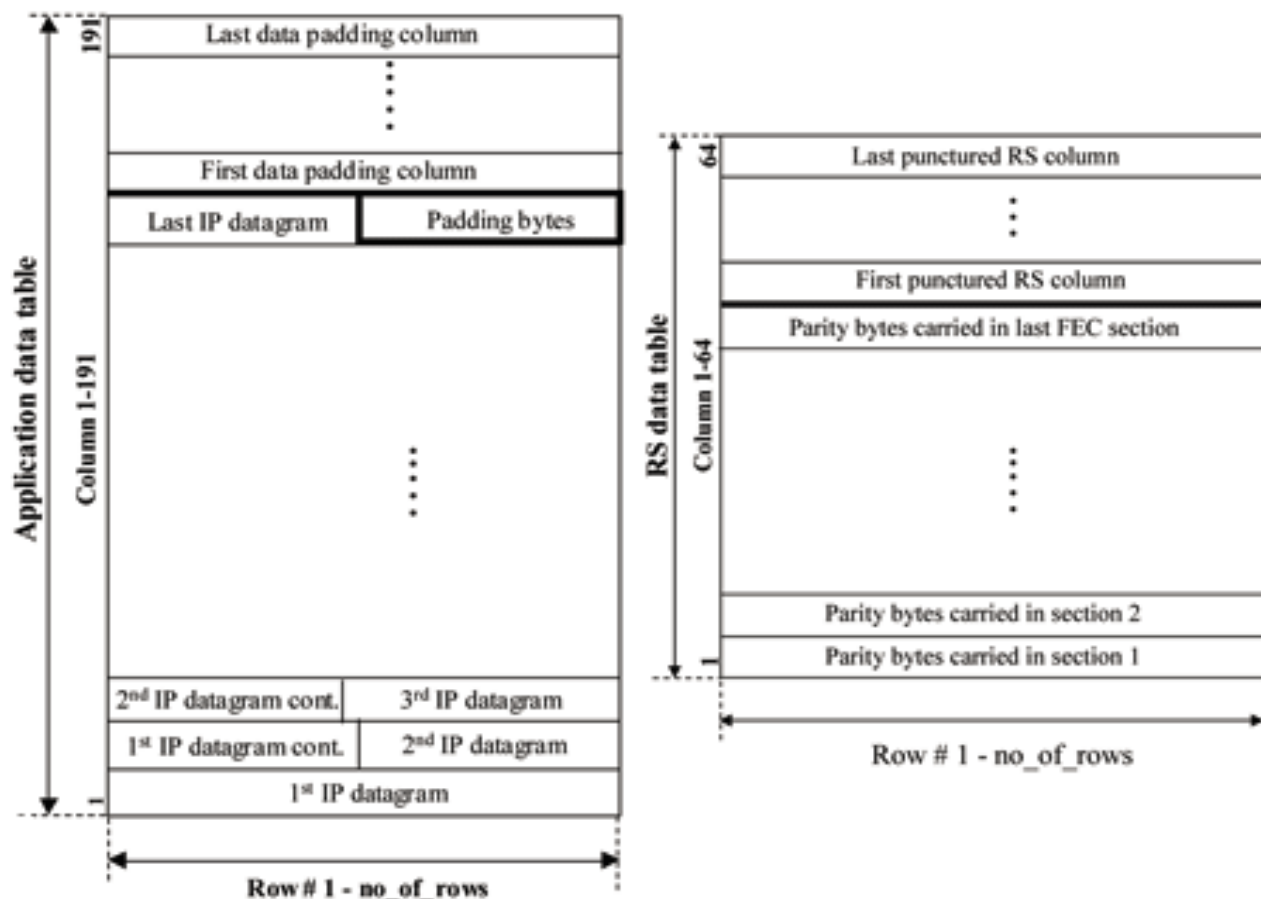


Рис. 224. Кодирование пакетов кодом Рида-Соломона

IP дейтаграммы помещаются в таблицу ApplicationDataTable, в которой последовательно заполняются столбцы начиная с левого верхнего угла. Высота столбцов может составлять от 1 до 1024 байт в зависимости длины дейтограмм, а их количество всегда одинаково — 191. Если в таблице остается пустое место, то оно заполняется холостыми байтами. Затем каждый ряд таблицы кодируется кодом Рида-Соломона (255, 191), в результате чего формируется 64 контрольных байта, заносимых в соответствующий ряд FEC таблицы. Затем обе таблицы инкапсулируются в пакеты MPEG-2 TS и транслируются в одном слоте. Вначале — информационная часть, а затем — контрольная. Причем байты контрольной таблицы при инкапсуляции считываются не рядами, как формируются, а колонками. Так создается виртуальное перемежение контрольных байт, требующее

минимальных ресурсов приемника для восстановления их последовательности. Этот метод помехозащитного кодирования получил название MPE-FEC. MPE-FEC декодирование рекомендуется проводить на базе модели канала со стиранием. Такое декодирование используется в каналах с пакетной передачей. На первом этапе с помощью циклического (CRC-х) кода выявляются искаженные пакеты и локализуются пораженные части потока. На втором этапе выполняются восстановление пораженных пакетов, что при предварительной локализации искажений происходит более эффективно. CRC-х кодирование — стандартный способ помехозащиты пакетов информации. В частности, каждая MPE секция защищается кодом CRC-32. При использовании MPE-FEC незащищенными остаются служебные таблицы. Но с учетом того, что их содержание в большинстве случаев довольно статично, то после несколько циклов передачи ресиверу удастся получить нужную информацию даже в сложных условиях. Посылка, защищенная MPE-FEC, может быть принята и ресиверами DVB-T. Но они будут игнорировать контрольные байты и не смогут воспользоваться защитой MPE-FEC.

Таким образом, особенности канального уровня формата DVB-H не препятствуют приему трансляций ресиверами DVB-T. Они просто будут принимать их неоптимальным образом. различными будут и условия приема трансляций DVB-T и DVB-H. Экспериментальные измерения показали, что для достижения передатчиками DVB-H и DVB-T одинаковой зоны охвата мощность первого должна быть на 20 дБ больше. В то же время требуемый для устойчивого приема уровень несущая/шум в DVB-H в среднем на 30% ниже, а максимально возможная скорость движения приемника – на 40% выше. В таблицах 5.36 и 5.37 представлены расчетные значения цифровых потоков для разных форматов модуляции и длительностей используемых интервалов.

Таблица 15. MPE-FEC кодированием в 3/4

Модуляция	Скорость кодирования	Защитный интервал			
		1/4	1/8	1/16	1/32
QPSK	1/2	3,74	4,15	4,39	4,52
	2/3	4,98	5,53	5,86	6,03
	3/4	5,6	6,22	6,59	6,79
	5/6	6,22	6,92	7,32	7,54
	7/8	6,53	7,26	7,69	7,92
16QAM	1/2	7,46	8,3	8,78	9,05
	2/3	9,95	11,0	11,7	12,0
		6	1	7	

	3/4	11,2	12,4	13,1	13,5
			4	7	8
	5/6	12,4	13,8	14,6	15,0
		4	2	4	8
	7/8	13,0	14,5	15,3	15,8
		7	1	7	3
64QAM	1/2	11,2	12,4	13,1	13,5
			4	7	8
	2/3	14,9	16,5	17,5	18,1
		3	9	7	
	3/4	16,7	18,6	19,7	20,3
	9	6	6	6	
	5/6	18,6	20,7	21,9	22,6
		6	4	5	2
	7/8	19,6	21,7	23,0	23,7
			7	6	5

В стандарте DVB-T в качестве базовой используется OFDM модуляция, благодаря которой и достигаются уникальные свойства в части возможности построения одночастотных сетей (SFN – SingleFrequencyNetwork), возможности обеспечения низкого требуемого отношения несущая/шум (C/N), высокой защиты от переотраженных объектов и низкой чувствительности к эффекту Доплера (при приеме в движении). Помимо основных видов модуляции (QPSK, 16 QAM и 64 QAM) в стандарте DVB-T используется также и иерархическая модуляция, позволяющая в потоке с высоким приоритетом передавать меньшее число программ и даже с более худшим качеством, но со значительным увеличением зоны покрытия, представляя тем самым вести прием на мобильные устройства.

#### DVB-H2

DVB-H2 (NewGenerationHandheld) - на основе стандарта DVB-T2, DVB-NGH открывает путь для улучшения возможностей приема сигнала на мобильные и портативные устройства.

Они включают в себя MIMO (MultipleInputMultipleOutput, мультивход и мультивыход), частотно-временное разнесение (TFS) с одним тюнером, повернутые созвездия, улучшена и расширена проверка на четность с низкой плотностью, более эффективное чередование по времени и ультра-надежный уровень сжатия Layer-1.

Спецификация DVB-NGH также включает гибридные профили, где наземные и спутниковые методы передачи данных могут быть объединены.

DVB-NGH охватывает последние модуляции и технологии кодирования и может рассматриваться как наиболее сложный радиointерфейс наземного вещания. Кроме того, он также предлагает дополнительную гибкость в эксплуатации, например, различные виды защиты для аудио- и видеопотоков в одном сервисе.

### Разработка структурной схемы программного комплекса

Система DVB-H была реализована в программной среде Matlab 2015a. Для того, чтобы запустить систему необходимо вести команду: `open_system('commdvbt_alt');`

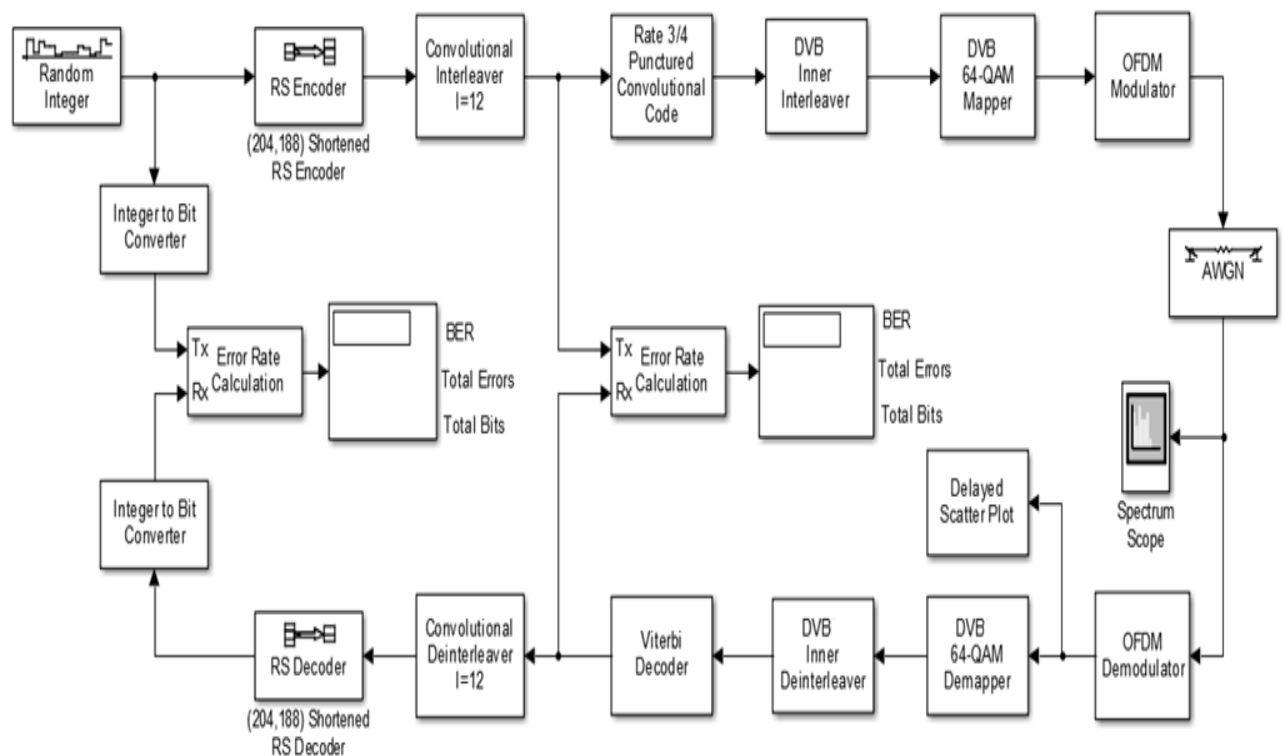


Рис. 225. Структурная схема DVB-H в режиме 2k Mode

Передающая часть структурной схемы системы состоит из следующих блоков:

RandomInteger – Генератор псевдослучайное последовательности.

RSEncoder – Код Рида-Соломона (255,191).

ConvolutionalInterleaver – Сверточный перемежитель.

PuncturedConvolutionalCode – Сверточный кодер, с порождающими полиномами  $G_1=171$  и  $G_2=133$ .

DVBInnerInterleaver – Внутренний перемежитель, состоящий из бит перемежителя и символического перемежителя. В битовом перемежителе данные демультиплексируются на  $v$  подпотоков, где  $v = 2, 4$  и  $6$  для QPSK, 16-QAM и 64-QAM, соответственно.

DVBM-QAMMapper – Все данные поднесущих объединяются в одном символе OFDM, которые модулируются с использованием QPSK, 16-QAM, 64-QAM.

OFDMModulator – Каждый символ состоит из 6817 и 1705 несущих для 8k и 2k режимов соответственно. Длительность символа состоит из двух частей: полезная часть и защитный интервал (1/4, 1/8, 1/16, 1/32).

AWGN – Канал с шумами.

### Практическая часть.

Запустить модель системы DVB-H в программе Matlab следующим образом: Matlab R2015 – Simulink Model – Open – dvbh.slx

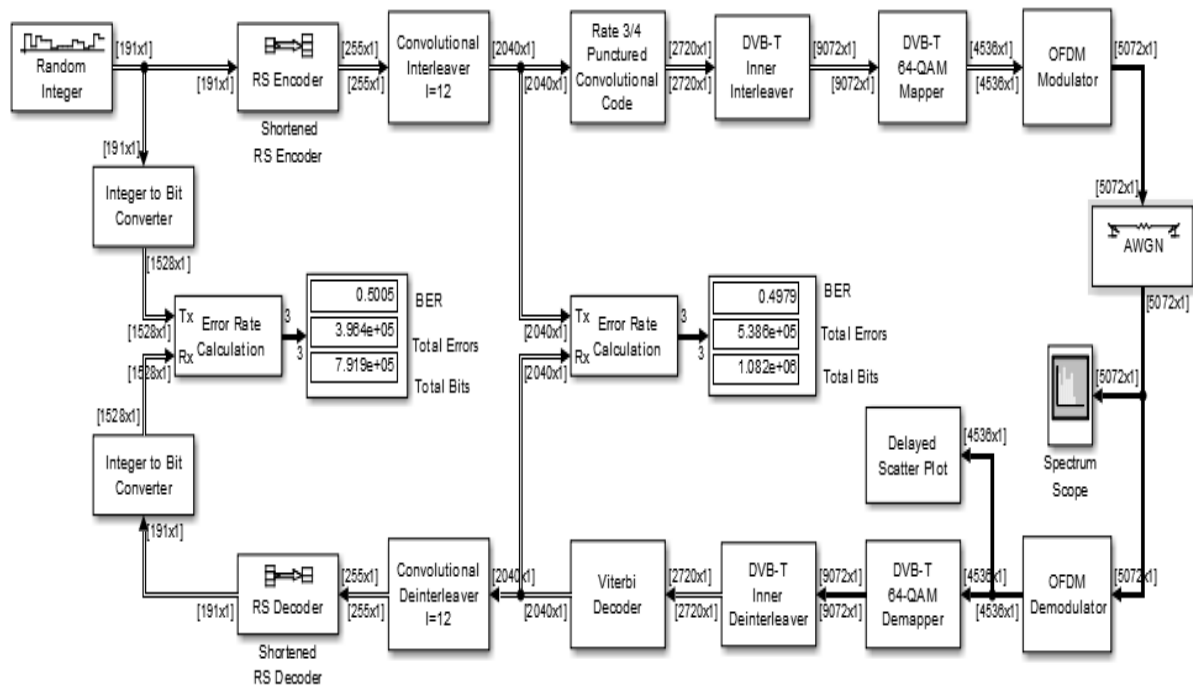


Рис. 226. Функциональная схема системы DVB-H реализованная в Matlab Simulink

Выставить необходимые параметры для следующих блоков: Random-Integer Generator, RS Encoder-Decoder, Параметры DVB Inner Deinterleaver (Buffer3), OFDM modulator-demodulator (для QPSK длина FFT: 5072, для 16-QAM длина FFT: 2804).

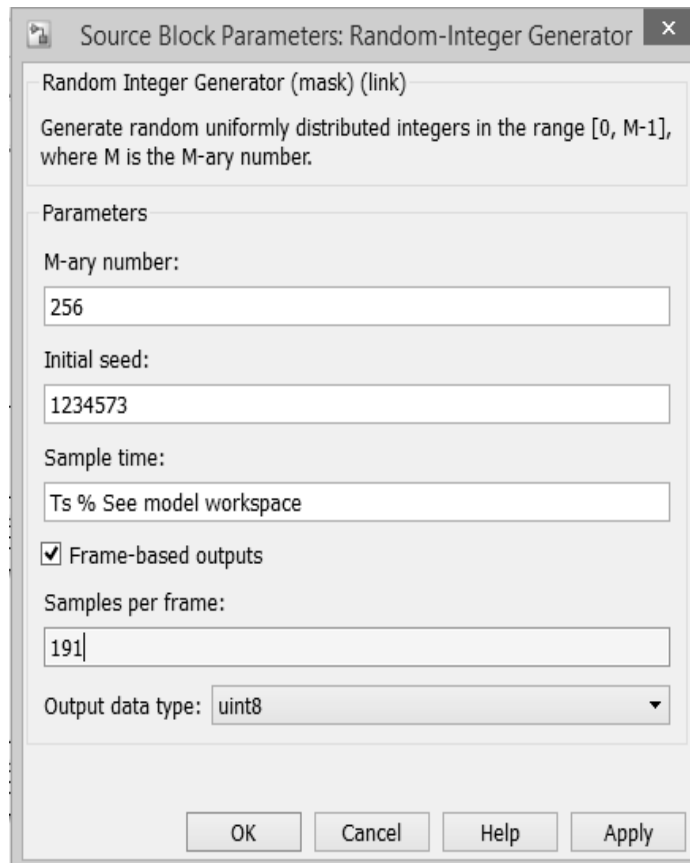


Рис. 227. Параметры Random-Integer Generator

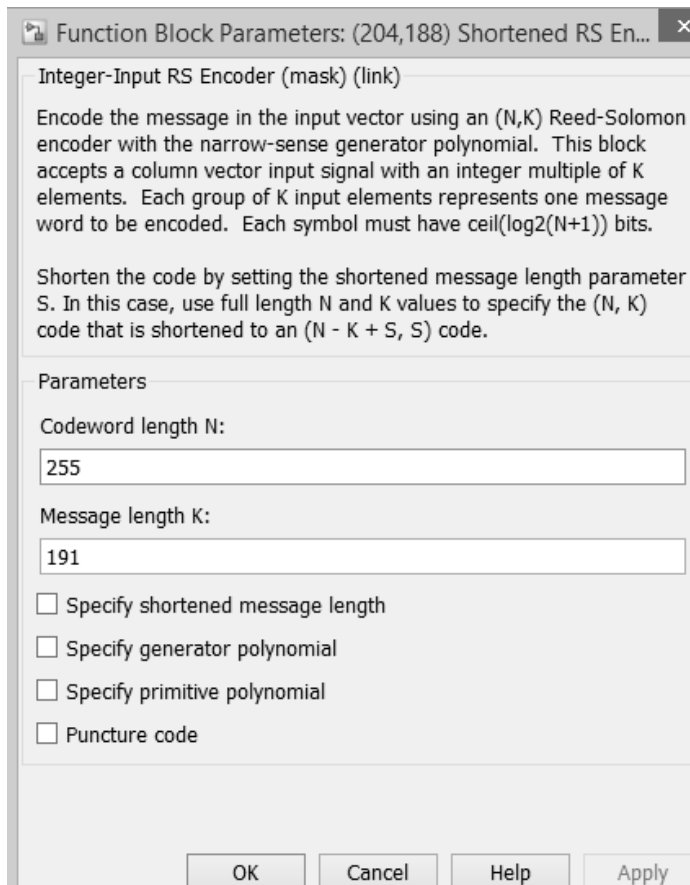


Рис. 228. Параметры RS Encoder-Decoder



Рис. 229. Параметры DVB Inner Deinterleaver (Buffer3)

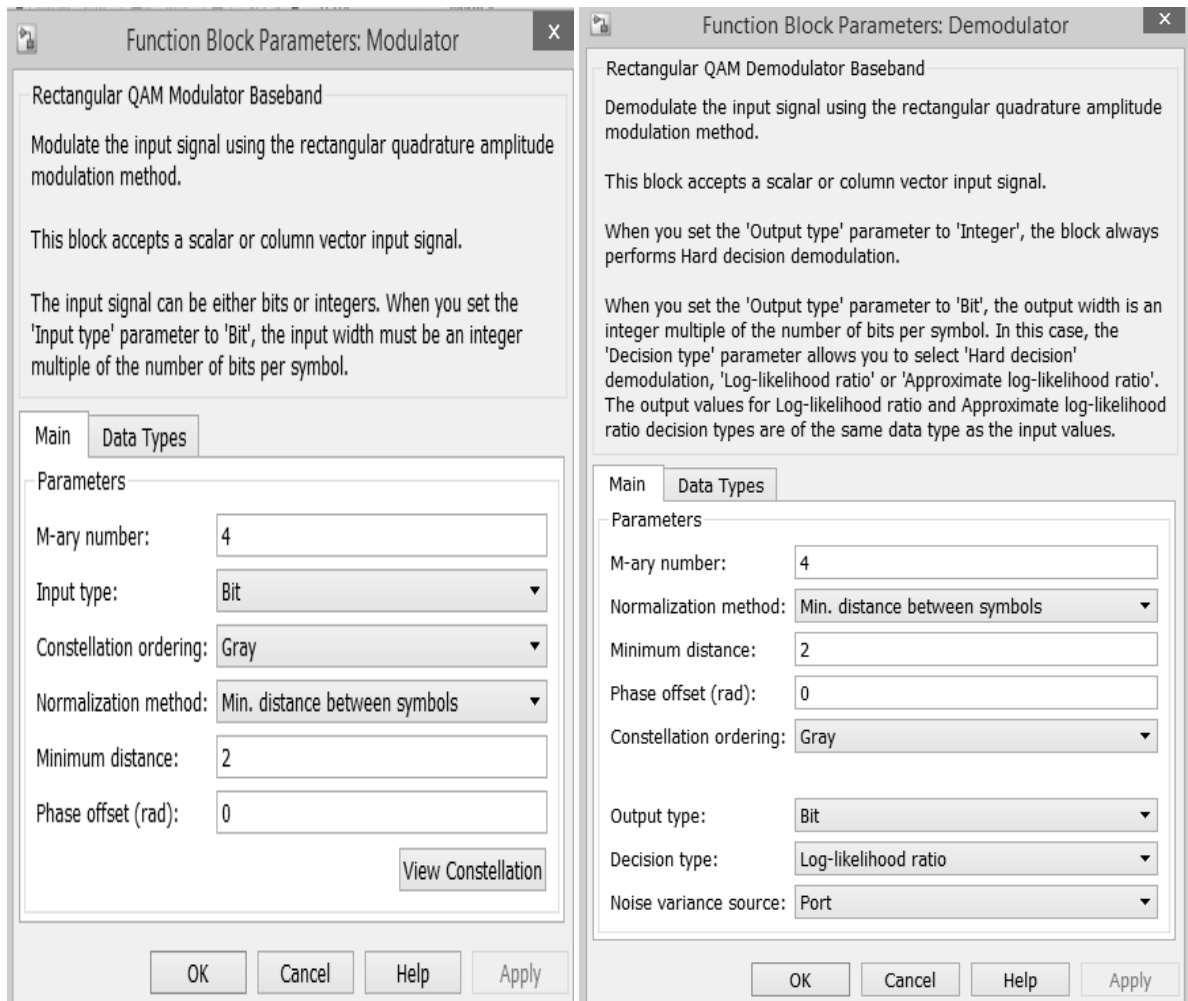


Рис. 230. Параметры QPSK модулятора

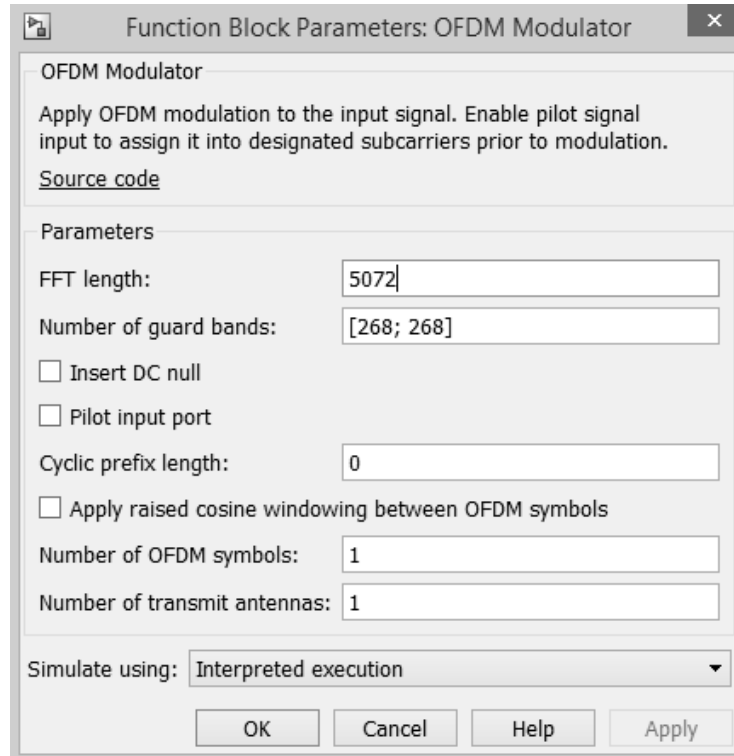


Рис. 231. Параметры OFDM modulator-demodulator

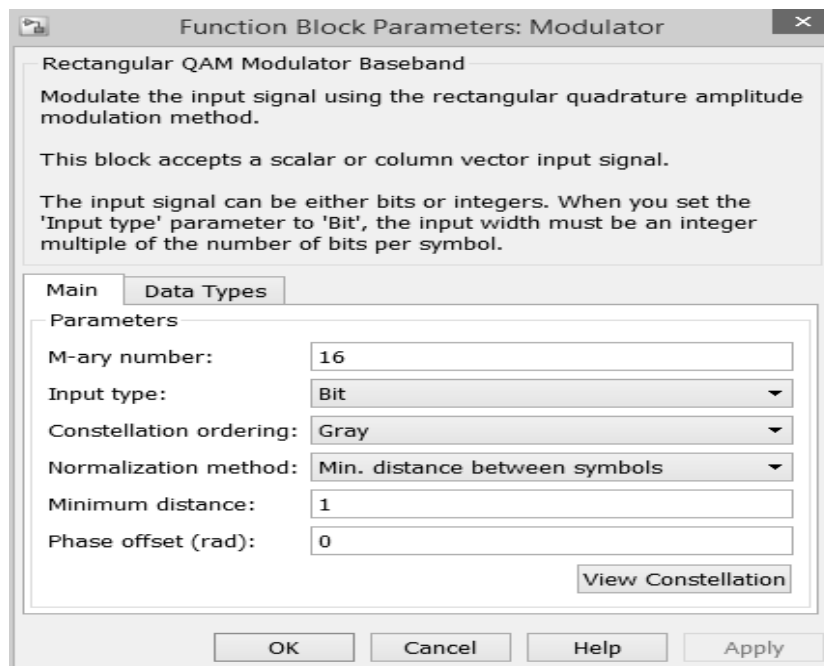


Рис. 232. Параметры 16-QAM модулятора

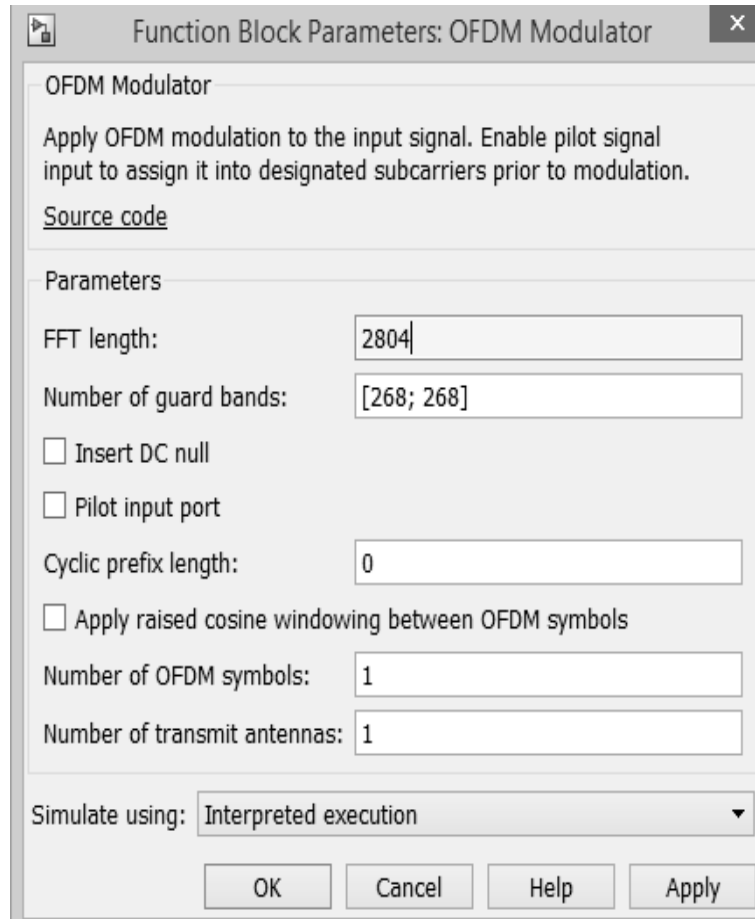


Рис. 233. Параметры OFDM modulator-demodulator

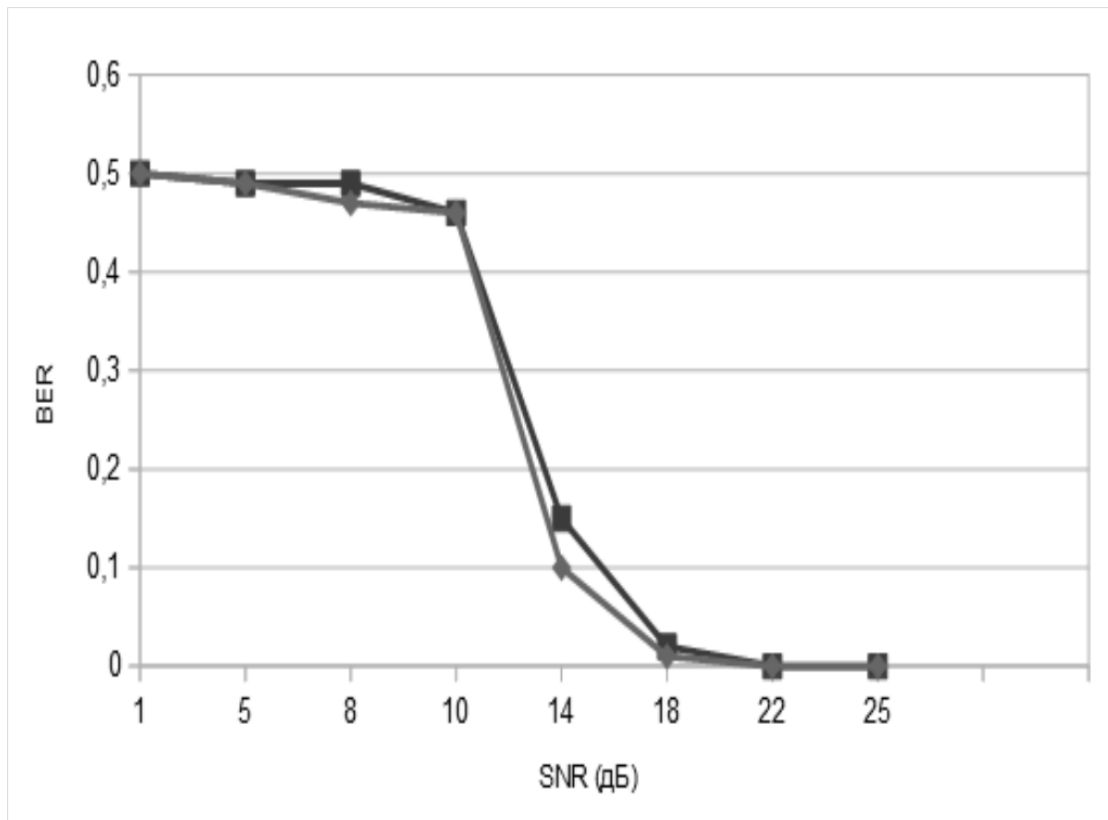


Рис. 234. Зависимость BER от SNR для системы DVB-H при использовании QPSK и 16-QAM (крупные квадраты)

При исследовании зависимости битовой вероятности битовой ошибки от отношения сигнал/шум рассматриваемой системы мобильного вещания были сняты изображения спектра передаваемого сигнала и диаграммы созвездий QPSK и 16-QAM исследуемой системы при SNR равном 1 дБ, 18 дБ.

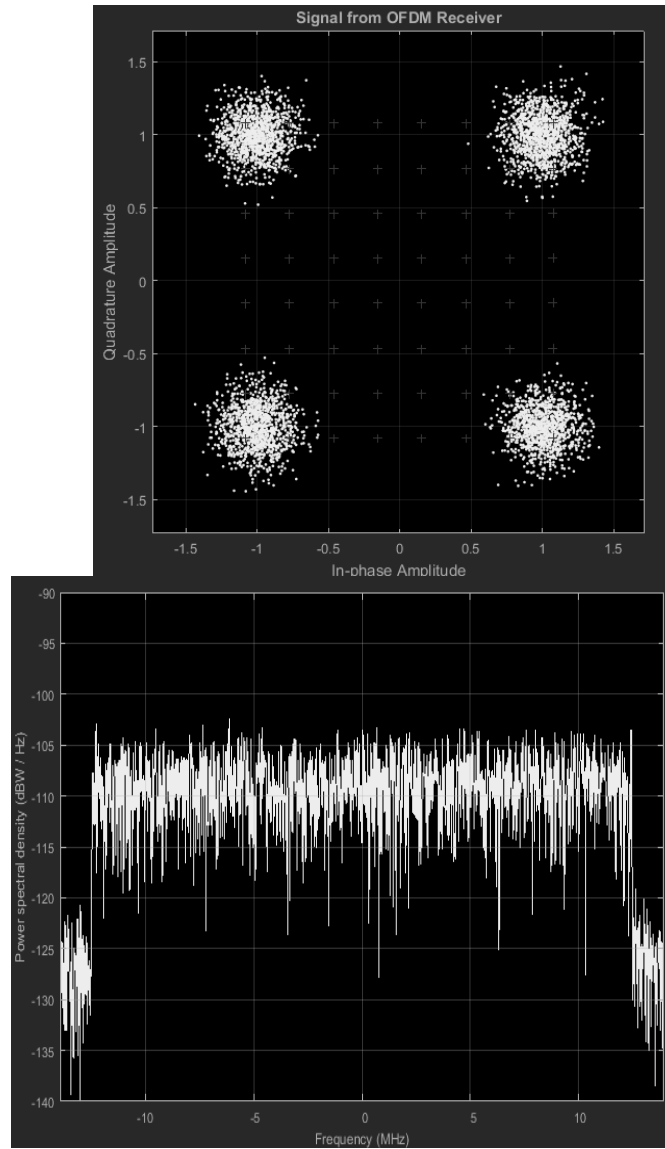


Рис. 235. Спектр OFDM-сигнала и диаграмма созвездий QPSK при SNR=18Б

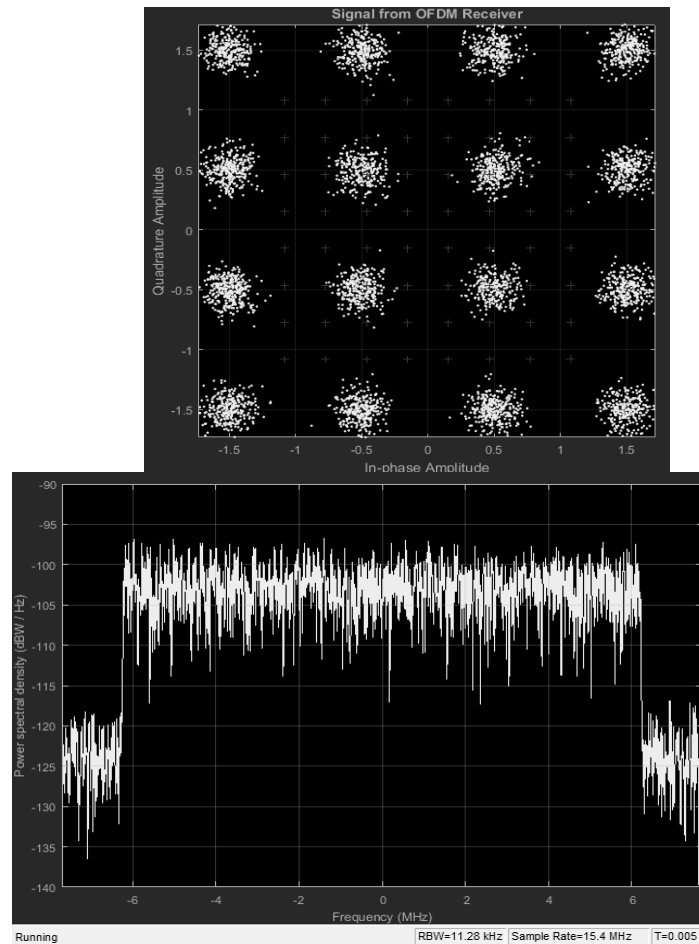


Рис. 236. Спектр OFDM-сигнала и диаграмма созвездий 16-QAM при SNR=18Б

В процессе выполнения данной лабораторной работы были изучены основные теоретические аспекты системы цифрового мобильного телевизионного стандарта DVB-H

При выполнении практической части работы была построена зависимость битовой вероятности ошибки от отношения сигнал/шум для QPSK и 16-QAM модуляции. Результат представлен в виде графика (рисунок 3.9).

Были сняты изображения спектра OFDM-символа и диаграммы созвездий QPSK и 16-QAM при прохождении сигнала в канале с аддитивным белым гауссовским шумом.

Полученные в результате моделирования данные позволяют сделать вывод о том, что безошибочная передача данных по каналу связи в системе DVB-T возможна при отношении сигнал/шум не менее 18 дБ.

DVB-H является обновлением для основного стандарта, которое решает проблемы мобильного приема. Главное нововведение - timeslicing. Передатчик циклически выдает в эфир пакеты, принадлежащие всем транслируемым каналам по очереди. Передача осуществляется короткими импульсами с использованием максимальной пропускной способности канала. Приемник включается только в определенные моменты, когда

необходимо загрузить очередную порцию видеопотока. Это позволило в 10 раз увеличить продолжительность автономной работы портативных телевизоров. Дело в том, что для приема DVB-T применяются довольно сложные чипы, производятся интенсивные математические вычисления. И когда система работает постоянно, без перерыва, то автономность лучших образцов мобильных устройств достигает 20-40 минут. В свою очередь техника, основанная на DVB-H, способна функционировать до 10 часов от одного заряда батареи.

Другая особенность стандарта - высокая помехоустойчивость за счет введения механизма коррекции ошибок. В обычном DVB-T используется разнесенный прием на несколько антенн, что позволяет системе выбирать наименее поврежденный сигнал. В портативном устройстве такое решение реализовать труднее.

Третья важная особенность - DVB-H основывается на IP-протоколе, а это значительно упрощает и удешевляет построение вспомогательной инфраструктуры. Возможным становится использование готовых, недорогих программных решений.

## **ЗАКЛЮЧЕНИЕ**

В представленном учебном пособии впервые рассмотрены основные виды современных модемов и кодеков перспективных стандартов телекоммуникационных систем - GSM, CDMA, IEEE 802.11 (WiFi), IEEE 802.15.4 (ZigBee), IEEE 802.15.1 (Bluetooth), IEEE 802.16 (WiMAX), IEEE 802.20 (LTE), DVB-T, DVB-S и DVB-S2, DVB-C, DVB-H и DVB-H2.

Проведено имитационное моделирование на базе MATLAB Simulink модемов и кодеков современных телекоммуникационных систем стандарта GSM, стандарта CDMA, системы мобильной связи стандарта IEEE 802.11 (WiFi), мобильной связи стандарта IEEE 802.15.4 ZigBee, системы мобильной связи стандарта IEEE 802.15.1 (Bluetooth), системы мобильной связи стандарта IEEE 802.16 (WiMAX), системы мобильной связи стандарта IEEE 802.20 LTE, системы цифрового наземного телевизионного вещания DVB-T, системы цифрового спутникового телевизионного вещания DVB-S и системы высокоскоростного цифрового спутникового ТВ-вещания DVB-S2, системы цифрового кабельного телевизионного вещания DVB-C, системы цифрового мобильного телевизионного вещания DVB-H и системы высокоскоростного цифрового мобильного ТВ-вещания DVB-H2.

Получены основные характеристики ТКС в зависимости от параметров систем, характеристик сигналов и влияния шумов и многолучевости (для CDMA). Представлены созвездия для модуляторов, спектры сигналов на входе и выходе канов связи, а также зависимости вероятности битовой ошибки от отношения сигнал/шум и многолучевости.

Материалы учебного пособия могут быть использованы как для учебных целей и как справочный материал при проектировании ТКС.

К учебному пособию прилагаются CD-диски с программным обеспечением для всех комплексов, включенных в пособие. Программные комплексы позволят читателю самостоятельно провести моделирование для ТКС со своими характеристиками.

## ЛИТЕРАТУРА

1. Дворкович В.П., Дворкович А.В. Цифровые видеотелекоммуникационные системы (теория и практика) Москва: техносфера, 2012. – 1008 с.
2. Серов А. В. Эфирное цифровое телевидение DVB-T/H. - БХВ-Петербург, 2010. – 465 с.
3. Стандарт DVB-H. Система мобильного ТВ вещания. [Электронный ресурс] – Режим доступа: <http://www.konturm.ru/tech.php?id=dvvh>
4. [http://www.mathworks.com/examples/simulink-communications/mw/comm\\_product-LTEDownlinkExample-lte-phy-downlink-with-spatial-multiplexing](http://www.mathworks.com/examples/simulink-communications/mw/comm_product-LTEDownlinkExample-lte-phy-downlink-with-spatial-multiplexing)